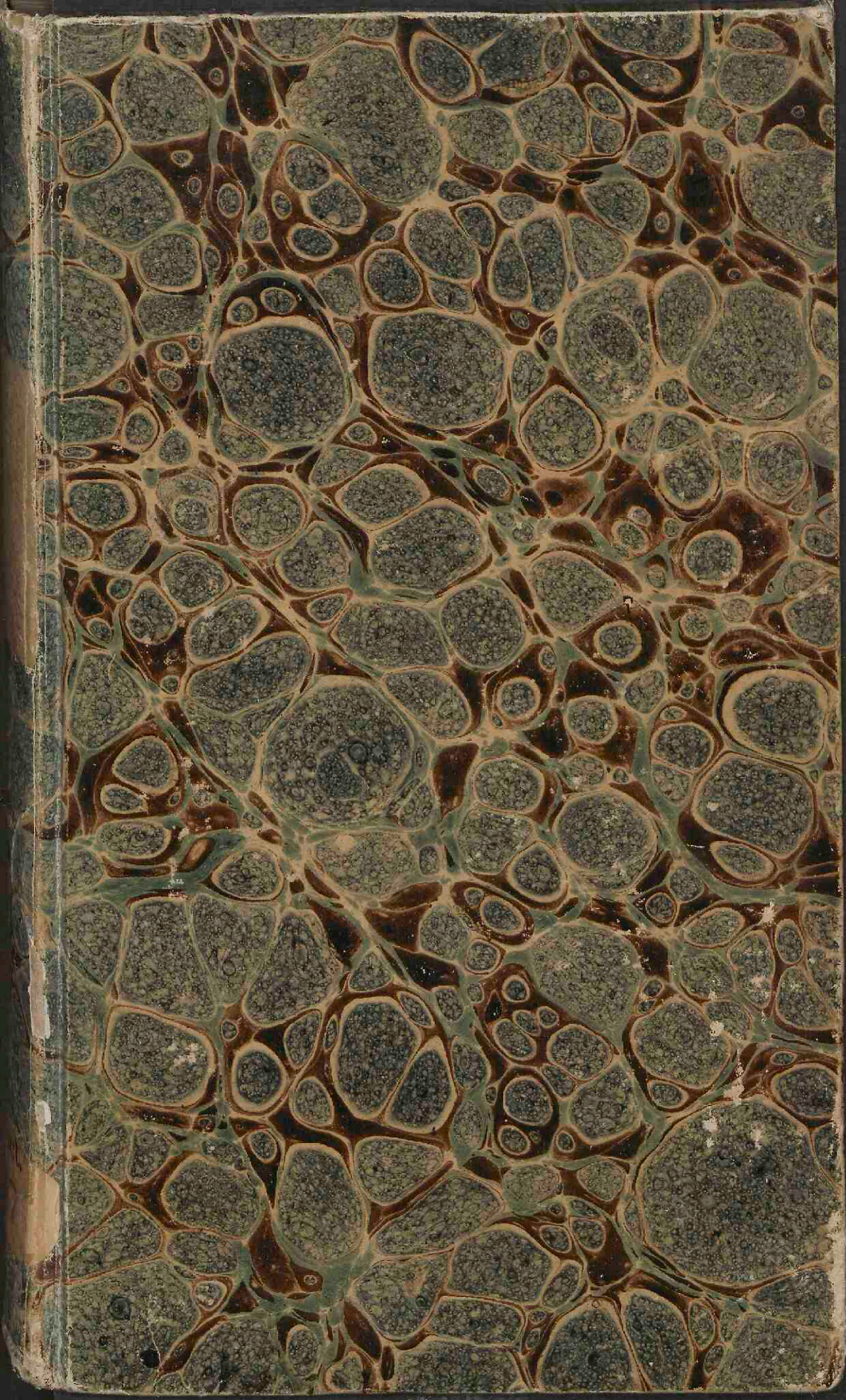




# **Anatomischer Atlas des menschlichen Körpers in natürlicher Brösse, Lage und Verbindung der Theile**

<https://hdl.handle.net/1874/287193>







Anatomici et Physiologici.

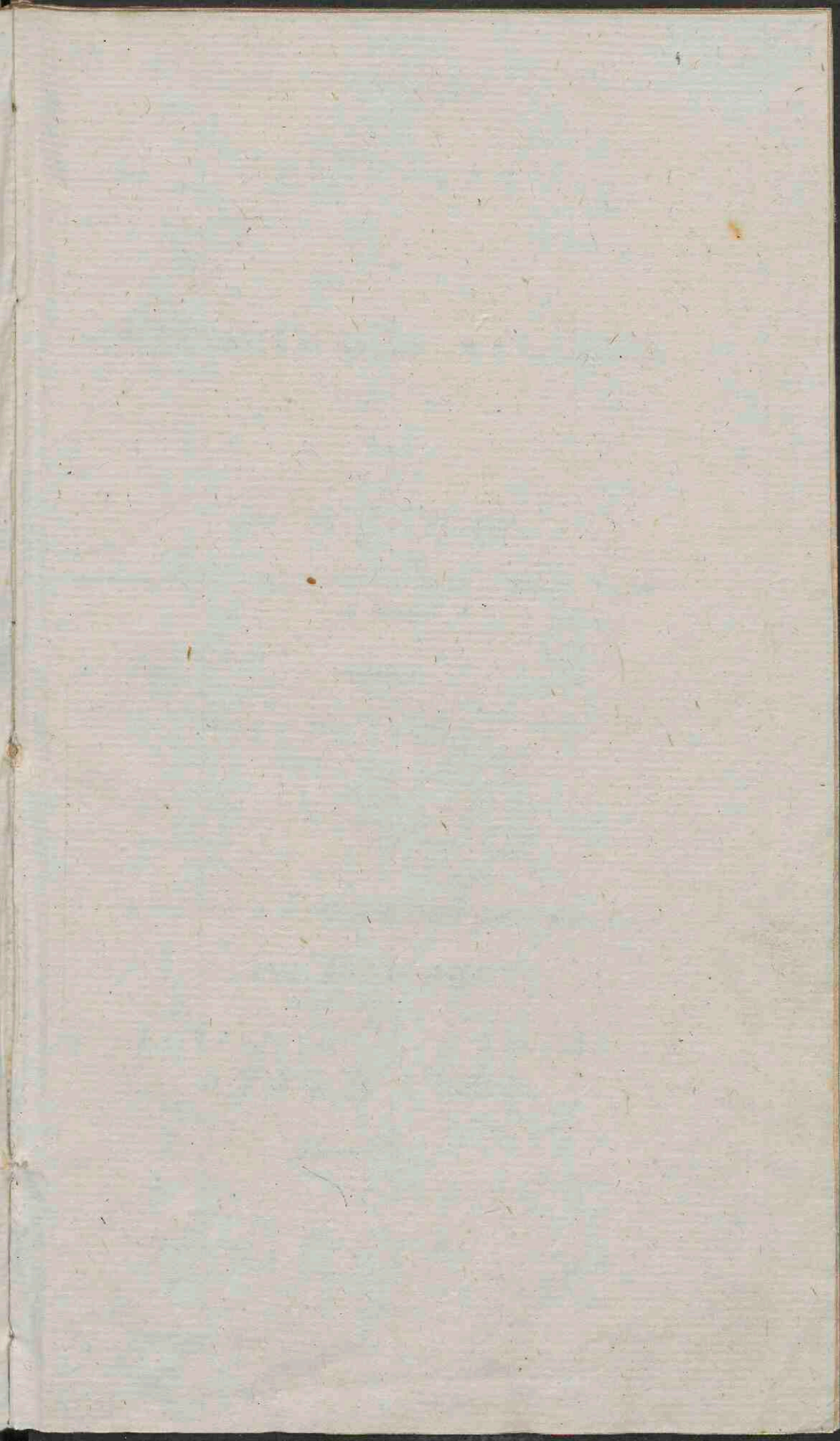
Octavo No. 337.

Anat.

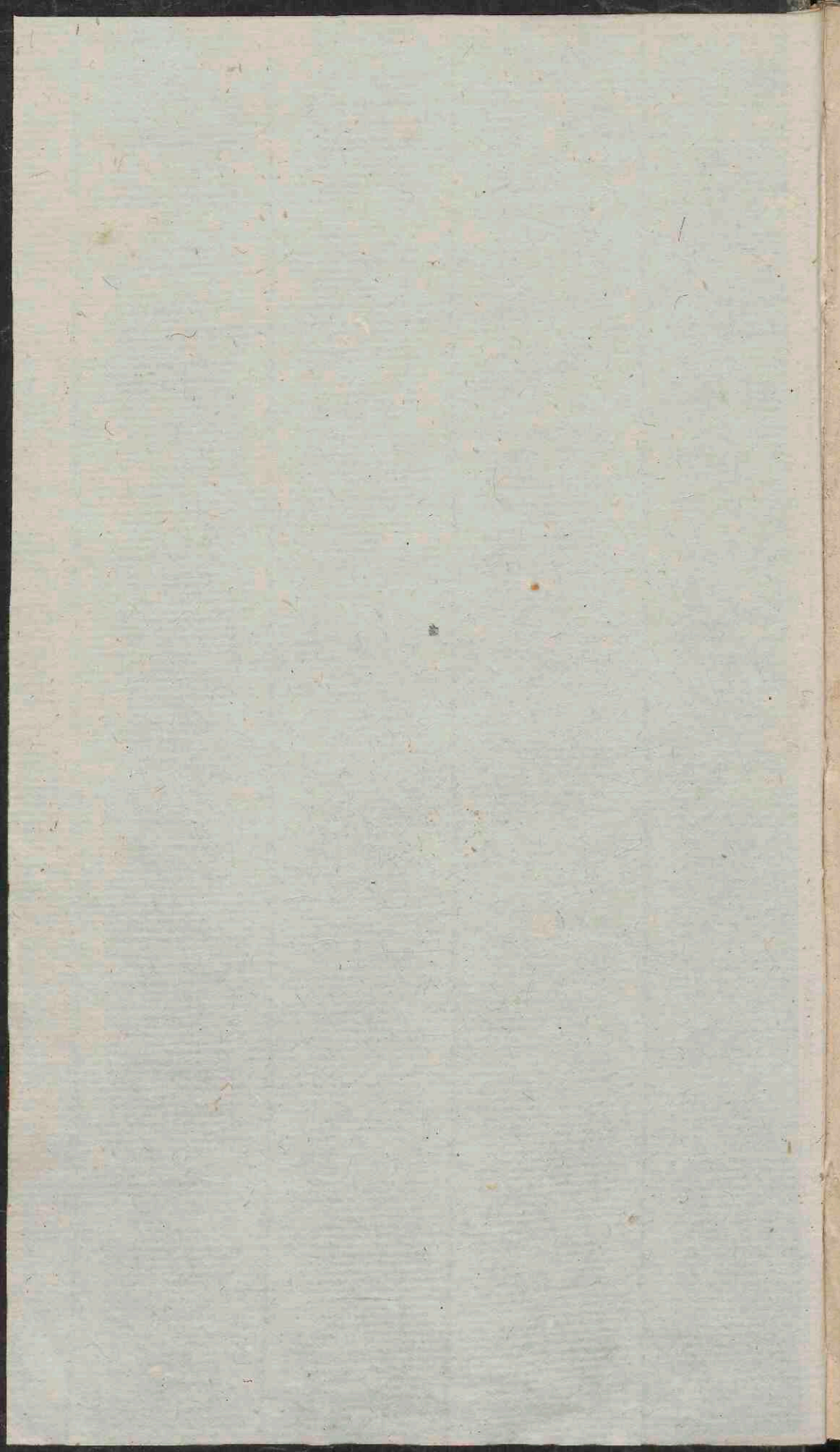
B. 337.

Chart. invol. N. 188.











pe  
Erklärung

des

ANATOMISCHEN ATLASSES

von

*Dr. M. J. Weber,*

Professor an der Königl. Preuss. Friedrich - Wilhelms Universität  
zu Bonn.



im Verlage

der

Lithographischen Anstalt

ARNZ & COMP.

in

*Düsseldorf.*



ST. LOUIS, MO.

ATLANTIC OCEAN

THE ATLANTIC OCEAN

THE ATLANTIC OCEAN



THE ATLANTIC OCEAN

THE ATLANTIC OCEAN

THE ATLANTIC OCEAN

THE ATLANTIC OCEAN

**I n h a l t**  
**der ersten Lieferung.**

Ein männliches Skelett von vorn.

Dasselbe Skelett von hinten.

TAB. I. Ergänzungstafel zur Osteologie.

TAB. II. Das Gehörorgan, die Stimm- und Geschmacksorgane.

TAB. III. Die Brustorgane von hinten.

---



Inhalt

Der erste Theil

Der zweite Theil

Der dritte Theil

Der vierte Theil

Der fünfte Theil

Der sechste Theil

Der siebente Theil

## Erklärung

### des ersten Körpers,

welcher ein männliches Skelett von vorn darstellt.

#### Allgemeine Uebersicht.

Das Skelett, *sceletus*, wird 1) in den Kopf, *caput*, welcher aus dem Gehirn- und Gesichtsschädel besteht; 2) in den Stamm, *truncus*, wohin die Wirbelsäule, *columna vertebralis*, das Becken, *pelvis*, die Rippen, *costae*, und das Brustbein, *sternum*, gehört; und 3) in die Gliedmassen, *extremities*, welche in obere und untere zerfallen, eingetheilt. Die Zahl aller Knochen ist 255.

Gehirnschädelknochen, *ossa cranii*, sind VIII, und zwar: I Stirnbein, *os frontis*, II Scheitelbeine, *ossa bregmatis*, I Hinterhauptsbein, *os occipitis*, II Schläfenbeine, *ossa temporum*, I Keilbein, *os sphenoides*, und I Siebbein, *os ethmoides*. Die Schläfenbeine enthalten ausserdem noch acht Gehörknochen; und zwar: II Hämmer, *mallei*, II Steigbügel, *stapedes*; II Ambos, *incudes*, und zwei runde Beinchen, *ossicula subrotunda*. — Gesichtsknochen, *ossa faciei*, sind XIV und zwar: II Oberkiefer, *ossa maxillaria superiora*, II Wangenbeine, *ossa jugalia*, II Nasenbeine, *ossa nasi*, II Thränenbeine; *ossa lacrymalia*, II Gaumenbeine; *ossa palatina*, II untere Muscheln, *conchae inferiores*;



1 Pflugschaarbein, *vomer*, 1 Unterkiefer, *maxilla inferior*. Ausserdem werden hieher noch XXXII Zähne, *dentes*, und zwar: VIII Schneidezähne, *incisivi*, IV Eckzähne, *canini*, und XX Backenzähne, *molars*, und 1 Zungenbein, *os hyoideum*, gerechnet. —

Die Wirbelsäule, *columna vertebralis*, besteht aus XXIV Wirbel, *vertebrae*, und zwar: VII Halswirbel, *v. colli*, XII Rückenwirbel, *v. dorsi*, und V Lendenwirbel, *v. lumborum*. Die Zahl der Rippen, *costae*, ist XXIV; XIV wahre, *c. verae*, X falsche Rippen, *c. spuriae*. — Das Brustbein, *sternum*, besteht aus III Theilen. — Das Becken, *pelvis*, wird aus VII Knochen zusammengesetzt und zwar: 1 hl. Bein, *os sacrum*, 4 falsche Steisswirbel, *ossa coccygis*, und II Hüftknochen, *ossa coxarum s. innominata*. —

LXX Knochen setzen die obern Gliedmassen, *extremities superiores*, zusammen und zwar: II Schlüsselbeine, *claviculae*, II Schulterblätter, *scapulae*, II Oberarmknochen, *humeri*, II Speichenknochen, *radii*, II Ellenbogenknochen, *ulnae*; XVI Handwurzelknochen, *ossa carpi*, nämlich II Kahnbeine, *ossa navicularia*, II Mondbeine, *lunata*, II dreieckige Beine, *triquetra*, II Erbsenbeine, *pisiformia*, II grosse vieleckige Beine, *multangula majora*, II kleine vieleckige Beine, *multangula minor*a, II Kopfbeine, *capitata*, II Hackenbeine, *hamata*; X Mittelhandknochen *ossa metacarpi*, XXVIII Fingerglieder, *phalanges digitorum*; VI *ossa sesamoidea*.

LXVI Knochen bilden die unteren Gliedmassen, *extremities inferiores*, und zwar II Oberschenkelknochen, *femora*, II Kniescheiben, *patellae*, II Schienbeine, *tibiae*, II Wadenbeine, *fibulae*; XIV Fusswurzelknochen, *ossa tarsi*, nämlich II Sprungbeine, *tali*, II Fersenbeine, *calcanei*, II Kahnbeine, *navicularia*, II Würfelbeine, *cuboidea*, VI Keilbeine, *cuneiformia*, X Mittelfussknochen, *ossa meta-*



tarsi; XXVIII Zehenglieder, *phalanges digitorum*, VI *ossa sesamoidea*.

Kopf, *caput*.

A. *a - a<sup>6</sup>. b - b<sup>6</sup>. c.* Stirnbein, *os frontis s. frontale*.

*a.* erhabene Linie, *linea eminens*. *a<sup>1</sup>*. Stirnhöcker, *tuber frontale*. *a<sup>2</sup>*. Augenbraunenbogen, *arcus superciliaris*. *a<sup>3</sup>*. Stirnglatze, *glabella*. *a<sup>4</sup>*. halbkreisförmige Linie, *linea semicircularis*. *a<sup>5</sup>*. halbkreisförmige Fläche, *planum semicirculare*. *a<sup>6</sup>*. Kranznaht, *sutura coronalis*. *b.* Augenhöhletheil, *pars orbitalis*. *b<sup>1</sup>*. Wangenbeinfortsatz, *processus zygomaticus*. *b<sup>2</sup>*. Grube der Thränendrüse, *fossa glandulae lacrymalis*. *b<sup>3</sup>*. Rollstachel, *spina trochlearis*. Meistens ist nur ein Grübchen, *fossa trochlearis*, vorhanden. *b<sup>4</sup>*. innere Augenhöhlenlöcher, *foramina orbitalia interna s. ethmoidea*. *b<sup>5</sup>*. Oberaugenhöhlenrand, *margo orbitalis superior*. *b<sup>6</sup>*. Oberaugenhöhlenrandausschnitt, *incisura supraorbitalis*. Auf der andern Seite ist ein *foramen supraorbitale* vorhanden. *c.* Nasenbeinausschnitt, *incisura nasalis*.

B. *d - d<sup>2</sup>*. Scheitelbein, *os bregmatis seu parietale*.

*d.* *linea semicircularis*. *d<sup>1</sup>*. *planum semicirculare*. *d<sup>2</sup>*. Keilbeinwinkel, *angulus sphenoides*.

C. *e - e<sup>7</sup>*. Schläfenbein, *os temporum*.

*e.* Schuppentheil, *pars squamosa*. *e<sup>1</sup>*. Gelenkgrube des Unterkiefers, *cavitas glenoidalis s. sinus articuli maxillae inferioris*. *e<sup>2</sup>*. Gelenkhügel, *tuberculum articulare*. *e<sup>3</sup>*. Wangenfortsatz, *process. zygomaticus s. jugalis*. *e<sup>4</sup>*. Schuppennaht, *sutura squamosa*. *e<sup>5</sup>*. Warzentheil, *pars mastoidea s. mam-*



*millaris. e.<sup>6</sup>* Zitzenfortsatz, *process. mastoideus s. mammillaris. e.<sup>7</sup>* äusserer Gehörgang, *porus acusticus externus.*

*D. f - f<sup>5</sup>.* Keilbein, *os sphenoides s. cuneiforme.*

*f.* Schläfenfläche des grossen Keilbeinsflügels, *superficies temporalis alae majoris oss. sphenoidi. f.<sup>1</sup>* *superficies orbitalis s. anterior alae majoris oss. sphenoidi. f.<sup>2</sup>* kleiner Flügel, *ala minor. oss. sphenoidi. f.<sup>3</sup>* Sehloch, *foramen opticum. f.<sup>4</sup>* obere Augenhöhlenspalte, *fissura orbitalis superior s. sphenoides propria. f.<sup>5</sup>* äusseres Blatt des abwärts steigenden Flügels des Keilbeins, *lamina externa processus pterygoidei oss. sphenoidi.*

*E. g.* Siebbein, *os ethmoides.*

*g.* äussere Wand oder Papierplatte des Labyrinths des Siebbeins, *lamina externa s. papyracea o. ethmoid.*

*F. h - h<sup>1</sup>.* Gaumenbein, *os palatinum.*

*h.* Augenhöhlenfortsatz, *processus orbitalis. h<sup>1</sup>* Keilbeinfortsatz, *process. sphenoidalis.*

*G. i - i<sup>3</sup>.* Thränenbein, *os lacrymale s. unguis.*

*i.* Augenhöhlenfläche, *superf. orbitalis. i<sup>1</sup>* Thränensackfurche, *sulcus sacci lacrymalis. i<sup>2</sup>* Thränenbeinleiste, *crista lacrymalis. i<sup>3</sup>* Thränenbeinhäkchen, *hamulus cristae lacrymalis.*

*II. k. - k<sup>7</sup>.* Oberkiefer, *os maxillare superius.*

*k.* *superf. orbitalis. k<sup>1</sup>* Unteraugenhöhlenkanal, *canalis infraorbitalis. k<sup>2</sup>* Gesichtfläche, *superf. facialis. k<sup>3</sup>* Unteraugenhöhlenloch, *foramen infraorbitale. k<sup>4</sup>* Oberkiefergrube, *fossa maxillaris. k<sup>5</sup>* ein kleiner Theil der *superf. temporalis s. tuberositas maxillae superioris. k<sup>6</sup>* Nasen- oder Stirnfortsatz, *process. natalis seu frontalis. k<sup>7</sup>* Thränen-



sackfurche dieses Fortsatzes, *sulcus sacci lacrymalis process. frontalis maxillae sup.* *k<sup>8</sup>* Wangenbeinfortsatz, *process. zygomaticus.* *k<sup>9</sup>*. Zahnhöhlenfortsatz, *p. alveolaris.* *k<sup>10</sup>*. *incisura nasalis.* *k<sup>11</sup>*. vorderer Nasenstachel, *spina nasalis anterior.* *k<sup>12</sup>*, *k<sup>13</sup>*. Nasenscheidewand, *septum narium.*

I. *l - l<sup>6</sup>*. Wangenbein, *os zygomaticum s. jugale s. malar.*

*l*. Wangenfläche, *superficies malaris s. externa.* *l<sup>1</sup>*. Augenhöhlenfläche, *superf. orbitalis.* *l<sup>2</sup>* oberer Rand, *margo superior, s. orbitalis.* *l<sup>3</sup>* unterer Rand, *margo inferior, et tuberositas jugalis, s. zygomatica.* *l<sup>4</sup>*. Oberkieferfortsatz, *processus maxillaris.* *l<sup>5</sup>*. Stirn - Keilbeinfortsatz, *processus spheno-frontalis.* *l<sup>6</sup>*. der Schläfenfortsatz, *process. temporalis.* *l<sup>5</sup>*, *l<sup>6</sup>*. der Schläfenrand, *margo temporalis.*

K. *m<sup>1</sup>*. Nasenbein, *os nasi.*

*m*. Superf. *externa s. anterior.* *m<sup>1</sup>*. Oeffnung zum Durchgang einer Arterie und Vene, *foramen ossis nasi.*

L. *n. - n<sup>14</sup>*. Unterkiefer, *os maxillare inferius s. mandibula.*

*n-n*. Körper, *corpus maxillae inferioris.* *n<sup>1</sup>* äussere oder vordere Oeffnung des Unterkieferkanals, *apertura anterior canalis maxillae inferioris seu foramen mentale s. maxillare anterius.* *n<sup>2</sup>*. äussere schiefe Linie, *linea obliqua externa.* *n<sup>3</sup>*. Kinn, *mentum, γένειον*, und Kinngrube, *fossa mentalis,* *n<sup>4</sup>*. äusserer Kinnhöcker, *spina mentalis externa.* *n<sup>5</sup>*. Zahnhöhlenrand, *margo s. processus alveolaris.* *n<sup>6</sup>*. unterer Rand, *margo inferior s. basis maxillae.* — *n<sup>7</sup> - n<sup>14</sup>*. Unterkieferast, *ramus maxillae inf.* *n<sup>7</sup>*. äussere Fläche, *superf. externa* *n<sup>8</sup>*. Winkel, *angulus maxill. inf.* *n<sup>9</sup>*. Kronenfortsatz, *process. coronoideus.* *n<sup>10</sup>*. Gelenkfortsatz, *process. condyloideus.* *n<sup>11</sup>*. Gelenkkopf,



*capitulum*, *n*<sup>12</sup>. Hals, *collum*, *n*<sup>13</sup>. Grube des Halses, *fossa colli* *s.* *process. condyloidei*, *n*<sup>14</sup>. oberer oder halbmondförmiger Rand, *margo superior* *s.* *incisura semilunaris*.

4 - 24. Wirbelsäule, *columna vertebrarum*  
*s.* *spinalis*.

4. 5. 6. 7. Die vier untern Halswirbel, *vertebrae colli*, *a*. der Körper, *corpus*. *a*<sup>1</sup>. der obere Rand, *margo superior*. *a*<sup>2</sup>. der untere Rand, *margo inferior*. *a*<sup>3</sup>. Zwischenwirbelband, *ligamentum intervertebrale*. *a*<sup>4</sup>. vordere Wurzel des Querfortsatzes, *radix anterior processus transversi*. *a*<sup>5</sup>. *radix posterior p. t.* *a*<sup>6</sup>. Wirbelloch, *foramen vertebrale*. *a*<sup>7</sup>. oberer schiefer oder Gelenkfortsatz, *processus obliquus seu articularis superior*. *a*<sup>8</sup>. unterer schiefer oder Gelenkfortsatz, *process. obliquus s. articularis inferior*. *a*<sup>9</sup>. Zwischenwirbelloch, *foramen intervertebrale*. 8. 9. 10. 11. 12. 13. 14. 15. 16. 17. 18. 19. Die zwölf Rückenwirbel, *vertebrae dorsi*. *b*. *corpus*. *b*<sup>1</sup>. *margo superior*. *b*<sup>2</sup>. *margo inferior*. *b*<sup>3</sup>. obere Articulationsfläche des Körpers des ersten Brustwirbels mit dem Köpfchen der ersten Rippe, *sinus articularis superior costae primae*. *b*<sup>4</sup>. *sinus articularis inferior costae secundae*. *b*<sup>5</sup>. *ligamentum intervertebrale*. *b*<sup>6</sup>. *processus transversus*. *b*<sup>7</sup>. Gelenkfläche und Gelenkverbindung des Querfortsatzes des ersten Rückenwirbels und des Höckers der ersten Rippe, *sinus articularis transversalis*. *b*<sup>8</sup>. *processus obliquus s. articularis superior*. *b*<sup>9</sup> *foramen intervertebrale*. 20. 21. 22. 23. 24. Die fünf Lendenwirbel, *vertebrae lumborum*. *c*. *corpus*. *c*<sup>1</sup>. *margo superior*. *c*<sup>2</sup>. *margo inferior*. *c*<sup>3</sup>. *ligamentum intervertebrale*. *c*<sup>4</sup>. *processus transversus*. *c*<sup>5</sup>. *processus obliquus superior*.



I—XII. *e-e*<sup>13</sup>. Rippen, *costae*, und Brustbein,  
*sternum*.

I-VII. wahre Rippen, *costae verae*. VIII-XII. falsche Rippen,  
*costae spuriae*. *d*. Körper und äussere Fläche der Rippe,  
*corpus et superficies externa costae*. *d*. vorderes Ende,  
*extremitas anterior*. *d*<sup>3</sup>. *d*<sup>4</sup>. *d*<sup>5</sup>. *extremitas posterior*. *d*<sup>3</sup>.  
Köpfchen der Rippe, *capitulum costae*. *d*<sup>4</sup>. Hals, *collum*.  
*d*<sup>5</sup>. Höckerchen, *tuberculum*. *d*<sup>6</sup>. *margo superior*. *d*<sup>7</sup>. *margo*  
*inferior*. *d*<sup>8</sup>. Verbindung der Rippen mit den Brustknorpeln,  
*connexio costarum cum cartilaginibus costarum*. *d*<sup>9</sup>. *super-*  
*ficies interna*. *d*<sup>10</sup>. Rinne der Rippen, *sulcus costalis*. *d*<sup>11</sup>.  
Rippenknorpel, *cartilago costarum s. costalis*. *d*<sup>12</sup>. *con-*  
*nexio cartilaginis costalis cum sterno*.

*e*. Handgriff, *manubrium sterni*. *e*<sup>1</sup>. *corpus sterni*. *e*<sup>2</sup>  
schwerdförmiger Fortsatz, *process. xiphoideus s. ensiformis*.  
*e*<sup>3</sup>. schwertförmiger Knorpel, *cartilago ensiformis*. *e*<sup>4</sup>. *e*<sup>5</sup>.  
*extremitas superior*. *e*<sup>4</sup>. halbmondförmiger Ausschnitt, *in-*  
*cisura semilunaris*. *e*<sup>5</sup>. Gelenkflächen der Schlüsselbeine, *in-*  
*cisurae claviculares*. *e*<sup>6</sup>. *d*<sup>12</sup>. *margo lateralis*. *e*<sup>7</sup>. *extre-*  
*mitas inferior manubrii sterni*. *e*<sup>8</sup>. *extremitas superior*  
*corporis sterni*. *e*<sup>9</sup>. *margo lateralis*. *e*<sup>10</sup>. *extremitas inferior*.  
*e*<sup>11</sup>. *extremitas superior processus xiphoidei*. *e*<sup>12</sup>. *mar-*  
*go lateralis*. *e*<sup>13</sup>. *extremitas inferior*.

---

A. B. C. I. II. III. Becken, *pelvis*.

A. Kreuzbein od. hl. Bein, *os sacrum*. 1. *superficies ante-*  
*rior s. interior*. 2. Vorgebürge, *promontorium*. 3. bogen-  
förmiger Band, *margo arcuatus s. linea terminalis ossis*  
*sacri*. 4. 4. *superfic. superior*. 5. hl. Bein-Darmbeinverbin-  
dung, *symphysis sacro-iliaca*. 6. vordere hl. Bein-Löcher,



*foramina sacralia anteriora.* 7. *foramina sacralia posteriora.* 8. *foramen intervertebrale.* 9. Querlinien, *lineae transversae.* — **B.** Steissbein, *os coccygis.* — *I, II, III.* ungenannte Beine, Hüftbeine, *ossa innominata s. coxarum*  
*I.* Darmbein, *os ilium.* *II.* Schambein, *os pubis.* *III.* Sitzbein, *os ischii.* — 10. 11. *superficies interna superior anterior.* 12. *superfic. interna anterior inferior.* 13. erhabene, bogenförmige Linie, *linea emimens arcuata.* 14. ungenannte Linie, *linea innominata s. terminalis.* 15. Darmbeinkamm, *crista ossis ilii.* 16. äussere Lefze des Darmbeinkammes, *labium externum.* 17. *labium internum cristae ossis ilii.* 18. vorderer oberer Darmbeinstachel, *spina anterior superior.* 19. *spina anterior inferior.* 20. oberer vorderer halbmondförmiger Ausschnitt, *incisura semilunaris superior anterior.* 21. *incisura anterior inferior ossis ilii.* 22. Körper des Schambeines, *corpus ossis pubis.* 23. horizontaler Ast, *ramus horizontalis o. p.* 24. Schambeinkamm, *pecten s. crista pubis.* 25. Schamböcker, *tubercul. pubis.* 26. *incisura obturatoria.* 27. absteigender Ast, *ramus descendens.* 28. Schambeinvereinigung, *symphysis ossium pubis.* 29. Schamwinkel, *angulus ossium pubis.* — 30. *corpus ossis ischii.* 31. Ausschnitt der Gelenkpfanne, *incisura acetabuli.* 32. Gelenkpfanne, *acetabulum,* und Pfannenrand, *limbus acetabuli: III.* 33. *ramus descendens.* 34. aufsteigender Ast, *ramus adscendens oss. ischii.* 35. Sitzbeinstachel, *spina ossis ischii.* 36. Sitzhöcker, *tuber s. tuberositas oss. ischii.* 37. ovales Loch, *foramen ovale s. obturatorium.* 38. grosser Sitzbeinausschnitt, *incisura ischiadica major.*



Knochen der Brustglieder oder der Arme,  
*ossa extremitatum superiorum.*

A. Schlüsselbein, *clavicula.*

a. *corpus claviculae.* a<sup>1</sup>. a<sup>3</sup>. a<sup>4</sup>. Brustbeinende *extremitas anterior s. sternalis.* a<sup>2</sup>. a<sup>6</sup>. Schulterblattende, *extremitas scapularis. s. humeralis.* a. a<sup>1</sup>. a<sup>2</sup>. *superficies anterior et superior.* a<sup>4</sup>. a<sup>6</sup>. *superf. inferior.* a<sup>5</sup>. Zwischenknorpel und Gelenkverbindung zwischen dem Schlüsselbein und dem Sternum, *cartilago interarticularis claviculae et sterni.* a<sup>6</sup>. *tuberculum s. colliculum claviculae.* a<sup>7</sup>. *cartilago interarticularis claviculae et p. acromialis.*

B. Schulterblatt, *scapula.*

b. Unterschulterblattgrube, *fossa subscapularis. s. superficies anterior scapulae.* b<sup>1</sup>. *margo superior.* b<sup>2</sup>. Schulterblattausschnitt, *incisura semilunaris.* b<sup>3, 4, 5, 6</sup>. *margo externus.* b<sup>4</sup>. *labium posterius.* b<sup>5</sup>. *labium anterius.* b<sup>6</sup>. Rinne zwischen den beiden Lippen, *sulcus marginis externi.* b<sup>7</sup>. innerer Rand oder Basis des Schulterblatts, *margo internus s. basis scapulae.* b<sup>8</sup>. Gelenkfortsatz, *process. condyloideus.* b<sup>9</sup>. *collum scapulae.* b<sup>10</sup>. Gelenkfläche des Oberarmknochens, *superficies articularis humeri s. cavitas glenoidea.* b<sup>11</sup>. Höcker des Gelenkfortsatzes, *tuberculum process. condyloidei.* b<sup>12-14</sup>. rabenschnabelförmiger Fortsatz, *process. coracoideus.* b<sup>12</sup>. *radix.* b<sup>13</sup>. *corpus.* b<sup>14</sup>. *apex.* b<sup>15</sup>. Obergräthengrube, *fossa supraspinata.* b<sup>16</sup>. b<sup>17</sup>. Gräthenecke, *acromion s. process. acromialis.* b<sup>16</sup>. *superf. superior.* b<sup>17</sup>. *superf. inferior.*

C. Oberarmbein, *os humeri s. brachii.*

c. *corpus s. diaphysis.* c<sup>1</sup>. c<sup>14</sup>. oberes Ende, *extremitas superior.* c<sup>2</sup>-c<sup>20</sup>. *extremitas inferior.* c<sup>3</sup>. *superf. externa.* c<sup>4</sup>. *superf. interna.* c<sup>5</sup>. äusserer Winkel, *angulus externus.*



*e*<sup>6</sup>. *angulus anterior*. *e*<sup>7</sup>. *angulus internus*. *c*<sup>8</sup>. Gelenkkopf, *caput articulare*. *c*<sup>9</sup>. *collum*. *c*<sup>10</sup>. grosser Höcker, *tuberculum majus*. *e*<sup>11</sup>. kleiner Höcker, *tuberculum minus*. *c*<sup>12</sup>. Rinne zwischen den beiden Höckern, *sulcus s. semicanalis ossis humeri*. *c*<sup>13</sup>. Leiste des grossen Höckers, *crista tuberculi majoris*. *e*<sup>14</sup>. *crista tuberculi minoris*. — *c*<sup>15</sup>. äusserer Gelenkhöcker, *condylus externus*. *e*<sup>16</sup> *condylus internus*. *c*<sup>17</sup>. vordere, kleine Grube, *fossa anterior minor s. externa*. *c*<sup>18</sup>. vordere grosse Grube, *fossa anterior major s. interna*. *c*<sup>19</sup>. *c*<sup>20</sup>. Ellenbogenfortsatz, *processus cubitalis*. *c*<sup>19</sup>. Köpfchen, *capitulum s. eminentia capitata*. *c*<sup>19</sup>. Rolle, *trochlea seu rotula*.

*D. Speiche, radius.*

*d. corpus*. *d*<sup>1</sup>. *extremitas superior*. *d*<sup>2</sup>. *extremitas inferior*. *d*<sup>3</sup>. *superficies volaris s. anterior*. *d*<sup>4</sup>. *superficies externa s. radialis*. *d*<sup>5</sup>. *angulus anterior*. *d*<sup>6</sup>. *angulus internus s. crista radii*. *d*<sup>7</sup>. Köpfchen und dessen ringförmiger Umfang, *capitulum radii, et circumferentia articularis*. *d*<sup>8</sup>. *collum*. *d*<sup>9</sup>. *tuberculum*. *d*<sup>10</sup>. Grundfläche, *basis s. cavitas glenoidalis*. *d*<sup>11</sup>. *d*<sup>12</sup>. griffelförmiger Fortsatz, *process. styloideus*. *d*<sup>13</sup>. *incisura semilunaris*.

*E. Ellenbogenbein, ulna s. cubitus.*

*e*. Mittelstück, *diaphysis*, *e*<sup>1</sup>. *extremitas superior*. *e*<sup>2</sup>. *extremit. inferior*. *e*<sup>3</sup> *superficies volaris*. *e*<sup>4</sup>. *angulus anterior*. *e*<sup>5</sup>. *angulus externus s. crista ulnae*. *e*<sup>6</sup>. Kronenfortsatz, *process. coronoideus*. *e*<sup>7</sup>. *tuberositas ulnae*. *e*<sup>8</sup>. *capitulum ulnae*. *e*<sup>9</sup>. *process. styloideus*. *e*<sup>10</sup>. *spatium interosseum*.

*F-N. Handwurzelknochen, ossa carpi.*

*F*. Kahnbein, *os naviculare*. *f*. Kahnbeinhöcker, *tuberculum ossis navicularis*. *G*. Mondbein, *os lunatum*. *H*. drei-



scitiges Bein, *os triquetrum*. *I.* rundes oder Erbsenbein, *os rotundum s. pisiforme*. *K.* grosses vieleckiges Bein, *os multangulum majus*. *g.* *tuberculum ossis multanguli majoris*. *L.* kleines vieleckiges Bein, *os multangulum minus*. *M.* Kopfbein, *os capitatum*. *N.* Hackenbein, *os hamatum*. *h.* Hacken, *hamulus oss. hamati*.

*O-S.* Mittelhandknochen, *ossa metacarpi*.  
*O.* Mittelhandknochen des Daumens, *os metacarpi pollicis*.  
*P.* des Zeigefingers, *digiti indicis*. *Q.* des Mittelfingers, *digiti medii*. *R.* des Ringfingers, *dig. annularis*. *S.* des Ohrfingers, *dig. auricularis*. *i.* *corpus*. *k. r.* *extremitas superior s. basis*. *l. s.* *extremitas anterior s. capitulum*. *m. t. u.* Sesambeinchen, *ossa sesamoidea*. *n.* *angulus externus s. radialis*. *o.* *angulus internus s. ulnaris*. *p.* *superf. ulnaris*. *q.* *superf. radialis*.

*T-V.* Fingerglieder, *phalanges digitorum*.  
*v.* *superf. volaris*. *w.* *basis s. extrem. sup.* *x.* *extrem. inferior s. trochlea*. *y.* *margo radialis*. *z.* *margo ulnaris*.

---

Knochen der untern Glieder, der Beine oder der Bauchglieder, *ossa extremitatum inferiorum*.

*A.* Oberschenkelbein, *os femoris s. cruris*.  
*a.* *corpus*. *a<sup>1</sup>.* *extremit. superior*. *a<sup>2</sup>.* *extremit. infer.* *a<sup>3</sup>.* *superf. anterior*. *a<sup>4</sup>.* *angulus externus*. *a<sup>5</sup>.* *angulus internus*. *a<sup>6</sup>.* *caput*. *a<sup>7</sup>.* *collum*. *a<sup>8</sup>.* grosser Höcker oder Rollhügel, *trochanter major*. *a<sup>9</sup>.* kleiner Rollhügel, *trochanter minor*. *a<sup>10</sup>.* vordere Zwischenrollhügellinie, *linea intertrochanterica anterior*. *a<sup>11</sup>.* *condylus externus*. *a<sup>12</sup>.* *condylus internus*. *a<sup>13</sup>.* Kniescheibe, *patella*. *a<sup>14</sup>.* *superf. articularis extremit. inferioris*. *a<sup>15</sup>.* halbmondförmige Kniegelenknorpel, *cartilagine semilunares genu*.



*B. Wadenbein, fibula s. perone,*

*b. corqus. b<sup>1</sup>. extremit. sup. s. capitulum fibulae. b<sup>2</sup>. extremit. inf. b<sup>3</sup>. superf. ext. b<sup>4</sup>. superf. interna. b<sup>5</sup>. angulus externus. b<sup>6</sup>. angulus internus s. crista fibulae. b<sup>7</sup>. angul. anterior. b<sup>8</sup>. b<sup>8</sup>. linea obliqua. b<sup>9</sup>. äusserer Knöchel, malleolus externus s. fibulae.*

*C. Schienbein, tibia.*

*c. diaphysis s. corpus. c<sup>1</sup>. extrem. sup. c<sup>2</sup>. extrem. inf. c<sup>3</sup>. superf. externa. c<sup>4</sup>. superf. interna s. anterior. c<sup>5</sup>. angulus externus. c<sup>6</sup>. angul. internus. c<sup>7</sup>. angulus anterior s. crista tibiae. c<sup>8</sup>. condylus externus. c<sup>9</sup>. condylus internus. c<sup>10</sup>. tuberositas tibiae. c<sup>11</sup>. innerer oder Schienbeinknöchel, malleolus internus s. tibiae. c<sup>12</sup>. incisura fibularis s. peronae. c<sup>13</sup>. basis s. superf. articularis.*

*D - I. Fusswurzelknochen, ossa tarsi.*

*D. Sprungbein, talus s. astragalus. E. Fersenbein, calcaneus s. os calcis. e. processus lateralis s. sustentaculum tali. F. Kahnbein, os naviculare. e. tuberculum oss. navicularis. G. erstes oder grosses Keilbein, os cuneiforme primum s. internum H. os cuneiforme secundum s. medium. I. os cuneiforme tertium s. externum. K. L. M. N. O. Mittelfussknochen, ossa metatarsi. P. Q. R. S. Zehenglieder, phalanges digitorum pedis. g. ossa sesamoidea.*

---

Der Fuss von oben.

*A. calcaneus. a. tuberositas calcanei. b. superf. superior. c. superf. externa. B. talus. d. superf. articularis superior. e. superf. articularis lateralis externa s. fibulae. f. process. condyloideus s. caput tali. C. os naviculare. D. Würfelbein, os cuboideum. E. os cuneiforme primum. F. secundum. G. tertium.*

## Zweiter Körper,

welcher ein männliches Skelett von hinten zeigt.

### C A P U T.

#### A. os frontis.

a. processus zygomaticus. a<sup>1</sup>. planum semicircularare.

#### B. os parietale.

B. Scheitelbeinhöcker, tuber parietale. b. b<sup>1</sup>. linea semicircularis superior, inferior, et planum semicircularare. b<sup>2</sup>. angulus sphenoidalis. b<sup>3</sup>. angulus mastoideus. b<sup>4</sup>. Hinterhauptswinkel, angul. occipitalis. b<sup>5</sup>. Pfeilnath, sutura sagittalis. b<sup>6</sup>. sutura coronalis. b<sup>7</sup>. sutura occipitalis. b<sup>8</sup>. foramen parietale. b<sup>9</sup>. sutura squamosa.

#### C. os occipitis.

c. äussere Hinterhauptstachel, spina, s. protuberantia occipitis externa. c<sup>1</sup>. obere halbkreisförmige Linie, linea semicircularis superior. c<sup>2</sup>. äussere Hinterhauptsleiste, crista occipitis externa. c<sup>3</sup>. untere halbkreisförmige Linie, linea semicircularis inferior oss. occipitis. c<sup>4</sup>. Scheitelbeinrand, margo parietalis. c<sup>5</sup>. Warzenbeinrand, margo mastoideus.

#### D. os petrosum.

d. pars squamosa. d<sup>1</sup>. pars mastoidea. d<sup>2</sup>. process. mastoideus. d<sup>3</sup>. Warzenbeinausschnitt, incisura mastoidea.



*d*<sup>4</sup>. Warzenbeinloch, *foramen mastoideum*. *d*<sup>5</sup>. *process. zygomaticus*.

*E. os zygomaticum.*

*e*. *process. temporalis*. *e*<sup>1</sup>. *e*<sup>1</sup>. *superf. temporalis*. *e*<sup>2</sup>. untere Augenhöhlenspalte, *fissura orbitalis inferior*. *e*<sup>3</sup>. *foramen zygomaticum posterius*, hinteres Wangenbeinloch.

*F. os maxillare superius.*

*f*. *superficies temporalis s. tuberositas maxillae superioris*. *f*<sup>1</sup>. *superf. orbitalis corporis maxillae sup.*

*G. os maxillare inferius.*

*g*. *superficies interna s. posterior*. *g*<sup>1</sup>. *process. coronoideus* *g*<sup>2</sup>. *process. condyloideus*.

---

*Columna vertebrarum.*

1—7. *vertebrae colli* 1. *vertebra prima s. atlas*. *a*. hinterer Bogen, *arcus posterior*. *a*<sup>1</sup>. hinterer Höcker, *tuberc. posterius*. *a*<sup>2</sup>. *process. transversus*. *a*<sup>3</sup>. *process. obliquus s. articularis superior*. *a*<sup>4</sup>. *process. obliquus s. articularis inferior*. 2. *vertebra secunda seu epistropheus*. *a*. *arcus*. *a*<sup>1</sup>. Dornfortsatz, *process. spinosus*. *a*<sup>2</sup>. *process. transversus*. *a*<sup>3</sup>. *process. obliquus superior*. *a*<sup>4</sup>. *inferior*. *a*<sup>5</sup>. *foramen vertebrale*. *a*<sup>6</sup>. *corpus*. *a*<sup>7</sup>. Zahnfortsatz des 2ten Halswirbels, *process. odontoideus s. dens*. 8—19. *vertebrae dorsii*. *b*. *arcus*. *b*<sup>1</sup>. *processus spinosus*. *b*<sup>2</sup>. *process. transversus*. *b*<sup>3</sup>. *process. obliq. sup.* *b*<sup>4</sup>. *inferior*. 20—24. *vertebrae lumborum*. *c*. *arcus*. *c*<sup>1</sup>. *process. spinosus*. *c*<sup>2</sup>. *process. obliquus superior*. *c*<sup>3</sup>. *inferior*. *c*<sup>4</sup>. *process. transversus*. *c*<sup>5</sup>. *corpus*. *c*<sup>6</sup>. *ligamentum intervertebrale*.

---

*I-XII. Costae.*

*d*. Höcker der Rippen, *tuberculum costae*, *d*<sup>1</sup>. Articulation



der Rippe mit dem *processus transversus* der Wirbel *d<sup>2</sup>*. Winkel der Rippen, *angulus costae. d<sup>3</sup>. cartilago costalis.*

---

*P e l v i s.*

*A. os sacrum.*

1—5. Die fünf Wirbel, woraus das hl. Bein in früherer Periode besteht, *vertebrae pelvis s. spuriae oss. sacri. B. os coccygis.* 6—9. die vier falschen Wirbel des *os coccygis, vertebrae spuriae oss. coccygis.* 5. 10. Rückenmarkskanal, *canalis sacralis*, und Körper des ersten und fünften Wirbels des hl. Beines, *corpus vertebrae primae et quint. oss. sacri.* 11—15. *arcus vertebrarum oss. sacri.* 16—18. falsche Dornfortsätze, *processus spinosi spurii.* 18. Kreuzbeinhörner, *cornua sacralia*, genannt. 19. schiefer Fortsatz, *process. obliquus vertebrae primae.* 20. 21. 22. 25. falsche schiefe Fortsätze, *processus obliqui spurii.* 24. 25. 26. 27. 28. *processus transversi spurii.* 24. 29. 30. Seitentheile, *partes laterales.* 24—29. *tuberositas oss. sacri.* 31. hintere hl. Beinlöcher, *foramina sacralia posteriora.* 32. *incisura intervertebralis.* 33. Steissbeinhörner, *cornua coccygea. s. process. obliqui spurii.* 34. *processus transversi spurii.* — *C. ossa coxarum s. innominata.* 35. *labium posterius cristae oss. ilii.* 36. *planum semicirculare superius superficiei externae.* 37. *linea eminens semicircularis.* 38. *planum semicirculare inferius.* 39. *spina posterior superior.* 40. *spina posterior inferior.* 41. *incisura semilunaris.* 42. *incisura ischiadica superior s. major.* 43. *corpus oss. ischii.* 44. *limbus acetabuli.* 45. Sitzbeinstachel, *spina oss. ischii.* 46. 47. *ramus descendens.* 46. Sitzbeinhöcker, *tuberositas oss. ischii.* 27. unterer oder kleinerer Sitzbeinausschnitt, *incisura ischiadica minor.*



48. ramus descendens. 49. corpus oss. pubis. 50. ramus horizontalis. 51. ramus descendens. 52. foramen ovale s. obturatorium.

---

*Extremitates superiores.*

*A. Clavicula.*

a. Extremitas anterior s. sternalis. a<sup>1</sup>. extremit. scapularis. a<sup>2</sup>. tuberculum clavulare.

*B. Scapula.*

b. Obergräthengrube, fossa supraspinata. b<sup>1</sup>. Untergräthengrube, fossa infraspinata. b<sup>2</sup>. dreieckige Fläche, superficies triangularis. b<sup>3</sup>. Gräthe, spina scapulae. b<sup>4</sup>. Gräthenecke, acromion. b<sup>5</sup>. angulus superior s. internus. b<sup>6</sup>. angulus externus s. process. condyloideus. b<sup>7</sup>. angulus inferior. b<sup>8</sup>. margo superior. b<sup>9</sup>. margo internus s. basis scapulae. b<sup>10</sup>. margo externus.

*C. Os humeri.*

c. caput. c<sup>1</sup>. collum. c<sup>2</sup>-c<sup>4</sup>. tuberculum majus. c<sup>2</sup>. oberer Muskel-eindruck, impressio muscularis prima tuberculi majoris. c<sup>3</sup>. impressio secunda. c<sup>4</sup>. impress. tertia. C. superfic. posterior. c<sup>5</sup>. superfic. externa. c<sup>6</sup>. condylus externus. c<sup>7</sup> condylus internus. c. fossa posterior s. sinus maximus oss. humeri.

*D. Radius.*

d. capitulum et circumferentia articularis radii. d<sup>1</sup>. collum. d<sup>2</sup>. tuberositas radii. d<sup>3</sup>. Dorsalfläche, superf. dorsalis s. posterior. d<sup>4</sup>. superfic. radialis s. externa. d<sup>5</sup>. crista radii. d<sup>6</sup>. process. styloideus. d<sup>7</sup>. d<sup>8</sup>. d<sup>9</sup>. Sehnenfurchen, sulci tendinum extens. manus.

*E. Ulna.*

e. Ellenbogenfortsatz und Ellenbogenknoren, process. anco-

neus s. olecranon, et tuberositas olecrani. e<sup>1</sup>. superf. dorsalis. e<sup>2</sup>. superf. ulnaris s. interna. e<sup>3</sup>. crista ulnae. e<sup>4</sup>. process. styloideus: e<sup>5</sup>. sulcus tendinis m. ulnaris interni.

Ossa manus.

F. os naviculare. G. lunatum. H. triquetrum. I. pisiforme. K. multangulum majus. L. multangulum minus. M. capitatum. N. hamatum.

Ossa extremitatum inferiorum.

A. os femoris.

a. caput et collum femoris. a<sup>1</sup>. trochanter major. a<sup>2</sup>. trochanter minor. a<sup>3</sup>. linea intertrochanterica posterior. a<sup>4</sup>. a<sup>5</sup>. a<sup>6</sup>. rauhe Linie, linea aspera s. angulus posterior. a<sup>7</sup>. superf. externa. a<sup>8</sup>. superficies interna. a<sup>9</sup>. superf. articularis condyli externi. a<sup>10</sup>. condyli interni. a<sup>11</sup>. tuberositas condyli externi. a<sup>12</sup>. tuberositas condyli interni. a<sup>13</sup>. Grabe zwischen den Gelenkhügeln, fossa condylo- rum posterior s. poples, die Knickehle. a<sup>14</sup>. cartilagine semilunares genu.

B. fibula.

b. capitulum fibulae. b<sup>1</sup>. superf. posterior. b<sup>2</sup>. crista fibulae. b<sup>3</sup>. superf. externa. b<sup>4</sup>. process. malleolaris externus.

C. tibia.

c. condylus externus. c<sup>1</sup>. condylus internus. c<sup>2</sup>. superf. posterior. c<sup>3</sup>. angulus internus. c<sup>4</sup>. angulus externus. c<sup>5</sup>. malleolus internus. c<sup>6</sup>. sulcus malleoli interni. c<sup>7</sup>. cavitas peronea.

Ossa pedis.

D. Talus. d. superf. articularis interna s. tibialis. d<sup>1</sup>. superf. articularis anterior. d<sup>2</sup>. superf. articularis supe-



rior. d<sup>3</sup>. *superf. articularis externa s. peronea. E. calcaneus. e. superficies interna. e<sup>1</sup>. superf. inferior. e<sup>2</sup>. processus internus s. sustentaculum cervicis tali. e<sup>3</sup>. tuberculum internum s. majus. e<sup>4</sup>. tuberculum externum s. minus. e<sup>5</sup>. hintere Fläche oder Fersenbeinhöcker, tuberositas calcanei. e<sup>6</sup>. superf. externa. F. os naviculare. H. cuneiforme secundum. I. cuneiforme tertium. K. cuboideum.*

# Erklärung der ersten Tafel.

## Fig. I.

Gehirnschädelgrundfläche, *basis cranii*, eines weiblichen Schädels \*).

*a.* Stirnhöhle, *sinus frontalis*. *a*<sup>1</sup>. Stirnleiste, *crista frontalis*. *a*<sup>2</sup>. blindes Loch, *foramen coecum*. *a*<sup>3</sup>. Augenhöhlontheile des Stirnbeins, *partes orbitales*, ausgezeichnet durch Hervorragungen und Fingereindrücke des Gehirns, *impresiones et juga cerebralia*. *b.* Hahnenkamm des Siebbeins, *crista galli ossis ethmoidei*. *b*<sup>1</sup>. Häkchen des Hahnenkammes, *hamuli cristae galli*. *b*<sup>2</sup>. Siebplatte, *lamina cribrosa*. *b*<sup>3</sup>. Keilbeinanschnitt der Siebplatte, *incisura sphenoidalis*. *c.* Siebbeinfortsatz des Keilbeins, *processus ethmoidalis ossis sphenoidalis*. *c*<sup>1</sup>. kleine Flügel des Keilbeins, *alae minores seu superiores*. *c*<sup>2</sup>. untere Wurzel des kleinen Flügels, *radix inferior alae minoris*. *c*<sup>3</sup>. Sehloch, *foramen opticum*. *c*<sup>4</sup>. vordere abhängige Fortsätze, *processus clinoides anteriores*. *c*<sup>5</sup>. Knopf des Türkensattels, *tuberculum sellae turcicae*. *c*<sup>6</sup>. mittlere abhängige Fortsätze, *processus clinoides medii*. *c*<sup>7</sup>. Türkensattel, *sella turcica*. *c*<sup>8</sup>. Rinne der

\*) Zum Theil nach Sömmerring.



innern Gehirnschlagader, *sulcus caroticus*. c<sup>9</sup>. Zänglein *lingula*, des *sulcus caroticus*. c<sup>10</sup>. Sattellehne, *dorsum ephippii*. c<sup>11</sup>. hintere abhängige Fortsätze, *processus clinoides posteriores*. c<sup>12</sup>. obere Augenhöhle, *fissura orbitalis superior*. c<sup>13</sup>. rundes Loch, *foramen rotundum*. c<sup>14</sup>. *foramen ovale*. c<sup>15</sup>. *foramen spinosum*. c<sup>16</sup>. vorderes gerissenes Loch, *foramen lacerum anterius*. c<sup>17</sup>. grosse Flügel des Keilbeins, *alae majores s. laterales*. d. Grundtheil des Hinterhauptbeins, *pars basilaris ossis occipitis*. d<sup>1</sup>. untere Felsenblutleiterfurchen, *sulcus petrosi inferiores*. d<sup>2</sup>. Felsengrundbeinspalte, *fissura petro-basilaris*. d<sup>3</sup>. namenloser Höcker der Gelenktheile des Hinterhauptbeins, *processus anonymus*. d<sup>4</sup>. Vorderes Gelenkhügelloch, *foramen condyloideum anterius*. d<sup>5</sup>. Hinterhauptloch, *foramen magnum ossis occipitis*. d<sup>6</sup>. innere Oeffnung des hintern Gelenkhügellockes, *foramen condyloideum posterius*. d<sup>7</sup>. Querblutleiterfurchen des Hinterhauptbeins, *sulcus transversus ossis occipitalis*. d<sup>8</sup>. hinteres gerissenes Loch, *foramen lacerum posterius s. jugulare*. d<sup>9</sup>. eigene Oeffnung zum Durchgang des *nervus glossopharyngeus*, *foramen nervi glossopharyngei*. d<sup>10</sup>. Gruben der Schuppe des Hinterhauptbeins für das kleine Gehirn, *fossae cerebelli*. d<sup>11</sup>. *crista occipitis interna*. d<sup>12</sup>. innerer Hinterhauptshöcker, *protuberantia occipitis interna*. d<sup>13</sup>. *sulcus transversus ossis occipitis*. d<sup>14</sup>. Längsblutleiterfurchen, *sulcus longitudinalis oss. occipitis*. d<sup>15</sup>. *fossae cerebri*. e. Schuppentheile, *pars squamosa*, der Schläfentheile, *ossa temporum*. e<sup>1</sup>. vordere Fläche des Felsentheils der Schläfenbeine, *superficies anterior partis petrosae oss. temp.* e<sup>2</sup>. Schuppen-Felsentheilmath, *sutura petroso-squamosa*. e<sup>3</sup>. obere Felsenblutleiterfurchen, *sulcus petrosus superior*. e<sup>4</sup>. innere Oeffnung des carotischen Canals,



*apertura interna canalis carotici.* e<sup>5</sup>. Furche für den oberflächlichen Felsenweig des *nervus Vidianus*, *sulcus rami super facialis s. petrosi nervi vidiani.* e<sup>6</sup>. innerer Gehörgang, *porus acusticus internus.* e<sup>7</sup>. äussere Oeffnung der Wasserleitung des Vorhofs, *apertura externa aquaeductus vestibuli.* e<sup>8</sup>. Querblutleiterfurche des Warzentheils der Schläfenbeine, *sulcus transversus ossis temporum seu fossa sigmoidea partis mastoideae.* e<sup>9</sup>. *fossa cerebelli partis mastoideae oss. temp.* f. f<sup>1</sup>. Warzenteilwinkel des Scheitelbeins, *angulus mastoideus oss. parietalis* f<sup>1</sup>. *sulcus transversus ossis bregmatis.*

Fig. II.

Senkrechter Längendurchschnitt des Schädels, von einem jungen Manne.

A. Stirnbein, *os frontale.* a. Stirntheil des Stirnbeins, *pars frontalis.* a<sup>1</sup>. *crista frontalis*, welche nach oben in den *sulcus longitudinalis* ausläuft. a<sup>2</sup>. *pars orbitalis.* a<sup>3</sup>. Scheidewand der Stirnhöhlen *septum sinuum frontaliū.* Nasenstachel, *spina nasalis.* B Scheitelbein, *os parietale.* b. Gehirnfläche des Scheitelbeins, *superficies cerebralis oss. bregmatis.* b<sup>1</sup>. Pachionische Gruben, *fossae glandularum Pachionii.* b<sup>2</sup>. sogenannte Ernährungslöcher, *foramina nutritia.* b<sup>3</sup>. Arterienfurche für den vordern Ast der *arteria meningea media.* b<sup>4</sup>. Keilbeinwinkel des Scheitelbeins, *angulus sphenoidalis.* b<sup>5</sup>. *angulus mastoideus.* b<sup>6</sup>. *sulcus transversus.* b<sup>7</sup>. *angulus frontalis.* b<sup>8</sup>. *angulus occipitalis.*

C. C<sup>1</sup>. C<sup>2</sup>. Hinterhauptbein, *os occipitis.* C. Grundtheil, *pars basilaris.* c. *fossa pro medulla oblongata.* c<sup>1</sup>. *sulcus petrosus inferior.* c<sup>1</sup>. Gelenktheil, *pars condyloidea.* c<sup>2</sup>. *processus anonymus.* c<sup>3</sup>. *foramen condyloideum anterius.* c<sup>3</sup>. Gelenkhügel, *processus condyloideus.* e<sup>5</sup>. Kehlfortsatz, *processus jugularis.* e<sup>7</sup>. Kehlausschnitt



und Kehlloch, *incisura jugularis et foramen jugulare s. lacerum posterius*. c<sup>8</sup>. *fissura petro-basilaris*. C<sub>2</sub>. Schuppentheil des Hinterhauptbeins, *squama ossis occipitis*. c<sup>9</sup>. *foramen magnum ossis occipitis*. c<sup>10</sup>. c<sup>11</sup>. *fossae cerebelli*. c<sup>12</sup>. *crista occipitis interna*. c<sup>13</sup>. *protuberantia occipitis interna*. c<sup>14</sup>. *sulcus longitudinalis*. c<sup>15</sup>. *sulcus transversus*. c<sup>16</sup>. *fossa cerebri*.

D. Schläfenbein, *os temporum*. d. *pars squamosa*. d<sub>1</sub>. *sulcus arteriosus rami posterioris arteriae meningae*. e. *pars petrosa* e<sub>1</sub>. *canalis communis nervorum auditus s. porus acusticus internus*. e<sub>2</sub>. *apertura externa aquaeductus vestibuli*. e<sup>3</sup>. e<sup>4</sup>. *sulcus petrosus superior*. e<sup>5</sup>. *apertura externa aquaeductus cochleae*. e<sup>6</sup>. Griffelfortsatz, *processus styloideus*. f. *pars mastoidea*. f<sub>1</sub>. *sulcus transversus*. f<sub>2</sub>. *fossa cerebelli partis mastoideae*. f<sub>3</sub>. Warzenthelloch, *foramen mastoideum*.

E. Keilbein, *os sphenoidaleum*. g. Scheidewand der Keilbeinhöhlen, *septum sinuum sphenoidalium*. g<sub>1</sub>. g<sub>2</sub>. Schnabel und Leiste des Keilbeinkörpers, *rostrum et crista sphenoidalis*. g<sub>3</sub>. *sella turcica*. g<sup>4</sup>. *processus clinoides medius*. g<sup>5</sup>. Abdachung Blumenbachs, *clivus Blumenbachii*. g<sup>6</sup>. *processus clinoides posterior*. h. *ala minor*. h<sup>1</sup>. *radix inferior alae minoris*. h<sup>2</sup>. *foramen opticum*. h<sup>3</sup>. *processus clinoides anterior*. h<sup>4</sup>. halbmondförmiger Rand der obern Wurzel der kleinen Keilbeinflügel, *margo semilunaris alae minoris*. i. *superficies interna alae lateralis s. majoris*. k abwärtssteigender Flügel oder flügel förmiger Fortsatz des Keilbeins, *ala pterygoidea*. k<sup>1</sup>. Häkchen des innern Blattes dieses Flügels, *hamulus pterygoideus laminae internae process. pterygoidei*. k<sup>2</sup>. *lamina externa process. pterygoidei*.



F. Siebbein, *os ethmoideum*. l. *crista galli*. m. senkrechte Platte, *lamina perpendicularis*.

G. Pflugschaarbein, *vomer*. n. lippiger Rand, *margo labialis*. n<sup>1</sup>. freier scharfer Rand, *margo acutus*. n<sup>2</sup>. Rand für den Knorpel der Nasenscheidewand, *margo cartilaginis septi narium*.

H. Oberkiefer, *os maxillare superius*. o. o. Gaumenfortsatz, *processus palatinus*. o<sup>1</sup>. o<sup>1</sup>. Gaumenfortsatzleiste, *crista palatina*. o<sup>2</sup>. untere Fläche des Gaumenfortsatzes, *superf. inferior processus palatini*. I. Zwischenkiefer, *os intermaxillare s. incisivum*. o<sup>3</sup>. o<sup>4</sup>. Zwischenkieferkanal, *canalis intermaxillaris s. incisivus*, durch den eine Borste gebracht ist. o<sup>5</sup>. o<sup>6</sup>. *sutura intermaxillaris s. incisura posterior*. o<sup>7</sup>. *processus nasalis ossis intermaxillaris*. o<sup>8</sup>. *spina nasalis anterior*. o<sup>9</sup>. *processus alveolaris ossis intermaxillaris*. o<sup>10</sup>. *processus alveolaris maxillae superioris*.

K. Gaumenbein, *os palatinum*. L. Nasenbein, *os nasale*. M. Unterkiefer, *os maxillare inferius*. p. Eingang in den Unterkieferkanal, *apertura superior canalis alveolaris*. p<sup>1</sup>. *linea obliqua interna*. p<sup>2</sup>. Backzahngrube, *fossa mylohyoidea*. p<sup>3</sup>. *angulus maxillae inferioris*. p<sup>4</sup>. *tuberculum mentale internum*. p<sup>5</sup>. *sulcus nervi mylohyoidei*. q mittlere Muschel, *concha media*. r. untere Muschel, *concha inferior*. s. *processus nasalis s. frontalis maxillae superioris*. t. *sulcus arteriosus superficiei nasalis oss. nasalis*.

---



Ich nenne diese Furche Gaumenbeinfurche, *sulcus oss. palatini*. *i.* Gaumenkeilbeinloch, *foramen sphenopalatinum*. *k. k. k<sup>1</sup>*. Pyramidenfortsatz, *process. pyramidalis*. *k<sup>1</sup>*. die hintere Fläche davon, welche in Gemeinschaft mit den abwärtssteigenden Flügeln des Keilbeins die Keilbeinflügelgrube, *fossa pterygoidea*, bildet. *k<sup>1</sup>. k<sup>1</sup>*. die beiden Ränder, womit sich die *alae pterygoideae* verbinden. *l.* Nasenfläche des horizontalen Theiles des Gaumenbeins. *m.* hinterer Nasenstachel, *spina nasalis posterior*. *n.* der hintere halbmondförmige Rand, *margo posterior s. semilunaris*. *o.* der innere Rand mit der Gaumenleiste, *margo internus et crista palatina oss. palatini*.

Fig. V.

Der Oberkiefer der rechten Seite in Verbindung mit dem Gaumenbein seitlich und von aussen angesehen,  
*a.* Gesichtsfäche, *superf. facialis*. *a<sup>1</sup>*. vorderer Nasenstachel *spina nasalis anterior*. *b.* Schläfenfläche, *superf. temporalis s. tuberositas maxillae superioris*. *b<sup>1</sup>*. Oberkieferlöcher, *foramina alveolaria superiora*. *c.* Augenhöhlenfläche, *superf. orbitalis*. *c<sup>1</sup>*. Anfang des Unteraugenhöhlenkanals, *apertura posterior canalis infraorbitalis*. *c<sup>2</sup>*. Ausmündung, des Unteraugenhöhlenkanals, *apertura exterior c. infraorb. s. foramen infraorbitale*. *d. e.* Stirnfortsatz, *processus frontalis*. *f. f<sup>1</sup>*. der Wangenfortsatz. — *h.* der Augenhöhlenfortsatz des Gaumenbeins, *process. orbitalis oss. palatini*. *i.* das Gaumenkeilbeinloch, *foramen sphenopalatinum*. *k.* der Keilbeinfortsatz, *process. sphenoidalis*. *l. m.* die Gaumenbeinfurche, *sulcus ossis palatini*. *n.* der Pyramidenfortsatz, *process. pyramidalis*.

Fig. VI.

Das Gaumenbein der rechten Seite von aussen,  
*a. b.* senkrechter Theil, *pars perpendicularis*. *a.* das Feld,



welches in die Oberkieferhöhle sieht. *b.* das raube Feld, welches mit dem Körper des Oberkiefers sich verbindet, *margo externus.* *c.* vorderer Rand, *margo anterior.* *d.* hinterer Rand, *margo posterior.* *e.* Augenhöhlenfläche. *f.* Siebbeinfläche des Augenhöhlenfortsatzes, *superf. orbitalis et ethmoidalis process. orbitalis oss. palatini.* *g.* Keilbeinfortsatz, *process. sphenoidalis.* *h.* Gaumenkeilbeinloch, *foramen sphenopalatinum.* *i.* die Gaumenbeinfurche, *sulcus ossis palatini.* *k. k.* Sonde durch den Gaumenbeinkanal, *canalis ossis palatini.* Der *sulcus ossis palatini* führt in den *canalis oss. palatini*, und da sich an ihn der *sulcus* der *alae pterygoideae ossis sphenoidaei* lagert, so führt dieser ganze Kanal den Namen: *canalis pterygoideus.* *l. m. n.* Nasenfortsatz, *processus nasalis.* *m.* der obere Schenkel des Nasenhöhlenfortsatzes, *crus superius process. nasalis*, welcher in der Nasenhöhle am Eingang der Oberkieferhöhle sich befindet, *l. n.* der untere und äussere Schenkel dieses Fortsatzes, welcher in der Oberkieferhöhle dicht an der Nasenwand des Körpers des Oberkiefers herabtritt. *o. o<sup>l</sup>.* der horizontale Theil des Gaumenbeins, *pars horizontalis.* *o. spina nasalis posterior.* *o<sup>l</sup>.* *crista palatina.*

Fig. VII.

Der rechte Oberkiefer mit dem Gaumenbein seitlich und von innen.

*a. a.* Obere quere Muschelleiste, *linea transversa superior.* *b.* untere quere Muschelleiste, *linea turbinata inferior.* *c.* Thränenkanalfurche, *sulcus canalis lacrymalis membranacei.* *d.* Nasenfläche des Oberkiefers, *superf. nasalis.* *e.* innerer Rand des Gaumenfortsatzes des Oberkiefers und des Gaumenbeins, *margo internus maxillae sup. et. oss. palatini.* *f.* Zahnfortsatz, *process. alveolaris.* *g.* Zwischenkiefer, *os*



*pyracea. c. cellulae lacrymales. d. processus s. hamulus uncinatus minor. e. processus s. hamulus uncinatus major. f. concha media.*

Fig. XIII.

Das Siebbein von unten.

*a. lamina perpendicularis. b. concha media. c. concha superior. d. cellulae palatinae. e. process. uncinatus minor. f. process. uncinatus major.*

Fig. XIV.

Die Nasenhöhle.

*a. die rechte Stirnhöhle, sinus dexter ossis frontis. b. concha superior. c. concha media. d. concha inferior. e. die rechte Keilbeinhöhle, sinus dexter oss. sphenoidalis. f. Ausmündungsstelle des Sinus, apertura sinus sphenoidalis. g. foramen sphenopalatinum. h. Ausmündung der Highmorshöhle, apertura sinus maxillaris. i. Ausmündungen der Siebbeinzellen, aperturæ cellularum oss. ethmoidei.*

Fig. XV.

Die Nasenhöhle, woran die obere und mittlere Muschel ganz, die untern Muscheln zum Theil hinweggebrochenen sind.

*a. Ausmündung der Stirnhöhle in die Nasenhöhle, apertura sinus frontalis. b. processus uncinatus major. c. Thränenbein, os lacrymale. d. Thränenbeinfortsatz der untern Muschel, processus lacrymalis conchae inferioris. e. Siebbeinfortsatz der untern Muschel, process. ethmoidalis. e<sup>1</sup>. Oberkieferfortsatz der untern Muschel, process. maxillaris conchae inf. — Die Muschel ist etwas in die Höhe gezogen, damit man den ausserhalb der Nasenhöhle und somit in der Oberkieferhöhle gelagerten Oberkieferfortsatz der untern*



Muschel sieht. *f.* Ausmündung des Thränenkanals, *apertura inferior canalis lacrymalis.* *g. g. sinus sphenoidalis.* Dieser Sinus ist durch eine quere Scheidewand auch in eine vordere und hintere Hälfte abgetheilt, und überhaupt sehr gross, obgleich das Präparat von einem weiblichen Subjecte ist.

Fig. XVI.

Die Augenhöhlen von oben.

*a.* Oberkiefer. *b.* Stirnfortsatz des Oberkiefers. *c. canalis incisivus et sutura transversa incisiva.* *d. spina nasalis anterior.* *d<sup>1</sup>. processus nasalis ossis intermaxillaris.* *e. vomer.* *f. os lacrymale.* *g. margo infraorbitalis.* *g<sup>1</sup>. Wangenbeinkanal, canalis zygomaticus.* *h. superficies orbitalis.* *i. canalis infraorbitalis.* *k. fissura orbitalis inferior.* *l. processus orbitalis ossis palatini.* *m. superficies orbitalis der grossen Flügel des Keilbeins.* *n. o. margo superior alae majoris ossis sphenoidaei* *p. cellulae ethmoidales.* *q. lamina papyracea.*

Fig. XVII.

Das Gaumenbein von innen.

*a - a<sup>3</sup>.* horinzontaler Theil, *pars horizontalis.* *a. margo posterior s. arcuatus.* *a<sup>1</sup>. spina nasalis posterior.* *a<sup>2</sup>. margo internus.* *a<sup>3</sup>. crista palatina.* *b - f. pars perpendicularis.* *b. b<sup>1</sup>. superficies interna s. nasalis.* *c. linea turbinata inferior.* *d. linea turbinata superior.* *e. margo anterior.* *f. margo posterior* *g. h. processus orbitalis.* *g. cellula ethmoidalis s. superficies ethmoidalis.* *h. superf. sphenoidalis.* *i. foramen sphenopalatinum.* *h. l. processus sphenoidalis.* *k. superf. superior s. transversa.* *l. superf. nasalis* *m - n. process. nasalis.* *m. radix processus nasalis ossis palatini.* *m<sup>1</sup>. processus nasalis superior s. internus.* *n. processus nasalis inferior s. externus.*



Fig. XVIII.

Die Oberkieferhöhle von aussen geöffnet.

*a. processus nasalis externus s. inferior ossis palatini. b. processus maxillaris conchae inferioris. c. hamulus uncinatus major ossis ethmoidei*, womit der sehr wenig entwickelte *processus ethmoidalis s. nasalis conchae inferioris* verwachsen ist. *d. canalis pterygopalatinus. e. foramen sphenopalatinum.*

Fig. XIX.

Rechtes Thränenbein, *os lacrymale*, von aussen.

*a. sulcus sacci lacrymalis. a<sup>1</sup>. sulcus canalis lacrymalis membranacei. b. crista lacrymalis. b<sup>1</sup>. hamulus lacrymalis. c. superficies orbitalis. d. Harmonie des Thränenbeins mit dem Oberkiefer.*

Fig. XX.

Dasselbe Thränenbein von innen.

*a. superficies ethmoidalis. a<sup>1</sup>. superf. nasalis sulci canalis lacrymalis membranacei.*

Fig. XXI.

Das Keilbein, *os sphenoides*, von vorn.

*a - a<sup>4</sup>. alae minores. a. processus ethmoidalis. a<sup>1</sup>. radix superior. a<sup>2</sup>. radix inferior. a<sup>3</sup>. foramen opticum. a<sup>4</sup>. schwerdtförmiger Fortsatz, *processus ensiformis*, der kleine Flügel, wovon diese selbst auch den Namen schwerdtförmige Flügel erhalten haben. a<sup>5</sup>. *fissura orbitalis superior. b - b<sup>6</sup>. alae laterales s. majores. b. superf. orbitalis. b<sup>1</sup>. margo inferior. b<sup>2</sup>. superf. externas temporalis. b<sup>3</sup>. superficies externa inferior. b<sup>4</sup>. *processus spinosus. b<sup>5</sup>. linea transversa. b<sup>6</sup>. foramen rotundum. c - c<sup>5</sup>. *processus pterygoidei, seu descendentes. c.****

*radix laminae externae. c<sup>1</sup>. lamina externa. c<sup>2</sup>. lamina interna process. pterygoid. c<sup>3</sup>. hamulus pterygoideus. c<sup>4</sup>. radix laminae internae s. processus vaginalis. c<sup>5</sup>. fissura inter laminam externam et internam processus pterygoidei ossis sphenoidalis. c<sup>6</sup>. canalis Vidianus, c<sup>7</sup>. sulcus pterygoideus, welcher zur Bildung des canalis pterygopalatinus beiträgt. — 1. sinus sphenoidales. 2. rostrum sphenoidale 3. crista sphenoidalis et septum sinuum sphenoidalium.*

Fig. XXII.

Dasselbe Keilbein mit den Keilbeintuten, *cornua sphenoidalia*.

1. *cornua sphenoidalia. 2. cornu sphenoidale accessorium. 3. Insertion von 2. 4. aperturæ sin. sphenoid.*

Fig. XXIII.

Quersenkrechter Durchschnitt der Keilbeinhöhlen.

*a. sinus sphenoidales. b. septum. c. aperturæ sin. sphenoid. d. canalis Vidianus. e. septum narium. f. concha superior. g. concha media. h. concha inferior. 1. meatus narium superior. 2. medius. 3. inferior. i. fossa pterygoidea. k. processus pyramidalis oss. palatini.*

Fig. XXIV.

Untere Muschel, *concha inferior*, von innen.

1. *superf. interna s. convexa. a. extremitas anterior. b. extremitas posterior. c. processus lacrymalis. d. processus ethmoidalis s. nasalis. e. margo superior. e<sup>1</sup>. incisura semilunaris inter process. ethmoid. et lacrymalem. f. margo inferior.*

Fig. XXV.

Die untere Muschel von aussen.

1. *superf. concava. a. extremitas anterior. a<sup>1</sup>. linea*



*eminens. b. extremitas posterior. b<sup>1</sup>. linea eminens. c. processus maxillaris. d. processus lacrymalis. d. sulcus canalis lacrymalis membranacei. e. process. ethmoidalis.*

Fig. XXVI.

Nasen- und Augenhöhletheile des Stirnbeins, *pars nasalis et partes orbitales ossis frontis.*

*a. Nasentheil, pars nasalis. a. b. incisura nasalis. c. spina nasalis. d. bis i. partes orbitales. d. d. margo cellulosus. e. incisura ethmoidalis. f. superf. orbitalis s. lacunar. g. fossa trochlearis. h. incisura supraorbitalis. i. processus zygomaticus.*

Fig. XXVII.

Erster Halswirbel, *atlas*, von oben.

*a. vorderer Bogen, arcus anterior. a<sup>1</sup>. vorderer Höcker, tuberculum anterius atlantis. a<sup>2</sup>. Gelenkfläche des Zahnfortsatzes des 2. Halswirbels, sinus atlantis. b. Seitenmassen, massae laterales. b<sup>1</sup>. obere schiefe Fortsätze, process. obliqui s. articulares superiores. b<sup>2</sup>. Seitenhöcker, tuberculum laterale. b<sup>3</sup>. vordere Wurzel des Querfortsatzes, radix anterior process. transversi. c. hinterer Bogen, arcus posterior. c<sup>1</sup>. hinterer Höcker, tuberculum posterius atlantis. c<sup>2</sup>. oberer Zwischenwirbelausschnitt, incisura intervertebralis. c<sup>3</sup>. Querfortsatz, c<sup>4</sup>. hintere Wurzel davon, radix posterior. c<sup>5</sup>. Wirbelloch, foramen vertebrale. d. Rückenmarksloch, foramen medullare.*

Fig. XXVIII.

Zweiter Halswirbel, *epistropheus*.

*a. Körper, corpus. a<sup>1</sup>. Zahnfortsatz, processus odontoideus. a<sup>2</sup>. Gelenkfläche, superfic. articularis. b. Bogen, arcus-*

*b*<sup>1</sup>. *process. obliqui superiores.* *b*<sup>2</sup>. *process. transversi.* *b*<sup>3</sup>. *radix anterior.* *b*<sup>4</sup>. *radix posterior.* *b*<sup>5</sup>. *foramen vertebrale.* *b*<sup>6</sup>. *incisura intervertebralis.* *c.* *foramen medullare.* *d.* Dornfortsatz, *process. spinosus.*

Fig. XXIX.

Die vordere Fläche des Kreuzbeins und Steissbeins, *ossis sacri et coccygis superf. ant.*

*a.* *a*<sup>1</sup>. *a*<sup>2</sup>. Basis. *a.* Articulationsfläche mit dem 5. Lendenwirbel. *a*<sup>3</sup>. Spitze, *apex.* *b b,* Seitenmassen, *massae laterales.* *c.* *c*<sup>1</sup>. *c.* *linea arcuata s. terminalis.* *c*<sup>2</sup>. Vorgebürg, *promontorium.* *d.* vordere Kreuzbeinlöcher, *foramina sacralia anteriora.* *d*<sup>1</sup>. Zwischenwirbelloch, *foramen intervertebrale.* *d*<sup>2</sup>. hintere Kreuzbeinlöcher, *foramina sacralia posteriora.* *e.* *processus obliquus.* *f.* *lineae eminentes* *h.* *cornua coccygea s. process. obliqui.* *g.* *processus transversi.* 1. 2. 3. 2. 5. die Körper der Beckenwirbel. 6. 7. 8. 9. Körper des Steissbeins.

Fig. XXX.

Reifer *Foetus*-Schädel von oben und vorn.

*a.* Stirnhöcker, *tuber frontale.* *b.* Scheitelbeinwinkel des Stirnbeins, *angulus parietalis oss. frontis.* *c.* Scheitelbein, *os. parietale.* *d.* Stirnwinkel der Scheitelbeine, *angulus frontalis oss. parietalium.* *e.* das Stirnbein besteht beim *Foetus* aus 2. Hälften. *f.* auch der Unterkiefer ist zu dieser Zeit in der Mittellinie getheilt. 1. die grosse oder vierseitige Fontanelle, *fonticulus major s. quadrangularis.*

Fig. XXXI.

Derselbe Schädel von der Seite.

*a.* *tuber frontale.* *b.* *angulus parietalis oss. frontis.* *c.* *tuber parietale.* *d.* *angulus frontalis.* *e.* *angulus occipi-*



*talis f. angulus sphenoidalis. g. angulus mastoideus ossis parietalis. 1. fonticulus major. 2. hintere, kleine oder dreieckige Fontanelle, fonticulus triangularis. 3. hintere seitliche Fontanellen, fonticuli laterales posteriores. s. Casserii. 4. vordere seitliche Fontanellen, f. laterae anteriores. h. Schuppentheil, pars squamosa. i. Warzenthail, pars mastoidea. k. Trommelfellring, annulus tympani. l. Trommelfell, membrana tympani.*

Fig. XXXII.

Derselbe Schädel von hinten und unten.

*1. hintere oder dreieckige Fontanelle, fonticulus posterior s. triangularis. 2. hintere seitliche Fontanellen, fonticuli posteriores laterales. a. Schuppentheil, pars squamosa. b. partes condyloideae. c. pars basilaris. d. divisio maxillae inferioris.*

Fig. XXXIII.

Linker Hüftknochen eines *Foetus*.

*a. Darmbein, os ilium. b. Schambein, os pubis. c. Sitzbein, os ischii, sind noch ganz getrennt. 1. Hüftgelenkpfanne, acetabulum. 2. ovales Loch, foramen ovale.*

Fig. XXXIV.

Becken eines *Foetus* von oben und vorn.

*a. os ilium. b. os pubis. c. os ischii. d. die Körper der Beckenwirbel, corpora vertebrarum pelvis. e. Knochenkerne der Seitenmasse, puncta ossificationis massae lateralis pelvis.*

## Zweite Tafel.

Stellt nach Sömmerring\*) die Gehörorgane, die Stimm- und Geschmacksorgane dar.

(Die ersten neun Figuren zeigen die Abbildungen des äussern Theiles des Hör-Organes, oder des äussern Ohres, der Muskeln, die so wohl den ganzen Knorpel desselben gegen den Hirnschädel, als die einzelne Stellen dieses Knorpels gegen einander, bewegen, und des Zusammenhanges des äussern Ohres durch den Gehörgang und die Gehörknöchelchen mit dem Labyrinth.)

### Figur I.

Wohl gebildetes männliches linkes Ohr.

a. bis e. Aeusserer Umschlag, Saum, oder Leiste, *helix*, des äussern Ohres. a. Oberes Ende der Leiste, welches sich in der Muschel verliert. b. Stelle der Leiste, die in die Haut des Gesichtes übergeht. c. d. Vom Haupte frei abstehender Theil. e. Unteres Ende der Leiste, welche in das Ohrläppchen übergeht.

f. bis m. Gegenleiste, *anthelex*, gleichsam ein Anfang einer Faltung des äusseren Ohres. f. g. Oberes doppeltes oder zweischenkeliges Ende der Ohrgegenleiste, welche sich unter der Leiste verliert. h. Vereinigung der beiden Schenkel der Gegenleiste des obern f. und des untern g. nach unten zu.

---

\*) Abbildungen der menschlichen Hör- Stimm- und Geschmack- Organe. Frankf. a. M., 1806. 9 Tafeln in Folio.



*i. k.* Unteres Ende der Gegenleiste, welches sich theils bei *i.* in die Muschel, theils bei *k.* in die Gegenecke, *antitragus*, *m.* verliert. *l.* Ecke, *tragus*, des äusseren Ohres, welches von vorn her den Eingang des Gehörganges verdeckt. *m.* Gegen-Ecke, in welche sich die Gegenleiste verliert. *n.* Das Ohrläppchen, *auricula*. *o. o.* Rinne zwischen der Leiste und der Gegenleiste, *fossa scaphoidea*. *p.* Ovale oder dreieckige Vertiefung zwischen den Schenkeln der Gegenleiste, *fossa ovalis s. triangularis*. *q.* Muschelförmige Vertiefung, *concha*. *r.* Anfang des Gehörganges.

Figur II.

Wohl gebildetes weibliches äusseres Ohr.

Figur III.

Äusseres Ohr einer alten Frau, nach Ablösung der Oberhaut, durch die Einwässerung, um die Menge von grösseren, kleineren und mittlern Schmalzhölzchen auf's deutlichste zu zeigen.

Figur IV.

Darstellung der Muskeln, die das äussere Ohr bewegen.

Diese Muskeln mussten gleichsam vom Schädel abgelöst abgebildet werden, um sie alle besser überschauen zu können. Diess durfte nun so füglicher geschehen, weil diese Muskeln eigentlich nicht an den Knochen des Schädels, sondern nur an den ihn bedeckenden Sehnen und Zellstoff haften, auch keine sehr bestimmte Stelle gegen die Knochen hin einnehmen. *a. d. e.* Knorpel des äusseren Ohres, von der gegen den Schädel gewendeten Seite angesehen. Ganz rein erscheint dieser Knorpel in der achten Figur.

*f. bis p.* Aufwärtszieher des Ohres, *m. attolens*, *f. g. h. i.* Oberes Ende, oder zarte auseinanderliegende Fasern dieses

flachen dünnen Muskels, welche auf dem Schläfenmuskel und der Sehne des Stirn- und Hinterhaupt-Muskels haften, sich strahlenförmig *l. m.* zusammen begeben, und mit den sehnigen Fasern des unteren Endes *o. p.* an der Erhabenheit zwischen den Schenkeln der Gegenleiste haften.

*q.* bis *t.* Vorwärtszieher des Ohres, *m. attrahens.* *q. r.* Vorderes Ende dieses ebenfalls flachen und dünnen Muskels, welches auf der Sehne des Stirn- und Hinterhaupt-Muskels, in der Gegend des Wangenbeines haftet. *s.* Mittlerer Strahlenförmiger Theil. *t.* Hinteres Ende desselben, welches sehnig an der Erhabenheit des Rückens der Leiste haftet, da, wo sie sich in die muschelförmige Vertiefung verliert.

*u.* bis *z.* Zwei Rückwärtszieher des Ohres, *m. retrahentes.*

*u. v. w. x.* oberer und grösserer dieser flachen, doch etwas an Dicke die beiden vorigen übertreffenden, Muskeln. Er besteht aus zwei bis drei Portionen, und haftet mit dem einen Ende *u. v. w.* an dem Zitzenfortsatze des Schläfebeines über der Sehne des Kopfnickers, mit dem entgegen gesetzten deutlich sehnigen Ende *x.* hinten an der Erhabenheit oder Wölbung des Ohrknorpels, welche der muschelförmigen Vertiefung entspricht. *y, z.* Unterer kleinerer dieser Muskeln, welcher schräg gegen den oberen liegt, übrigens mit ihm gleiche Beschaffenheit zu haben pflegt.

#### F i g u r V.

Knorpel des Ohres, von der auswendigen Seite, nebst den ihm eigenen Muskeln.

*a. b. c.* Grosser Muskel der Ohrleiste, *m. helix major.* *a.* Oberes Ende, welches bisweilen mit dem Aufwärtszieher Fig. 6. zwischen *p. q.* vermischt erscheint. *b.* Mittlerer fleischiger Theil. *c.* Unteres sehniges Ende.



*d. e. f.* Kleiner Muskel der Ohrleiste, *helix minor*. *d.* oberes sehniges Ende. *e.* Mittlerer fleischiger Theil, welcher die Spalte (Fig. 7. *b.*) bedeckt. *f.* Unteres sehniges Ende desselben.

*g. h.* Muskel der Ohr-Ecke, *m. tragicus*, an beiden Enden weniger sehnig, als die vorigen Muskeln.

*i. k.* Muskel der Ohrgegenecke, *m. antitragicus*, an beiden Enden deutlich sehnig.

#### Figur VI.

Knorpel des äusseren Ohres, von der einwärts oder gegen den Schädel gewendeten Seite mit seinem Quermuskel.

*a. bis f.* Quermuskel des Ohres, *m. transversus auris*, besteht aus mehreren längeren *a. b. c.* und kürzeren *d. e. f.* Muskelchen, die an ihren entgegengesetzten Enden, nämlich so wohl an dem Ende *a.* oder *d.*, als dem Ende *b.* oder *e.*, sehnig, in der Mitte *e. f.* fleischig, erscheinen.

#### Figur VII.

Ohrknorpel von aussen.

*a. bis f. helix.* Vorsprung oder Hörnchen, *processus s. corniculum cartilaginis auris.* *g. bis k. anthelix.* *g. crus superius. h. crus inferius. s. t. fossa triangularis s. ovis. r. fossa scaphoidea. m. n. p. tragus. q. antitragus. u. v. concha auris w. ω.* Anfang des Gehörganges, *m. q. incisura auris.*

#### Figur VIII.

Ohrknorpel von einwärts.

*a. b. e. helix. d. bis k. anthelix. i. i. concha. k. bis o.* Umfang des vom knöchernen Gehörgange theils abgetrennten *n. o.*, theils losgeschnittenen *k. m.* Knorpels.

Figur IX.

Diese Figur zeigt die wesentlichsten Theile des Gehörorganes im Zusammenhange.

*b.* bis *d.* Gehörgang, *porus s. meatus auditorius.* *e.* Paukenfell, *membrana tympani.* *f. g. h.* Hammer, *malleus.* *i. k.* Ambos, *incus.* bei *m.* Steigbügel, *stapes.* *V. H. A. m. n. o. p.* Labyrinth, *labyrinthus.* *n. o. p.* Schnecke, *cochlea.* *m.* Vorhof, *vestibulum.* *V.* oberer Bogengang, *canalis semicircularis superior.* *H.* innerer Bogengang, *canalis semicircularis internus.* *A.* äusserer Bogengang, *c. semicircularis externus.*

Die folgenden 20 Figuren zeigen die Abbildungen des mittlern Theiles des Hör-Organes, oder der in der Paukenhöhle, *cavitas tympani,* enthaltenen Theile desselben. Sämmtliche Figuren sind theils in natürlicher Lage, Verbindung und Grösse, theils einzeln und vielmal vergrössert dargestellt.

Figur X.

Das Labyrinth nebst den Gehörknöchelchen in viermaliger Vergrösserung.

*a* bis *e.* Hammer, *malleus.* *a.* *processus longus,* langer Fortsatz. *b.* *processus brevis s. obtusus.* *c.* Handgriff, *manubrium.* *d.* *collum.* *e.* *caput mallei.* *f.* bis *i.* Amboss, *incus.* *f.* *corpus.* *g.* *process. obtusus.* *h.* *process. longus.* *i.* *capitulum incudis.* *k.* bis *n.* Steigbügel, *stapes.* *k.* *capitulum.* *l.* *crus anterior.* *m.* *crus posterior.* *n.* *basis.* *o.* bis *M.* Labyrinth. *o. p. q. r.* erste Windung. *s. t. u. v.* zweite Windung. *w. x.* dritte halbe Windung der Schnecke, *cochlea.* *y.* rundes Fenster, *fenestra rotunda s. foramen rotundum.* *z. z.* Vorhof, *vestibulum.* *A. B. C. D.* *canalis semicircularis superior.* *E. F. G. H. D.* *canalis semicircularis internus.* *I. K. L. M.* *canalis semicircularis externus.*



Figur XI.

Umriss des Schläfenbeines aus einem Kinde, nebst den Gehörknochen.

*a-d.* Schläfenbein, *os temporum*. *a.* *pars squamosa*.  
*b.* *process. zygomaticus*. *c.* *pars petrosa*. *d.* *pars mastoi-*  
*dea*. *e. e.* Trommelfellring, *annulus tympani*.

Figur XII. XVI. und XXI.

Der Hammer, *malleus*, von verschiedenen Seiten.

*a-e.* wie Fig. X. \* Gelenkfläche, *superficies articularis*,  
welche an die Gelenkfläche des Ambosses passt. *m.* die  
Furche über welche die Paukenfellsaiten, *chorda tympani*,  
hinläuft.

Figur XIII. äussere, und Figur XXII. innere Seite  
des Ambosses, *incus*.

*f-i.* wie Fig. X. \*. *superficies articularis*.

Figur XIV. XXIII. und XXIV.

Steigbügel, *stapes*, von verschiedenen Ansichten.

*a. b.* *capitulum*, mit der Artikulationsfläche zur Aufnahme  
des runden Beinchens, *os rotundum*, oder des Köpfchens des  
langen Fortsatzes des Ambosses. *c.* *collum*. *d.* *crus anterius*.  
*e.* *crus posterius*. *f.* Grundstück oder Fusstritt, *basis*, des  
Steigbügels. Figur XXV. Durchschnitt. *f. g. h.* Rinne,  
*sulcus*, ringsum innerhalb der Schenkel.

Figur XV.

Steigbügel von oben gesehen.

*a.* *superf. articularis capituli*. *b. c.* *crura*. *d. d.* *basis*.

Figur XVI. 1. und Fig. XXVI.

Durchschnitt vom Hammer.

Figur XVII.

Amboss von vorn. *a. b. process. longus. c. tuberculum seu os lenticulare d. collum tuberculi.* Dieses Knöpfchen ist in ganz frühere Periode vom langen Fortsatz getrennt, daher es auch *os lenticulare s. pisiforme* genannt wird, allein später verwächst es damit innig.

Figur XVIII.

Durchschnitt des Ambosses.

Figur XIX. und XX.

Ohrtrompete und Muskeln der Gehörknochen.

Fig. 19. *a. b. c.* Ohrtrompete, *tuba Eustachiana. d. e. f.* Paukenfellspanner, *m. tensor tympani. g. h. i.* Steigbügelmuskel, *m. stapedius.*

Fig. 20. *a - h.* ist aus den vorhergehenden Figuren bekannt, *e. e.* Ringsum aufgebrochener Gehörgang um die Paukenhöhle deutlich zu sehen. *i. fenestra rotunda. k. malleus. l. incus. m. stapes. n. o. p.* kleiner Erschlaffer des Paukenfelles, *laxator tympani minor. q. r. s.* grosser Erschlaffer des Paukenfelles, *laxator tympani major. seu m. malleus externus. t.* Sehne des Paukenfellspanners. *u. processus pyramidalis* und die Sehne des Steigbügelmuskels, *m. stapedius*, welcher Muskel in der Höhle des *process pyramidalis* enthalten ist, und in der Fig. 19. aufgebrochen ist.

Figur XXVII.

Die Figur erläutert besonders das Paukenfell, die Verbindung der Knochen untereinander und die Art der Vergrößerung der Muskeln mit den Nerven.

*A. superf. anterior partis petrosae. B.* Zellen des Warzen-



fortsatzes, welche mit der *cavitas tympani* in Verbindung stehen. *C.* Endigung des knöchernen Gehörganges, als ein ovaler Ring, an dem das Paukenfell haftet. *D.* Paukenfell. *E. F.* Hammer. *G. H. I.* Ambos. *K. L. M. N.* Seigbügel. *Q. R. S.* *tensor tympani*. *T. U.* *stapedius*. *a. b.* *ligamentum rotundum s. proprium mallei*. *c. d.* *ligament. capsulare*. *e. f.* *ligamentum proprium incudis*. *g - t.* Gesichtsnerv, *nervus facialis*. *i.* *ramus petrosus nervi Vidiani*. *p. q. r. s.* Paukenfellsaite, *chorda tympani*.

Fig. XXVIII.

Wiederholung der vorhergehenden Figur nach Wegnahme des Steigbügels, der Muskeln und des Antlitznervens. *D.* *membrana tympani*. *F.* *manubrium mallei*, welches im Trommelfell festsetzt. *L.* *os lenticulare s. rotundum*. *S.* Knochenkanal in welchem die Sehne des *tensor tympani* verläuft. *w.* abgeschnittene Sehne des Paukenfellspanners. *p. q. r. x. s.* *chorda tympani*.

Die folgenden 15 Figuren stellen das Labyrinth des Gehörorgans dar, und zwar theils in natürlicher Grösse, theils in vierfacher Vergrößerung.

Fig. XXIX u. XXX.

Das Labyrinth von aussen gesehen.

*a. 1. 2. 3.* *cochlea*. *a.* *fenestra rotunda*. 1. erste. 2. zweite. 3. dritte halbe Windung, oder Kuppel, *cupula*, der Schnecke. *c.* punktirte Linie, welche die Richtung des Durchschnitts für die 53. u. 54. Fig. andeutet. *c. d. e. f.* *vestibulum*. *b.* *foramen semiovale s. fenestra ovalis*. *c.* *sulcus foraminis semiovalis*. *g. h. i.* *canalis semicircul. internus*. *k. l. m.* *canal. semic. superior*. *o. p. q.* *canal. semicircul. externus*. *n.* gemeinschaftliche Röhre des innern



Schenkels des obern Bogenganges und des obern Schenkels des innern Bogenganges.

Fig. XXXI. u. XXXII.

Das Labyrinth von innen.

1. 2. 3. *cochlea*. *a. a.* Oeffnungen zum Durchtritt der Nerven und Gefäße des halbrunden Säckchens, *b. b. c. fossa cochleae*. *c.* Eingang in die Spindel, *modiolus*, der Schnecke, worin der *ram. medius nerv. cochleae* verläuft. Die Wasserleitung der Schnecke, *aquaeductus cochleae*. *e. lamina cribrosa vestibuli sup.* *f. lamina cribrosa vestibuli inferior.* *g. - q.* bezeichnen die nämlichen Theile, wie in Fig. 29. \* *aquaeductus vestibuli*.

Fig. XXXIII.

Das Labyrinth von der Seite.

Zur Erleichterung der Vergleichung bezeichnen auch in dieser Fig. die nämlichen Ziffer und Buchstaben die nämlichen Stellen, wie in Fig. 29. u. 31. — *r. aquaeductus cochleae*. *s. aquaeductus vestibuli*.

Fig. XXXIV.

Das Labyrinth von hinten u. oben.

Bezeichnung wie in den vorhergehenden Figuren.

Fig. XXXV. und Fig. XXXVI.

Das Labyrinth in allen seinen Theilen halbirt.

Fig. 55. *a-l* die hintere oder innere Hälfte der Schnecke. *a.* Dicke der Schaal, aus der die Schnecke im sieben bis acht monatlichen Embryo besteht. *b. c. d.* Spiralblatt, *lamina spiralis*. *b. c.* Vorhofstreppe, *scala vestibuli*. *e. f. g. h. i.* Paukentreppe, *scala tympani*. *d.* Hacken des Spiralblattes, *hamulus laminae spiralis*, *k.* Trichter, *infundibulum*. *l. apertura interna aquaeductus cochleae*.  
\*\*, Richtung des Durchschnittes der Schnecke für die 56 fig.



*m - q.* Vorhof, *vestibulum*. *m.* Dicke der Schaale. *n.* *fossa rotunda s. orbicularis*. *o.* *fossa ovalis s. hemieliptica*. Zwischen beiden Gruben ist eine Leiste, welche man deutlich sieht, und mit *p* bezeichnet seyn sollte. *q.* furchenförmige Vertiefung, *sulcus sulciformis*, und *apertura interna aquaeductus vestibuli*. *r.* *G. K. L.* halbirt *canales semicirculares*. *r.* Dicke der Schaale, *G. canalis semic. internus s. maior*. *K. e. s. superior*. *L. c. semic. externus*. 1. 2. 3. 4. 5. Die Mündungen der Bogengänge. 3. ist die gemeinschaftliche Mündung des innern und obern Schenkels des innern und obern Bogenganges.

Fig. 36. 1. 2. 3. vordere Hälfte der Schnecke. 1. erste. 2. zweite, 3. dritte halbe Windung oder die sogenannte Kuppel, *cupula cochleae*. *a. b. c. vestibulum*. 6. *fenestra ovalis*. *G. g. canalis semicirc. internus*. *K. k. can. sem. superior*. *M.* gemeinsch. Rohr. *L. l. canal. sem. externus*.

Figur XXXVII.

Geöffnetes Labyrinth mit den in ihm enthaltenen Theilen.

*a. b. c. cochlea*. *d. e. f. vestibulum*. *g - q. canales semicirculares*. 1. 2. 3. *lamina spiralis*. *r. r.* Saum des Spiralblattes, welcher in die Beinhaut der Schnecke übergeht. *t. u. canalis semicircularis membranaceus internus*. *v. w. x. canalis semicircularis membranaceus superior*. *y. z. e. s. membranac. externus*. *g.* Beide Säckchen des Vorhofes, welche von dieser Seite her als ein gemeinschaftlicher Schlauch erscheinen. — *a. \**. Gehörnerve, *nervus acusticus*. *α. β. γ. ramus posterior*. *n. acustici*. *α. r. maior*. *β. ram. medius*. *γ. r. minor vestibuli*. *\**. *nervus cochleae*.

Figur XXXVIII.

Natürliche Grösse der in der gerade darüber stehenden 37



Fig. vorgestellten Theile, wobei jedoch der Deutlichkeit wegen das Gehäuse geschlossen ist.

Fig. XXXIX.

Das geöffnete Labyrinth, in der Lage wie Fig. XXXV., mit den in ihm enthaltenen Theilen, und der Nervenverbreitung.

*a-e.* 1. 2. 3. 4. *lamina spiralis.* 1. *lamina spiralis ossea.* 2. 3. 4. *lamina spiralis membranacea.* *f.* rundes Säckchen, *sacculus rotundus.* *g. h.* halbmondförmiges Säckchen oder gemeinschaftlicher Schlauch der Bogengänge, *sacculus hemielipticus s. alveus communis ductuum semicircularium.* *l. n. k.* die Erweiterungen der Bogengänge, *ampullae*, ehe sie in den gemeinsamen Schlauch übergchen.

Fig. XL.

Aus dem knöchernen Labyrinth genommene Theile, in natürlicher Grösse und Lage.

Fig. XLI. u. XLII.

Das geöffnete Labyrinth in der Lage wie Fig. XXXI, mit den in ihm enthaltenen Theilen.

*r. r.* ist der Anfangs mit dem Gehörnerven verbundene Gesichtsnerv, *nervus facialis.* Alle übrigen Theile sind schon aus den vorhergehenden Figuren deutlich. — Fig. 42. die enthaltenen Theile ohne Gehäuse in natürlicher Grösse.

Fig. XLIII.

Aeusseres Ohr mit seinen Arterien.

*a.* *arteria carotis externa.* *b-f.* *art. auricularis posterior.* *g.* *art. transversa faciei.* *h.* *art. auricularis anterior inferior.* *i.* Theilung der *art. carotis externa* in die *k. art. maxillaris interna*, und *l. m.* in die *art. frontalis*, woraus die *art. auricularis anterior superior* entspringt.



Fig. XLIV.

Die Nervenverbreitung des *nervus auricularis* vom dritten Halsnervenpaar an dem hintern Umfange des äussern Ohres. Drei Hauptäste, *a. b. c.* sind hier vorhanden.

Fig. XLV.

Horizontale Fläche eines das linke äussere Ohr, den Gehörgang und das Paukenfell, halbirenden geraden und ebenen Durchschnittes. Die Richtung dieses einfachen Schnittes wurde in der 9 Figur durch die Buchstaben *m. c.* und *b.* gegeben. Das Original dazu ist von dem Kopfe eines 18 Jahre alten Jünglings genommen. In dieser Abbildung sieht man die verschiedenen Krümmungen, nebst den abwechselnden Erweiterungen und Verengerungen desselben am deutlichsten dargestellt.

*a.* Haut des Antlitzes, dicht vor der Mitte des äussern Ohres. *b. bis f.* Halbirtes äusseres Ohr. *b.* Läppchen des Ohres. *c.* Ungetheilte oder nicht vom Schnitte getroffene Gegenecke. *d.* Mitten durchschnittene Ecke. *e.* Gegenleiste. *f.* Leiste. *g.* Dicke der Haut des Antlitzes, welche das äussere Ohr bekleidet und von vorn her in die Haut des Gehörganges übergeht. *h.* Fett zwischen der Haut und dem Schläfenmuskel. *i.* Durchschnittene Fleischfasern des Schläfenmuskels. *k. k.* Durchschnittene tiefe Schläfenarterie. *l.* Mit Fett durchzogener Zellstoff in der sogenannten Schläfengrube. *m.* Durchschnittene Muskelfasern. *n.* Durchgesägter vorderer Theil des knöchernen, mit seiner Beinhaut bekleideten, Gehörganges. *p. q. r.* Vorderer Theil des mit seiner Haut bekleideten Ohrknorpels, welcher hier wegen seiner Spalte oder Lücke (s. Fig. 7. *p.*) als zwei Stücke erscheint. *s.* Bandartiger Zellstoff, durch den der Ohrknorpel am knöchernen Gehörgange haftet. *t. u. w.* Hinterer Theil des mit seiner Bein-



haut bekleideten Ohrknorpels. *x.* Zellstoff zwischen dem Gehörgange u. dem Zwischenknorpel des Kiefergelenks *y.* Beinhaut der Paukenhöhle, welche mit der *z.* Beinhaut des Gehörganges, zur Bildung des *α. β. γ.* Paukenfelles sich vereinigt, welches nach innen zu *γ.* erhoben ist. *A. B. C. D.* Durchgesägter Zitzenfortsatz des Schläfebeines. *B.* Höhlchen oder mit einer eigenen Bein- und Schleimhaut bekleidete Zellchen desselben (*cellulae mastoideae*). *C.* Mit Knochenmark gefüllte Zellchen desselben (*diploë*). *F. G. H.* Derbe Hirnhaut, die in der Hirnschalenhöhle den Zitzenfortsatz bekleidet. *F.* Innere, dem Hirne zugewendete, Fläche. *G.* Zwischen den Blättern der Hirnhaut befindlicher Querblutleiter. *I. I.* Beinhaut des Zitzenfortsatzes. *K. K.* Sehne des Kopfnickers. *L. L.* Fettiger Zellstoff zwischen der Sehne des Kopfnickers und der Haut hinter dem Ohre. *M. bis R.* Haut hinter dem Ohre, welche *N. O. P.* den Knorpel des äußeren Ohres umfaßt oder bekleidet, und sich dann schnell verdünnend *P. Q.* in den Gehörgang begibt, um sich in die feine, den knöchernen Theil des Gehörganges bekleidende, Haut *Q. R.* und endlich selbst in das Paukenfell zu verlieren. *S. T. U. V. W.* Halbirter Gehörgang. *S.* Eingang. *T.* Erste oder grössere Krümmung desselben, deren Wölbung nach vorn gerichtet ist. *U.* Zweite oder kleinere Krümmung nach hinten, die folglich der vorigen entgegengesetzt ist. *W.* Dritte kleinste Krümmung, ebenfalls nach hinten. An der Stelle *P.* ist der Gehörgang gewöhnlich enger, als an der Stelle *T.* Die Stelle *V.* ist gewöhnlich die weiteste. *W.* ist jedes Mahl am engsten, weil der Gehörgang schräge durch das Paukenfell geschlossen wird. *T. U.* Stelle, wo sich die Mündungen der Drüsen, die



das Ohrenschnalz absondern, zeigen. Nach vorn zu, in der Gegend *U.*, sind sie am grössten.

Die auffallende Verschiedenheit der Krümmungen und Erweiterungen, die Zartheit und Feinheit der Bekleidung des knöchernen Theiles des Gehörganges *S. T. U. V. W.*, die man hier sehr deutlich erkennt, und welche ganz eigens aufs genaueste an einer hinlänglichen Anzahl von Leichnamen untersucht worden, verdienen die grösste Beachtung. Denn aus bloßem Mangel an Kenntniß der Beschaffenheit des Einganges zu dem herrlichen Organe des Gehöres wird dieser Vorhof nicht nur gemißhandelt, sondern so arg verdorben, daß oft leider eine unheilbare Taubheit daraus erfolgt. Es ist schon nachtheilig, das gesunde Ohrenschnalz, außer wenn es sich zu sehr oder krankhaft angehäuft hat, selbst durch die leiseste Behandlung wegzuräumen. Die Natur verlangt es für diese Stelle *T. U.*, um sie nicht nur, wie man allgemein annimmt, gegen Insekten u. s. w. zu schützen, sondern selbst die Schallstrahlen gehörig dadurch zu dämpfen. Schädlich ist es, diese unnöthige, ebenfalls auf überweisen Begriffen von Reinlichkeit sich stützende, Säuberung des Ohres durch so genannte Ohrlöffel zu verrichten. Höchst gefährlich, und wie gesagt, Blutung, Beinfraks und selbst Taubheit veranlassend ist es, mit Haarnadeln oder andern hakigen und spitzigen Instrumenten bis über die Stelle *U.* hinaus in das Ohr, oder eigentlicher in den Gehörgang, zu dringen. Die zarten Häutchen in der Gegend *N. L. Q. R.*, die den Knochen nur sehr dünne bedecken, werden gar zu leicht verletzt, und die darunter befindliche Knochenstelle, wenn auch nur oberflächlich, ihres Lebens beraubt.



Fig. XLVI.

Modell des Gehörganges, der mit Gyps ausgegossen war. Die Stellen *S. T. U. V. W.* dieses Modelles entsprechen den mit gleichen Buchstaben in der vorhergehenden Figur bezeichneten Stellen. Die Erhabenheit *W.* entspricht der Vertiefung des Paukenfelles. *a. b.* bezeichnen die Stellen, wo dieses Modell durchschnitten worden, um die wahre Beschaffenheit des Rohres oder Kanales des Gehörganges genau darstellen zu können.

Fig. XLVII.

Durchschnittsfläche des in der Gegend *a.* Fig. 46., oder zwischen *U. V.* in der Fig. 45. durchschnittenen Gehörganges. Vergleicht man diese Figur mit *B.* in der 44. Figur, so zeigt sich am deutlichsten; um wie vieles die Weite und die Form des Gehörganges in dieser Gegend verschieden ist, so wohl von *B.*, als von der Fig. 48.

Fig. XLVIII.

Durchschnittsfläche des in der Gestalt *b.* Fig. 46., oder *V. W.* Fig. 45., durchgeschnittenen Gehörganges.

Fig. XLIX.

Außere Fläche des vier Mal vergrößerten Paukenfelles, um das eigene Netz seiner Arterien zu zeigen.

*a. b.* Durch das äußere Blatt des Paukenfelles erscheinen: der Griff des Hammers, den gewöhnlich einige Arterien seitwärts begleiten.

Fig. L.

Einsicht in die Paukenhöhle, nach weggenommenem Paukenfelle, um die Richtung der Arterie in selbiger zu zei-



gen. Diese Figur stellt, so wie die vorhergehende, von der sie gleichsam die Fortsetzung ist, die Gegenstände vier Mal vergrößert dar.

*a.* Hammer, theils durch ein Kapselband, theils durch die Beinhaut mit dem Ambosse *b.* zusammenhängend. *c.* Steigbügel. *d.* Erhöhung, welche die Wölbung des Anfanges der Schnecke verräth, die man figürlich auch wohl das Vorgebirge (*Promontorium*) nannte. *e.* Vertiefung, die zum runden Fenster führt.

Fig. LI.

Vier Mal vergrößertes Labyrinth, um die wahre Richtung der Arterien in seinem Inneren zu zeigen.

*a. a.* Erste Windung der Schnecke, zur Hälfte aufgebrochen. *b.* Innere, mit der Beinhaut bekleidete, Fläche derselben. *c.* Knöcherner Theil des Spiralblattes in der ersten Windung, *d.* Vorhof. *e.* Halbkanal. *G.* Größeres Bogenrohr. *K.* Kleineres Bogenrohr. *M.* Gemeinschaftliches Rohr, mit dem sich das größere oder kleinere Bogenrohr vereinigt. *L.* Kleinstes Bogenrohr. *f.* Arterie des Labyrinthes, welche von der Hirnknoten-Arterie entspringt und sich mit vierzehn Aesten in die Schnecke und mit zwei *g. g.* in den Vorhof begibt. Diese vierzehn Aeste verbreiten sich mit ihren Zweigen strahlenförmig, nicht spiralförmig, wie *DuVERNEY* abbildete, von der Mitte der Schnecke gegen die Peripherie hin, sowohl im Spiralblatte *h. h.*, als in der Beinhaut des Gehäuses der Schnecke *i. i.* Die Arterien des größeren Bogenrohres *G.*, so wie des kleineren Bogenrohres *K.*, folgen mit ihren Hauptzweigen der Richtung der Röhre.



Fig. LII.

Der Steigbügel, mit seiner Beinhaut bekleidet und mit seinen Arterien versehen, vier Mal vergrößert.

Fig. LIII.

Größere Hälfte der senkrecht mitten durch die Spindel zerschnittenen linken Schnecke, im frischen Zustande. Die Richtung dieses Durchschnittes ist, der Deutlichkeit wegen, auf der 29. Figur angedeutet. Auch zeigt sich bei Vergleichung der ähnlichen vorhergehenden Figuren, daß diese Durchschnitte der Schnecke die gleiche vier-mahlige Vergrößerung haben.

*a.* Auswändige Fläche der Schale, oder das Gehäuse der Schnecke. *b.* Spindel der Schnecke, durch deren Kanälchen der Hörnerve in das Spiralblatt dringt. *I. I.* Erste Windung der Schnecke. *II. II.* Zweite Windung der Schnecke. *III. III.* Kuppel oder Stück einer dritten Windung. *c. bis i.* Spiralblatt der Schnecke. *c. d.* Anfang des Spiralblattes, so gewendet, daß seine obere Fläche in voller Ansicht erscheint. *e.* Fortsetzung des Spiralblattes, welches vermöge seiner Richtung mehr von seiner unteren Fläche sehen läßt. *f.* Spiralblatt im Anfange der zweiten Windung, so gewendet, daß nunmehr wieder seine obere Fläche erscheint. *g.* Fortsetzung des Spiralblattes in der zweiten Windung, wo es wieder seine untere Fläche zeigt. *h.* Spiralblatt im Anfange einer dritten Windung, wieder seine obere Fläche zeigend. *i.* Endigung des Spiralblattes als Trichter. *1. bis 7.* Untere, oder engere, oder geschlossene Paukentreppe der Schnecke. Die arithmetische Ordnung der Zahlen bezeichnet den Fortgang dieser Treppe, nämlich von 1. auf 2., von 2. auf 3. u. s. w. *d. bis h.* Obere, oder wei-



tere, oder gegen den Vorhof offene Treppe der Schnecke.

Die alphabetische Ordnung der Buchstaben bezeichnet den Fortgang der Treppe, nämlich von *d.* erstreckt sie sich aufwärts nach *e.*, von *e.* nach *f.* u. s. w.

7. Stelle, wo die obere und untere Treppe zusammen kommen. *i.* 6. Fast mitten durchschnittener so genannter Trichter. *m.* Kleiner Knochenvorsprung, an welchem das Ende des Spiralblattes haftet. *n. n.* Längster Durchmesser der Schnecke, welcher der getüpfelten Linie *c. x.* in der 29. Figur entspricht.

Fig. LIV.

Andere oder kleinere Hälfte der senkrecht mitten durch die Spindel zerschnittenen Schnecke. Um die Vergleichung des Bezuges dieser kleineren Hälfte mit der größeren, in der vorher gehenden Figur abgebildeten, Hälfte möglichst zu erleichtern, sind die Theile, die vor der Zerscheidung vereinigt waren, in beiden Figuren mit gleichen Ziffern und Buchstaben bezeichnet.

Fig. LV.

Kuppel der Schnecke, auf eine solche Art geöffnet, daß man das trichterförmige Ende des Spiralblattes deutlich wahrnimmt.

7. Spindel der Schnecke. *II. g.* 4. Rest der zweiten Windung der Schnecke. 4. 5. 6. Untere Treppe, deren Eingang die Buchstaben-Ordnung bezeichnet. *g. h.* 8. Oberstes Stück des Spiralblattes der Schnecke. *g.* Theil des Spiralblattes, der aus der zweiten Windung kommt, und um die Spindel 7. sich in der dritten Windung nach *h.* begibt, von wo es sich ferner bei 6. trichter- oder



tutenförmig nach 8. umschlägt, und an der Decke der Kuppel 9. haftet.

Fig. LVI.

Durchschnittsfläche der in entgegengesetzter Richtung, welche die 35. Figur auf der Contour-Tafel bei  $\alpha. \alpha.$  andeutet, kalbirten, hier nur vier Mal vergrößert abgebildeten, trockenen und knöchernen Schnecke. Man schauet gleichsam in das in jener Figur zwischen  $f. \alpha. \alpha.$  begriffene Stück der Schnecke.

*I.* Erste Windung der Schnecke. *II.* Zweite Windung. *III.* Dritte Windung. *a.* Kuppel der Schnecke. *b* Spindel der Schnecke. *c.* Kanal in der Piramide des Schläfeheines zur Aufnahme des Hörnerven. *d.* Knöcherner Kanal zur Aufnahme des Hör- und Antlitznerven. *e. f. g. h. i.* Knöcherner Theil des Spiralblattes. *g. h.* Haken des Spiralblattes. *1. 2. 3. 4. 5.* Untere Treppe der Schnecke, die aufwärts den Zug nimmt, wie die Zahlen auf einander folgen. *k. l. m. n.* Obere Treppe der Schnecke, die aufwärts den Zug nimmt, wie die Buchstaben einander folgen.

Fig. LVII.

Knöchernes Gehäuse der Schnecke in der gleichen Richtung, wie in der 53. Figur, mitten durchschnitten. Das Vorbild zu dieser Figur ist aus einem völlig ausgewachsenen männlichen Körper. In dieser Figur erkennt man also auf den ersten Blick die Lage, die Dicke und die Gestalt des knöchernen Theiles des Spiralblattes. Dieses wird noch deutlicher, sobald man sie mit der 55. Figur vergleicht, die mit ihr im genauesten Bezuge steht. Es ist also hier nur dasjenige bezeichnet, was diese Figur von der 53. unterscheidet.



*a.* Knochenkanal, zur Aufnahme der Hör- und Antlitznerven. *b.* Durchgesägte Spindel der Schnecke mit den hohlen Kanälchen, welche im frischen Zustande der Hörnerve ausfüllt. *c.* Lücke zwischen dem knöchernen Theile des Spiralblattes und dem Gehäuse der Schnecke. *d. d.* Von der Spindel gleichsam abspringendes Knochenblättchen. *e.* Haken oder Ende des knöchernen Spiralblattes. Alles Uebrige findet sich in der 53. Figur erklärt.

Fig. LVIII.

Obere Fläche des Spiralblattes. In dieser mit der 39. Figur zu vergleichenden Darstellung überschauet man nicht nur mit einem Blicke aufs deutlichste das Spiralblatt, sondern auch die Lage, Gröfse und Gestalt der vier Streifen, die sich in ihm füglich unterscheiden lassen, ferner das federartige Ansehen der in seinem Ende verbreiteten Nerven, und die Stämmchen seiner Arterien.

In so fern also vervollständigt diese Figur das Bild des Spiralblattes, welches auf der 39. Figur vorkommt.

Fig. LIX.

Innere oder erhabene Fläche des kleinen Paukenfellchens, welches den Eingang der Schnecke verschließt. Seine äußere vertiefte Fläche zeigt die 33. Figur.

Fig. LX.

Elliptisches Bläschen des größten Bogenganges, um die strahlenförmige Verbreitung des Nerven in selbiger, gegen zwanzig Mal im Durchmesser vergrößert, abzubilden.

(Man vergleiche hiermit die 39. und 40. Figur.)

*a. a.* Elliptisches Bläschen. *b. b.* Stelle, wo dieses elliptische Bläschen mit dem gemeinsamen Schlauche in Verbindung steht. *c. d.* Rohr, in welches dieses Bläschen übergeht. *d.* Mündung des Rohres. *e.* Stelle, wo der dem Bläschen gehörende Ast des Hörnervon sich als ein weißer Fleck zeigt, von welchem aus sich netzförmig verflochtene *f. f. f.* Strahlen verbreiten.

Fig. LXI.

Wahre Gestalt der Mündung des Rohres *c. d.* in der 60. Figur in gerader Ansicht. Denn daß es wahre Röhren sind, davon wurde SÖMMERRING nicht nur durch das Gesicht, sondern auch durch die Anfüllung mit Quecksilber überzeugt.

Fig. LXII.

Nervenwedel des gemeinschaftlichen Schlauches, der schon in der 39. Figur vorkam, hier aber wohl zwanzig Mal im Durchmesser vergrößert erscheint.

*a. b.* Ein Paar Arterienzweige.

Fig. LXIII.

Ein zwanzig Mal im Durchmesser vergrößertes Stück des Spiralblattes der Schnecke.

*a. a.* Von der Spindel abgehendes Spiralblatt. *b.* Höhlchen zwischen seinen Knochenblättern, durch welche die Nerven dringen. *b. c.* Knochentheil des Spiralblattes. *c. d.* Theil des Spiralblattes, in welchem sich von oben her etwas vom Nervengeflechte zeigt. *d. c.* Häutiger halb durchsichtiger Theil des Spiralblattes. *f. g.* Uebergang des Spiralblattes in die Beinhaut, welche inwendig die Schnecke bekleidet.



Fig. LXIV.

Inwendige Seite oder innere Oberfläche des elliptischen Bläschens Fig. 60. mit seinem angefüllten Arterienetze.

Die Eigenschaften dieses Gefäßnetzes sind mit größter Sorgfalt nachgebildet worden.

Nun vergleiche man übers Gehörorgan auch noch die erste Figur der Tab. I. 1. 2. Der Gehörgang. 3. Das Trommelfell. 4. Der Trommelfellsring. 5. Der Hammer. 6. Der Ambos. 7. Der Steigbügel. 8. Der obere Bogengang. 9. Der äußere Bogengang. 10. Der innere Bogengang. 11. Der Vorhof. 12. Die Scheibe.

Stimm- und Geschmacksorgane.

Die ersten XXI. Figuren sind Stimmorgane, organa vocis.

Fig. I.

Kehlkopf *larynx*, von vorn angesehen.

A. Kehldeckel, *epiglottis*. B. Schildknorpel, *cartilago thyreoidea*. C. *cartilago cricoidea*. D. E. F. G. Luft-  
röhre, *trachea*. a. *cornua superiora*. b. *cornua inferiora*.  
c. d. *margo superior*. e. f. *margo inferior*. e. *processus*  
*c. thyreoideae*. c. *incisura semilunaris*. f. i. Schild-Ring-  
knorpelband, *ligamentum thyreo-cricoideum*. d. g. *crista*  
*cartilaginis thyreoideae*. h. Gelenkverbindung der untern  
Hörner des Schildknorpels mit der Ringknorpel, *lig. capsularia*.

Fig. II.

Kehlkopf von der Seite.

A. bis G. und a. bis g. wie Fig. II. h. h. hinterer  
Theil oder Wand, *paries posterior*, des Ringknorpels,  
welcher innerhalb des Schildknorpels gelagert ist. b. i.  
Gelenkverbindung.

Fig. III.

Die *cartilago thyreoidea* von vorn.

Fig. IV.

Die *cartilago thyreoidea* von innen und seitlich. *a.* *superf. interna.* *b.* *cornu superius.* *c.* *cornu inferius* mit der *superf. articularis.* *d.* Durchschnittsfläche.

Fig. V.

Die *cartilago thyreoidea* von hinten.

Fig. VI.

Die *cartilago thyreoidea* von unten. *a.* *cornu superius.* *b.* *inferius.* *c.* *processus cartilaginis thyreoid.* *f.* *margo inferior.*

Fig. VII.

Die *c. thyreoidea* von oben.

Fig. VIII.

Die *cartilago cricoidea.* *a.* *annulus.* *b.* *paries posterior.* *c.* *superf. articulares superiores.* *s.* *cartilaginum arythae-noidearum.*

Fig. IX.

Die *cartilago cricoideae* von hinten. *b.* *linea eminentis* *s.* *perpendicularis.*

Fig. X.

Die *c. cricoidea* von der Seite. *a.* *b.* *c.* ist bekannt *d.* *superf. articularis inferior s. cartilaginis thyreoidae.*



Fig. XI. u. XII.

Die *c. cricoidea* von unten XI. und von oben XII.

Fig. XIII., XIV., XV. u. XVI.

Die Giefsbeckenknorpel, *cartilagine arythaenoideae*.

Fig. XIII. a. Hörnchen oder Köpfchen des Giefsbeckenknorpels, *corniculum s. capitulum Santorinianum*. b. *superf. articularis cartilaginis cricoideae*. c. *superf. posterior*.

XIV. a. b. *superficies anterior*.

XV. a. *capitulum s. cartilago Santoriniana*. b. *superf. articularis*. c. *superf. interna s. lateralis*.

XVI. Die *cartilago arythaenoidea* von unten.

Fig. XVII.

Keilförmiger Knorpel, *cartilago cuneiformis*, welcher sich mitten in der häutigen Ausbreitung zwischen dem Kehldeckel und Giefsbeckenknorpel befindet, und mit der Basis nach oben und mit der Spitze nach unten gerichtet ist.

Fig. XVIII.

*epiglottis i. ligula*.

Fig. XIX.

Rechte Hälfte des senkrecht halbirtten Kehlkopfes.

a—h. *epiglottis*. i. k. l. *cartilago thyreoidea*. m. n. f. *cricoidea*. o. p. q. Luftröhrenringe. r. Durchschnittsfläche der Stelle, wo die Giesbeckenknorpel durch häutige Theile in der Mittellinie zusammengehalten werden, und

welche Stelle *i. k.* in der 20. Figur entspricht. *c. c. u. x. z.* innere oder Schleimhaut des Kehlkopfes mit den Mündungen der Schleimhaut. *v.* Kehlkopf tasche, *ventriculus laryngis s. Morgagni.* *w. w.* Stimmritzenband, *lig. thyreoarythaenoideum inferius s. lig. vocale s. glottidis.* Ueber *v.* ist das Taschenband, *lig. thyreo arythaenoideum superius s. ventriculi laryngis.*

Fig. XX.

Larynx in der man senkrecht von oben hineinschaut.

*a. cartilago thyreoidea. b. epiglottis. c. d. cartilagine arythaenoideae. e. f. ligamenta laryngis et ventriculi laryngis. g. h. ligamenta vocalia. l. m. Stimmritze, glottis. s. rima glottidis. i. k. Raum zwischen den Giefsbeckenknorpeln.*

Fig. XXI.

Der Larynx von hinten.

*a. cartilago thyreoidea. b. epiglottis. c. d. e. arythaenoideae. e. c. cricoidea. y. z. capitula s. cartilagine Santoriniana. f. g. ligamenta capsularia superiora laryngis. h. i. k. ligamenta capsularia inferiora laryngis. l. m. n. annuli tracheae. p. q. r. s. hintere, häutige Wand der Luftröhre, paries posterior membranacea tracheae. p. fibrae musculares longitudinales. g. fibrae musculares transversae. r. glandulae s. tunica interna laryngis.*

Fig. XXII—XXX.

Geschmacksorgane, organa gustus.

Fig. XXII u. XXIII. Männliche Zunge von oben oder der Rücken der Zunge, *dorsum linguae, a. b. c. glottis*



et ligamenta vocalia. d. epiglottis. e. Kehldeckel-Zungenband, und von der Seite. *lig. glosso-epiglotticum*. f. g. fossae glosso-epiglotticae. h. tunica mucosa oris. i—n. lingua. i. i. Wurzel der Zunge, *radix linguae*. k. l. *marginés laterales linguae*. m. Zungenspitze, *apex linguae*. n. *sulcus longitudinalis dorsi linguae*. s. *foramen caecum*. 1—10. kegelförmige Wärrchen, *papillae d. tuncatae s. circumvallatae*. p. p. p. p. pilzenförmige Wärrchen, *papillae fungiformes, obtusae*. q. q. q. r. r. zapfenförmige, p. *conicae s. minores*. s. s. Runzeln und Furchen der Zunge, *columnae rugarum*. t. t. Endenförmige Wärrchen, *papillae filiformes*. u. u. Schleimröhre an der Wurzel der Zunge.

Fig. XXIII.

Jujicirte Zunge.

A. A. Kinnzungenmuskel, *m. genioglossus*. B. Zungenarterie, *arteria lingualis*.

Fig. XXV.

Nerven der Zunge und Zungendrüse.

A. *radix*. B. *apex linguae*. E. Zurückgeschlagener tiefer Zungenbeinmuskel, *m. mylohyoidens*. H. G. Reste des linken und rechten Kinnzungenmuskels, *m. genioglossus*. H. Fettmasse zwischen diesen Muskeln. h. Zungendrüse, *glandula lingualis*. a. bis i. l. m. n. p. q. *nervus lingualis* des 3. Astes vom fünften Nervenpaar oder eigentlicher Geschmacksnerve, *nerv. gustatorius*. b. Knotengeflecht, *ganglion maxillare Mekelii*. k. 1. 2. 3. 4. 5. 6. 7. Zungenast des Zungenschlundkopfnervens oder des neunten Hirnnervenpaares, *ramus lingualis nervi glossopharyngealis*.

*ryngei. r. Zungenfleischnerve, nervus hypoglossus. t. ramus communicans, nervi hypoglossi.*

Fig. XXVI.

Ein Schmeckwärzchen von der ersten oder kegelförmigen Art, fünf und zwanzigmal im Durchmesser vergrößert. *a. a. a.* Runzel oder Falte der Haut, welche dieses Schmeckwärzchen wie ein Ring umgiebt. *b. b.* Vertiefung rings um dieses Wärzchen. *e. e. e.* Schleimporen in dieser Haut. *f. f. f.* Gezackter oder franziger Rand dieses Wärzchens. *h. h. h. h. h. h. h.* Bogen, Schlingen oder Maschen der Arterien, welche sich zum Theil über die Oberfläche erheben, wie die Fig. XXVII. *h. h.* noch deutlicher zeigt. Dieses eigene Schlängeln der im Original mit Zinnober gefüllten Gefäße, ist mit besonderer Genauigkeit nachgebildet worden.

Fig. XXVII.

Durchschnittsfläche, eben dieses senkrecht halbirtten Schmeckwärzchens von der ersten oder größten Art, um seine kegelförmige Beschaffenheit darzustellen. *a. a. a.* Oberfläche. *b.* Seitenfläche. *c. c.* Raum, Rinnen oder Graben zwischen den Wärzchen und seinem Ringe. *d. d. d.* Der Länge nach durchschnittenene Blutgefäße. *e. f. g.* Der Quere nach durchschnittenene Blutgefäße. *h. h.* Blutgefäße, die sich von der Oberfläche wie Schlingen oder Maschen erheben.

Fig. XXVIII.

Schmeckwärzchen der zweiten und dritten Art, ebenfalls 25mal vergrößert im Durchmesser. *a.* Schmeckw. der zweiten oder pilzförmigen Art. *b. c. d. e. f. f.* Schmeckw. der dritten oder zackenförmigen Art.



Fig. XXIX.

Schmeckwärzchen der vierten oder kleinsten Art, ebenfalls 25mal im Durchmesser vergrößert. Auch diese fadenförmige Wärzchen zeigen gleiche Bögen von Blutgefäßen. In den meisten derselben bemerkt man aber nur einen Bogen.

Fig. XXX.

Drei Runzeln vom Seitenrand der Zunge 25mal vergrößert. Das Blutgefäßnetz der mittleren Runzel ist mit Genauigkeit, besonders in Rücksicht der von den Netzen der Schmeckwärzchen bemerklichen Verschiedenheit, abgebildet worden.



Dritte Tafel.

Diese Tafel zeigt die Brustorgane, organa thoracis, von hinten.

Fig. 1.

Die Wirbelsäule und die Rippen sind hinweggenommen\*), und die Lungsäcke die ausserhalb und zwischen diesen Säcken gelagerten Theile aber noch erhalten.

a. Die untere Fläche des Körpers des 2ten Brustwirbels. b. Dessen Bogen. c. Verbindung mit der 2ten Rippe. d. d. bis n. Die durchschnittenen Rippen jeder Seite. o. o. etc. Die durchschnittenen Zwischenrippenmuskeln. p. p. Die beiden innern, und q. q. die beiden mittlern Schenkel des Zwergfells. r. r. Die hintere Fläche der Rippenheile des Zwergfells. s. t. etc. Die Lungsäcke, *pleura*. u. sogenannter Speisesaftbehälter, *receptaculum s. cisterna chyli*. v. Speisesafttröhre, *ductus thoracicus*. w. Speiseröhre, *oesophagus*. x. Ein Theil der Luftröhre. 1. *Aorta thoracica*. 2. 3. Die Zwischenrippenschlagadern, *art. intercostales*. 4. 4. Der Stamm der unpaaren Vene, *truncus venae azygos truncus*. 5. Stelle, wo die *vena azygos* über den rechten Bronchialast der Luftröhre tritt, und dann in die obere Hohlvene einmündet. 6. 7. Lenden- und Nierenvenen. 8. Stamm der Zwischenrippenvenen der linken Seite, *truncus venae hemiazygae*. 9. *ramus communicans*. 10. Stelle, wo die halbe unpaare Vene der linken Seite in die *vena azygos* übergeht. 11.

---

\*) Chirurgisch-Anatomische Abbildungen für Aerzte und Wundärzte von J. C. ROSENMÜLLER. Weimar 1815. — Die Arterien sind roth; die Venen blau illuminirt.



12. Zweig der ersten Rippenvene der linken Seite, welche die 2. 3. u. 4te Rippenvene aufnimmt, und dann in die *vena azygos* einmündet. 13. *vena intercostalis sinistra quinta*. 14. 15. Die folgenden Venen der linken Seite. 16. 17. Die Venen der rechten und linken Seite. 18. Das durchschnittene Rückenmark, *medulla spinalis*. 19. 20. 21. 22. Die Rückennerven, *nervi dorsales*. 23. 24. 23. 24. Der Stamm des linken und rechten Intercostalnervens, *truncus nervi sympathici maximi sinistri et dextri lateris*. 25. 26. Die Brustknoten des Intercostalnervens, *ganglia thoracica nervi sympathici maximi*. 27. 28. Die Verbindungszweige zwischen den Rückennerven und dem Intercostalnervens. 29. 31. Die großen Eingeweidnerven, *nervi splanchnici majores nervi sympathici*. 30. 32. Die kleinen Eingeweidnerven des Intercostalnervens, *nervi splanchnici minores*.

Fig. II.

Die Lungensäcke sind hier weggenommen, daher die Lungen selbst sichtbar sind. *a.* bis *h.* ist aus der vorhergehenden Figur schon bekannt. *m.* Der gewölbte Theil der obern Fläche des Zwergfells. *n. n.* Die Lungen, *pulmones*. *o.* Der obere Einschnitt der rechten Lunge. *p.* Der obere, *q. q.* der mittlere und untere Lappen, der rechten Lunge. *r.* Der Einschnitt der linken Lunge. *s.* Der obere, *t.* der untere Lappen der linken Lunge. *u.* *u.* Zellgewebe, welches die beiden Brusthäute mit dem hintern Umfange des Herzbeutels verband. *v. v.* Die Falten der Brusthäute, welche die Lungenbänder bilden, und die noch sichtbar sind, weil die Brustsäcke, da wo sie hinten den Herzbeutel bedecken, nicht genau losgetrennt worden sind, um die Lage der Theile nicht zu



sehr zu verändern. *w. w.* Lymphdrüsen. *x. y.* *ductus thoracicus*. *z.* Der *Oesophagus* an seinem obern Theile, 1. an seinem untern Theile. 2. 3. Die hintere Wand der Luftröhre, größtentheils vom *Oesophagus* bedeckt. — 4. *acus Aortae*. 5. 6. *Aorta thoracica*. 7. 8. 9. 10. 11. 12. 13. *arteriae intercostales*. 14. *arteria anonyma*. 15. *arteria carotis dextra*. 16. *art. subclavia dextra*. 17. 19. *truncus art. intercostalis primae*. 18. *art. carotis sinistra*. 20. 21. 22. *venae intercostales*. 23. *truncus venae azygos dissectus*. — 24. Der achte Halsnerve in seinem Verlaufe zu dem Armgeflech. 25 *medulla spiralis dissecta*. 26. 27. 28. 29. *nervi dorsales*. 30. *nervus phrenicus*. 31. *ramus recurrens nervi vagis dextri lateris*. 32. 33. 34. 35. 36. 37. *nervi splanchnici majores et minores abscissi*. 38. *ramus recurrens nervi vagi sinistri lateris*.

Fig. III.

Hier sind die Lungen, die *Aorta* und der Herzbeutel hinweggenommen, um die Speiseröhre mit den Nerven, und das Herz u. s. w. zu sehen.

Die aus den vorhergehenden Figuren schon bekannten Theile übergehen wir

*g. g. g.* Die Insertionen des *m. triangularis sterni*. *m. n. n.* Aortenspalt, *hiatus aorticus*. *r.* *foramen quadrilaterum diaphragmatis pro vena cava inferiore*. *s.* *Oesophagus*. *t.* *ductus thoracicus*. *u.* Luftröhre. *v. v.* Luftröhrenzweige, *bronchus dexter et sinister*. *w.* Der rechte Vorhof oder der Hohlvenensack, *atrium dextrum s. sinus venarum cavarum*. *x.* Die linke Herzkammer, *ventriculus sinister*. 1. *arcus Aortae*. 2. *aorta thoracica dissecta*. 3. 3. *arteriae bronchiales*. 7. Wirbelschlagader, *arteria vertebralis*. 8. *art. intercostalis prima*. 9. 13. Die innere



Brustschlagadern, *art. mammariae internae*. 14. *ramus anastomoticus* mit der *art. intercostalis prima*. 10. *art. subclavia sinistra*. 11. *carotis sinistra*. 16. Zweige der linken Kransschlagader des Herzens, *art. coronaria cordis sinistra*. 17. rechter Zweig, 18. linker Zweig, der *art. pulmonalis*. 19. Zweige der *vena coronaria magna cordis*. 15. 20. *vena cava inferior*. 21. 22. 23. 24. Der Lungenvenensack und die Lungenvenen, *sinus venarum pulmonalium et venae pulmonales*. 25. *vena azygos*. 26. Aeste der *vena azygos*, in welchem sich die Zwischenrippenvenen von den vier obersten Zwischenräumen zwischen den Rippen der rechten Seite sammelten. 27. 29. *venae subclaviae*. 28. *vena vertebalis*. 30. *truncus venae intercostalis primae sinistrae*. 31. *venae mammariae internae sinistrae truncus*. 38. 39. 40. 41. Zwerchfellnerve, *nervus phrenicus*. 43. 46. Die herumschweifenden Nerven, *nervi vagi*. 44. *ramus recurrens nervi vagi dextri lateris*. 48. *ram. recurrens nervi vagi sinistri lateris*. 45. 49. Zweige des *nervus vagus* welche den *plexus pulmonalis posterior* bilden. 43. 47. 50. Fortsetzung des Stammes des *nervus vagus*, dessen Zweige das Nervengeflecht *plexus oesophageus* an dem hintern Umfange des *Oesophagus* bilden.

Fig. IV.

Nachdem der *Oesophagus* und die Luftröhre mit den Nerven hinweggenommen wird, wird das Herz mit den grossen Gefäßen ganz frei.

Die aus den vorhergehenden Figuren bekannten Theile, brauchen wir nicht weiter anzugeben. *u.* Der abgeschnittene *Oesophagus*. *v.* Die abgeschnittene Luftröhre, *arteria aspera*. 20. Die obere Hohlvene. 21. Die abgeschnittene *vena azygos*. 16. Der rechte, und 17. der

linke Ast der *art. pulmonalis*. *n. foramen oesophageum diaphragmatis*. 14. *ramus art. coronariae cordis dextrae*.

Fig. V.

Hier ist nun auch das Herz mit den großen Gefäßstämmen hinweggenommen, und man sieht so *F.* die hintere oder innere Fläche des Brustbeins, *p. q. r. s. t. u.* den dreieckigen Brustmuskel, *m. triangularis sterni*; 12. 13. 20. 21. die *arteriae* und *venae mammae internae*. *m. m.* Die Insertionen der *musculi sterno thyreodei*, *w.* des *m. rectis abdominis*, *z.* 1. 2. 3. des Zwergfells an die Rippenknorpel, *n.* die *m. intercostales interni*; *i. i.* die *ligamenta propria cartilaginum costarum*, und alle übrige schon aus den vorhergehenden Figuren bekannten Theile.





Erklärung

des

anatomischen Atlases,

von

Dr. M. J. Weber,

Professor zu Bonn.

---

*Zweite Lieferung.*

---

Düsseldorf,

bei Arns & Comp.



## I n h a l t.

---

- Tab. IV. Ueber den Bau der Lungen.
- Tab. V. Gehirn und Rückenmark.
- Tab. VI. Grosses Gehirn.
- Tab. VII. Kleines Gehirn.
- Tab. VIII. Nerven des Kopfes und Halses.
- Tab. IX und X. Nerven der Brust und des Unterleibs.
- Tab. XI. Nerven des Uterus.
- Tab. XII, XIII, XIV, XV und XVI. Die Schlag- und Blut-Adern  
des Zwergfells und der Unterleibs-Organen.
-

## Vierte Tafel.

### Ueber den Bau der Lungen.\*)

#### Fig. I.

Die Luftröhre, trachea, von etwas oberhalb ihrer Theilung an bis gegen das Ende, so weit man sie mit der Scheere aufschneiden kann, geöffnet; ein anderer Bronchialast ist ungeöffnet, von den umgebenden Theilen lospräparirt. *a.* Eingang des abgeschnittenen rechten Astes. *b.* Die durch die Schleimhaut durchscheinenden elastischen Längenasern. Man sieht sie durch die ganze Länge des aufgeschnittenen Astes hinlaufen. *c.* Die von den Fasern losgetrennte Schleimhaut. *d.* Die Quer-Muskelfasern, wovon die Schleimhaut, sammt den an ihr hängenden Längenasern abgetrennt und zurückgelegt ist. Man sieht, wie sie hier den ganzen Umkreis besetzen, und man kann sie auch noch, der ganzen Länge des Astes nach, zwischen den Längenasern durchschimmern sehen. *e.* Ein Bronchialast, woran man die Knorpelstücke von hinten sehen kann. *f.* Die durchschnittene, injicirte Arterie.

#### Fig. II. III. a. b.

Zwei unter der einfachen Loupe gezeichnete Lungenlappchen; worin nur einige der Luftröhrenästchen sichtbar sind, um ihre ästige regelmässige Vertheilung und Fortsetzung bis ans Ende zu zeigen.

Fig. II. *a.* Das Luftröhrenästchen ist mit Quecksilber angefüllt. *b.* natürliche Gröfse.

Fig. III. *a.* Das Luftröhrenästchen ist blos mit Luft angefüllt. *b.* natürliche Gröfse.

---

\*) F. D. Reisseisen über den Bau der Lungen. Eine von der Königl. Akademie der Wissenschaften zu Berlin gekrönte Preisschrift. Berlin bei August Rucker. 1822.



Fig. IV.

Ein aufgeschnittener Bronchialast, ramus bronchialis, woran die beiden Faserschichten lospräparirt und die Knorpel von ihrer Knorpelhaut entblöst sind. Zwischen den Knorpeln sieht man viele gelbe Punkte, welches die Schleimdrüsen sind. *a.* Oeffnung der neuentstehenden Aeste. *b.* die Schleimdrüsen.

Fig. V. VI. *a. b.*

Die Endigung der Luftröhre unter der zweiten Linse des Mikroskops 64 Mal vergrößert.

Fig. V. *a.* Das Luftröhrenästchen ist mit Quecksilber angefüllt. Man sieht an den letzten Aestchen kleine Knötchen, welche den Ursprung neuer Aestchen, die aber nicht mit Quecksilber angefüllt sind, zeigen. *b.* natürliche Gröfse.

Fig. VI. *a.* Die Luftröhrenästchen sind bloß mit Luft angefüllt, und unter dem Reflexionslichte des untern Spiegels durchsichtig dargestellt. Man bemerkt auch viele unvollkommen angefüllte Aestchen. *b.* natürliche Gröfse.

Fig. VII. VIII. *a. b.*

Zwei sehr feine Luftröhrenästchen aufgeschnitten unter dem Mikroskop 32 Mal vergrößert gezeichnet.

Fig. VII. *a.* Aus einer Kalblunge. Man sieht die Structur der Längensfasern. *b.* natürliche Gröfse.

Fig. VIII. *a.* Aus einer Menschenlunge. Man sieht die Quersfasern zwischen den Längensfasern durchschimmern. *b.* natürliche Gröfse.

Fig. IX. *a. b.*

Ein einfaches Lungenläppchen unter der zweiten Linse des Mikroskops gezeichnet. Man sieht die Verbreitung der Arteria bronchialis bis an die Endästchen, welche aber hier nicht mit Luft angefüllt sind, weil man einen



zu starken Druck anbringen mußte, um diese feine Aestchen sichtbar zu machen.

Fig. X. *a. b.*

*a.* Ein feines Bronchialästchen unter der dritten Linse 104 Mal vergrößert gezeichnet. Der weißschimmernde Nerve läuft neben der Arteria bronchialis *f.* hin. *b.* natürliche Gröfse.

Fig. XI. *a. b.*

*a.* Die innere Fläche der Luftröhre aus dem zweiten Bronchienaste eines dreijährigen Kindes unter dem Mikroskop gezeichnet. 1. Die Bronchialarterien. Man sieht einen Ast davon schief hinten vorbei laufen; die Haargefäßchen, in welche die Arterie sich an der Oberfläche endigt, sammeln sich hauptsächlich in den Längenasern; die Venen, 2. sind von der Lungenarterie injicirt, sie ziehen sich in die Quere hinter den Arterien nach der Richtung der Muskelfasern. *b.* natürliche Gröfse des Bronchialästchens, worauf der Kreis die dargestellte Gegend zeigt.

Fig. XII.

Ein Stückchen aus der Oberfläche der Lunge eines Kindes unter der Loupe gezeichnet. Die Bronchialarterie ist mit Quecksilber angefüllt, die Lungen-Vene mit blauer Hausenblase injicirt. Man sieht die Anastomosen beider Gefäße im oberflächlichen Adernetze an mehreren Stellen sehr deutlich, sogar, daß das Quecksilber, welches zuerst in den Gefäßen war, durch die hinzukommende blaue Flüssigkeit vertrieben worden, und so die Gefäße beide Materien zugleich in abgetrennten Räumen enthalten *a.*

Fig. XIII.

Ein Stück von einer Kalbslunge, woran ein Luftröhrenast bloß präparirt ist, an dem die Bronchialarterie, die weiß injicirt ist, Seitenäste in's Zellgewebe und in das oberflächliche Netz abschickt.



Fig. XIV. XV.

Endigung der Lungenarterie.

Fig. XIV. Ein Stückchen eines Lungenläppchens unter der zweiten Linse gezeichnet. Die Arterie ist weiß injicirt, die Endästchen der Luftröhre enthalten Quecksilber.

Fig. XV. Ein kleiner Theil vom obigen Läppchen unter der vierten Linse 192 Mal vergrößert gezeichnet. Man sieht deutlich, wie die Arterie an jedes Endbläschen ein Aestchen abgibt, welches alsdann sich in einem Netze auf demselben ausbreitet.

Fig. XVI. XVII.

Uebergang der Arterie in die Vene mittelst des Gefäßnetzes.

Fig. XVI. Die Arterie ist weiß, die Vene roth, die Luftröhre mit Quecksilber injicirt.

Fig. XVII.

Ein kleines Stückchen von obigem unter der vierten Linse. Man sieht einige Bläschen, woran das Netz bloß von der Arterie, andere, wo es bloß von der Vene angefüllt worden, und einige, worin die beiden Farben einander im Netze begegnen.

Fig. XVIII.

Ein Stück Lunge von einem Halbe, woran die drei Gefäße bloß präparirt sind. *a.* Die Arteria bronchialis ist weiß injicirt, allein die rothe Farbe der Lungenarterie *b.* in dieselbe durch Anastomosen *e. e.* übergegangen, so sieht man diese weiße Farbe in der Nähe der Anastomosen mit roth vermischt *d.*, und in den kleinen Aestchen *f. f.* vor der rothen hergetrieben. Die Lungenvene *c.* empfängt auch hier die Bronchialvenchen, daher sind sie blau.



Fig. XIX.

Ein Stück von einer Kinderlunge unter der Loupe gezeichnet. Die weißgefärbte Lungenarterie *a.* ist in die Substanz hinein verfolgt und bloß gelegt; ein Communicationsast *b.* kommt an ihrer Endigung an die Oberfläche, und vertheilt sich im Zellgewebe zwischen den Läppchen und an der Oberfläche, und anastomosirt bei *c.* mit einer oberflächlich liegenden Lungenvene.

Fig. XX.

Anastomose der Lungenarterie *b.* durch einen oberflächlichen Communicationsast *c.*, mit dem zwischen dem mittlern und untern Lappen hinlaufenden Aste der Bronchialarterie *a.*

Fig. XXI.

Verlauf der Nerven im Innern der Lungen, auf einem Lappen der rechten Seite. 1. Lungenarterie. 2. Lungenvene. 3. Ast der Bronchien. *a. a. a.* Nervenäste vom achten Paare.

Fig. XXII.

Ein Stückchen vom Rande einer Kinderlunge. Die Vene ist blau *b.*, die Lungenarterie weiß *d.*, die Bronchialarterie mit Quecksilber angefüllt *c.* Man sieht die Verbindungen dieser drei Gefäße im Netze, und zugleich sieht man die Insertion der oberflächlichen Venchen *e.* in die tiefer laufende Lungenvene *a.*

Fig. XXIII.

Der oberflächliche Communicationsast der Lungenarterie unter dem Mikroskop gezeichnet. Man sieht zwei gegeneinander überstehende Lungenläppchen, welche durch ein zellichtes Interstitium *a.* getrennt sind; *b.* geht ein Aestchen von der Lungenarterie ab, und verbreitet sich im oberflächlichen Netze, welches *c.* mit dem Lungenvenenästchen anastomosirt.



Fig. XXIV.

Ein Ast der Bronchialnerven, *a.* der sich auf die Vene wirft, dann sich bei dem Ursprung eines neuen Astes derselben in zwei Theile theilt, *b.* wovon einer *c.* auf diesem Gefäße sich verläuft, der andere *d.* dasselbe umschlingt, und dann wider einen Ast der Bronchien, der hier durchschnitten ist, geht.

Fig. XXV.

Der Einschnitt zwischen dem obern und mittlern Lappen der rechten Seite: *a.* Die Luftröhre. *b.* Die Lungenarterie. *c.* Ein oberflächlicher Ast der Bronchialarterie, der im Zellgewebe zwischen den zwei Lungenlappen sich vertheilt. *d.* Ein Ast der vena bronchialis, die diese Arterie begleitet. *e.* Ein Faden von einem Aste des achten Paares, der von der Lungenarterie zu diesem Aste der Arteria bronchialis sich begiebt.

---

## Fünfte, sechste und siebente Tafel.

### Tab. V.

#### Anatomic des Gehirns und des Rückenmarkes \*).

Fig. 1. Das von der harten Hirnhaut, *dura mater*, eingeschlossene *a. a.* große Gehirn, *cerebrum*. *b. b.* kleines Gehirn, *cerebellum* und *c. c.* Rückenmark, *medulla spinalis*. *d.* *processus mastoideus* et *e.* *styloideus*. *f.* *maxilla inferior*. *g.* dessen *processus condyloideus*. *h.* *musculus masseter*. *i.* innerer Flügelkeilbeinmuskel, *musculus pterygoideus internus*. *k.* Wirbelschlagader, *art. vertebralis*. *l.* *os occipitis*. *m. o.* hintere Wurzel des *p. transversus* des Atlases. *n.* *processus obliquus*. *p.* *foramen vertebrale*. *q.* die hintern Wurzeln der Querfortsätze der sechs untern Halswirbel sind hier durchschnitten, damit man die Wirbelschlagader deutlich sieht. 1 bis 8. die acht Halsnerven, *nervi cervicales*. 9 bis 20. die zwölf Rückennerven, *nervi dorsales*. 21 bis 25. die Lendenerven, *nervi lumbales*. 26 bis 30. die Kreuznerven, *n. sacrales*. *r.* die Knoten, *ganglia*, der Nerven.

Fig. 2. Ein Theil der Basis des großen Gehirns und das ganze Rückenmark von vorn. *a.* Theil des vordern Gehirnappens. *b. c. d. e. f.* *nervus olfactorius*, Geruchsnerve. *g. g. n. opticus*, Sehnerv; *h.* *chiasma nervorum opticorum*, Kreuzung der Sehnerven. *i.* *corpora mammillaria*, warzenförmige Körper; *k.* Hügel der Sehnerven, *thalami nervorum opticorum*. *l.* Trichter, *infundibulum*. *m.* grauer Höcker, *tuber cinereum*. *n.* große Hirschenkel, *crura cerebri*. *o.* das dritte Hirnnerven-Paar, *nervus oculomotorius*. *p.* Faserung der Pyramiden und der Schenkel des kleinen Gehirns im Hirnknoten, *pons s. nodus encephali*. *q.* die abgeschnittenen *crura cerebelli*. *r.* das vierte Hirn-

\*.) Nach Langenbeck: *Tabulae neurologicae*.



nerven-Paar, *n. patheticus seu trochlearis*. *s.* das fünfte Hirnnerven-Paar, *n. quintus seu trigeminus*. *t.* das sechste Hirnnerven-Paar, *n. abducens*. *u.* das siebente Hirnnerven-Paar, oder der Gesichtsnerv, *n. facialis*. *v.* das achte Hirnnerven-Paar, oder Gehörnerve, *n. acusticus*. *w.* das neunte Hirnnerven-Paar, oder Zungenschlundkopfnerv, *n. glossopharyngeus*. *x.* das zehnte Hirnnerven-Paar, oder der herumschweifende Nerv, *n. vagus*. *y.* das elfte Hirnnerven-Paar, oder der Beinerve, *n. accessorius Willisii*. *z.* das zwölfte Hirnnerven-Paar, oder der Zungenfleischnerve, *n. hypoglossus*. 1 bis 8. *n. cervicales*. 9 bis 20. *n. dorsales*. 21 bis 25. *n. lumbales*. 25. bis \* *n. sacrales*, 26. Furche der vordern Fläche des Rückenmarks. 27. gezähntes Band, *ligamentum denticulatum*. 28 und 29. die zurückgeschlagene harte Hirnhaut.

Fig. 3. *a.* Die zurückgeschlagene harte Hirnhaut. *b.* die hintern Lappen des grossen Gehirns. *c.* die Windungen, *gyri*. *d.* die Vertiefungen, *sulci*, des Gehirns. *e.* der obere Längsblutleiter, *sulcus longitudinalis superior*. *f.* der Querblutleiter, *sulcus transversus*. *g.* die Sichel des kleinen Gehirns, *falx cerebelli*. *h.* die Hemisphären des kleinen Gehirns, *i.* die harte Haut des Rückenmarkes. *k.* das Rückenmark, *medulla spinalis*. *l.* der Pferdeschwanz, *cauda equina*. *m.* *ligamentum denticulatum*. *n.* die vordern Wurzeln der Nerven. *o.* Ursprünge des Nervus accessorius Willisii vom Rückenmark.

Tab. VI.

Erste Ansicht des grossen Gehirns von oben.

Fig. I. *a.* Rechte Halbkugel des grossen Gehirns, *hemisphaerium dextrum*, und *superficies cerebri externa*. *b.* *superficies interna*. *c.* grosser Hirnbalken, *corpus callosum et striae transversales corporis callosi*. *d.* äussere Naht, *raphe corporis callosi*. *e.* die linke Hemisphäre ist



bis auf das centrum semiovale Vieussenii oder die Decke der seitlichen Ventrikel des grossen Gehirns, tegmentum ventriculorum, abgenommen.

### Zweite Ansicht des grossen Gehirns von oben.

Die Decke der Seitenventrikel ist hinweggenommen.

Fig. II. *a.* corpus callosum reclinatum. *b.* ejus pars residua. *c.* septi lucidi laminac. *d.* ventriculus septi lucidi inter *e* et *f.* cornu anticum ventriculi lateralis. *g.* gestreifter Körper, corpus striatum. *h.* taenia semicircularis. *i.* Sehhügel, thalamus nervi optici. inter *k* et *l.* cornu posticum ventriculi lateralis *m.* calcar avis. *n.* eminentia colateralis.

Fig. III. *a.* corpus callosum reclinatum. *b.* ejus pars anterior. *c.* septi lucidi laminae. *d.* ventriculus septi lucidi. *e.* corpus striatum *f.* taenia semicircularis. *g.* Gewölbe, fornix. *h.* ejus pars posterior. *i.* Adernetz, plexus choroideus.

Fig. IV. zeigt das abwärtssteigende Horn, cornu descendens s. medium, der Seitenventrikel. *a.* corpus callosum dissectum. *b.* fornix. *c.* ejus crus posticum. *d.* Saum, fimbria. inter *e* et *f.* cornu ventriculi lateralis posticum. *g.* corpus striatum. *h.* taenia semicircularis. *i.* thalamus nerv. optici. inter *e* et *k.* cornu v. l. medium et cornu Ammonis.

### Dritte Ansicht des grossen Gehirnes von oben.

Fig. V. *a.* corporis callosi pars anterior. *b.* laminae septi lucidi inter quas ventriculus hujus septi est. *c.* commissura anterior. *d.* corpus striatum. *e.* taenia semicircularis. *f.* thalamus nerv. optici. *g.* Zirbeldrüse, glandula pinealis. *h.* ejus pedunculi. *i.* commissura posterior. *k.* ventriculus tertius. *l.* Vierhügel, corpora quadrigemina. *m.* vorderes Markseggel,



valvula cerebelli. *n.* nervus trochlearis. *o.* fornix resectus et reclinatus. *p.* sejus crura posteriora. *q.* lyra. *r.* corpus callosum resectum et retrorsum reflexum.

#### Vierte Ansicht des grossen Gehirns von oben.

Fig. VI *a.* Commissura anterior ventriculi tertii. *b.* der in der Mitte durchschnitene und seitlich gelagerte Fornix. *c.* ejus crura anteriora. *d.* corpora mammillaria. *e.* thalamus nerv. optici. *f.* ventriculus tertius. *g.* commissura posterior. *h.* crus fornicis posticum. *i.* fimbria. *k.* cornu Ammonis. *l.* corpora quadrigemina. *m.* valvula cerebelli. *n.* corpus callosum in duas partes divisum.

#### Erste Ansicht des Gehirns von unten, oder die Basis encephali.

Fig. VII. *a.* lobus anterior. *b.* fossa Sylvii. *c.* lobus posterior. *d.* gyri. *e.* sulci. *f.* cerebellum. *g.* flocculus. *h.* sulcus horizontalis. *i.* medulla oblongata. *k.* corpus pyramidale. *l.* c. olivare. *m.* pons Varolii. *n.* crus cerebelli ad pontem. *o.* crus cerebri. *p.* corpora mammillaria. *q.* tuber cinereum. 1. Geruchsnerve, nervus olfactorius. 2. Sehnerv, n. opticus. \* Kreuzung, chiasma nerv. opticorum. 3. Dritter Hirnnerv, n. oculomotorius. 4. Vierter Hirnnerv, n. patheticus. 5. Fünfter Hirnnerv, n. trigeminus. 6. Sechster Hirnnerv, n. abducens. 7. Gesichtsnerv, n. facialis. 8. Gehörnerve, n. acusticus. 9. Zungenschlundkopfnerven, glosso-pharyngeus. 10. Stimmnerve oder herumschweifender Nerv, n. vagus. 11. Zungenfleischnerve, n. hypoglossus. 12. Willischer Beinerv, n. accessorius Willisii.

#### Zweite Ansicht des grossen Gehirns von unten.

Fig. VIII. Das kleine Gehirn und das Rückenmark sind durch einen Schnitt durch die pons Varolii hinweggenommen.

*a.* lobus anterior. *b.* fossa Sylvii. *c.* lobus posterior. *d.* n. olfactorius. *e.* ejus tres radices. *f.* ejus bulb. *g.* n.



opticus. *h.* Gehirnanhang oder glandula pituitaria. *i.* Trichter, infundibulum. *k.* grauer Höcker, tuber cinereum. *l.* corpora mammillaria. *m.* n. oculomotorius. *n.* crus cerebri. *o.* pons Varolii dissectus. *p.* n. trochlearis s. patheticus. *q.* corpora quadrigemina. *r.* glandula pinealis. *s.* corporis callosi pars posterior.

### Dritte Ansicht des großen Gehirns von unten.

Fig. IX. Die pons Varolii in Fig. VIII. ist senkrecht getheilt und auseinander genommen, wodurch man das Gewölbe, fornix, und das Corpus callosum sieht.

*a.* lobus anterior. *b.* fossa Sylvii. *c.* lobus posterior. *d.* n. olfactorius. *e.* die durchschnittenen Sehnerven. *f.* n. oculomotorius. *g.* apex s. genu corporis callosi. *h.* laminae septi lucidi, zwischen denen der ventriculus septi lucidi ist. *i.* untere Fläche des Gewölbes. *k.* hinterer Schenkel des Gewölbes, crura posteriora fornicis. *l.* fimbria. *m.* crus fornicis anterior. *n.* corpora mammillaria. *o.* facies inferior corporis callosi. *p.* ejus pars posterior. *q.* crus cerebri. *r.* thalamus n. optici. *s.* ejus tuberculum. *t.* cornu ventriculi lateralis medium. *u.* ejus cornu posticum.

### Tab. VII.

#### Senkrechter Durchschnitt des Gehirns.

*a.* facies interna haemisphaerii dextri. *b.* corpus callosum verticaliter dissectum. *c.* ejus genu. *d.* ejus pars posterior. *e.* lamina dextra septi lucidi. *f.* dextra pars fornicis verticaliter dissecti. *g.* commissura anterior dissecta. *h.* thalamus nerv. optici. *i.* chiasma nervorum optitorum. *k.* n. opticus. *l.* eminentia candicans dextra. *m.* n. oculomotorius. *n.* crus fornicis anterior. *o.* crus cerebri. *p.* pons Varolii verticaliter dissectus. *q.* ejus fibrae



transversales. *r.* fibrae longitudinales. *s.* medulla oblongata. *t.* glandula pinealis. *u.* corpora quadrigemina. *v.* Wasserleitung des Sylvius, aquaeductus Sylvii. *w.* vierter Ventrikel, ventriculus quartus. *x.* valvula cerebelli. *y.* Stamm des Lebensbaums, truncus arboris vitae in ramos et folia exiens.

Fig. II. *a.* corpus callosum abscissum. *b.* laminae septi lucidi. *c.* ventriculus septi lucidi. *d.* crura fornicis anteriora abscissa. *e.* corpus striatum. *f.* thalamus nerv. optici. *g.* commissura anterior ventriculi tertii. *h.* \* ventriculus tertius. \* aditus ad infundibulum. *i.* commissura mollis thalamorum n. opticorum. *k.* glandula pinealis. *l.* ejus pedunculi. *m.* commissura posterior. *n.* aditus ad aquaeductum Sylvii. *o. p.* corpora quadrigemina, *o.* nates. *p.* testes. *q.* taccia semicircularis.

### Cerebellum von oben.

Fig. III. *a.* Pons resectus. *b.* crura cerebelli ad pontem et *c.* ad corpora quadrigemina. *d.* n. trigeminus. *e.* incisura semilunaris. *f.* beutelförmiger Ausschnitt oder incisura posterior. *g.* lobulus centralis, *h.* alas exigens. *i.* oberer Wurm, vermis superior. *k.* die vierseitigen oder die obern vordern Lappen des kleinen Gehirns, lobi superiores anteriores. *l.* lobi superiores posteriores et *m.* inferiores posteriores.

### Cerebellum von unten.

Fig. IV. Die Hemisphären des kleinen Gehirns sind etwas auseinander gezogen, damit man auch den untern Wurm, vermis inferior, deutlich sieht.

*a.* Knötchen, nodulus. *b.* Zapfen, uvula. *c.* Pyramide, pyramis. *d.* keilförmige Lappen, lobuli cuneiformes *s.* lobuli anteriores inferiores. *e.* zarte Lappen, lobuli medii. *f.* die sichtbarer Querbänder *s.* commissura brevis. *g.* halb-



mondförmige Lappen, lobuli semilunares s. posteriores inferiores. *h.* die Mandeln, amygdalae. *i.* die Flocken, flocculi. *k.* die durchschnittene Medulla oblongata. *l.* pons Varolii. *m.* n. trigeminus. *n.* n. abducens. *o.* n. facialis. *p.* n. acusticus. *q.* lobi posteriores inferiores.

Fig. V. *a.* medulla inversa. *b.* medullae ad cerebellum. *c.* crura medullae ad corpora quadrigemina. *d.* calamus scriptorius. *e. f. g.* origo n. acustici. *h.* n. trigeminus. *i.* facialis. *k.* glossopharyngeus. *l.* vagus. *m.* crura cerebelli ad corpora quadrigemina. *n.* paries interna valvulae cerebelli. *o.* hinteres Marksegel, velum medullare posticum, welches *p.* den Knoten, *q.* die Flocken, *r.* den Zapfen unter sich verbindet und auch durch die gefurchten Commissuren *s. s.* mit den Mandeln verbunden ist. *t.* tonsillae. *u.* flocci pedunculus. *v.* pyramis. *w.* commissura brevis. *o. p. r. s. v. w.* sind die Theile, welche den untern Wurm bilden, und die Vertiefung vorin dieser liegt, und die von den beiden Hemisphären gebildet wird, nennt Reil das Thal, fossa Reilii.

Fig. VI. Hier ist von den obern Lappen *e. e.* ein Theil hinweggenommen, um den dritten Theil des obern Wurms oder den Zentrallappen, lobulus centralis *a.*, und seine Flügeln, alae *b.*, besser zu sehen. *c.* crura ad corpora quadrigemina *d.* corpora quadrigemina. *f.* crura cerebelli ad pontem *g. h.* lingula, oder der zweite Theil des obern Wurms. *i.* velum medullare anticum s. valvula cerebelli oder der erste Theil oder Anfang des obern Wurms.

### Cerebellum von vorn.

Fig. VII. *a.* crura cerebri abscissa. *b.* commissura posterior. *c.* n. oculomotorius. *d.* pons. *e.* medulla resecta. *f.* crura cerebelli ad pontem in sulco horizontali. *g.* lobus superior anterior. *h.* superior posterior. *i.* inferior posterior. *l.* inferior medius et *m.* inferior anterior. *n.* floccu-



lus. *o.* tonsilla. *p.* n. trigemini portio major et *q.* minor.  
*r.* n. facialis. *s.* n. auditorius.

### Cerebellum von hinten.

Fig. VIII. *a.* corpora quadrigemina. *b. c. d.* vermis superior. *d.* commissura loborum superiorum posteriorum. et *e.* inferiorum posteriorum. *f.* pyramis. *g.* tonsilla. *h.* lobulus inferior medius et *i. i.* inferior anterior. *k.* lobus inferior posterior.

### Cerebellum von hinten.

Fig. IX. *a.* lobi superiores anteriores. *b.* die einfache Quere commissur, commissura simplex loborum superiorum posteriorum. *c.* lobi inferiores posteriores.

Fig. X. Senkrechter Durchschnitt durch den obern und untern Wurm des kleinen Gehirns. *a. i.* vermium nucleus. *b.* folium medulare. *c.* quatuor folia, welche das velum medullare anticum bilden, welches sich mit den corporibus quadrigeminis *d.* verbindet und den ventriculus quartus *e.* bedeckt. *f.* die durchschnittenen Blätter des lobi centralis. *g. h. k.* der obern vordern Lappen. *l. m.* der obern hintern Lappen. *n. o.* der hintern untern Lappen. *p.* der Pyramide. *s.* der uvula und des nodus. *q.* der vordere untere Lappen und *r.* der mittlere untere Lappen. *u.* tonsilla. *v.* aquaeductus Sylvii. *w.* corpus rhomboideum olivae. *x.* s. triae medullae in *y.* ponte.

Fig. XI. *a.* Das Rückenmark ist nach vorn gebogen, damit man *b.* dessen Schenkel zum kleinen Gehirn, welchen man corpus restiforme oder den strangförmigen Körper nennt, sehen kann. *c.* pons V. *d.* corp. quadrigemina. *e.* aquaeductus Sylvii. *f.* veli medullaris anterioris paries internus. *g.* crus cerebelli, et \* medullae ad corp. quadrigemina. *h.* calamus scriptorius. Inter *g.* et *i.* vermis inferior, et inter *n.* et *l.* superior, verticaliter



dissecta *u.* velum medullare posticum. *t.* flocculi residuum. *v.* commissura zwischen *r.* dem Zapfen und *w.* der Mandel. *x.* commissura longa zwischen *y.* dem untern vordern, *z.* dem mittlern Lappen, und *s.* der Pyramide. 1. 1. lobus inferior posterior.

Fig. XII. Zeigt einen senkrechten Durchschnitt *a.* durch die Vierhügel, *b.* die pons V., *c.* durch die crura medullae ad cerebellum und *t.* durch den Kern des kleinen Gehirns. *d. e.* lobi superiores anteriores, *f.* posteriores. *g. h.* inferiores posteriores, *i. k.* medii. *l. m.* anteriores. *n. o.* tonsilla. *p. q.* flocculus. *r. n.* auditorius. *t.* corpus ciliare. *s.* rhomboideum im Kern des kleinen Gehirns.

Fig. XIII. *a.* Lebensbaum, arbor vitae. *b.* corpus rhomboideum. *c.* corpus pyramidale. *d.* olivare. *e.* restiforme. *f.* pons. *g.* crus cerebri.

Fig. XIV. *a. b.* Die Marktfibern des corpus pyramidale wie sie durch die pons *e.* laufen und in die crura cerebri *c.* sich fortsetzen. *f.* corporis olivaris corpus rhomboideum. *g.* striae corporis restiformis.

Fig. XV. *a.* corpora quadrigemina. *b.* crura cerebri resecta. *c.* pons. *d.* crus cerebelli anterius. *e.* mit einer Franze bedeckt. *f.* crus medullae ad cerebellum. *g.* ventriculus quartus. *h. k. l.* n. trigeminus. *h.* origo. *k.* portio major. *l.* portio minor. *i.* crus medullae ad corpora quadrigemina.



## Achte Tafel.

### Kopf- und Halsnerven.

#### Fig. I.

Profilansicht des halbirten Hauptes eines vorzüglich wohlgebildeten, sechzehnjährigen, lungensüchtigen Jünglings. Die Hirnmasse ist sorgfältig weggenommen, um die Centralenden der zwölf Hirnnerven der rechten Seite in ihrer natürlichen Lage, Richtung, Länge und Dicke darzustellen. Der Hauptzweck dieser Tafel aber ist vollständige Versinnlichung des innern Baues der Nasenscheidewand und ihrer Umgebungen.

*A. A.* Nasenbein. *B. C.* Stirnbein. *C. C.* Höhlen im Stirnbeine. Aufser ihrer Beinhaut sind sie noch mit einer eigenen, inneren, zarten Haut bekleidet, welche in der unteren Stirnhöhle zum Theil zurückgeschlagen erscheint. *D. x.* Scheitelbein. Die Markzellchen dieses, so wie des Stirnbeines, sind nicht besonders bezeichnet. *x. x. x.* Zäpfchen des linken Scheitelbeins, oder Reste von dem Scheitelbeine der andern Seite. *E. bis I.* Grundbein. *E. F. G.* Hinterhauptsstück des Grundbeines, oder gemeiniglich sogenanntes Hinterhauptsbein mit seinen Markzellchen. *II. I. I.* Flügelstück des Grundbeins, oder gemeiniglich sogenanntes Keilbein, ebenfalls überall mit Markzellchen versehen, deren Typus man mit eigener Sorgfalt abzubilden suchte. *G.* Einstweilige Knorpelscheibe, welche die Gränze zwischen dem Hinterhauptsstücke und dem Flügelstücke bestimmt, schon vor der Ausbildung des Schädels aber in Knochen übergeht, und gänzlich verschwindet. *II.* Basis oder Körper des Flügelstückes. *I. I.* Zwei kleine Höhlchen in der Basis des Flügelstückes, welche mit zunehmendem Alter sich zu einer gemeinschaftlichen Höhle vereinigen, und gerade wie die Stirn-



höhlen auſſer ihrer Bein-  
haut mit einer eignen inneren  
Haut bekleidet ſind. *K. bis O.* Riechbein. *K. O.* Kamm  
des Riechbeins. *K.* Durchſägtes Stück des Kammes des  
Riechbeins. *O.* mit der derben Hirnhaut bekleidetes Stück  
dieſes Kammes. *N. N.* Kanälchen und Furchen für den  
Aſt des linken Riechnervens, welche ſich in die Riech-  
haut, die über die linke Fläche des Riechbeins geſpannt  
iſt, verbreiten. *P. Q.* Scheidebein, von welchem das  
Stück *Q.* noch knorplich iſt. *R.* Mittlerer Knorpel, oder  
Knorpel der Nasenscheidewand. *S. T.* Oberkiefer. *T.*  
Kanal im Oberkiefer, hinter dem Schneidezahne, zum  
Durchlaſſen von Blutgefäſſen und Nerven. *U.* Gaumen-  
bein. *W.* Unterkieferbein. *a. bis g.* Zähne. *a. b.* Er-  
ſter und zweiter oberer Schneidezahn. *c.* Oberer Eck-  
zahn. *d. e.* Erſter und zweiter unterer Schneidezahn. *f.*  
Unterer Eckzahn. *g.* Erſter Backzahn. *Z.* Mittleres Zun-  
genbein mit ſeinen Markzellchen; hinterwärts wird es mit  
einer eignen Bein-  
haut bekleidet, vorwärts hingegen haften  
die Sehnenfaſern der Muskeln unmittelbar an ſeiner Kno-  
chensubſtanz. *I. I.* Erſtes Halswirbelbein. *I.* Körper  
oder vorderer Bogen deſſelben. *I.* Dornfortſatz oder hin-  
terer Bogen. *h.* Ueberknorpelte Gelenkfläche. *II i bis t.*  
Zweites Halswirbelbein. *i. II k.* Körper deſſelben. *k.*  
Zahn oder Zapfen des Körpers. *II.* Dornfortſatz. *l.* Un-  
ter überknorpelte, mit dem erſten Zwischenknorpel, *x.*  
fest zuſammenhaltende Fläche. *m.* Vordere überknorpelte  
Gelenkfläche des Zapfens. *n. n.* Gelenkhöhle zwiſchen  
dem erſten und zweiten Halswirbelbeine, die hier nur  
durch einen Strich angedeutet werden kann. *p.* hintere  
glatte, überknorpelte Fläche des Zapfens. *q.* Querband  
des erſten Halswirbels. *r. r.* Die Gelenkhöhle zwiſchen  
der hintern überknorpelten Gelenkfläche und dem Quer-



bande erscheint ebenfalls nur als ein Strich. *s.* Gerades Band zwischen dem Zapfen des zweiten Halswirbels und dem Grundbeine. *t.* Vorderes Ausfüllungsband zwischen dem Grundbeine und ersten Halswirbel. *u. u.* Bandwesen zwischen dem Kopfe und den Halswirbeln. *III IV V VI* Drittes, viertes, fünftes und sechstes Halswirbelbein. *III IV V VI* Körper dieser vier Halswirbel. *v. v. v. v.* Ueberknorpelte obere Fläche dieser vier Halswirbel. *w. w. w.* Ueberknorpelte untere Fläche eben dieser Wirbel. *III VI. V. VI.* Dornfortsätze dieser vier Halswirbel, mit ihrer Beinhaut bekleidet. welche ihrer Feinheit wegen nur an manchen Stellen in der schattirten Tafel deutlich abgebildet erscheint. *x. x. x. x.* Vier Zwischenknorpel, welche die Körper der Halswirbel der Form nach zu einem Ganzen, dem Rückgrathe nämlich, vereinigen. *y. z.* Binden der Wirbelsäule am Halse. *y. y.* Vordere Binde. *z. z.* Hintere Binde. 13. bis 32. Haut des Kopfes, Halses und Nackens. Das Leder dieser Haut, so wie dessen Oberhäutchen ist am Halse 13. und unter dem Kinne 14. ziemlich von gleicher Dicke, an dem Umfange der Lippen 15. 16. etwas dünner, an dem rothen Theile 17. 18. und der innern Fläche der Lippen 19. 20. am dünnsten, von wo sie als ein Bändchen 21. 22. theils in's Zahnfleisch 23. 24., theils in die Beinhaut des Unterkiefers 25. und Oberkiefers 26. übergeht.

Diese Haut ist ferner an der Nasenspitze 27, so wie an der Nasenwurzel 28, etwas dünner, als auf dem Rücken der Nase 29, auf der Stirne 30. weniger dick, als wo sie als Kopfschwarte 31. 31. behaart, die Wölbung der Hirnschale überzieht, endlich aber im Nacken 32. am allerdicksten. 33. bis 36. Zellstoff, welcher gewöhnlich schlaff oder locker und langfadig, auch etwas fett zu sein pflegt, zwischen dem Leder der Haut und der Luftröhre 33. der



Schilddrüse 34. dem Kehlkopfe 35. und dem Kinn 36. 37. bis 42. Zellstoff, der gewöhnlich mit Fett durchzogen zu sein pflegt, zwischen der Haut und dem Unterkiefer 37. und Oberkiefer 38., in welchem sich theils Muskelfasern 39. 40., theils Drüsen der Unterlippe 41. und Oberlippe 42. befinden. 43. 44. Mündung des Stammes 43. und eines Astes 44. der Kranzarterie der Oberlippe. 45. bis 49. Zellstoff zwischen der Haut und dem mittlern Knorpel der Nase 45. dem Nasenbeine 46. dem Stirnmuskel 47. der sehr nigen Ausbreitung des Stirn- und Hinterhauptsmuskels 48. und dem Rückgrathe im Nacken 49. 49. 50. Stirnmuskel. 51. Runzeler der Augenbraunen. 52. 52. Sehnen des Stirn- und Hinterhauptsmuskels (*Galea aponeurotica capitis*). 53. 53. Beinhaut der Hirnschale (*Pericranium*). 54. Mündung der Nasenarterie. 55. Mündung der Stirnarterie. 56. bis 66. Zunge. 56. Spitze der Zunge. 57. Rücken der Zunge, mit Nervenwärtchen und Drüsen besetzt, worunter sich ein kegelförmiges Wärtchen 58. auszeichnet. 59. Wurzel der Zunge. 60. Vorderes Zungenbändchen. 61. hinteres Zungenbändchen. 62. Untere Fläche der Zungenspitze. 63. Quermuskel des Kiefers; *mylohyoideus*. 64. Kinnzungenbeinmuskel, *geniohyoideus* am mittlern Zungenbein mit seiner Sehne haftend. 65. Kinnzungenmuskel, *genioglossus*. 66. Eigenes Fleisch der Zunge, größtentheils mit dem letztern Muskel versflochten. 67. bis 72. Kehlkopf. 67. Schildknorpel. 68. Vorderes und 69. hinteres Stück des Ringknorpels. 70. Quermuskel der Schnepfknorpel. 71. Rechte Tasche des Kehlkopfs. 72. Rechtes Stimmritzenband. 73. bis 76. Luftröhre. 73. 74. 75. Drei knorpliche Bogen oder Ringstücke der Luftröhre. 76. Häute der Luftröhre. 77. Schilddrüse. 78. Gaumenhaut des Oberkiefers, welche mit dem Zahnfleische 24. des Oberkiefers zusammenhängt, verschiedene Querstreifen und Mündun-



gen von Schleimdrüsen zeigt, und in den weichen Gaumen oder das Gaumensegel 79.79. übergeht, welches sich mit dem Zäpfchen 80. endigt. 81. Zellstoff zwischen dem Schlundkopf, der Hirnschale und dem Bandwesen der Halswirbel. 82. 83. 84. Schlundkopf. 82. Innere Haut des Schlundkopfes. 83. Aeußere oder Muskelhaut des Schlundkopfes. 84. Höchster Theil des Schlundkopfes. 85. 85. Hintere Mündung der rechten Nasenhöhle. Choana dextra. 86. Mündung der Ohrtrumpete. 87. Mandel oder Drüse zwischen den beiden Bogen des Gaumensegels. 88. Rachen oder weitester Theil des Schlundkopfes. 89. Eigentlicher Schlund. 90 bis  $\lambda$ . Derbe Hirnhaut, deren an verschiedenen Stellen verschiedene Dicke sich am deutlichsten auf ihrer Durchschnittsfläche zeigt. Sie erscheint nämlich aufser dem Durchschnitte der linken Hälfte des Zelttes 90. am dicksten, da, wo sie als Scheide oder Beutel für's Rückenmark 91. 91. 91. 91. in der Wirbelsäule sich befindet, am dünnsten auf dem Boden der Hirnschale 92. 92. Bei 93. hängt sie mit der äußeren Beinhaut der Hirnschale unzertrennlich zusammen. Im ganzen Bezirk der Hirnschalenhöhle dient also die derbe Hirnhaut zugleich als Uederzug für's Gehirn, und als innere Beinhaut für die Hirnschale. 94. 95. 96. Sichel der festen oder derben Hirnhaut. 94. Uebergang der Sichel in das sogenannte Zelt. 90. 95. 90. Rest von der linken Hälfte dieses Zelttes. 96. 96. 96. Rechter Theil oder rechte Hälfte des Zelttes. 97.  $\beta$ . 97. 98. 97. Halbirter oberer Blutleiter der Sichel der festen Hirnhaut. 98. Uebergang dieses oberen Sichelblutleiters in den rechten Querblutleiter. 99. Stückchen des halbirtten linken Querblutleiters.  $\alpha$ .  $\beta$ . Mündungen größserer und kleinerer Venen, die sich theils schräg,  $\alpha$ ., theils senkrecht  $\beta$ . in dem Sichelblutleiter endigen.  $\gamma$ .  $\gamma$ . Querbändchen innerhalb des Blutleiters.  $\delta$ . Lücke in der Si-



chel, nebst einem Bändchen zur Leitung der von der Gefäßhaut kommenden Venen. — ε. Eine kleine Arterie der Sichel. (Die Abbildung mehrerer Arterien würde der Deutlichkeit der Darstellung der Verwebung der Fasern der festen Hirnhaut geschadet haben.).

η. Venenstämmchen, welches sich in den oberen Blutleiter der Sichel begiebt. ο. Kleine Sichel der festen Hirnhaut. λ. λ. λ. Glatte glänzende innere Oberfläche der derben Hirnhaut, welche durch ihre Erhöhungen und Vertiefungen gleichsam einen Abdruck der darmförmigen Windungen des Gehirns darstellt. μ. μ. Mit eben der Hirnhaut bekleidete obere Wand der Augenhöhle. ς. ς. ς. Durchschimmernde Arterien dieser Hirnhaut. π. Stamm der vordern Hirnarterie. φ. Stamm der hintern Hirnarterie, welcher hier doppelt ist. χ. Trichter des Hirnes. ψ. Hirnanhang, ganz umfasst von der derben Hirnhaut. Die Substanz dieses Hirnanhanges selbst, ist vorn dunkler, hinten heller. σ. τ. Rückenmark. σ. Schleimhaut des Rückenmarks. τ. Gefäßhaut desselben. 1. Erster Hirnnerve oder Riechnerve, so wie alle übrigen Nerven, in der Lage, in welcher sie sich im Leben befinden, vorgestellt. 2. Zweiter Hirnnerve oder Sehnerv. 3. Dritter Hirnnerv, oder Nerve für fünf Muskeln des Augapfels. 4. Vierter Hirnnerv oder Nerve des obern schrägen Augapfelmuskels. 5. Fünfter Hirnnerv oder Schmecknerve. 6. Sechster Hirnnerv oder Nerve des äußeren geraden Augapfelmuskels. 7. Siebenter Hirnnerv oder Antlitznerve. 8. Achter Hirnnerv oder Hörnerve. 9. Neunter Hirnnerv oder Zungenschlundkopfnerv. 10. Zehnter Hirnnerv oder Stimmnerve. 11. Elfte Hirnnerv oder Beynerve. 13. Zwölfter Hirnnerv oder Zungenfleischnerve \*).

---

\*) Nach Sömmering: Abbild. d. menschlichen Organe des Geruchs.



Fig. II.

Der Kopf eines jungen Menschen von 22 Jahren, an welchem die Arterien ausgespritzt worden waren, in der Profilsicht von der linken Seite dargestellt.

Die Schädelhöhle ist von der Seite durch Hinwegnahme der Hälfte der Schädeldecke und durch ein Segment geöffnet, welches einen Theil der Grundfläche des Schädels mit dem Jochbogen und der äußeren Wand der Augenhöhle hinwegnahm. Uebrigens ist der größte Theil des Astes der unteren Kinnlade abgenommen worden. \*)

Knochen.

A. A. A. Senkrechter Schnitt, welcher dicht neben der länglichen Furche (*sulcus longitudinalis*) durch die Schädeldecke gemacht worden. B. B. Horizontaler Schnitt durch welchen die rechte Hälfte der Schädeldecke absondert worden. C. C. Durchschnittene obere Wand der Augenhöhle. D. Oberer Rand der Augenhöhle. E. Unterer Rand der Augenhöhle. F. F. Durchschnittene untere Wand der Augenhöhle. G. Durchschnitt des vorderen Endes des Jochbogens. H. Stelle, wo nach hinten der Jochbogen abgesägt worden. I. Gelenkfortsatz der unteren Kinnlade, von dem Aste abgesägt. K. K. Stelle, wo nach unten der Ast der unteren Kinnlade abgesägt worden. L. Fläche des Körpers der unteren Kinnlade. M. Das vordere Kieferloch (*Foramen mentale*). N. N. N. Knochenzellen der unteren Kinnlade, welche, nachdem die äußere Tafel des Knochens weggebrochen worden, um den Kiefernerve verfolgen zu können, zum Vorschein kommen. O. Stelle, wo die Sattellehne des Türkensattels sichtbar ist. P. Das senkrecht durchschnittene Hinterhauptbein. Q. Q. Der

\*) Diese Figur, so wie Fig. III. IV. V. VI. und VII. sind nach Bock: Beschreibung des fünften Nervenpaares und seiner Verbindungen mit den andern Nerven, vorzüglich dem Gangliennerven. Meissen 1817.



aufgebrochene fallopische Kanal. R. Der aus dem Felsen-  
theile des Schlafbeines herausgebrochene obere halbzirkel-  
förmige Bogengang. S. Der hintere Bogengang. T. Der  
äußere Bogengang. U. Der aufgebrochene Vidianische Ka-  
nal. V. V. Knochenzellen des Flügelfortsatzes vom Keil-  
beine, von welchem die äußere Knochen tafel weggebrochen  
worden. W. Stelle, wo die Seitenfläche des Nasenknochens  
von dem sehnigen Theile des Zusammendrückers der Nase  
(M. compressor Nasi) entblöft ist.

#### Häute und andere weiche Theile.

a. Die mit der sehnigen Haube des Schädels zurück-  
geschlagene Fetthaut von der Gegend des Hinterhauptes.  
b. b. b. Das Hinterhaupt und der obere und hintere Theil  
des Halses, noch mit den Hautdecken umgeben. c. c. c.  
Der große Sichelfortsatz (processus falciformis) der der-  
ben Hirnhaut. d. Der kleine Sichelfortsatz (Falx cerebelli).  
e. e. Das Hirnzelt (tentorium). f. Die durchschnittene Sch-  
nienhaube. g. Die Nasenknorpel. h. Der Augapfel. i. Die  
obere Thränen drüse aus ihrer Lage genommen und auf den  
Augapfel gelegt. k. Die Membran, welche die Kieferhöhle  
auskleidet und nach weggebrochener äußern Wand sichtbar  
wird. l. Der äußere Gehörgang, von welchem das äußere  
Ohr abgeschnitten worden. m. Der hervorragende Keh-  
kopf. \*\*\* Die Schilddrüse.

#### M u s k e l n.

n. n. Gegend des Stirnmuskels. o. o. Schließmuskel  
der Augenlieder (M. orbicularis palpebrarum). p. Zusam-  
mendrucker der Nase (compressor nasi). q. q. q. Der Schließ-  
muskel des Mundes (orbicularis oris). r. Der viereckige  
Kinnmuskel (depressor labii inferioris). s. s. s. Der Backen-  
muskel (M. buccinatoris). t. Der obere schiefe Augenmus-  
kel (M. trochlearius). u. Der durchschnittene untere schiefe  
Augenmuskel (M. obliquus inferior). v. Der Hebemuskel  
des oberen Augenlides (levator palpebrae superioris).



w. Der obere gerade Augenmuskel, x. Der untere gerade Augenmuskel. y. y. y. Der innere Flügelmuskel (M. pterygoideus internus), z. Der hintere Kopf des zweibäuchigen Kiefermuskels. α. Dessen Sehne, β. Dessen vorderer Kopf. γ. Der Griffelzungenmuskel (M. styloglossus), δ. Der Kieferzungenbeinmuskel (M. mylohyoideus), ε. ε. Der Brustzungenbeinmuskel (M. sternohyoideus), η. Der Schildzungenbeinmuskel (M. thyrohyoideus), θ. Der Zusammenschnürer des Schlundkopfes (M. constrictor.) κ, λ. Die tieferliegenden Nackenmuskeln,

#### A r t e r i e n .

λ. Der Stamm der Kopfschlagader (Arteria carotis), μ. μ. äußere Kopfschlagader (art. carotis facialis), ν. innere Kopfschlagader (art. carotis cerebralis), ρ. obere Schilddrüsenarterie (art. thyrohyoidea superior), σ. obere Kehlkopfarterie (art. laryngea superior), τ, τ, τ. äußere Kieferarterie (art. maxillaris externa), υ. Kranzarterie der Oberlippe (art. coronaria labii superioris), χ. Kranzarterie der Unterlippe (art. coronaria labii inferioris), φ. φ. Zweige der Unteraugenhöhlenarterie (art. infraorbitalis), ψ. Die Angulararterie (arteria angularis), welche hier ein Zweig der Unteraugenhöhlenarterie ist, ω. Verbindung der Angulararterie mit der Augenarterie (art. ophthalmica), 1. Unteraugenliedararterie (art. palpebralis inferior), 2. 2. Äußere Nasenarterien (art. nasales externae), 3. 3. Die Stirnarterie (art. frontalis), 4. Zweig der Oberaugenhöhlenarterie (art. supraorbitalis), 5. abgeschnittener Zweig des Stirnastes der oberflächlichen Schläfenarterie (art. temporalis superficialis), 6. 6. Die innere Kieferarterie (art. maxillaris interna), 7. Die mittlere Hirnhautarterie (art. meningea media), 8. Die untere Kieferarterie (art. alveolaris inferior), 9. Der Stamm der Unteraugenhöhlenarterie (art. infraorbitalis), 10. Die hintere Kieferarterie (art. alveolaris poste-



rior). 11. Die Schläfenarterie (art. temporalis). 12. Die Hinterhauptsarterie (art. occipalis). 13. Die innere Kopfschlagader (art. carotis cerebialis). 14. Die Augenarterie (art. ophthalmica).

#### N e r v e n.

15. Der Sehnerv (nervus opticus). 16. Der Stamm des dritten Hirnnerven (nerv. oculomotorius) innerhalb der Schädelhöhle. 17. Der obere Zweig desselben. 18. Der untere Zweig desselben. 19. Verbindungszweig mit dem Augenknoten (Ganglion ophthalmicum), oder die kurze Wurzel, von wo aus noch drei Muskelzweige zu sehen sind. 20. Der Rollnerve (Nerv. trochlearis), bei seinem Eintritte in die Augenhöhlenspalte. 21. Der Stamm des sechsten Hirnnerven (Nerv. abducens), bei seinem Eintritte in die Augenhöhle. 22. Der Antlitznerve (Nerv. facialis), wie er in dem Fallopischen Kanale (canalis Fallopii) liegt. 23. Der zweibäuchige Kiefermuskelzweig (ram. digastricus). 24. Die abgeschnittenen Wangennerven (rami zygomatici). 25. Der obere Gesichtszweig (ram. facialis superior). 26. Der mittlere Gesichtszweig (ram. facialis medius). 27. Der untere Gesichtszweig (ram. facialis inferior). 28. Der untere Zweig des Antlitznerven (ram. descendens). 29. Der Unterkieferhautnerve (ram. subcutaneus maxillae inferioris). 30. Der Hautnerve des Halses (ram. subcutaneus colli). Die Verbindungen unter sich, dieser erwähnten Zweige, sind nicht besonders bezeichnet worden, da sie schon ohnedem in die Augen fallen. 31. Der Stamm des Stimmnerven (Nerv. vagus). 32. Der innere Kehlkopfnerve (ram. laryngeus internus). 33. Der äussere Kehlkopfnerve (ram. laryngeus externus). 34. Der Stamm des Zungenfleischnerven (Nerv. hypoglossus). 35. Der herabsteigende Zweig (ram. descendens) desselben. 36. Der oberste oder grosse Halsknoten (Gan-



gllion cervicale primum, vel superius) des sympathischen Nerven. 37. Stamm des sympathischen Nerven.

#### Fünfter Hirnnerve.

38. Stamm des fünften Hirnnerven (Nervus divisus), wo er durch die Spalte der harten Hirnhaut in seiner Scheide an den Seitenblutleiter (Sinus cavernosus) gelangt.

39. Der Wulst oder Knoten (Ganglion Gasseri).

#### Erster Hauptast.

40. Der Augenast (ramus ophthalmicus) an der Stelle, wo er durch die obere Augenhöhle spalte geht. 41. Der Stirnnerve (ram. frontalis). 42. Der Zweig desselben, der zur Stirnhöhle geht. 43. Der Oberrollnerve (ram. supratrochlearis), innerhalb der Augenhöhle. 44. wo derselbe unter dem Augenhöhlenrande zur Stirne gelangt, sich mit Zweigen daselbst verbreitet, und mit dem Unterrollnerven sich verbindet. 45. Der Oberaugenhöhlennerve (ram. supraorbitalis), innerhalb der Augenhöhle. 46. 46. seine zwei Zweige, die durch das Oberaugenhöhlenloch (foramen supraorbitale) zur Stirne kommen. 47. Der Nasenast (ram. nasalis). 48. Der Zweig, welcher die lange Wurzel des Augenknotens ist. 49. Der Augenknoten (Ganglion ophthalmicum), mit dem daraus kommenden Ciliarnerven. 50. Fortsetzung des Nasenastes. 51. Der Zweig des Unterrollnerven, welcher unter dem Augenhöhlenrande hervorkommt, sich an der Stirne und Nasenwurzel verbreitet und mit Zweigen des Oberrollnerven daselbst Verbindungen eingeht. 52. Fortsetzung des Unterrollnerven, welcher am inneren Augenwinkel hervorkommt und sich an der Nasenwurzel verbreitet. 53. Der eigentliche Nasenzweig (Nerv. ethmoidalis), wo er an dem unteren Rande des Nasenknochens aus der Nasenhöhle hervorkommt und sich auf der äußeren Nase verbreitet. 54. Verbindung



desselben mit dem Hautnerven der Nase. 55. Der Thränennerve (ram. lacrymalis).

Zweiter Hauptast.

56. Der Oberkiefernerve (Nerv. s. ram. maxillaris superior). 57. Der Wangenhautnerve (nerv. subcutaneus malae). 58. Verbindungszweig desselben mit dem Thränennerven. 59. abgeschnittener Verbindungszweig mit dem Antlitznerven. 60. abgeschnittene Fortsetzung desselben. 61. Der gemeinschaftliche Stamm für den Verbindungs- und Gaumennerven (Ganglion sphenopalatinum). 62. Der Verbindungsnerve (nerv. Vidianus) in seinem aufgebrochenen Kanale. 63. Der Stamm des Gaumennerven (nerv. palatinus). 64. Zweig, der eine Schlinge bildet, wodurch die innere Kieferarterie geht. 65. Ende dieses Zweiges in den Backenmuskel. 66. Der hintere Zahnnerve des Oberkiefers (nerv. alveolaris posterior). 67. hinterer Zweig desselben, der hinter der inneren Kieferarterie herab zum Backenmuskel geht, und sich mit einem Faden des sympathischen Nerven verbindet. 68. vorderer Zweig desselben, der sich mit einem Zweige des Unteraugenhöhlennerven und vorderen Zahnerven verbindet. 69. 69. Der Unteraugenhöhlennerve (Nerv. infraorbitalis), in seinem aufgebrochenen Kanale liegend. 70. ein Verbindungszweig desselben, mit dem hinteren Zahnerven. 71. Der vordere Zahnnerve (ram. alveolaris anterior). 72. Der Zweig desselben, der mit dem hinteren Zahnerven den Bogen bildet. 73. Der Stamm desselben, der zwischen die Knochenplatten des Oberkiefers tritt. 74. Der Unteraugenliedast (ram. palpebralis inferior). 75. Der obere Hautnerve der Nase (ram. subcutaneus nasi superior). 76. Der untere Hautnerve der Nase (ram. subcutan. inferior) und seine Verbindung mit dem Antlitznerven. 77. vier Lippennerven (rami labiales) durch vier Linien bezeichnet, welche



unter sich und mit den Zweigen des Antlitznerven verbunden sind.

### Dritter Hauptast.

78. Stamm desselben (*ramus maxillaris inferior*). 79. Der abgeschnittene Kiefermuskelnerv (*ram. massetericus*). 80. 80. Die abgeschnittenen tiefen Schläfenmuskelnerven (*rami temporales profundi*). 81. Der Stamm des Backenmuskelnerven (*ram. buccinatorius*). 82. Schlinge, welche derselbe mit einem Zweige des Stammes des dritten Hauptastes um die innere Kieferarterie macht. 83. 83. 83. Die Zweige und Verbindungen des Backenmuskelnerven mit Zweigen des Antlitznerven. 84. 84. Die Wurzeln des vorderen Ohrnerven (*ramus auricularis anterior, sive temporalis superficialis*). 85. eine nicht gewöhnliche dritte Wurzel desselben. 86. Der aus den Wurzeln hervorgehende vordere Ohrnerve. 87. 87. Die verbindenden Zweige desselben mit dem Antlitznerven, welche die Schläfenarterie umschlingen. 88. Der Zweig, welcher unten zum äußeren Gehörgange geht (*ramus meatus auditorii Meckelii*). 89. Der Zweig, der vor dem Gehörgange in die Höhe steigt. 90. Der Zweig, der von demselben zum Trommelfelle geht. 91. Der andere Zweig, der sich im Gehörgange verbreitet. 92. Die Fortsetzung des vorderen Ohrnerven. 93. Zweig, der von demselben zum Kiefergelenke geht. 94. weitere Fortsetzung des vorderen Ohrnerven. 95. 95. 95. Der Zungenast (*nerv. lingualis*), welcher hinter dem Unterkiefer verschwindet. 96. 96. 96. Der Unterkiefernerve (*nerv. alveolaris inferior*). 97. Der Kieferzungenbeinmuskelnerv (*ram. mylohyoideus*). 98. 98. 98. Der Zahnast (*ram. dentalis*), in dem aufgebrochenen Kanale des Unterkiefers. 99. 99. Der Kinnast (*ram. mentalis*), in dem aufgebrochenen Unterkiefer. 100. 100. seine Verbindungen mit dem Zahnaste. 101. Stelle, wo derselbe durch das Kinn-



loch kommt. 102.102. Die Unterlippennerven (rami labiales). 103. Zweig, der zum Kinne geht, und so wie die vorhergehenden, theils unter sich, theils mit Zweigen des Antlitznerven verbunden sind.

#### Geflechte des sympathischen Nerven.

104. Der Zweig des Zungenschlundkopfnerven (nervus glossopharyngeus), der das Geflecht der weichen oder Gefäßsnervchen (plexus nervorum mollium) bilden hilft. 105. Der oberflächliche Herznerve (Nerv. cardiacus superficialis). 106. Fäden des Geflechtes der Gefäßsnervchen, die die obere Schilddrüsenarterie umstricken. 107. Fäden für die obere Kehlkopfarterie. 108.108.108. Fäden für die äußere Kieferarterie. 109. Verbindung dieser Fäden mit dem Kieferhautnerven. 110.110. Fäden, welche den Stamm der äußeren Kopfschlagader weiter umstricken. 111. Verbindungsfaden mit dem zweibäuchigen Kiefermuskelnerven (ramus digastricus). 112. Fäden, die die innere Kieferarterie umstricken. 113. Verbindung mit dem hinteren Zahnerven. 114. Fäden für die Schläfenarterie. 115. Faden für die Hinterhauptarterie.

#### Fig. III.

An dem auf der vorigen Figur dargestellten Kopfe ist nun der Gelenkknopf der unteren Kinnlade gänzlich weggenommen, und auch die Gelenkvertiefung für dieselbe am Schlafbeine so weit weggebrochen worden, daß man die innere Kopfschlagader nun in ihrem aufgebrochenen Kanale liegen sieht. Der knorpliche Theil des äußeren Gehörganges ist gegen den Warzenfortsatz (processus mastoideus) zurückgebogen, und der knöcherne Gehörgang hinten so weit aufgebrochen worden, daß man die Trommelhaut wahrnehmen kann. Die Eustachische Trompete ist ebenfalls aufgeschnitten zu sehen. Die Augenlieder



sind mit dem Augapfel gänzlich entfernt worden, und die sämtlichen Gesichtsmuskeln bis auf einen Theil des Stirnmuskels und Augenbraunenmuskels sind ebenfalls weggenommen. Der Stamm des fünften Nervenpaares ist mit seinem Ganglion an derselben Stelle weggeschnitten worden, wo die drei Zweige von ihm ausgingen.

An beiden Kinnladen ist die äußere Knochentafel so weit weggebrochen, daß man die Zahnfächer nebst den Zahnerven übersehen kann. Von dem Aste der unteren Kinnlade ist noch nach hinten ein Stück weggesägt und der zweibäuchige Kiefermuskel gänzlich losgetrennt worden.

### K n o c h e n .

A. A. Senkrechter Schnitt, welcher dicht neben der länglichen Furche (*sulcus longitudinalis*) durch die Schädeldecke gemacht worden. B. B. Horizontaler Schnitt, durch welchen die rechte Hälfte der Schädeldecke abgetrennt worden. C. C. Durchschnittene obere Wand der Augenhöhle. D. Oberer Rand der Augenhöhle. E. Unterer Rand derselben. F. F. Durchschnittene untere Wand der Augenhöhle. G. Durchschnitt des vorderen Endes des Jochbogens. H. Der Thränenknochen. I. Die Augenhöhlenplatte (*Lamina papyracea*) des Siebknochens. K. K. Stelle, wo nach unten der Ast der unteren Kinnlade abgesägt worden. L. Fläche des Körpers der unteren Kinnlade. M. Gegend des Kinnlochs. N. N. N. Knochenzellen der unteren Kinnlade, welche, nachdem die äußere Knochentafel weggebrochen worden, um sämtliche Zahnfächer und Wurzeln nebst Nerven sichtbar zu machen. O. O. O. Der Kanal der Kopfschlagader (*canalis caroticus*). P. Das senkrecht durchschnittene Hinterhauptsbein. Q. Q. Der aufgebrochene Fallopische Kanal (*canalis Fallopii*). R. Der aus dem Felsentheile des Schlafbeines herausgeb-



chene obere halbzirkelförmige Kanal. S. Der hintere halb-  
zirkelförmige Kanal. T. Der äußere halbzirkelförmige  
Kanal. \* Der in der Trommelhöhle sichtbare Kopf des  
Hammers. U. Der aufgebrochene Vidianische Kanal. V.  
Der aufgebrochene knöcherne Gehörgang, dessen Ende  
durch das Trommelfell begrenzt wird. W.W.W.W.  
Weggenommene äußere Tafel des Oberkiefers, um die  
Zahnwurzeln nebst den Nerven sichtbar zu machen. X.  
Das Unteraugenböhlenloch (foramen infraorbitale). Y.  
Das Gaumenkeilbeinloch (foramen sphenopalatinum). Z.  
Der Griffelfortsatz (processus styloideus) des Schlafkno-  
chens.

#### Knorpel, häutige Theile und Muskeln.

a. Die mit der sehnigen Haube des Schädels zurück-  
geschlagene Fetthaut, von der Gegend des Hinterhauptes.  
b.b.b. Das Hinterhaupt und der obere und hintere Theil  
des Halses, noch mit den Hautdecken umgeben. c.c.e.  
Der große Sichelfortsatz der derben Hirnhaut. d. Der  
kleine Sichelfortsatz (Falx cerebelli). e.c. Das Hirnzelt  
(tentorium). f. Die durchschnittene Sehnenhaube (Galea  
aponeurotica). g. die knorpliche Rolle für den Rollmus-  
kel (M. obliquus superior). h. Bänder, wodurch dieselbe  
angeheftet ist. i. Die zurückgelegten und abgeschnittenen  
Augenliedknorpel (Tarsi). k. Die Thränenarunkel (carun-  
cula lacrymalis). l. Der Thränensack. m. Die Membran,  
welche die Kieferhöhle auskleidet. n. n. Zahnfleisch des  
Oberkiefers. o. o. Zahnfleisch des Unterkiefers. p.p. Die  
aufgeschnittene Eustachische Trompete (Tuba Eustachii).  
q. Der gegen den Warzenfortsatz zurückgelegte knorpli-  
che Gehörgang. r. Der Kehlkopf (Larynx). s.s. Gegend  
des Stirnmuskels. t. t. Der obere schiefe Augenmuskel,  
dessen Sehne am Augapfel abgeschnitten. u. u. Der Kie-  
ferzungenbeinmuskel (M. mylohyoideus). v. v. Der Brust-



zungenbeinmuskel (*M. sternohyoideus*). w. Der Schildzungenbeinmuskel (*M. thyreohyoideus*). x. Das große Horn des Zungenbeins. y. Die Schilddrüse (*glandula thyreohyoidea*). z. Der Zungenbeinzungenmuskel (*M. hyoglossus*). 1.1.1.1. Der Schlundkopf (*Pharynx*). 2.2.2.2. tieferliegende Nackenmuskeln. 3. Der spannende Muskel des Gaumens (*M. circumflexus palati*).

#### A r t e r i e n.

4. Der Stamm der Kopfschlagader (*arteria carotis*). 5. Die äußere Kopfarterie (*carotis facialis*). 6. Die obere Schilddrüsenarterie (*art. thyreohyoidea superior*). 7. Die obere Kehlkopfarterie (*art. laryngea superior*). 8. Die Zungenarterie (*art. lingualis*). 9. Die äußere Kieferarterie (*art. maxillaris externa*). 10. Stelle, wo die äußere Kieferarterie abgeschnitten ist. 11. Die Unterkinnarterie (*art. submentalis*). 12. 12. Die aufsteigende Gaumenarterie (*arteria palatina ascendens*). 13. 13. Die aufsteigende Schlundkopfarterie (*art. pharyngea ascendens*). 14. Stelle, wo die äußere Kopfarterie abgeschnitten ist. 15. 15. 15. Die innere Kopfarterie (*art. carotis cerebralis*). 16. 16. 16. Die Augenarterie (*arteria ophthalmica*). 17. 17. Die beiden Augenlidarterien (*art. tarsae*), welche von der vorhergehenden am innern Augenwinkel abgehen. 18. Verbindung mit der Angulararterie. 19. 19. Die Stirnarterie (*art. frontalis*). 20. Ein Stirnzweig der Augenarterie. 21. Zweig der oberflächlichen Schläfenarterie. 22. Die abgeschnittene Unteraugenhöhlenarterie.

#### N e r v e n.

23. Der Sehnerv (*nerv. opticus*), welcher vom Augapfel abgeschnitten ist. 24. Der Stamm des dritten Hirnnerven (*nerv. oculomotorius*). 25. Der obere Zweig desselben. 26. Der untere Zweig desselben. 27. Der Zweig desselben, der die kurze Wurzel für den Augenknoten bildet. 28. 28. Der Rollnerv (*nerv. trochlearis*). 29. Der



Stamm des sechsten Hirnnerven (nerv. abducens). 30. Gegend, wo der Anlitznerve (nerv. communicans faciei) das Knie bildet, und den oberflächlichen Zweig des Vidianischen Zweiges aufnimmt. 31. Weitere Fortsetzung desselben durch seinen Kanal. 32. Stelle, wo er aus seinem Kanale tritt (foramen stylomastoideum). 33. Wo er mit seinen Zweigen abgeschnitten worden. 34. Der Zungenschlundkopfnerve (nerv. glossopharyngeus). 35. Der obere Zweig desselben. 36. Der untere Zweig desselben. 37. Zweige des untern Zweiges desselben, die an den Schlundkopf gehen. 38. Der Stimmnerve (nerv. vagus), wo er aus dem Drosselvenenloche (foramen jugulare) kommt. 39. 39. 39. Die Fortsetzung desselben. 40. Der Schlundkopfzweig (ram. pharyngeus) desselben. 41. Der innere Kopfnerv (ram. laryngeus internus). 42. Der äußere Kehlkopfnerv (ram. laryngeus externus.) 43. Der Beinerve (nervus accessorius Willisii). 44. 44. Der Zungenfleischnerve (nervus hypoglossus), 45. 45. Der herabsteigende Zweig (ram. descendens) desselben. 46. Der Zweig zum Schildzungenbeinmuskeln desselben. 47. Fortsetzung des Zungenfleischnerven.

Erster Hauptast des fünften Hirnnerven.

48. Der Augenast (ram. ophthalmicus), da, wo er von dem Gasserschen Ganglion abgeschnitten worden. 49. Dessen Stirnast (ram. frontalis). 50. Zweig des letztern, welcher sich in beiden folgenden Zweigen spaltet. 51. Der Zweig, der zur Stirnhöhle geht. 52. 52. Der andere Zweig, der sich um den obern schiefen Augenmuskel (M. trochlearis) biegt, nach vorne unter der Rolle hervorkommend, und sich dann mit dem Unterrollnerven verbindet. 53. Der Oberaugenhöhlenzweig (ramus supraorbitalis), innerhalb der Augenhöhle. 54. Zweige desselben, die durch das Oberaugenhöhlenloch kommen und sich an der Stirne verbreiten. 55. 55. Der Oberrollnerve (ram. supratrochlearis), wie er über die Rolle hinget und sich an der Stirne verbreitet.



56. Der Nasenast (*ram. nasalis*). 57. Dessen Zweig zum Augenknoten, der die lange Wurzel desselben ausmacht. 58. Der Augenknoten (*Ganglion ophthalmicum*) mit den Ciliarnerven. 59. Der nicht gewöhnliche Zweig des Nasenastes, der sich mit dem 52. des Stirnastzweiges verbindet, und einen zweiten Unterrollnerven bildet. 60. Der eigentliche Nasenzweig (*r. ethmoidalis*), der von der Arterie begleitet, in das foramen ethmoidale tritt. 61. Der eigentliche Unterrollnerve (*r. infratrochlearis*). 62. Zweige für den Thränsack, und die Unteraugenlidknorpelarterie begleitend. 63. Zweig, der die obere Augenlidknorpelarterie (*art. tarsea superior*) begleitet. 64. 64. Verbindungen des Ober- und Unterrollnerven. 65. Der abgeschnittene Thränennerve (*ram. lacrymalis*).

#### Zweiter Hauptast.

66. Der Oberkiefernerve (*ram. maxillaris superior*); wo er von dem Ganglion abgeschnitten worden. 67. Der abgeschnittene Wangenhautnerve (*ram. subcutaneus malae*). 68. Der gemeinschaftliche Stamm für den Verbindungs- und Gaumennerven (*Ganglion sphenopalatinum*). 69. Der Verbindungsnerve (*nerv. Vidianus seu pterygeus*) in seinem aufgebrochenen Kanale. 70. Der oberflächliche Zweig (*ram. superficialis*) desselben, bis dahin, wo er sich mit dem Antlitznerven, unter 30. vereinigt. 71. Der tiefere Zweig (*ram. profundus*) desselben. 72. Der Zweig des letztern, der hinter der Eustachischen Trompete herab zum Schlundkopfe geht. 73. Der Zweig, der durch das Foramen sphenopalatinum zum oberen Theile des Schlundkopfes und hinteren Theile der Nasenhöhle geht. 74. 74. Der Zweig des Ganglions sphenopalatinum, welcher sich mit dem sechsten Hirnnerven verbindet. 75. Der Gaumenerve (*ram. palatinus*). 76. der abgeschnittene Zweig, der die Schlinge um die innere Kieferarterie bildet. 77. Der vordere und äußere Zweig des Gaumennerven, nebeneinander liegend. 78. Der



innere Zweig desselben. 79. Der hintere Zahnnerve (*nerv. alveolaris posterior*). 80. Der abgeschnittene hintere Zweig desselben. 81. Ein Zweig desselben, der zwischen den Knochenzellen zum Zahnfleische herabsteigt. 82. 82. Der vordere Zweig desselben, der sich bogenförmig mit dem vorderen Zahnnerven verbindet. 83. Zweig, der zur innern Wurzel des letzten Backenzahnes geht. 84. Zweig für die innere Wurzel desselben, der noch einen Zweig für das Zahnfleisch abgiebt. 85. Zweig für das Zahnfleisch, zwischen den beiden letzten Backenzähnen. 86. Zweig für beide Wurzeln des vierten Backenzahnes. 87. Zweig, der sich in vier Zweige spaltet, zwei sind für die Wurzel des dritten Backenzahnes und zwei für das Zahnfleisch bestimmt. 88. 88. Der Unteraugenhöhlennerve (*nerv. infraorbitalis*). 89. Dessen ungewöhnlicher Verbindungszweig mit dem hintern und vordern Zahnnerven. 90. Der vordere Zahnnerve (*ram. alveolaris anterior*). 91. Der Zweig desselben, der mit dem hinteren Zahnnerven einen Bogen bildet. 92. 92. Fortsetzung des vorderen Zahnnerven. 93. Ein abgeschnittener Zweig, der die vordere Wand des Kiefers durchbohrt und sich in den Backenmuskel verlor. 94. 94. Zwei Zweige, die herabsteigend in ein Geflecht übergchen, das durch ihre Vereinigung mit dem bogenförmigen Verbindungszweig des vorderen und hinteren Zahnnerven gebildet wird. 95. Zweig, der aus dem Netze zum zweiten Backenzahne herabsteigt. 96. Zweig aus dem Geflechte, der zum Zahnfleische geht und mit dem vorigen sich durch einen Zweig verbindet. 97. Zweig des Geflechtes, der zur Wurzel des ersten Backenzahnes geht, und einen Verbindungszweig zum folgenden giebt. 98. Zweig aus der Fortsetzung des Nerven, der sich in einen Zweig für das Zahnfleisch und in einen für die Wurzel des Eckzahnes spaltet. 99. Zweig für den äußeren Schneidezahn. 100. Zweig für das Zahnfleisch. 101. Zweig für den inneren Schneidezahn der linken Seite.



102. Zweig, der sich in zwei Zweige für das Zahnfleisch theilt. 103. Zweig, der durch den Kieferknochen in die Nasenhöhle unter der unteren Nasenmuschel hineingeht.

### D r i t t e r  H a u p t a s t .

104. Der Unterkiefernerve (*ramus maxillaris inferior*), wo er von dem Stamme des fünften Nerven abgeschnitten worden. 105. Der abgeschnittene Kiefermuskelnerv (*ram. massetericus*). 106. Die abgeschnittenen tiefen Schläfenerven (*rami temporales profundi*). 107. Der abgeschnittene Backenmuskelnerv (*r. buccinatorius*). 108. Die Wurzeln des vorderen Ohrnerven (*nerv. auricularis anterior, seu temporalis superficialis*). 109. Die nicht gewöhnliche dritte Wurzel desselben. 110. Die zwei Verbindungszweige mit den Antlitznerven. 111. Der Zweig, der zwischen dem knöchernen und knorplichen Theile des äußeren Gehörganges in denselben eindringt. 112. Der Zweig, der vor dem zurückgezogenen knorplichen Gehörgange in die Höhe steigt. 113. Der Zweig, der von ihm zum Trommelfelle geht und sich mit der Paukensaite (*Chorda tympani*), verbindet. 114. Zweig, der sich zur innern Haut des äußeren Gehörganges verbreitet. 115. Die Fortsetzung des vorderen Ohrnerven, abgeschnitten. 116. Der Zungenast (*ramus lingualis*), welcher sich hinter dem Unterkiefer verbindet. 117. Die Paukensaite (*Chorda tympani*), wo sie an dem Hammer zum Vorschein kommt. 118. Stelle, wo sie in den Zungenast übergeht. 119. Ein öfterer vorkommender Zweig, der oben aus dem Stamme des dritten Astes kommt, und zu dem Zungenaste, indem er die Chorda aufnimmt, herabsteigt. 120. Der Zweig des Zungenastes, der zum Schlundkopfe geht. 121. Der Unterkiefernerve (*nerv. alveolaris inferior*). 122. Der Kieferzungenbeinmuskelnerv (*ram. mylohyoideus*). 123. Stelle, wo der Kiefernerve in



den Kieferkanal tritt. 124. Der Zahnast desselben (*ram. dentalis*), 125. Zweig, der zum Zahnfleische hinter den letzten Backenzahn geht. 126. Zweig für die hintere Wurzel des letzten Backenzahnes. 127. Zweig für die vordere Wurzel desselben. 128. Zweig, der sich spaltet, für das Zahnfleisch zwischen dem vierten und fünften Backenzahne und der hintern Wurzel des vierten Backenzahnes, dann an einem Fistelsacke endet. 129. 129. Verbindungen zweier Zweige des Kinnastes zu einem weiten Geflechte. 130. Zweig für die vordere Wurzel des vierten Backenzahnes, der ebenfalls an einem Fistelsacke endet. 131. Zweig für das Zahnfleisch, zwischen dem dritten und vierten Backenzahne. 132. Zweig für die hintere Wurzel des dritten Backenzahnes, der aber an einem größeren Fistelsacke endet. 133. Verbindung mit einem Zweige des Geflechtes. 134. Zweig für die vordere Wurzel des dritten Backenzahnes. 135. Zweig für das Zahnfleisch zwischen dem zweiten und dritten Backenzahne. 136. Zweig für die Wurzel des zweiten Backenzahnes. 137. Zweig für das Zahnfleisch zwischen dem ersten und zweiten Backenzahne. 138. 138. Verbindungen zweier Zweige des Kinnastes, da, wo er durch das Kinnloch geht. 139. Zweig für den ersten [Backenzahn. 140. Zweig für das Zahnfleisch zwischen dem Eck- und ersten Backenzahne. 141. Zweig, der sich für den Eckzahn und das Zahnfleisch zwischen dem äußeren Schneide- und Eckzahne theilt. 142. Zweig für den äußeren Schneidezahn. 143. Zweig, der sich theilt für den inneren Schneidezahn und für das Zahnfleisch zwischen dem inneren und äußeren Schneidezahne. 144. Der Kinnast (*ram. mentalis*, s. *labialis*), der mit dem erstern durch den Kieferkanal geht, etwas herabgelegt ist, und aus dem Kinnloche (*foramen mentale*) kommt. 145. Der abgeschnittene Kinnast.



Sympathischer Nerve.

146. Der obere Halsknoten (Ganglion cervicale superius). 147. Verbindungszweig mit dem Stimmnerven (nerv. vagus). 148. Der Stamm der sympathischen Nerven abwärts. 149. Der oberflächliche Herznerve (n. cardiacus superficialis). 150. Die Verbindung desselben mit dem äußeren Kehlkopfzweige des Stimmnerven. 151. Einer von den größern weichen Gefäßnerven (nerv. mollis), der zwischen der äußern und innern Kopfschlagader hervorkommt und mit dem folgenden das Gefäßnervengeflecht (plexus nervorum mollium) bildet. 152. Der Zweig, der von dem Zungenschlundkopfnerven und Schlundkopfzweige des Stimmnerven kommt. 153. Verbindungszweig, zwischen dem oberen Kehlkopfnerven und dem Zweige des Schlundkopfungennerven, der zu dem Gefäßnervengeflechte herabgeht. 154. Fäden, welche die obere Schilddrüsenarterie umstricken und begleiten. 155. Faden für die obere Kehlkopfarterie. 156. Faden für die Zungenarterie. 157. Faden für die äußere Kieferarterie. 158. Faden für die aufsteigende Gaumenarterie. 159. 159. Schlundkopfgflecht (plexus pharyngeus), das aus Zweigen des Schlundkopfungennerven- und Stimmnerven, und aus Zweigen des Gefäßnervengeflechts gebildet wird. 160. Stamm des sympathischen Nerven, an der inneren Kopfschlagader, aufwärts. 161. Aufsteigender Zweig zum Schlundkopfungennerven, 162. Der vordere Zweig des sympathischen Nerven. 163. Der hintere Zweig desselben. 164. Zweig, der von dem Schlundkopfungennerven in einer Furche des Vorgebirges (Promontorium) aufwärts zum Antlitznerven geht und sich auch durch zwei Zweige mit dem hinteren Aste des sympathischen Nerven verbindet. 165. 165. Die Fortsetzung des sympathischen Nerven, welcher sich durch die beiden Zweige theils mit dem tiefen Zweige der Vidianischen-, theils durch aufwärts



steigende Zweige mit dem sechsten Hirnnerven (n. abducens) geflechtartig verbindet. 166. Zweige, die von diesem Geflechte weiter heraufgehen und sich mit dem dritten Hirnnerven (n. oculomotorius) verbinden. 167. Zweige, welche die innere Kopfschlagader innerhalb der Schädelhöhle umstricken.

Fig. IV.

Das verlängerte Mark (medulla oblongata) mit den vier Hügeln (corpora quadrigemina) von oben zu sehen, wovon die rechte Hälfte des kleinen Gehirnes ganz weggenommen und von der linken noch zum Theil vorhanden ist. a. a. Die innere Fläche der Sehnervenhügel (thalami nervorum opticorum). b. Die hintere Commissur des Gehirnes. c. c. Das vordere Paar der vier Hügel (Nates). d. d. Das hintere Paar (Testes). e. Der markigte Querfaden (trabecula medullaris). f. Der obere Schenkel des kleinen Gehirns (crus ad corpora quadrigemina) der linken Seite. g. g. g. Durchschnitt des kleinen Gehirns. h. Stelle, wo der untere Schenkel (corpus restiforme) vom kleinen Gehirn abgeschnitten worden. i. Spalte des verlängerten Markes in der vierten Hirnhöhle. k. Stelle, wo der obere Schenkel der rechten Seite weggeschnitten ist. l. Durchschnitt des grossen Gehirnschenkels (pedunculus cerebri), nach Wegnahme des kleinen Gehirns. m. Stelle, wonach oben das kleine Gehirn von der Varolischen Brücke (pons Varoli) losgeschnitten ist. n. Der rechte durchschnittene mittlere Schenkel des kleinen Gehirns. o. o. Uranfang des fünften Hirnnerven in dem Rückenmarke, nach Wegnahme des untern Schenkels (corpus restiforme) sichtbar geworden. p. Fortsetzung desselben, durch den mittleren Schenkel (crus ad pontem Varolem). q. Stelle, wo er durch den Spalt des mittlern Schenkels kommt. r. Abge-



schnittener Stamm des fünften Hirnnerven. s. Wurzel für den Gehörnerven (nerv. acusticus).

Fig. V.

Das verlängerte Mark mit der Varolischen Brücke, von unten zu sehen. a. Der mittlere Theil der Brücke, wo sich die Furche für die Basilararterie zeigt. b. b. Die abgeschnittenen mittleren Schenkel des kleinen Gehirnes. c. c. Die sechsten Hirnnerven (n. abducentes). d. d. Die Antlitznerven. e. e. Die Gehörnerven. f. f. Stelle, wo sich letztere aus der vierten Hirnhöhle um den mittlern Schenkel des kleinen Gehirns biegen. g. g. Beide Hälften des verlängerten Markes. h. h. Die Durchkreuzung der Bündeln derselben. i. i. Die Pyramidenkörper (corpora pyramidalia). k. k. Die Olivenkörper (corpora olivaria). l. l. Die untern Schenkel des kleinen Gehirns (corpora restiformia). m. m. Die wulstigen Linien, welche von den Ursprüngen des fünften Hirnnerven, zwischen dem Olivenkörper und dem unteren Schenkel des kleinen Gehirns gebildet werden. n. n. Stämme derselben, wo sie aus ihren Spalten der mittlern Schenkel hervortreten. o. o. Bandartige Faserbündel, die oberflächlich von dem verlängerten Marke an der untern Fläche der Brücke hingehen.

Fig. VI.

Die innere Fläche des Gasserschen Ganglions. a. Die grössere Portion des fünften Hirnnerven. b. Die kleinere Portion desselben. c. Der Augenast desselben (ram. tertius). d. Der Oberkieferast (ram. secundus). e. Der Unterkieferast (ram. tertius). f. Hügel, in welchem die grössere Portion gegen den dritten Ast anschwillt.

Fig. VII.

Die innere Fläche des Stammes der innern Kopfschlagader des dritten, fünften und sechsten Hirnnerven, nebst ihren Verbindungen mit dem sympathi-



schen Nerven. a. Stamm der innern Kopfschlagader. b. Bogen, den sie vor dem Eintritte in ihren Kanal bildet. c. Erster Bug im Kanale. d. Zweiter Bug in demselben. e. Dritter Bug. f. Vierter Bug. g. Der gemeinschaftliche Zweig (ram. communicans). h. Die Arterie an der Sylvischen Furche (art. fossae Sylvii). i. Die Arterie für den markigten Balken (art. corporis callosi). k. Die größere Portion des fünften Hirnnerven. l. Die kleinere Portion desselben. m. Der erste Hauptast. n. Der zweite Hauptast. o. Der dritte Hauptast. p. Anschwellung des Stammes gegen den dritten Ast. q. q. Stamm des dritten Hirnnerven. r. r. Stamm des sechsten Hirnnerven. s. Stamm des sympathischen Nerven. t. Der vordere Zweig desselben. u. Der hintere Zweig desselben. v. Ein Verbindungszweig mit dem sechsten Hirnnerven. w. Der hintere Zweig des Stammes, der sich an der inneren Fläche der Kopfschlagader nach vorne aufwärts wendet und hinter dem Stamme des sechsten Hirnnerven in dem letzten Ganglion anschwillt. x. Zweig, der von dem Ganglion vorwärts zum sechsten Hirnnerven geht. y. Zweig von dem Ganglion, der sich theilt und zum dritten Hirnnerven und dem Augennaste des fünften Hirnnerven geht. z. z. z. Zweige des Ganglions, welche die Kopfschlagader bis zu ihrer Theilung und weitem Verästelung umstricken.

Fig. VIII.

stellt den Ohrknoten beim Menschen von der rechten Seite dar\*). Die Lage des Knoten ist hier nicht ganz gewöhnlich, indem derselbe, wie aus der Beschreibung erhellt, meist mehr gerade an der inneren Seite des dritten Astes vom fünften Paar der Hirnnerven sich befindet und nicht so weit über den vorderen Rand vorragt.

---

\*) Nach Arnold: Ueber den Ohrknoten. Heidelberg 1828.



A. Schlafbein, an dem ein Theil weggenommen ist, so daß das Labyrinth des Gehörorgans, die Paukenhöhle und Eustachische Röhre entfernt sind, und man a. den Hammer, b. den Ambos, c. das Paukenfell von seiner innern Seite, und d. den Spanner des Trommelfelles sieht. B. großer Flügel des Keilbeins. e. Rundes Loch, f. Eiförmiges Loch. g. Stachelloch. C. Kleiner Flügel des Keilbeins. h. Obere Augenhöhlepalte. D. Flügel förmiger Fortsatz des Keilbeins. E. Hinteres Stück des Augenhöhletheils vom Stirnbein. F. Gaumenbein. i. Gaumen-Keilbein-Loch. G. Hinterer Theil des Oberkieferbeins. II. Aufsteigender Ast des Unterkiefers. I. Innerer Flügelmuskel. k. Aeußere Kopfschlagader. l. Innere Kieferpulsader. m. Untere Zahnhöhlenpulsader. n. Mittlere Schlagader der harten Hirnhaut. o. Zweige zum Ohrknoten. p. Schläfepulsader. 1. Stamm des fünften Paares der Hirnnerven. Derselbe ist aufgehoben und nach aussen zurückgeschlagen, so daß man dessen untere und innere Fläche erblickt. 2. Kleinere Portion desselben. 3. Halbmond förmiger Knoten. 4. Erster, 5. Zweiter, 6. Dritter Ast des dreigetheilten Nerven. 7. Oberflächlicher Schläfennerve. 8. Unterer Zahnhöhlennerve. 9. Zungenbein-Kiefernerve. 10. Zungenast oder Geschmacksnerve. 11. Paukensaiten. 12. Flügelmuskelnerve. 13. Nerve zum Spanner des weichen Gaumens. 14. Kleiner oberflächlicher Felsenbein nerve, da abgeschnitten, wo er durch die Oeffnung C in die folgende Figur tritt. 15. Ohrknoten, ganglion oticum s. auriculare. 16. Faden zum Spanner des Paukenfells. 17. Fädchen zum oberflächlichen Schläfenerven. Und

Fig. IX.

gibt die Verbindung des Hör- und Antlitznerven, so wie die des letzteren mit dem kleineren oberflächlichen Fel-



senbeinnerven. Diefes Stück ist von der rechten Seite. — Der innere Gehörgang und der Falloppische Kanal sind aufgebrochen, die Spitze des Felsentheils vom Schlafbein weggeschlagen, die Paukenhöhle von oben geöffnet und der Antlitznerve von dem Hörnerven etwas entfernt, damit die Verbindung zwischen beiden deutlicher erkannt wird.

A. Grofser Flügel des Keilbeins. B. Stachelloch. C. Eine kleine Oeffnung nach innen vom foramen spinosum, welche zu dem obenerwähnten Kanälchen führt. D. Schuppe des Schlafbeins. E. Felsentheil desselben Knochens. F. Hammer. G. Ambos. II. Steigbügel. I. Vorhof. K. Mittlere Pulsader der harten Hirnhaut. L. Innere Kopfschlagader. M. Paukenfellspanner. 1. Hörnerve, von dem nur der obere hintere Ast zu sehen ist. 2. Antlitznerve. 3. Kleinere Portion desselben. 4. Ein Zweigchen von ihr, das sich mit dem Hörnerven verbindet, gewöhnlich sehr fein, hier aber stärker, als ich es je beobachtete, ist. 5. Gröfserer oberflächlicher Felsenbeinnerv. 6. Ganglienartige Anschwellung am Knie des Antlitznerven. 7. Von derselben entspringendes Fädchen, das sich mit dem Hörnerven verbindet. 8. Ein anderes Fädchen, das Verbindung eingeht mit dem 9. kleineren oberflächlichen Felsenbeinnerven. 10. Paukensaite.

Fig. X.

stellt die Jacobsonische Nerven Anastomose oder die Verbindung zwischen dem Knötchen des Zungenschlundkopfnervens, dem oberflächlichen Zweige des Vidischen Nervens und dem sympathischen Nerven dar\*).

A—A. Die innere Kopfpulsader der linken Seite. 1—1. Der Zungenschlundkopfnerv. 2. Der Knoten des

\*) Fig. X. bis XIII. nach Hirzel: Ueber die Verbindungen des sympathischen Nervens mit dem Hirnnerven. In Tiedemanns Zeitschrift 1r Bd. II. Heft.



Zungenschlundkopfnerven. 3. Der aus diesem hervorgehende und in die Paukenhöhle dringende Zweig oder der Jacobsonische Nerve. 4. Die Verbindungsfaden desselben mit dem sympathischen Nerven. 5. Die Fortsetzung des Jacobsonschen Zweiges, die sich mit dem oberflächlichen Zweige des Vidischen Nerven verkettet. 6. Ein sehr feines Zweigchen, das der Jacobsonische Nerve an das zweite Trommelfell absendet. 7. Ein äußerst zartes Fädchen, das sich zur Haut des ovalen Fensters hinzieht. 8. Knieförmige Biegung des Anlitznervens. 9. Der Gaumenkeilbeinknoten mit den nach unten tretenden Gaumenerven und den sich nach innen neigenden hintern obern Nasennerven. 10. Vidischer Nerve. 11. Dessen tiefer Zweig. 12. Dessen oberflächlicher Zweig. 13. Verbindungszweig zwischen dem obersten Halsknoten und dem Vidischen Nerven. 14. Ein zweiter Verbindungsfaden zwischen dem Vidischen Nerven und demjenigen Zweige aus dem obersten Halsknoten, der sich mit dem sechsten Paare verkettet. 15. Aufwärts steigender Zweig aus dem obersten Halsknoten, der sich nach oben in drei Zweige auflöst, die sich in den sechsten Nerven einsenken. 16. Der Stamm des sechsten Nervenpaares. 17. Abgeschnittener Unteraugenhöhlnnerve.

Fig. XI.

zeigt die Verbindung zwischen dem carotischen und dem Ciliarknoten.

*A—A.* Innere Kopfschlagader der rechten Seite, deren hinterer Theil aufwärts geschlagen ist. 1. Aufwärts steigender Stamm des obersten Halsknotens. 2. Verbindungsfaden desselben mit dem Vidischen Nerven. 3. Ein zweiter Verbindungszweig aus dem carotischen Geflechte mit dem Vidischen Nerven. 4. Verbindungsfaden zwischen dem obersten Halsknoten und dem sechsten Nerven. 5. Vi-



discher Nerve. 6. Der tiefe Zweig desselben. 7. 7. Der oberflächliche Zweig des Vidischen Nervens. 8. Ein Fädchen aus demselben zum carotischen Knoten. 9. Ein Zweig des sympathischen Nervens zum carotischen Knoten. 10. Der carotische Knoten. 11. Zwei Fädchen aus ihm, die der Haut der Kopfschlagader angehören. 12. Ein aus dem carotischen Knoten sich aufwärts windendes Fädchen, das die lange Wurzel des Augenknotens bilden hilft. 13. Ein Verbindungsfaden zwischen dem Gangliennerven und dem sechsten. 14. Ein kleines Geflecht, das durch die Faden, die aus dem sympathischen Nerven an den sechsten Nerven treten, gebildet wird. 15. Ein Faden aus diesem Geflechte, der quer über die Kopfschlagader weggeht und sich in den Umhüllungen des carotischen Kanals verliert. 16. Der sechste Nerve. 17. Ein sehr zartes Fädchen vom sechsten Nerven, das in Verbindung mit dem Fädchen aus dem carotischen Knoten die lange Wurzel des Ciliarknotens bilden hilft. 18. Lange Wurzel des Ciliarknotens. 19. Das dritte Hirnnervenpaar. 20. Die kurze Wurzel des Ciliarknotens. 21. Der Ciliarknoten. 22. Die Ciliarnerven. 23. Der Sehnerve. 24. Knieförmige Biegung des Antlitznervens.

Fig. XII.

stellt den Verlauf der Paukensaite als Fortsetzung des oberflächlichen Zweiges des Vidischen Nervens dar.

*A.* Der Gaumenspanner. *B.* Innerer Flügelmuskel. *C.* Abgeschnittener Griffelzungenmuskel. *D.* Zungenbeinzungenmuskel. *E.* Die Zunge. *F.* Ein Stück der Schleimhaut der Mundhöhle. *G.* Die Unterkieferdrüse. *H.* Ein Theil der Unterzungendrüse. *I.* Die innere Kopfschlagader der rechten Seite. *K.* Die äußere Kieferpulsader abgeschnitten. *L.* Ihr Zweig zur Unterkieferdrüse. 1. Gaumenkeilbeinknoten. 2. Die Gaumennerven. 3. Die obern



hintern Nasennerven. 4. Der zweite Ast des fünften Paares in die Höhe gehoben. 5. Der Flügelgaumennerve. 6. Der Unteraugenhöhlennerve. 7. Abgeschnittener hinterer oder Zahnnerve. 8. Der oberflächliche Zweig des Vidischen Nervens. 9. Derjenige Theil des Felsenzweiges des Vidischen Nervens, der sich im Falloppischen Kanal durch lockeres Zellgewebe mit dem Antlitznerven verbindet. Das Zellgewebe ist hier weggenommen und die Fortsetzung des Felsenzweigs des Vidischen Nervens vom Antlitznerven etwas entfernt. 10. 10. 10. Die Fortsetzung des oberflächlichen Zweigs des Vidischen Nervens, wie sie vom Antlitznerven abtritt und als Paukensaite gegen den Unterkieferknoten hinläuft. 11. Ein Fädchen aus ihr, das an den Unterkieferknoten dringt. 12. Ein zweites Fädchen aus der Paukensaite, das sich mit dem Zungenaste verbindet und in die Zunge tritt. 13. Der Kieferknoten. 14. Aus demselben hervorgehende Nervenfäden, die sich in der Substanz der Unterkieferdrüse verzweigen. 15. Ein Fädchen aus dem weichen Geflechte des sympathischen Nervens, welches die äußere Kieferpulsader begleitet und sich mit dem Kieferknoten verbindet. 16. Der Antlitznerve. 17. Der Jacobsonische Nerve. 18. Ein Fädchen aus ihm, das sich mit dem sympathischen Nerven verbindet. 19. Ein zweites Fädchen, das aus dem Jacobsonschen Nerven an die Eustachische Röhre dringt. 20. Abgeschnittener dritter Ast des fünften Paares. 21. Flügelnerve. 22. Abgeschnittener Zahnhöhlennerve des Unterkiefers. 23—23. Zungenast des fünften Paares. 24. Ein vom Zungenast sich lostrennendes Fädchen, welches den Kieferknoten bilden hilft. 25. Der oberste Halsknoten. 26. Der aus demselben sich erhebende und die Kopfschlagader in ihren Kanal begleitende Zweig. 27. Der carotische Knoten. 28. Verbindungsweig zwischen ihm und dem sechsten Nerven,



der sich nach oben gabelförmig spaltet und mit einem Zweige aus dem obersten Halsknoten, der an der innern Seite der Kopfschlagader verläuft, verbindet. 29. Verbindungszweig, zwischen dem carotischen Knoten und dem tiefen Zweig des Vidischen Nervens. 30. Sechster Nerve. 31. Zungenfleischnerve. 32. Lungenmagennerve. 33. Zungenschlundkopfnerv. 34. Der obere Kehlkopfsast des Lungenmagennervens. 35. Ein Faden aus dem obern Halsknoten, der sich mit dem obern Kehlkopfsaste verbindet. 36. Ein Verbindungszweig aus dem obern Halsknoten mit dem Stamm des Lungenmagennervens.

Fig. XIII.

zeigt die Nervenfasern, die aus dem sympathischen Nerven an den Hirnanhang dringen.

*A—A.* Innere Kopfschlagader der linken Seite. *B.* Der Hirnanhang. *C.* Das Trichterchen. 1. Der aus dem obern Halsknoten sich erhebende und in den carotischen Kanal tretende Zweig des sympathischen Nervens. 2. Aeufserer Zweig desselben. 3. Innerer Zweig desselben, der sich nach oben in drei Zweige auflöst, die sich mit dem sechsten Nerven verbinden. 4—4. Ein von jenem entspringendes Fädchen, das an den Hirnanhang dringt. 5. Carotischer Knoten. 6. Abgeschnittener Verbindungszweig mit dem Vidischen Nerven. 7. 7. Ein zweites Fädchen, das sich aus dem carotischen Knoten zum Hirnanhang hinaufwindet. 8. Verbindungszweig zwischen dem carotischen Knoten und dem sechsten Nerven. 9. Sechster Nerve.

---



## N e u n t e T a f e l.

### Die Nerven der Brust und des Unterleibs \*).

#### Fig. I.

1. Die sieben untern Rippen. 2. Die Wirbelsäule.
3. Die getrennte Schaambeinvereinigung. 4. Der untere Lappen der rechten Lunge. 5. Ein Theil der Pleura umgeschlagen. 6. ductus thoracicus. 7. Herzbeutel mit dem Herzen. 8. vena cava inferior, wie sie durch's Foramen quadrilaterum des Zwerchfells tritt. 9. Zwerchfell von den Rippen getrennt und gegen die linke Seite herabgezogen.
10. crus externum. 11. crus medium. 12. crus internum diaphragmatis. 13. rechte Niere nach der linken Seite herumgeschlagen. 14. Harnleiter. 15. Harnblase. 16. 17. Gebärmutter. 18. Rundes Mutterband. 19. tuba Fallopii. 20. Mastdarm. 21. Aorta thoracica et abdominalis. 22. rechte Nierenschlagader. 23. untere Hohlvene herumgeschlagen.
24. vasa spermatica et nervi spermatici interni. 25. Zwerchfellsnerve, nervus phrenicus. 26. ram. nervi phrenici anastomoticus. 27. vordere, 28. hintere Zweige der Rückenerven. 29. 30. ram. anteriores nervorum lumbalium et sacralium. 31. nervus sympathicus maximus. 32. ganglia thoracica. 33. ganglia lumbalia. 34. ganglia sacralia. 35. Verbindungszweige zwischen den Nerven der Wirbelsäule und dem nerv. sympathicus maximus. 36. rami communicantes nervorum columnae vertebrarum. 37. nervus splanchnicus major. 38. nervus splanchnicus minor. 39. Truncus nervi posterioris superioris renalis. 40. nervus renalis posterior inferior. 41. plexus spermaticus. 42. plexus

---

\* ) Nach J. G. Walter: Nervorum Thoracis et Abdominis Tabulae.  
Berlin 1796.



lumbalis. 43. plexus sacralis. 44. plexus hypogastricus.  
45. nervi et plexi pudendorum. 46. nervus spermaticus  
externus. 47. n. cruralis. 48. n. ischiadicus.

Fig. II.

Diese Figur zeigt die Verbindungen der beiden  
Nervi sympathici maximi auf der vordern Fläche des heiligen  
Beines, so wie ihr Ende als 1. Ganglion coccygeum.

Fig. III.

Diese Figur zeigt 1. den plexus solaris der rechten  
Seite. 2. Den plexus renalis. 3. Den plexus spermaticus.  
4. Den plexus mesentericus superior. 5. Den plexus me-  
sentericus inferior und 6. nervi hypogastrici.



## Zehnte Tafel.

### Nerven der Brust und des Unterleibs.

#### Fig. I.

stellt die Verbreitung des Nervus sympathicus maximus und des Nervus vagus der linken Seite dar.

1. Nervus sympathicus maximus. 2. nervus splanchnicus major. 3. nervus splanchnicus minor. 4. rami aortici et anastomotici. 5. n. renalis posterior. 6. plexus solaris s. coeliacus. 7. plexus renalis. 8. plexus gastricus. 9. plexus hepaticus. 10. plexus lienalis. 11. plexus spermaticus. 12. nervus vagus sinister. 13. ram. recurrens. 14. rami cardiaci. 15. rami oesophagei superiores. 16. rami pulmonales, welche den Plexus pulmonalis bilden. III septem nervi pulmonales simul sumti sub nomine plexus pulmonalis venire solent. 17. Plexus oesophageus. 18. plexus aorticus. 19. rami oesophagei nervi vagi dextri lateris. 20. nervus vagus dexter. 20. nervi dorsales. 21—25. nervi lumbales et plexus lumbalis. 26. nervus spermaticus externus. 27. nervus cutaneus. 28. nervus cruralis. 29. nervus obturatorius. 30. ram. cutaneus externus genu. 31. ram. lumbo-inguinalis. 32. ram. ileo-lumbalis. 33. septima costa. 34. columna vertebrarum. *A.* pulmo sinister. *B.* pericardium et cor. *C.* oesophagus. *D.* cardia. *E.* ventriculus. *F.* pancreas. *G.* lien. *H.* ren sinister. *I.* bronchus sinister. *M.* pars lumbalis diaphragmatis. *N.* crus externum. *O.* crus internum. *P.* musculus psoas major ita eum in finem cultro fissus, ut exitus nervorum lumbalium atque origo gangliorum lumbalium eo clariores reddantur. *Δ.* psoas minor. *Q.* aorta. *a.* ductus arteriosus



Botalli. *b.* arteria bronchialis sinistra superior. *c.* arteria oesophagea, ex qua prosilit *d.* art. bronchialis sinistra inferior abscissa. *e.* arteria bronchialis sinistra inferior. *f.* arteria pulmonalis sinistra. *g.* venae pulmonales. *h.* truncus arteriae coeliacae. *i.* art. phrenica sinistra. *k.* art. coronaria ventriculi sinistra. *l.* art. hepatica sinistra. *m.* hepatica dextra. *n.* art. lienalis. *o.* arteriae pancreaticae. *p.* art. gastro-epiploica sinistra. *q.* arteriae breves ventriculi. *r.* art. meseraica superior. *s.* art. renalis sinistra. *t.* art. spermatica sinistra. *u.* art. mesenterica inferior. *v.* art. iliaca dextra. *w.* iliaca sinistra. *y.* art. intercostales.

Fig. II.

zeigt die Nerven der Leber und des Magens, welche aus dem ganzen Plexus solaris und seinen Ganglien entspringen, und an den drei vorhergehenden Figuren nicht wohl so dargestellt werden könnten.

*A.* Superficies posterior lobi dextri et sinistri hepatis. *B.* Lobulus Spigelii. *C.* Lobus quadratus. *D.* vesica fellea. *E.* ductus choledochus. *F.* Ligamentum teres. *G.* diaphragma. *H.* ventriculus. *I.* pancreas. *K.* omentum minus. *L.* portio omenti majoris. *M.* pylorus. *N.* duodenum.



## Eilfte Tafel.

### Die Nerven der Gebärmutter \*).

#### Fig. I.

I. Die Gebärmutter, uterus, nach vorne umgeschlagen. II. Die Eierstöcke, ovaria. III. Die Fallopischen Trompeten, tubae Fallopianae seu tubae cum fimbriis. IV. Die vordere Platte des breiten Mutterbandes. V. Die hintere abgeschnittene Platte des ligamentum uteri latum. VI. Die Fledermausflügel, alae vesperilionis, der breiten Mutterbänder. VII. Intestinum rectum. VIII. Nieren, renes. IX. Nierenbecken, pelvis renalis. X. Harnleiter, uretheres. XI. XII. Lendenschenkel des Zwergfells. XIII. Kleiner Lendenmuskel, m. psoas minor. XIV. Großer Lendenmuskel, m. psoas major. XV. Viereckiger Lendenmuskel, m. quadratus lumborum. XVI. Innerer Darmbeinmuskel, m. iliacus internus. *a.* Aorta abdominalis. *b.* aorta mesenterica superior. *c.* a. renalis. *d.* truncus arteriarum spermaticarum internarum seu ovariorum. *e. e. e. e.* aorta ovariorum. *f. g.* ramus anastomoticus cum arteria uterina. *h.* a. mesenterica inferior. *i.* a. lumbales. *k.* a. sacralis media. *l.* a. iliacae communes. *m.* a. hypogastricae. *n.* a. crurales. *o.* truncus arteriae sacralis lateralis. *p.* truncus arteriae umbilicalis et a. uterinae. *q.* a. umbilicalis. *r.* a. uterina. 1. Abgeschnittene Zweige des untern Eingeweidenervens, ramuli abscissi nervi splanchnici inferioris. 2. ganglion renale anterius et plexus renalis. 3. plexus spermaticus. 4. plexus mesentericus inferior. 5. plexus uterinus

---

\*.) ex Fried. Tiedemann Tabulae Nervorum Uteri.



communis magnus. 6. nerv. sympathicus maximus et ganglia lumbalia. 7. rami cutanei nervi lumbalis primi, secundi, tertii et quarti.

Fig. II.

1. Die Schaam, cunnus. 2. der After und Mastdarm, anus et intestinum rectum. 3. symphysis ossium pubis. 4. der Scheiden-Schnürer, constrictor cunni. 5. die Harnblase, vesica urinaria. 6. die Harnröhre, urethra. 7. die Gebärmutter, uterus. 8. die ausgedehnte Scheide. 9. nervus sympathicus et ganglia lumbalia et sacralia. 10. n. lumbalis quintus. 11. n. sacralis primus. 12. secundus. 13. tertius. 14. plexus hypogastricus s. uterinus communis. 15. plexus hypogastricus s. uterinus superior. 16. plexus gangliosus seu hypogastricus inferior. 17. ram. nervi sacrales tertii. 18. nerv. pudendorum superior.



## Zwölfte Tafel.

### Die Unterleibsarteria mit ihren Aesten\*).

1. Schwerdtförmiger Fortsatz des Brustbeins. 2. 3. Knorpel der 7ten und 8ten Rippe. 4. Band zwischen dem schwerdtförmigen Fortsatz und dem 7ten Rippenknorpel.
5. Lendenzipfel des Zwerchfells. 6. Vereinigung des Lendenzipfels. 7. Fleischbündel von den Rippen kommend.
8. Sehne des Zwerchmuskels, *centrum tendineum diaphragmatis*. 9. Loch zum Durchgang der untern Hohlvene. 9' *vena cava inferior*. 10. *hiatus oesophageus*. 10' *oesophagus*.
11. *psoae majores*. 12. *psoae minores*.
13. *m. quadrati lumborum*. 14. 15. *m. transversi abdominis*.
16. *m. rectus abdominis*. 17. *m. iliaci interni*. 18. *renes*.
19. Nebennieren, *glandulae suprarenales*. 20. Nierenbecken.
21. Harnleiter. 22. Harnblase. 23. Harnstrang, *urachus*.
24. Mastdarm. 25. Unterleibsarteria. 26. Eingeweideschlagader, *a. coeliaca*. 27. 28. untere Zwerchfellschlagadern, *a. phrenicae dextra et sinistra*. 29. linke Kranzschlagader des Magens, *a. coronaria ventriculi sinistra*. 30. *a. hepatica*. 31. *a. lienalis*. 32. *a. mesaraica superior*. 33. Nebennierenschlagadern, *a. suprarenales*. 34. *a. renales*. 35. *a. spermaticae*. 36. *a. mesenterica inferior*. 37. Obere linke Grimmdarmschlagader, *a. colica sinistra superior*. 38. *a. colica sinistra inferior*. 39. obere innere Mastdarmschlagader, *a. haemorrhoidalis superior, interna*. 40. *a. lumbales*. 41. *a. sacralis media*. 42. *a. lumbalis quinta*. 43. *a. iliaca communes*. 44. *a. crurales*. 45. *a. hypogastricae*. 46. un-

---

\* ) Diese und Tab. XIII, XIV und XV sind nach F. Tiedemann: *Tabulae Arteriarum*.



tere Bauchdeckenschlagader, a. epigastrica. 47. Innere  
Kranzdarmbeinschlagader, circumflexa ilei interna. 48.  
Aeste der Lendendarmbeinschlagader, ramuli arteriae ileo-  
lumbalis. 49. a. gluteae s. iliacae posteriores. 50. rechte  
seitliche hl. Beinschlagader, a. sacralis lateralis dextra.  
51. Hüftbeinlochsschlagader, a. obturatoria. 52. Sitzbein-  
schlagader, a. ischiadica. 53. fas deferens. 54. annulus  
abdominalis internus.



## Dreizehnte Tafel.

### Die Arterien des Magens und der Leber.

1. Schenkel des Zwerchfells. 2. Umgeschlagene Leber. 3. lobulus dexter. 4. lobus sinister. 5. lobus Spigelii s. caudatus. 6. lobulus quadratus. 7. ligamentum teres. 8. ligamentum suspensorium. 9. Lebergallengang, ductus hepaticus. 10. Gallenblase, vesicula fellea. 11. Gallenblasengang, ductus cysticus. 12. Gemeinschaftlicher Gallengang, d. choledochus. 13. Pfortader, vena portarum. 14. Speiseröhre. 15. Magen. 16. Speiseröhrentheil des Magens, cardia. 17. blinder Sack oder Grund des Magens, saccus coecus s. fundus ventriculi. 18. Pfortnerhöhle, antrum pyloricum. 19. Pfortner, pylorus. 20. Duodenum. 21. Milz. 22. Bauchspeicheldrüse. 23. großes Netz, omentum majus. 24. intestina tenuia. 25. Blinddarm, intestinum caecum. 26. aorta abdominalis. 27. arteria phrenica. 28. a. coeliaca. 29. Dreifuß oder Dreizack der Eingeweideschlagader, tripes s. tridens arteriae coeliacae. 30. Kranzarterie des Magens, oder große Magenarterie oder linke obere Magenschlagader, a. coronaria ventriculi, s. gastrica major, s. gastrica superior sinistra. 31. untere Speiseröhrenschlagader, a. oesophagea inferior. † †. rami ad cardiam et fundum ventriculi. 32. Verbindungs-Kranz-Ast, ramus coronarius anastomoticus. 33. Leberschlagader. \*. Magen-Zwölffingerschlagader, a. gastro-duodenalis. 34. Rechte Magennetz-Schlagader, rechte untere Magenschl., rechte untere Kranzarterie des Magens, a. gastro-epiploica dextra, s. gastrica dextra inferior, s. coronaria ventriculi dextra inferior. 35. Zweig zum Duodenum. 36. Magenarme, ramuli gastrici. 37. Netzzweige, r. omentales. 38. Zweig zum Pfortner, ram. ad pylorum. 39. rechte



obere Magenschlagader, rechte obere Kranzarterie des Magens, die mit der größern Magenschlagader zusammenmündet, a. gastrica dextra superior, s. coronaria ventriculi dextra superior. \*\*. eigentlicher Leberast, ram. hepaticus. 40. linke Leberschlagader. 41. mittlere Arterie der Leber. 42. rechte Leberarterie. † † †. Gallenblasenschlagader, a. cystica s. gemelli. 43. Linke Magen-Netzschlagader, oder linke untere Kranzarterie des Magens, a. gastroepiploica sinistra, s. gastrica, s. coronaria sinistra inferior. 44. Zusammenmündung der rechten Magen-Netz-Schlagader mit der linken. 45. Bauchfell, peritoncum.

---



## Vierzehnte Tafel.

### Fig. I.

zeigt die Arterien des Magens, Zwölffingerdarms, der Bauchspeicheldrüse und der Milz an. Der Magen ist zurückgeschlagen.

1. Schenkel des Zwerchfells. 2. Speiseröhre. 3. hintere Fläche des umgeschlagenen Magens. 4. Pfortnerhöhle. 5. Pfortner. 6. Zwölffingerdarm. 7. Bauchspeicheldrüse. 8. Milz. 9. untere Fläche der zurückgeschlagenen Leber. 10. Rundes Band der Leber. 11. Hängeband. 12. Gallenblase. 13. Hals der Gallenblase. 14. gemeinschaftlicher Gallengang. 15. vena portarum. 16. Aorta abdominalis. 17. a. coeliaca. 18. a. phrenica inferior. 19. a. coronaria ventriculi sinistra superior. 20. ramus oesophageus. 21. Verbindung der Magenschlagader mit der rechten obern Kranzarterie. 22. coronaria ventriculi dextra superior ex hepatica. 23. a. hepatica. † a. gastro-duodenalis. \* ram. pancreaticus. \*\* a. pancreatico-duodenalis. 24. a. gastro-epiploica dextra. 25. ramuli gastrici. 26. r. omentales. 27. a. pylorica inferior. 28. r. hepaticus. 29. a. cystica. 30. a. lienalis. 31. ram. pancreatici superiores s. medii. 32. a. gastro-epiploica sinistra. 33. anastomosis inter arteriam gastro-epiploicam dextram et sinistram. 34. Kurze Arterien zum Grunde des Magens, a. breves ad fundum ventriculi. 35. ram. lienales proprii. 36. a. mesaraica superior. 37. a. pancreatico-duodenalis inferior. 38. Anastomose dieser Schlagader mit der obern Bauchspeichel-Zwölffingerdarmschlagader. 39. a. mesenterica inferior.

### Fig. II.

zeigt die feinere Verbreitung der Schlagadern des Magens auf der hinteren Fläche.



Fig. III.

stellt die obere Gekrös-Schlagader, *a. mesaraica superior* dar.

1. Duodenum. 2. Anfang des Leerdarmes. 3. pancreas. 4. *intestina tenuia*. 5. Ende des dünnen- oder des Krummdarms. 6. *coecum*. 7. Wurm förmiger Fortsatz, *processus vermiformis*. 8. *colon ascendens*. 9. *colon transversum*. 10. *colon descendens*. 11. vorderes Grimmdarmband oder vorderer Streif der Längenskelfasern des Grimmdarms, *ligamentum coli anticum s. fascia fibrarum longitudinalium anterior*. 12. *lamina posterior peritonealis*. 13. *a. mesaraica superior*. 14. *a. pancreatico-duodenalis inferior*. 15. *a. pancreatico-duodenalis superior*. 16. *a. colica media*. 17. Verbindung dieser Schlagader mit der linken Grimmdarm-Schlagader. 18. *Anastomosis eum arteria colica dextra*. 19. Stamm der rechten Grimmdarms- und der Hüft-Grimmdarms-Schlagader, *truncus a. colicae dextrae et ileo-colicae*. 20. *a. colica dextra*. 21. *a. ileo-colica*. † *a. coecalis*, Blinddarms-Schlagader. 22. Wurmfortsatzschlagader, *a. processus vermiformis, s. appendicalis*. 23. *Anastomosis a. ileo-colicae eum arteria intestinali*. 24. Dünndarmschlagadern, *a. intestinales*. 25. Gefäßbogen erster, 26. zweiter und 27. dritter Ordnung. 28. *ramuli intestinales*.

---



## F ü n f z e h n t e T a f e l.

### Die untere Gekrössschlagader, Arteria mesaraica inferior.

1. Bauchspeicheldrüse, pancreas.
  2. Zwölffingerdarm, duodenum.
  3. dünner Darm, intestinum tenue.
  4. Aufsteigender Grimmdarm, colon ascendens.
  5. Querer Grimmdarm, colon transversum.
  6. Absteigender Grimmdarm, colon descendens.
  7. Sromanum s. flexura sigmoidea.
  8. Mastdarm, intestinum rectum.
  9. Platte des Bauchfells, das Gekrös des Quergrimmdarms bildend.
  10. hintere Platte des Bauchfells, die das Gekrös des absteigenden Grimmdarms bilden hilft.
  11. Obere Gekrössschlagader, a. mesaraica superior.
  12. untere
  13. obere Bauchspeicheldrüsen-Zwölffingerdarmsschlagader, a. pancreatico-duodenalis inferior.
  12. et 13. superior.
  14. mittlere Grimmdarmschlagader, a. colica media.
  15. ramus anastomoticus cum arteria colica dextra.
  16. ram. anastomoticus magnus cum arteria colica sinistra.
  17. rami intestinales.
  18. Aorta abdominalis.
  19. a. renalis sinistra.
  20. a. spermaticae.
  21. a. lumbales.
  22. a. iliacae.
  23. untere Gekrössschlagader, a. mesaraica inferior.
  24. a. colica sinistra.
  25. ram. ascendens s. anastomoticus magnus cum colica media.
  26. ramus ad colon descendens.
  27. innere oder obere Mastdarmschlagader, a. haemorrhoida interna seu superior.
  28. Ast zur Hüftkrümmung des Grimmdarms.
  29. Zweige zum Mastdarm, rami ad intestinum rectum.
-



## Sechszehnte Tafel.

### Fig. I.

#### Die Gekrösvenen und Arterien.

Die roth illuminirten Gefäße sind die Arterien, und schon aus den vorhergehenden Figuren bekannt. Vom Darmkanal ist nur ein Theil des Zwölffingerdarms und der ganze Dickdarm vorhanden. Die Venen sind blau und zwar: 1. die vena mesenterica. 2. die vena gastro-colica. 3. die vena colica dextra. 3. die vena ileo-colica. 5. rami mesenterici resecti. 6. die vena [haemorrhoidalis interna s. colica media. 7. der aufsteigende Ast daran, 8. vena et arteria apermatica interna. 9. vena cruralis. 10. die vena iliaca communis dextra. 11. Harnleiter. 12. Harnblase.

### Fig. II.

#### Zweige der Pfortader, vena portarum \*).

1. Diaphragma. 2. hepar. 3. lien. 4. 5. renes. 4. dexter. 5. sinister. 6. antrum pylori. 7. valvula pylori cum inferiori ventriculi orificio. 8. intestinum duodenum. 9. initium intestini jejunii seu tenuis. 10. coecum intestinum. 11. colon sinistrum. 14. vena cruralis. 13. vena hypogastrica. 12. venae iliacae communes. 15. vena cava inferior. 16. vena mesenterica. 17. vena haemorrhoidalis interna. 18. vena splenica. 19. truncus venae portarum, in welchem die venae 16. 17. 18. einmünden. *a. a. a.* vena colica media. *b. b. b.* arcus venosi mesocolici sinistri, welche mit einem gemeinschaftlichen Stamm in die vena haemorrhoidalis münden. *c. c.* Venenäste, welche vor der linken Seite des Magens das Blut zur Milzvene führen. *d. d.* venae diaphragmatis et ventriculi, die einen gemeinschaftlichen Stamm *e.* bilden, welcher in die vena porta mündet. *f.* vena gastroepiploica sinistra splenica continua.

\* ) Fig. I et II. nach Caldani. Icones anatom. Tom. III.



*g. g.* vena gastro epiploica dextra, *a.* mesenterica vena descendens. *h. h. h.* venae per mesenterium disseminatae, abscissae. *i.* vena colica dextra. *k.* ileocolica vena. *l.* ramus ascendens venae haemorrhoidalis internae. *m.* ramus descendens continuus venae 17.

Fig. III.

Verlauf des Milchbrustganges, ductus thoracicus, und der vena azygos \*).

*a. b.* Radices vasis chyliferi. *c.* ductus thoracicus s. vas chyliferum. *d.* Bogen am Ende des Milchbrustganges. *e.* Ausmündung des ductus thoracicus in die *g.* vena subclavia sinistra, woselbst sich eine Klappe, *valvula*, befindet. *f.* Einmündung eines Lymphgefäßes in den ductus thoracicus. *h.* vena axillaris. *i.* vena vertebralis. *k.* arteria subclavia sinistra. *l. a.* vertebralis. *m.* vena azyga. *n.* Stelle, wo sich die vena azygos über die rechte Luftröhre begibt, um in die obere Hohlvene einzumünden. *o.* venae intercostales. *p.* arteriae intercostales. *q.* columna vertebralis.

Fig. IV.

Der Ductus aus einem andern Cadaver.

*a. b. c.* Er bildet hier drei verschiedene große Inseln. *d.* Stelle, wo im Innern Klappen sich befinden.

Fig. V.

*a. b.* Vas chyliferum, in welches ein Lymphgefäß *c.* einer Drüse *d.* einmündet.

Fig. VI.

*a. b.* Die Wurzel eines andern Milchbrustganges.

---

\*) Ex B. C. Albini tabula vasis chyliferi cum vena azyga, arteriis intercostalibus, aliisque vicinis partibus.



**E r k l ä r u n g**  
des  
**anatomischen Atlases,**

von  
**Dr. M. J. Weber,**  
Professor zu Bonn.

---

*Dritte und vierte Lieferung.*

---

Düsseldorf,  
bei Aruz & Comp.



## I n h a l t.

---

- I. Körper mit der ersten und zweiten Muskellage von vorn.
- II. Körper mit der dritten und vierten Muskellage von vorn.
- III. Körper mit der ersten und zweiten Muskellage von hinten.
- IV. Körper mit der dritten und vierten Muskellage von hinten.
- Tab. XVII. Ergänzungen zu den vier Muskelkörpern. †
- Tab. XVIII. Zur Anatomie der Respirationsorgane und das Geruchsorgan.
- Tab. XIX. Sehorgan.
- Tab. XX. und XXI. Die Anatomie des Herzens und der Kreislauf des Blutes beim Foetus, nebst den Ei-Hüllen u. s. w.
- Tab. XXII. und XXIII. Die Anatomie der Ernährungsorgane.
- Tab. XXVII. Vier senkrechte Durchschnitte der männlichen und weiblichen Geschlechtsorgane in situ.

† Was die Erklärung dieser Abbildungen betrifft, so ist hier zu bemerken, dass wir zur Erleichterung die sämtlichen Muskeln in Abtheilungen, nach den Gegenden des Körpers, gebracht haben, und dass nun jede Rubrik und somit auch jeder einzelne Muskel derselben, man mag ihn auf der ersten oder zweiten Tafel, von vorn oder hinten u. s. w. aufsuchen, seine bestimmte Bezeichnung führt. So z. B. bedeutet am Kopfe: A. den Stirnmuskel, und A. den Aufheber des äussern Ohres; Am Halse ist A. der Hauthalsmuskel, auf der Brust ist A. der grosse Brustmuskel, und im Nacken bedeutet A. den M. cucullaris, u. s. w.

---



## E r k l ä r u n g

des ersten, zweiten, dritten und vierten  
Muskelkörpers.\*)

### Kopfmuskeln, *musculi capitis*.

Muskeln der Hirnschaale, *M. cranii*.

A. Stirnmuskel, *frontalis*. B. Hinterhauptmuskel, *occipitalis*. 1. 2. 2. Flechsigte Haube der Hirnschaale, *galea aponeurotica cranii*.

### Gesichtsmuskeln, *M. faciei*.

I. Schließmuskel der Augenlieder, *orbicularis palpebrarum*. 1. Inneres Augenliederband, *ligamentum palpebrale internum*. 2. *Stratum internum*, 3. *externum*. α. *Ciliaris*. β. *Levator palpebrae superioris*. II. Augenbraunenrunzler, *corrugator superciliarum*. III. Zusammendrücker der Nase, *compressor nasi*. IV. Aufheber der Oberlippe und des Nasenflügels, *levator labii superioris alaeque nasi*. V. Eigener Aufheber der Oberlippe, *levator labii superioris proprius*. VI. Kleiner Wangenmuskel, *zygomaticus minor*. \* Eine besondere Portion. VII. Großer Wangenmuskel, *zygomaticus major*. VIII. Aufheber des Mundwinkels, *levator anguli oris*. IX. Herabzieher des Mundwinkels, *depressor anguli oris*. X. Herabzieher der Unterlippe, *depressor labii inferioris*. XI. Backenmuskel, *buccinator*. XII. Herabzieher der Nasensecheidewand, *depressor septi mobilis*. XIII. Schließmuskel des Mundes, *orbicularis oris*. XIV. Herabzieher des Nasenflügels, *depressor alae nasi*. XV. Aufheber des Kinn, *levator menti*.

---

\*) Nach Albinus: *Tabelae sceleti et musculorum corporis humani*. Lugd. Batav. 1747. und nach der Natur.



XVI. Viereckiger Kaumuskel, masseter. 1. äussere, 2. innere Portion. XVII. Schläfenmuskel, temporalis. XVIII. Innerer Flügelmuskel, pterygoideus internus. XIX. Aeusserer Flügelmuskel, pterygoideus externus. — 20. Aufheber des Gaumensegels, levator veli palatini. 21. Anspanner des Gaumensegels, tensor veli palatini seu circumflexus palati.

### Ohrmuskeln, *M. auriculae*.

*A.* Aufheber des Ohrs, *attollens auriculae*. *B.* Vorwärtszieher, *attrahens auriculae*. *C.* Rückwärtszieher, *retrahentes auriculae*. *D.* Grofser Muskel der Leiste, *helix major*. *E.* Kleiner Muskel der Leiste, *helix minor*. *F.* Muskel der Ecke, *tragicus*. *G.* Muskel der Gegenecke, *antitragicus*. *H.* Querer Ohrmuskel, *transversus auriculae*.

NB. Diese Muskeln, sowie die innern Ohrmuskeln sind auch schon auf der zweiten Tafel abgebildet und beschrieben; und die Muskeln des Augapfels oder die innern Augenmuskeln finden sich auf Tab. XIX.

---

### Muskeln des Stammes, *M. trunci*.

#### Halsmuskeln, *M. colli*.

*A.* Hauthalsmuskel, *subcutaneus colli*. *B.* Brustschlüsselbeinwarzenmuskel, *sterno-cleido-mastoideus*. *C.* Schulterblattzungenbeinmuskel, *omohyoideus*. *D.* Brustzungenbeinmuskel, *sternohyoideus*. *E.* Brustschildknorpelmuskel, *sternothyreoides*. *a.* Lufröhre, *aspera arteria*. *b.* Cartilago cricoidea. *c.* Cartilago thyreoidea. *d.* Os hyoideum. *F.* Zungenbeinschildknorpelmuskel, *hyothyreoides*. *G.* Zweibäuchiger Unterkiefermuskel, *digastricus maxillae inferioris*. *H.* Unterkieferzungenbeinmuskel, *mylohyoideus*. *I.* Kinnzungenbeinmuskel, *geniohyoideus*. *K.* Kinnzungenmuskel, *genioglossus*.



L. Zungenbeinzungenmuskel, hyoglossus. M. Griffelzungenbeinmuskel, stylohyoideus. N. Griffelzungenmuskel, styloglossus. O. Griffelschlundmuskel, stylopharyngeus.

NB. Die meisten dieser Muskeln sind auf Tab. XVIII. und Tab. XXII. einzeln abgebildet, so wie auch die Muskeln des Gaumensegels und des Schlundes.

### Brustmuskeln, M. thoracis.

A. Großer Brustmuskel, pectoralis major. B. Kleiner Brustmuskel, pectoralis minor. 1. Portion, welche in die Aponeurose des M. obliquus externus übergeht. C. Schlüsselbeinmuskel, subclavius. D. Großer Sägemuskel, serratus major. 1. 2. 3. 4. 5. 6. 7. 8. Dessen Zacken, dentationes. E. Äußere Zwischenrippenmuskeln, intercostales externi. F. Innere Zwischenrippenmuskeln, intercostales interni. a. Bruchfell, pleura. G. Dreieckiger Brustbeinmuskel, triangularis sterni. Er ist auch auf Tab. III. Fig. 5. und Tab. XVII. Fig. VIII. abgebildet.

### Bauchmuskeln, M. abdominales.

A. Äußerer schiefer Bauchmuskel, obliquus externus. a. b. c. d. e. f. g. h. i. k. l. Die Aponeurose dieses Muskels, welche erstlich gegen die Mittellinie des Körpers verläuft, sich daselbst mit der von der andern Seite verbindet und so die weiße Bauchlinie, linea alba abdominis, (b. b.) bildet, worin sich die Nabelnarbe c. befindet; welche sich zweitens nach unten gegen die Schaambeinvereinigung, symphysis ossium pubis, in zwei Schenkel, in ein crus superius seu internum (k.) und in ein crus inferius seu externum (l. l.) wodurch der äußere Leistenring, annulus abdominalis externus, (i.) gebildet wird, spaltet. d. d. Stelle, wo der M. obliquus internus durch die Aponeurose des obliquus externus durchschimmert. e. e. Stelle, wo die Aponeurose des M. obliquus internus anfängt, sich mit der



des obliquus externus verbindet und dann gemeinschaftlich von dem M. rectus abdominis zur Linea alba verlaufen. *f.f.* Die durchschimmernden und mit den Aponeurosen des obliquus externus et internus verwachsene Inscriptiones tendineae des M. rectus abdominis. *h.* Deutet den Verlauf des Leistenkanals, canalis inguinalis, an, wodurch der Saamenstrang, funiculus spermaticus, und der Hodenmuskel, cremaster, läuft. *g.g.g.g.* Sind die vier obersten Dentationen dieses Muskels, welche sich mit jenen des M. serratus magnus *D.* 5.6.7.8. und denen des Latissimus dorsi *B.* 1.2. verbinden. *B.* Innerer schiefer Bauchmuskel, obliquus internus. *m.m.* Ein Theil der vordern Platte der Aponeurose dieses Muskels, welche mit der des Obliquus externus vor dem Rectus abdominis *D.* dahintritt. *n.* Ein Theil der hintern Platte der Aponeurose des Obliquus internus, welche hinter dem Rectus, in Verbindung mit der vordern Aponeurose des M. transversus abdominis, zur Linea alba verläuft. \* Cremaster, welcher vom Obliquus internus und transversus kömmt, und sich auf der gemeinschaftlichen Haut des Saamenstrangs und des Hodens, tunica vaginalis funiculi spermatici et testis, (\*\*\*) ausbreitet. *C.* Querer Bauchmuskel, transversus. *C<sup>1</sup>.* Vordere Aponeurose dieses Muskels. \*. \*. Stelle, wo sich diese Aponeurose mit der des Obliquus internus verbindet und wo die vordere Lamelle der Aponeurose des Obliquus internus abgeschnitten ist. \*\*. Die gemeinschaftliche Aponeurose der hintern Lamelle des Obliquus internus und des Transversus, welche hinter dem Rectus verläuft, so daß also dieser Muskel in einer eigenen Sehnenscheide liegt. Diese hintere gemeinschaftliche Aponeurose des Rectus reicht jedoch nicht so weit herab, wie seine vordere, daher nun das Bauchfell, peritonaeum (\*\*\*) sichtbar ist. — *α. β. γ. δ.* Saamenstrang, funiculus spermaticus. *α. β.* Venae spermaticae. *γ.* Arteria



spermatice interna. *δ*. Vas deferens. — D. Gerader Bauchmuskel, *rectus abdominis*. E. Pyramiden-Muskel, *pyramidalis*. F. Zwerchfell, *diaphragma*. I. Rippenheil, *pars costalis*. 1. Portion, die vom schwerdförmigen Knorpel entspringt. 2. Portion, welche am Bauchfell haftet. 3. 4. 5. 6. 7. 8. Portionen, welche von der 7. 8. 9. 10. 11. und 12. Rippe und ihren Knorpeln entspringen. II. Lendentheil, *pars lumbaris*. 9. Innere Schenkel, *crura interna*. 10. Mittlere Schenkel, *crura media*. 11. Aeusere Schenkel. 12. *Crus quartum sinistrum*. 13. Eine Portion, welche von der Oberfläche des *M. quadratus lumborum* entspringt, nicht immer aber vorhanden ist. 14. Eine andere Portion an der rechten Seite, die sich auch nicht immer an beiden Seiten findet, und von den Querfortsätzen des ersten und zweiten Lendenwirbels entspringt. 15. *Hiatus oesophageus*. 16. *Hiatus aorticus*. III. *Pars tendinea*. 17. *Foramen quadrilaterum*. — Man vergleiche auch *Tab. XII*. —

### Lendenmuskeln, *M. lumborum*.

*G.* Großer Lendenmuskel, *psoas major*. *H.* Kleiner Lendenmuskel, *psoas minor*. *I.* Innerer Darmbeinmuskel, *iliacus internus*. *K.* Viereckiger Lendenmuskel, *quadratus lumborum*.

### Nacken- und Rückenmuskeln, *M. cervicis et dorsi*.

*A.* Mönchskappenmuskel, *cucullaris*. *B.* Breiter Rückenmuskel, *latissimus dorsi*. *C.* Kleiner Rautenmuskel, *rhomboides minor*. *D.* Großer Rautenmuskel, *rhomboides major*. *E.* Hinterer oberer Sägemuskel, *serratus posticus superior*. *F.* Hinterer unterer Sägemuskel, *serratus posticus inferior*. *G.* Bauschähnlicher Kopfmuskel, *splenius capitis*. *H.* Bauschähnlicher Halsmuskel, *splenius colli*. *I.* Aufhe-



ber des Schulterblattes, levator scapulae. *K.* Zweibäuchiger Nackenmuskel, biventer cervicis. *L.* Durchflochtener Muskel, complexus. *M.* Nackenwarzenbeinmuskel, trachelomastoideus. *N.* Querer Nackenmuskel, transversalis cervicis. *O.* Abwärtssteigender Nackenmuskel, cervicalis descendens. *P.* Vorderer Rippenhalter, scalenus anterior. *Q.* Mittlerer Rippenhalter, scalenus medius. *R.* Hinterer Rippenhalter, scalenus posterior. *S.* Innerer Rückgratstrecker, longissimus dorsi, und *T.* äußerer Rückgratstrecker, sacrolumbalis. *U.* Dornmuskel des Rückens, spinalis dorsi. *V.* Halbdornmuskel des Rückens, semispinalis dorsi. *W.* Halbdornmuskel des Nackens, semispinalis cervicis. *X.* Vieltheilige Rückgratsmuskel, multifidus spinac. *Y.* Kurze Aufheber der Rippen, levatores costarum breves. *Z.* Lange Aufheber der Rippen, levatores costarum longi. *I.* Zwischen-dornmuskeln, interspinales cervicis, dorsi, lumborum. *II.* Hinterer großer gerader Kopfmuskel, rectus capitis posterior major. *III.* Hinterer kleiner gerader Kopfmuskel, rectus capitis posterior minor. *IV.* Unterer oder großer schiefer Kopfmuskel, obliquus capitis inferior s. major. *V.* Oberer oder kleiner schiefer Kopfmuskel, Obliquus capitis superior s. minor. *VI.* Vordere und hintere Zwischenquerfortsatzmuskeln des Nackens, intertransversarii cervicis anteriores *a.* et posteriores *b.* *VII.* Intertransversarii dorsi et lumborum. *VIII.* Langer Halsmuskel, longus colli. *IX.* Vorderer großer gerader Kopfmuskel, rectus capitis anterior major. *X.* Vorderer kleiner gerader Kopfmuskel, rectus capitis anterior minor. *XI.* Seitlicher Kopfmuskel, rectus capitis lateralis.

#### Muskeln des Mittelfleisches.

*A.* Oberflächlicher querer Dammmuskel, transversus perinaei superficialis. *B.* Tiefer querer Dammmuskel, trans-



versus perinaei profundus. *C.* Aeußerer Schließer des Mastdarms, sphincter ani externus. *D.* Innerer Mastdarmschließer, sphincter ani internus. *E.* Aufheber des Mastdarms, levator ani, und Steißbeinmuskel, coccygeus. *F.* coccygeus.

Muskeln der männlichen und weiblichen Geschlechtstheile. *M.* genitalium sexus potioris et sequioris.

*G.* Sitzbeinzellkörpermuskel, ischio-cavernosus penis. *H.* Harn- und Saamenschneller, accelerator urinae s. bulbo-cavernosus. *I.* Sitzbeinzellkörpermuskel des Kitzlers, Ischio-cavernosus clitoridis. *K.* Zusammenschürer der Scheide, constrictor ostii vaginae.

---

Muskeln der obern Gliedmaßen, *M.* extremitatum superiorum.

Schulterblattmuskeln, *M.* scapulae.

*I.* Dreieckiger Armmuskel, deltoides. *II.* Obergrätenmuskel, supraspinatus. *III.* Untergrätenmuskel, infraspinatus. *IV.* Kleiner runder Armmuskel, teres minor. *V.* Großer runder Armmuskel, teres major. *VI.* Unterschulterblattmuskel, subscapularis.

Muskeln des Oberarms, *M.* humeri.

*A.* Zweiköpfiger Armmuskel, biceps brachii. *B.* Hackenarmmuskel, coracobrachialis. *C.* Innerer Armmuskel, brachialis internus. *D.* Dreiköpfiger Armmuskel, triceps brachii. 1. Langer Kopf, anconaeus longus. 2. Aeußerer Kopf, anconaeus externus. 3. 5. 6. Innerer Kopf, anconaeus internus seu brachialis externus, 5. Die gemeinschaftliche Sehne.



Muskeln des Vorderarms, *M. cubiti*.

I. Runder Vorwärtsdreher, *pronator rotundus*. II. Langer Hohlhandmuskel, *palmaris longus*. III. Innerer Speichenmuskel, *flexor carpi radialis*. IV. Innerer Ellenbogenmuskel, *flexor carpi ulnaris*. V. Oberflächlicher Beuger der Finger, *flexor digitorum sublimis*. 1. 2. 3. 4. Dessen vier Sehnen. 5. 6. 7. 8. Stelle, wo sich diese vier Sehnen spalten, und die Sehnen *a. b. c. d.* des tiefen Beugers durchlaufen lassen. VI. Tiefer Beuger der Finger, *flexor digitorum profundus*. VII. Langer Beuger des Daumens, *flexor pollicis longus*. VIII. Viercockiger Vorwärtsbeuger, *pronator quadratus*. IX. Langer Rückwärtsstrecker, *supinator longus*. X. Langer äußerer Speichenmuskel, *extensor carpi radialis longus*. 7. Ligamentum intermusculare externum. XI. Kurzer äußerer Speichenmuskel, *extensor carpi radialis brevis*. XII. Kurzer Rückwärtsdreher, *supinator brevis*. XII. *a. ejus pars posterior*. XIII. Kleiner Knorrenmuskel, *anconaeus quartus s. parvus*. XIV. Gemeinschaftlicher Ausstrecker der Finger, *extensor digitorum communis*. XV. Äußerer Ellenbogenmuskel, *extensor carpi ulnaris*. XVI. *a. b. c. d.* Langer Abzieher des Daumens, *abductor pollicis longus*. XVII. Kurzer Ausstrecker des Daumens, *extensor pollicis brevis*. XVIII. Extensor pollicis longus. XIX. Ausstrecker des Zeigefingers, *extensor digiti indicis*. XX. Eigener Ausstrecker des kleinen Fingers, *extensor digiti minimi proprius*. A. B. Das gemeine äußere Handwurzelband, *lig. carpi dorsale commune*.

Muskeln der Hand, *M. manus*.

A. Kleiner Hohlhandmuskel, *palmaris brevis*. B. Spulmuskeln, *lumbricales*. C. Innere Zwischenknochenmuskeln, *interossei interni*. D. Äußere Zwischenknochenmuskeln, *interossei externi*. E. Kurzer Abzieher des Daumens, *abductor pollicis brevis*. F. Kurzer Beuger des Daumens, *flexor*



pollicis brevis. G. Gegensteller des Daumens, *opponens pollicis*. H. Anzieher des Daumens, *adductor pollicis*. I. Abzieher des Zeigefingers, *abductor digiti indicis*. K. Abzieher des kleinen Fingers, *abductor digiti minimi*. L. Beuger des kleinen Fingers, *flexor digiti minimi*. M. Anzieher des kleinen Fingers, *adductor digiti minimi*. A. Das eigene Hohlhandband, *ligamentum carpi volare proprium*. B. Aponeurosis palmaris. 9. 10. 11. 12. Die Ring- Scheiden- Kreuz- und schiefen Bänder, *ligamenta annularia, vaginalia, cruciata et obliqua*, welche die Sehnen des oberflächlichen und tiefen Beugers einschliessen.

---

## Muskeln der untern Gliedmaßen, *musculi extremitatum inferiorum*.

### Gesäßmuskeln, *M. natium*.

I. Großer Gesäßmuskel, *glutaeus maximus*. II. Mittlere Gesäßmuskel, *glutaeus medius*. III. Kleinster Gesäßmuskel, *glutaeus minimus*. IV. Birnförmiger Muskel, *piriformis*. V. Oberer Zwillingsmuskel, *geminus superior*. VI. Untere Zwillingsmuskel, *geminus inferior*. VII. Innerer Hüftbeinlochmuskel, *obturatorius internus*. VIII. Viereckiger Schenkelmuskel, *quadratus femoris*.

### Schenkelmuskeln, *M. femoris*.

IX. Zweiköpfiger Schenkelmuskel, *biceps femoris*. X. Halbsehnigter Muskel, *semitendinosus*. XI. Halbhäutiger Muskel, *semimembranosus*. XII. Anspanner der Schenkelbinde, *tensor fasciae latae*. XIII. Schneidermuskel, *sartorius*. XIV. Gerader Schenkelmuskel, *rectus femoris*. XV. Acuserer Unterschenkelstrecker, *vastus internus*. XVI. Mittlerer Unterschenkelstrecker, *vastus medius*. XVII. Innerer Unterschenkelstrecker, *vastus internus*. XVIII. Tiefer oder Unter-



schenkelmuskel, subcruralis. XIX. Schlanker Schenkelmuskel, gracilis. XX. Hammmuskel, pectineus. XXI. Langer Anzieher, adductor longus femoris. XXII. Kurzer Anzieher, adductor brevis femoris. XXIII. Grofser Anzieher des Schenkels, adductor magnus femoris. \* Spalte, wodurch die Schenkelgefäße in die Kniekehle, fossa poplitica, A. treten. XXIV. Aeufserer Hüftbeinlochmuskel, obturatorius externus.

### Unterschenkelmuskeln, M. cruris.

A. Vorderer Schienbeinmuskel, tibialis anticus. B. Langer Ausstrecker der Zehen, extensor digitorum pedis. C. Langer Ausstrecker der grofsen Zehen, extensor hallucis longus. \* Eine besondere Sehnen-Portion. D. Dritter Wadenbeinmuskel, peroneus tertius. E. Langer Wadenbeinmuskel, peroneus longus. F. Kurzer Wadenbeinmuskel, peroneus brevis. G. Aeufserer zweiköpfiger Wadenmuskel, gastrocnemius. H. Innerer Wadenmuskel, soleus. I. Langgeschwänzter Muskel, plantaris. K. Kniekehlmuskel, popliteus. L. Langer Zehenbeuger, flexor longus digitorum pedis. M. Langer Beuger der grofsen Zehe, flexor hallucis longus. N. Hinterer Schienbeinmuskel, tibialis posticus.

### Muskeln des Fufses, M. pedis.

O. Kurzer Ausstrecker der Zehen, extensor digitorum brevis. P. Kurzer Ausstrecker der grofsen Zehe, extensor hallucis brevis. Q. Aeufsere Zwischenknochenmuskeln, interossei externi. R. Kurzer Beuger der Zehen, flexor digitorum pedis. S. Spulmuskeln, lumbricales. T. Abzieher der grofsen Zehe, abductor hallucis. U. Flexor hallucis brevis. V. Adductor hallucis. V. a. ejus pars transversa seu transversalis pedis. W. Adductor digiti minimi. X. Flexor digiti minimi. Y. Interossei interni. Z. Aponeurosis plantaris. A. Kreuzband des Fuchsrückens, lig. cruciatum. B. Band des



Tibialis posticus. C. Ligamentum lacineatum. L. Caro quadrata Sylvii, welche sich an die Sehnen des Flexor digitorum longus befestiget. 1. 2. 3. Ligamenta tendinum peroneorum.

---

## Siebzehnte Tafel.

Ergänzungen zu den vier Muskelkörpern.

Fig. I. *U. Spinalis dorsi*. \* Der Dornfortsatz des neunten Brustwirbels, welchen die erste aufsteigende Portion *b.* überspringt.

Fig. II. *V. Semispinalis dorsi*.

Fig. III. *W. Semispinalis cervicis*.

Fig. IV. *T. a. b. Sacrolumbalis. S. T. Gemeinschaftlicher Muskelkörper des Sacrolumbalis et Longissimus dorsi.* — *a.* Die aufsteigenden Portionen des Sacrolumbalis, welche sich an die hintern Flächen der Rippen haften, wovon aber hier die Insertionen abgeschnitten sind, damit man *b.* die abwärts steigenden Portionen deutlich sieht. — *O. c. d. Cervicalis descendens.*

Fig. V. *S. a. b. Longissimus dorsi.* *a.* Die äußern Portionen, welche sich an die Rippen setzen. *b.* Die zwei Portionen, die sich an die Querfortsätze des vierten und fünften Halswirbels heften.

Fig. VI. *a. b.* Die Insertionen des gemeinschaftlichen Muskelkörpers des Sacrolumbalis et longissimus dorsi. *c.* Die erste Portion des Sacrolumbalis an die zwölfte Rippe. *d.* Die innern Portionen des Longissimus dorsi, welche an die Höcker der Querfortsätze gehen, und theils einfach theils doppelt sind.

Fig. VIII. *G.* Der *M. triangularis sterni* und *C. transversus abdominis* von vorn, daher zum Theil die Rippenknorpel hinweggeschnitten sind.



Fig. IX. *v.* Der Transversus von der Seite. *C<sup>2</sup>* Die hintere Aponeurose dieses Muskels.

Fig. X. *C.* Transversus von hinten. *C<sup>2</sup>* Die Aponeurosis posterior. *a. b. c. d.* Schnigte Zipfel, wodurch sich diese Aponeurose an die letzte Rippe und an die Querfortsätze der vier obern Lendenwirbel festsetzt. *e. f. g.* Ein Theil der Aponeurosis communis des Latissimus dorsi, Serratus posticus inferior, des Transversus et Obliquus internus.

Fig. XI. *E.* Levator ani, nach hinweggenommenem Kreuzbein, von hinten angesehen. *D.* Sphincter ani internus. *a.* Orificium ani.

Fig. XII. Dieselben Muskeln, nach hinweggenommenen Knochen-Stücken der Schaam- und Sitzbeinäste, von vorn. *b.* Die Harnröhre.

Fig. XIII. *E.* Levator ani von der Seite und außen.

Fig. XIV. *E.* Levator ani von der Seite, aber von innen angesehen.

Fig. XV. und XVI. *C.* Sphincter ani externus von hinten und von vorn.

Fig. XVII. XVIII. XIX. und XX. *A.* Transversus perinaei superficialis et *B.* profundus. *G.* Ischio-cavernosi penis. *H.* Bulbo-cavernosus.

---



## Achtzehnte Tafel.

### Erstes Feld.

Zur Anatomie der Respirationsorgane.

Siehe auch Tab. II., III. u. IV.

Fig. I. Zungenbein, Larynx und Schilddrüse von vorn. *a. b.* Zungenbein. *c.* Cartilago thyreoidea. *d.* Processus superiores et *e.* inferiores cartilaginis thyreoideae. *f.* Cartilago cricoidea. *g.* Trachea. *h.* Glandula thyreoidea. *i. k. l.* Musculus glandulae thyreoideae \*).

Fig. II. Zungenbein, Larynx und Trachea von vorn. *a.* Basis ossis hyoidei. *b. b.* Ejus cornua lateralia. *c. c.* Ossicula triticea. *d. d.* Cartilago thyreoidea. *e. e.* Obere Fortsätze derselben, welche durch die Ligamenta hyo-thyreoidea lateralia mit dem Zungenbein sich verbinden. *f. f.* Untere Fortsätze, welche mit der Cartilago cricoidea articuliren. *g.* Epiglottis. *h.* Cartilago cricoidea. *i.* Cavum laryngis. *k. k.* Ringe der Luftröhre. *l.* Verschiedenheit der Ringe. *m.* Pars bronchiorum \*\*).

Fig. III. \*\*\*) Zungenbein, Larynx und Trachea von der hintern Seite. 1. Basis ossis hyoidei. 2. 2. Cornua majora 3. 3. minora oss. h. 5. Epiglottis. 5. 5. Die zwei Platten des Schildknorpels. 6. 6. Dessen obere Hörner. 7. 7. Ligamenta hyo-thyreoidea lateralia. 8. Ossicula ovalia, welche in diesen Bändern bisweilen vorkommen. *g. g.* Untere Hörner des Schildknorpels, welche durch Kapselbänder mit dem Ringknorpel verbunden werden. 10. Cartilaginis cricoideae

---

\*, \*\*) Aus Caldani.

\*\*\*) Aus Loders anatomischen Tafeln, und ebenso die beiden folgenden Figuren.



pars posterior. 11. Cartilagine arytaenoideae. 12. 12. Hintere, häutige Wand der Luftröhre, membrana musculo-glandulosa.

Fig. IV. Die Bronchien mit ihren Drüsen von vorn. 1. Tracheae pars. 2. Bronchiorum ramus dexter. 3. 3. Ejus rami minores abscissi. 4. Bronchiorum ramus sinister. 5. Ejus rami minores abscissi. 6. 6. Glandulae bronchiales.

Fig. V. Dasselbe Präparat von hinten. 1. 1. 1. Membrana musculo-glandulosa. 2. 2. Glandulae bronchiales.

Fig. VI. bis XIII. Die Zungenbein- Zungenmuskeln.\*)

Fig. VI. *a* bis *h*. Der zweibäuchige Unterkiefermuskel, *m. digastricus maxillae inferioris*.

Fig. VII. *a* bis *g*. Der Unterkiefermuskel, *m. mylohyoideus*.

Fig. VIII. *a* bis *k*. Der Kinn-Zungenbeinmuskel, *m. geniohyoideus*.

Fig. IX. Der Kinnzungenmuskel, *m. genioglossus*.

Fig. X. Der Griffelzungenbeinmuskel, *m. stylohyoideus*.

Fig. XI. *a. b. c.* Der Griffelzungenmuskel, *m. styloglossus*; *d. e. f. g. h. i.* und Fig. XII. *a. b.* Der Zungenbeinzungenmuskel, *m. hyoglossus*. Er hat drei Portionen. *g. h. i.* Basioglossus. *e. e. f. d.* Ceratoglossus; und in Fig. XII. *a. b.* Chondroglossus. *l. m.* Lingua.

Fig. XII. *a. b.* Chondroglossus; *c. d.* Genioglossus. *e. m.* Lingualis. *f.* Styloglossus. *g.* Epiglottis. *h. i. k.* Unterkiefer.

Fig. XIII. *a. b. c. d.* Der Zungenmuskel, *m. lingualis*. *e. f. g.* Styloglossus. *h. i.* Ceratoglossus und Basioglossus. *k. l. m. n. o. p.* Genioglossus. *q.* Lingua.

Fig. XIV. bis XXIII. Die kleinen Muskeln, welche die Knorpel des Larynx bewegen.\*\*)

---

\*, \*\*) Nach Albinus.



Fig. XIV. Der Zungenbein - Schildknorpelmuskel, *m. hyothyreoideus*.

Fig. XV., XVI. u. XVII. Der Ring - Schildknorpelmuskel, *m. cricothyreoideus*. Von vorn XV. Von der Seite XVI. Die hintere Portion von der Seite XVII.

Fig. XVIII. Der quere Giefsbeckenmuskel, *m. arytaenoideus transversus*.

Fig. XIX. *a. b. c.* der schiefe Giefsbeckenmuskel, *m. arytaenoideus obliquus*. *d. d. d. e.* der hintere Ring-Giefsbeckenmuskel, *M. crico-arytaenoideus posticus*.

Fig. XX. *a. b. c. d.* *Arytaenoideus obliquus*. *b.* die eine Portion, welche sich zum Thyreoarytaenoideus, und *c. d.* die andere, welche sich zum Kehledeckel fortsetzt. *e.* Der Schild - Giefsbeckenmuskel, *m. thyreoarytaenoideus*. *f. g. h.* der Schild - Kehledeckelmuskel, *m. thyreoepiglotticus major*. *i. k.* *minor*.

Fig. XXI. *a. a. b. c. d.* *Thyreoarytaenoideus major*. *f. f. g.* *Cricoarytaenoideus posticus*.

Fig. XXII. Seitlicher Ring-Giefsbeckenmuskel, *cricoarytaenoideus lateralis*.

Fig. XXIII. *Thyreoarytaenoideus alter seu minor*.

---

### *Zweites Feld.*

Abbildungen der Organe des Geruches. \*)

Fig. I. Linke Seite der Nase eines Mannes nach weggenommener Oberhaut, um die Poren, in welchen die Haarwurzeln haften, und die Mündungen der Schmalzdrüsen deutlich zu zeigen.

---

\*) Nach Sömmerring: Abbildungen der menschlichen Organe des Geruches. Frankf. a. M. 1809.



Fig. II. Linke Seite der Nase, um die Zusammenfügung der in ihr befindlichen Knorpel und Knochen zu zeigen.

*a. a.* Umfang und Dicke der die Nase bekleidenden Haut im bloßen Umriss. *b.* Nasenbein. *c.* Seitenknorpel der Nase. *d.* Nasenflügelknorpel, mit seinen drei Anhängseln *e. f. g.*, welche mittelst der Bänder *h. i. k.* zusammenhängen.

Fig. III. Zusammengesetzte Knorpel der Nase von vorn angesehen. *a. b.* Nasenbeine. *c. d.* Seitenknorpel der Nase. *e.* Mittlerer Knorpel der Nase, oder Nasenscheidewand-Knorpel, welcher die VII. und VIII. Fig. isolirt darstellt. Zwischen *e. d. c. l. g.* sind drei kleine Knorpelstücke, welche in der XI. und XII. Fig. isolirt dargestellt werden. *g. l.* Nasenflügelknorpel, nebst ihren drei Anhängen. *h. i. k. l. m. n. o.*

Fig. IV. Umriss der von vorn angesehenen Nase, wo punctirte Linien die Zusammensetzung der in ihr befindlichen Knorpel gerade so, wie sie die vorhergehende Figur zeigt, andeuten.

Fig. V. Die Nasenknorpel von unten angesehen.

Fig. VI. Isolirter linker Seitenknorpel der Nase.

Fig. VII. und VIII. Isolirter Nasenscheidewandknorpel, VII. von vorn, und VIII. von der linken Seite angesehen. In seiner natürlichen Zusammenfügung mit den Knochen erscheint dieser Knorpel auf der ersten Figur Tab. VIII. R. R.

Fig. IX. Linker Nasenflügelknorpel, nebst seinen drei hier isolirt abgebildeten Anhängseln, von ihrer auswendigen Seite angesehen.

Fig. X. Dieselben Figuren von ihrer inwendigen Seite.



Fig. XI und XII. Kleinste Knorpelstücke der Nase, welche sich vorn, zwischen den übrigen Knorpeln, wie die III. Fig. zeigt, befinden, isolirt dargestellt.

Fig. XIII. und XIV. Ansicht der Riechhaut, welche die Scheidewand der Nasenhöhle bekleidet. *a.* Durchschnitener linker Nasenknorpel. *b.* Halbirtes linkes Nasenloch. *c. d.* Uebergang der Riechhaut durch dieses Nasenloch aufwärts *c.* in die Haut der Nasenspitze, und abwärts *d.* in die Haut der Oberlippe. *e.* Durchschnittsfläche des Theiles der Riechhaut, welcher sich *e.* hinter dem Rücken der Nase, *f.* unter dem Nasenbeine, *g.* unter dem Riechbeine und *h. h.* unter dem Grundbeine befindet. *i. i.* Stelle, wo die Riechhaut der linken Seite, um den Vomer herum geschlagen, in die Riechhaut der rechten Seite übergeht. *k. l.* Durchschnittsfläche des Theiles der Riechhaut, welcher sowohl auf dem weichen *k.* als auf dem knöchernen *l.* Gaumen haftet. *m.* Haare, welche die Vertiefung des Einganges der linken Nasenhöhle besetzen, zwischen welchen sich *n.* die rundlichen Poren oder Mündungen der Schmalzdrüsen befinden. *p. p.* Rundlicher Rücken, welcher die Gränze zwischen der eigentlichen Haut im Nasenloche und der Riechhaut bestimmt. *q.* Mündung eines beständigen Schleimhöhlencanals, in welchen eine Sonde eingebracht worden. 1. 2. 3. 4. Viereck, welches die in Fig. XIII. neunmal vergrößerte Riechhaut bezeichnet. *r. r.* Durchschimmernder Rand der senkrechten Platte des Riechbeins. *s.* Stelle, wo die Mündungen der Schleimhöhlen größtentheils ein rundliches Ansehen haben. *t.* Stelle, wo sich die kleinsten solcher Schleimhöhlen-Mündungen zeigen. *u. u.* Stellen, wo die Mündungen der Schleimhöhlchen gleichsam in Linien oder Streifen geordnet erscheinen. *v. v.* Stelle, wo sich die größten Schleimhöhlen-



Mündungen befinden. Im Ganzen erscheint die Schleimhaut schwammig oder sammtartig.

Fig. XV. Ansicht der äußern Wand der rechten Nasenhöhle nach weggenommener Scheidewand.

*a. b.* Durchschnittener Nasenknorpel. *c.* Rechtes Nasenloch. *d.* Vertiefung oder Aushöhlung des rechten Nasenflügels mit den in ihm befindlichen Härchen und Mündungen der Schmalzdrüsen. *e. e.* Rundlicher Rücken, welcher die Gränze zwischen der trocknen gemeinen Haut der Nase und der eigentlichen Riechhaut bestimmt. *f. f.* untere Nasenmuschel. *g. g.* mittlere Nasenmuschel. *h. h.* Obere Nasenmuschel. *i. i.* Beständige Vertiefung, welche gleichsam die Spur von einer obersten oder vierten Nasenmuschel *k. k.* veranlaßt. *f. f. l. l.* Zwischen dem Boden der Nasenhöhle und der unteren Nasenmuschel begriffener unterer Nasengang. *f. f. g. g.* Mittlerer Nasengang. *g. g. h. h.* Oberer Nasengang, meatus narium superior. *m.* Rundlicher Rücken, welcher die Gränze zwischen den Nasenhöhlen und dem Rachen bestimmt. *m. n.* Rechte Mündung der Nasenhöhle in den Rachen, choana dextra. *o.* Mündung der Ohrtrumpete, tuba Eustachiana. *p.* Rechte Hälfte des beweglichen Gaumens. *q. q.* Schlundkopf. 1. 2. 3. 4. Diese Linien bestimmen die Durchschnittsflächen der Fig. XXII. XXIII. XXIV. XXV. und XXVI.

Fig. XVI. Ansicht der Mündungen der Nebenhöhlen, welche mit der Nasenhöhle in Verbindung stehen.

*a. b. c.* Durchschnittsfläche der mittlern Muschel. *a.* Dicke der Riechhaut, welche an der obern Muschel haftet. *b. b.* Knorpeltheil des Siebbeins und der mittlern Muschel. *c. c.* Zwischen den Knochen theilen und der eigentlichen Riechhaut befindliche Schleimdrüsen. *d. e. f.* Durchschnittsfläche der untern Muschel. *g.* Wulst, welcher sich über der Mündung der Kieferhöhle befindet,



hisweilen einen halben Bogen oder halben Ring bildet, selten ganz fehlt. Ueber diesem Wulst befinden sich die Mündungen der Riechbeinzellen. *h. h.* Sonde, welche in die Stirnhöhle gebracht, die Mündung derselben über dem Wulste zeigt. *i. i.* Sonde, welche in die Stirnhöhl gebracht, die Mündung derselben unter dem Wulste andeutet. *k. l.* Sonde, welche die hinter der mittlern Muschel befindliche Mündung der Keilbeinhöhle, Sinus sphenoidalis, andeutet. *m. m. m.* Mündung der Kieferhöhle. *n.* Mündung des Thränencanals.

Fig. XVII. und XVIII. Arterien der rechten Seite der Nasenscheidewand, aus einem erwachsenen Manne. *a.* Hintere und *b* vordere obere Riechbeinarterie, arteria ethmoidea posterior et anterior superior, aus der Augenarterie *c.* Hintere Riechbeinarterie aus der innern Kieferarterie. *f.* Stellen des in der XVII. Fig. 25mal vergrößert abgebildeten Stückchens der Riechhaut; deren Arterien und Venen vollständig mit einer Zinnobermasse ausgesprützt worden. Der größte Theil dieses Gefäßnetzes ist venös, der kleinere arteriös. *a. b. c.* Mündungen dreier Schleimhöhlen, die nicht nur mit *d.* einem arterösen, und *c.* einem venösen Kranze umgeben sind, sondern in deren Tiefe man auch das Gefäßnetz erkennt.

Fig. XIX. und XX. Abbildung der Nerven, die sich in dem Theile der Riechhaut verbreitet befinden, welcher an der Nasenscheidewand haftet. Diese Nervenverbreitung sieht man nach Abtragung der Knochen und Knorpel der Scheidewand ohne weitere Präparation. Von der innern oder von der Natur geendigten, Oberfläche her lassen sich diese Nerven nicht füglich so vollständig darstellen.

*a. b. c. d. d.* Verzweigung des Geruchsnervens, N. olfactorius, welcher die obern Nasenzweige der Scheidewand bildet. *e. e.* Nerve der Riechhaut, welcher von dem



Nasenhöhlenzweige, *r. ethmoidalis*, des ersten Astes des fünften Nervenpaares stammt. *f. g.* Untere Nasenzweige der Scheidewand, *rami nasales inferiores septi narium seu Nervus noso-palatinus Scarpae*, vom *N. sphenopalatinus* des zweiten Astes des fünften Nervenpaares. Ein Fadeng. gelangt durch den Zwischenkiefercanal bis in die Gaumenhaut. *h.* Unterer vorderer Nasennerve, *r. nasalis anterior inferior*, welcher vom Unteraugenhöhlennerve, einem Zweig des zweiten Astes vom fünften Nervenpaar, stammt.

*i. k.* Stelle der Riechhaut, wo sich die Fäden des eigentlichen Riechnervens zu endigen scheinen. Fig. XIX. Neunmal vergrößertes Stückchen der Fig. XX. *a. b.* Ein Stückchen der festen Hirnhaut. *a. a.* welches auf der Siebplatte des Riechbeins haftet. *b. b.* Zurückgeschlagene Theile desselben. *c. f.* Durchschnittsfläche der Riechhaut. *g. g.* Siebplatte des Riechbeins auf ihrer Durchschnittsfläche. *h. h.* Kanälchen und Löcher dieser Siebplatte, um Zweige des Riechnervens durchzulassen. *i.* Abgeschnittenes Aestchen des Riechnervens, um den folgenden Ast *k.* und besonders die Art seines Ueberzuges von der festen Hirnhaut *l.* und den Durchgang des Nervens durch den Knochen selbst *m.* desto deutlicher darstellen zu können. *n. o. p.* Arterien, die sich in die Riechhaut verbreiten, in ihren natürlichen Größsverhältnissen zu den Nervenfäden.

Fig. XXI. Nervengeflechte der an den Nasenmuscheln haftenden Riechhaut.

1—8. Die acht ersten Hirnnervenpaare. *a—d.* Grauer Kolbe des Riechnervens, welcher durch die harte Hirnhaut *b. b.* und die Siebplatte des Riechbeins *c. c.* mit zwölf bis dreizehn Stämmchen *d. d. d.* dringt, um sich geflechtartig mit Aesten, Zweigen, Reiseru und Fäden in die obere und mittlere Muschel, als *rami nasales superiores medii*, zu verbreiten. 9. Größere Portion des fünften Hirnnervens. 10. 10. Wulst oder geflechtartiger Knoten, welchen diese



größere Portion bildet. 11. Kleinere Portion desselben Nerven, welche, ohne sich in den Wulst einzumischen, fast ganz zum dritten Aste 12 dieses fünften Hirnnervens begiebt. *e. f. g.* Erster Ast dieses fünften Hirnnervens. *f.* ram. ethmoidalis desselben, welcher beim vordern *b.* wieder zum Vorschein kommt, und sich in den vordersten Theil der Riechhaut, als rami nasales anteriores superiores *g. g.* verbreitet. *h. bis z.* Zweiter Ast des fünften Hirnnervens. *i.* Abgeschnittener Wangenhautnerve, subcutaneus mallae. *k.* Hinterer Zahn-Augenhöhlnerve, N. infraorbitalis. *l.* Gemeinschaftlicher Stamm oder Ganglion sphenopalatinum, woraus der Nervus recurrens s. Vidianus mit seinen zwei Aesten *m. r.*, der N. sphenopalatinus *p. q. q.*, und der N. pterygo-palatinus *u. u. u. u.* entspringt. *p.* rami nasales posteriores superiores. *q. q.* sind zwei hier abgeschnittene und zurückgelegte Aeste des N. nasopalatinus Scarpae. Siehe Fig. XX. *s. t. t.* Rami nasales posteriores inferiores. *u. u. u.* Rami palatini anteriores. *v. w. x.* und *z.* rami palatini posteriores.

Fig. XXII. XXIII. XXIV. Drei senkrechte Durchschnitte der Nase, wie sie auf Fig. XV. durch die Linien 1.1. 2.2. 3.3. angedeutet sind.

Fig. XXII. Hintere Durchschnitte. Der Schnitt gewährt die Einsicht von hinten in die Nasenhöhlen, in die Zellen des Riechbeins, in die Keilbeinshöhlen und in das Gaumengewölbe. *a. b.* Stirnbein. *c. l.* Riechbein. *c.* Kamm. *d. e.* Siebplatte, *e.* links noch mit der festen Hirnhaut bedeckt. *f. f.* Senkrechte Platte. *g. h.* Mittlere Muschel der rechten und linken Seite. Fünf *i. i.* links und *k. k.* rechts vom Siebbein gebildete Zellen. *l. l.* Lamina papyracea. *m. n.* Untere Muschel. *p.* Vomer. *q* bis *y.* Linker Oberkiefer, Superficies orbitalis und periorbita. *s.* Superf. nasalis. *t. q.* Wangentheil des Oberkiefers. *u.* Gaumenfortsatz. *v.* Zahnfortsatz. *w. M.* Oberkieferhöhle. *x.* Beinhaut. *y.* eigene Haut der Oberkieferhöhle. *A. bis F.*



Riechhaut oder Schneidersche Haut, *membrana Schneideriana*. Mündung des linken *G. G.* und *H.* des rechten Thränencanals. *K. L.* Mündung der Kieferhöhle auf der rechten Seite noch durch eine eingebrachte Sonde *M. M.* bemerklich gemacht. *S.* Dicke der Gaumenhaut. *T.* Gaumengewölbe. *U.* Durchschnittene Gaumenarterie. 1 bis 6 Zähne.

**Fig. XXIII.** Mittler Durchschnitt der Nasenhöhle. *a.—f.* Durchschnittsflächen; *a.* des Stirnbeins, *b.* des Nasenfortsatzes vom linken Oberkiefer, *c.* der linken untern Muschel, *d.* der senkrechten Platte des Siebbeins *e.* des Knorpels der Nasenscheidewand, und *f.* des Gaumenfortsatzes des Oberkiefers. *g.* Ungeöffneter linker Thränensack, und *h.* Thränencanal, welcher in die Riechhaut übergehend, sich öffnet. *i. k. l. m.* Durchschnittsflächen der Riechhaut. *n.* Oberfläche der Riechhaut, welche der Nasenhöhle zugewendet ist. *p. q.* Die rechte Seite verhält sich auf gleiche Weise wie die linke, außer daß auf ihr der Thränensack *p.* und der Thränencanal *q.* durchaus halbt dargestellt sind. *r.* Bezeichnet die innere Knochenwand der Kieferhöhle, welche sich zwischen dem Thränencanale und der Oberkieferhöhle befindet.

**Fig. XXIV.** Vorderer Durchschnitt. *a.* Durchschnittsfläche des linken, und *b.* des rechten Nasenflügelknorpels. *c. c.* Des Knorpels der Nasenscheidewand. *d. d. e.* Riechhaut mit Härchen und Mündungen von Schmalzdrüsen besetzt. *f.* linkes und *g.* rechtes Nasenloch.

**Fig. XXV. und XXVI.** Auf einander passende horizontale Durchschnittsflächen der Nasenhöhlen. Die Richtung, in der dieser Schnitt durch die Nasenhöhlen über den Thränenbeinen horizontal geführt wurde, ist durch die Linie 44 Fig. XV. bezeichet. In der XXV. Fig. schaut man gleichsam senkrecht tief in die Nasenhöhlen hinunter;



in der XXVI. Fig. dagegen gleichsam in die Decke, welche diese Höhlen von oben schließt. *a.* Umfang der Nase. *b. c.* Nasenbeine. *d.* Stirnbein. Jede Hälfte bildet eine Zelle. *x. x. f. g. h. i.* Riechbein. *g. i. k. l.* Keilbeinkörper mit seinen Höhlen *m. n.* Die Beinhaut *p.* und die eigene Haut *q.* der Keilbeinhöhlen. *r. r.* Mittleres Blatt des Siebbeins. *s. s. t. t.* Membrana Schneideriana: *u. u. v. v.* Länge und Breite der linken *u. u.* und der rechten *v. v.* Nasenhöhle in dieser Gegend. *w. w.* elf auf der linken und neun theils grössere, theils kleinere Zellen auf der rechten Seite, deren vorderste das Stirnbein, die übrigen das Riechbein bildet. *y. z.* in der Decke der Nasenhöhle Fig. XXVI, ist in der rechten Hälfte desselben die doppelte Haut, womit diese Zellen bekleidet sind, zurückgeschlagen, nämlich *y.* die eigene innere Haut, und *z.* die Beinhaut, periosteum.

---



## Neunzehnte Tafel.

### Das Sehorgan, Organon visus\*).

Fig. I. Wohlgebildetes Auge eines Mannes.

Fig. II. einer Frau.

Fig. III. Auge eines eilfjährigen lichtscheuen Mädchens oder einer sogenannten weissen Mohrinn. Ich habe diese Abbildung gegeben, weil es mir auf eine auffallende Weise dem Auge eines Greises gleicht.

Fig. IV. Augengliedschließser, orbicularis palpebrarum. *a.* Ligamentum palpebrale internum. *b.* Stratum externum. *c.* Stratum internum. *d.* Musculus ciliaris Albini. *e.* Fasern, die gegen die Nase, *f.* Fasern, die gegen die Wange hinabstreichen und sich in der Haut verlieren.

Fig. V. Nerven der Augenlieder.

Die Nerven der obern Augenlieder gehören dem Stirnnerven, *n. frontalis*, *a.* des ersten Astes vom fünften Nervenpaar, an.

Die Nerven der untern Augenlieder kommen vom Unteraugenhöhlennerven, *n. infraorbitalis*, *b.* des zweiten Astes vom fünften Nerven.

*c. d. d.* Verbindungs Zweige des Gesichtsnerven, *n. facialis*.

---

\*) Die meisten Abbildungen sind nach Sömmerring: Abbildungen des menschlichen Auges. Frankf. a. M. 1801. — Die Fig. 28. 29. 34. 35. 36. 37. 38. 39. habe ich ganz neu nach der Natur verfertigen lassen. Die Figur 31. u. 32. habe ich aus meiner Abhandlung: Ueber die wichtigsten Theile im menschlichen Auge. Berlin 1828. In v. Gräfe's und Walther's Journal für Chirurgie und Arzneikunde, 11r Bd. 3s Heft, entlehnt. Die Fig. 43. u. 44. sind aus meiner Schrift: Ueber das Strahlenblättchen im menschlichen Auge. Bonn 1827, bei Habicht.



Fig. VI. Arterien der Augenlieder.

Diese erhalten sie: Von oben durch die Schläfen-  
schlagader, *a. temporalis*, *a.* Von unten durch die  
Unteraugenhöhlenschlagader, *a. infraorbitalis*, *b.* und von der  
Nasnarterie, *a. angulari nasi*. Von innen durch die Augen-  
arterie, *a. ophthalmica*, *c.* Von außen durch die Schläfe-  
und Querantlitzarterie. *d. e. f. g. h. i.* Ein Ast der Kranz-  
arterie der Oberlippe.

Fig. VII. Venen der Augenlieder.

*a. a. a.* Die Gesichtsvene, *vena facialis*. *b. b.* Die tiefe  
Schläfevene, *v. temporalis profunda*. *c. c.* Hintere Stirn-  
venen. *d. d.* Oberaugenhöhlvene, *v. supraorbitalis*. *e.*  
Stirnvene, *v. frontalis*. *f. g. h.* Nasenvenen, *v. nasales*.  
*i.* vorderes, *h.* hinteres Stämmchen des untern Augenlie-  
des, welches sich in die Gesichtsvene begiebt.

Fig. VIII. Augenlieder der linken Seite weit  
von einander gezogen.

*a.* Augenbraune, *supercilium*. *b.* Falten des etwas  
umgewendeten Augenlides. *c.* Löcherchen in der Haut  
nach ausgerissenen Augenwimpern. *d.* Thränenpunkte, *puncta*  
*lacrymalia*. *e.* oberer, und unterer Schenkel des innern  
Augenwinkels. *f.* Mündungen der Schmalzdrüsen der Au-  
genlieder. *g.* Karunkel, *caruncula lacrymalis*. *h.* Mondför-  
mige Falte der Bindhaut, *plica semilunaris membranae*  
*conjunctivae*.

Fig. IX. Losgetrenntes Augenlid der rechten Seite,  
von hinten angesehen, nebst der Thränendrüse, die etwas  
nach vorn zurückgelegt und an der vordern Spitze von  
der Bindehaut bedeckt ist.

*a.* Ein Theil des Schließmuskels der Augenlieder. *b.*  
Spalte der Augenlieder. *c. d.* Thränendrüse, *glandula la-*  
*crymalis*. *d. d.* Abtheilung der Thränendrüse in zwei  
Hauptlappen. *e.* Ausführungsgänge der Thränendrüse.



*f.* Mündungen dieser Ausführungsgänge. *g.* Bindehaut, conjunctiva. *h. h.* Schmalzröhren oder Maibomische Drüsen der Augenlieder. *i. l.* Thränenpunkte. *m.* Karunkel. *n.* Plica semilunaris conjunctivae.

Fig. X. Die Thränendrüse von unten angesehen.

Fig. XI. Die Thränendrüse von ihrer vordern oder schmälern Drüse angesehen.

Fig. XII. Die Thränendrüse von oben.

Fig. XIII. Inwendige Fläche der größtentheils von den Augenliedern losgetrennten Bindehaut, conjunctiva, zweimal im Durchmesser vergrößert, um den sammtartigen oder warzigen Bau derselben an der Stelle, wo sie die Knorpelplatten bedeckt, zu zeigen. Die Fig. IX. *h. h.* durchschimmernden Maibomischen Drüsen sind absichtlich hinweggelassen, um alle Verwirrung zu vermeiden. Die bezeichneten Stellen sind ebenso schon aus der vorhergehenden Figur bekannt.

Fig. XIV. Inwendige Fläche der Augenlieder zweimal im Durchmesser vergrößert, um den Bau der Schmalzdrüsen zu zeigen. *a.* Aufheber des obern Augenliedes. *i.* Zurückgeschlagenes Stückchen der Bindehaut, um die Schmelzdrüsen entblößt zu sehen.

Fig. XV. Verfolg der achten Figur, um die natürliche Lage der Thränendrüse anzudeuten, und die wahre Gestalt der Thränenableiter zu versinnlichen.

*a. b. c. d.* Oberes und unteres Thränenkanälchen, canaliculi lacrymales. *a.* Senkrechter Schenkel, oder Anfangstück, das mit dem Thränenpunkt anfängt. *b.* Blindes Stückchen desselben. *c.* Fortsetzung oder querer Schenkel des Kanälchens. *d.* Endigung desselben in den Thränensack. *e. f. g.* Thränensack, saccus lacrymalis. *e.* Blinder Theil des Thränensacks. *f.* Mittlerer Theil desselben. *g.*



Ende desselben. *h. i.* Thränen canal, *canalis lacrymalis membranaceus*, oder Nasenstück des Thränenableiters. *i.* Untere oder Ausmündung des Thränen canals.

Fig. XVI. Thränenableiter der linken Seite, von der Nasenhöhlenseite angesehen, um die Richtung, Breite und Mündung desselben zu zeigen.

Fig. XVII. Aufgeschnittener und halbirt dargestellter Thränenableiter, um den innern Raum desselben, und die Dicke und drüsige Beschaffenheit seiner Häute darzustellen. *d.* Verdopplung oder Falte der innern Haut, die das Ende des Thränensacks innerhalb sehr genau bestimmt. *f.* eine zweite Falte, welche sich manchmal zeigt.

Fig. XVIII. XIX. XX. Die Muskeln des linken Augapfels. \*)

1. 2. 3. Umfang der linken Augenhöhle. 4. Knorpelige Rolle für die Sehne des obern schiefen Muskels. 5. Augapfel, *bulbus oculi*. 6. 7. Sehnerve. *a* bis *e.* Aufzieher des obern Augenlides, *levator palpebrae superioris*. *f. g.* Oberer gerader Muskel, *m. rectus superior*, welcher von dem vorhergehenden beinahe ganz bedeckt ist. *h. i. k.* Aeußerer gerader Muskel, *rectus externus*. *l.* Unterer schiefer Muskel, *obliquus inferior*. *m.* Unterer gerader Muskel, *rectus inferior*. *n. o.* Innerer gerader Muskel, *rectus internus*. *p. q. r. s.* Oberer schiefer Augenmuskel, *obliquus superior*. *t.* Schleimbeutel innerhalb der Rolle.

Fig. XXI. XXII. XXIII. Die Augennerven. \*\*)

1. *Nervus opticus*. 2. *N. trochlearis*. 3. *N. trigeminus*. 4. *N. oculomotorius*. 5. *N. abducens*. 6. *a. b. c. d. e. f. g.* *h. i. k. l. m. n. o.* Erster, 7. zweiter, 8. dritter Ast des *N. trigeminus*. *a.* Verbindungsast zum *N. trochlearis*. *b.*

---

\*, \*\*) Die Bezeichnung gilt für alle drei Figuren.



Thränendrüsenerve, *N. lacrymalis*. *c.* Zweige desselben, welche sich in dem Augenede verbreiten. *d.* Verbindung mit dem *N. subcutaneus* des zweiten Astes vom fünften Nervenpaar. *e.* Eigentlicher Stirnnerve, *N. frontalis*. *f.* dessen äußerer, *g.* innerer Ast. *h.* Zweig, der sich in der Gegend der Rolle verzweigt, *ramus supratrochlearis*, und mit dem *Ramus infratrochlearis* (*l*) anastomosirt. *i.* Augenknoten- und Nasenast. *k.* Nasenhöhlzweig, *ram. nasalis*, und *l.* unterer Rollnerven, *n. infratrochlearis*, des Augenknoten- und Nasenastes *m.* *m.* lange Wurzel, *radix longa*, zum Augenknoten, *ganglion ophthalmicum*, +. *n.* Verbindungsast zum obern Ast des *N. oculomotorius*. *o.* Zwei lange Ciliarnerven aus dem Nasenhöhlzweig *k.* — *p. q. r.* Oberer Ast des *N. oculomotorius*. *s.* Dessen unterer Ast. *t.* Mittlerer Zweig dieses Astes, welcher sich in dem untern geraden Augenmuskel verbreitet. *u.* Unterer Zweig desselben Astes, welcher sich *v.* in die kurze Wurzel, *radix brevis*, des Augenknoten (+) und *w.* in dem langen Reis für den untern schiefen Augenmuskel spaltet. Aus dem Augenknoten + gehen zwei Bündel Blendungs- oder Ciliarnerven hervor. *x. x. x.* Das obere Bündel theilt sich in drei Aestchen, die dicht am Sehnerven geschlängelt dahinflaufen, und in mehrere Fädchen *y.* sich theilend in die harte Haut, *sclerotica*, des Augapfels eindringen. *z.* in fig. XXI. Innerer Zweig des untern Astes (*r*) des *N. oculomotorius*. — 5. *β. γ. δ.* *N. abducens*. *γ.* Verbreitung im äußern geraden Augenmuskel. *δ.* Zarte Fäden dieses Nervens, welche um die Hirnarterie ein Netz bilden, mit dem sympathischen Nerven zusammen kommen, und in der Arterie sich verbreiten.

Fig. XXIV. XXV. Die Augenarterien.

Fig. XXIV. 1. Gehirnschlagader, *arteria carotis cerebialis*. 2. Augenschlagader, *a. ophthalmica*. *a.* Erste, *b.* zweite



lange Ciliararterie. *c.* Thränendrüsenerterie. Diese theilt sich in den *d.* Ciliarast, der, wie die folgende Figur deutlich zeigt, auf der innern Seite dieser Arterie abgeht. *e.* Muskelast, schwächerer an dem äußern geraden Muskel, und der *f.* Ast, der unter den Augapfel sich biegt, um den untern schiefen Muskel, wie die folgende Figur zeigt, zu versorgen. *f.f.* Muskelast, stärkerer für den äußern geraden Muskel. *g.h.i.* Spaltung des Stämmchens der Thränendrüsenerterie in den Ast (*h*), der mit  $\alpha$ , einem Zweige der innern Kieferarterie zusammenmündet, und in den Ast (*i*), der sich in die Thränendrüse und ins obere Augenlied verbreitet. *k.* Fortsetzung des Stammes der Augenarterie, der quer unter dem Sehnerven hervorkommt. *l.* Ast, der sich in den Zweig für den obern schrägen Muskel (*m*), wie die folgende Figur deutlich zeigt, und den Ast für den Aufheber des obern Augenliedes spaltet. *o.p.q.* Ast desselben, der sich in den Zweig an den obern geraden Muskel und den *q.* Ciliarzweig spaltet. *r.* Doppelter Ast *p.* für den untern geraden Muskel. Indem sich nun der Stamm der Augenarterie schlangenförmig krümmt, erzeugt er *s.* die Stirnarterie. *t.* Arterie für den innern geraden Muskel, die sich größtentheils um das Fleisch desselben herumwindet, um auf der Augenhöhlfäche dieses Muskels sich in selbigen zu begeben, wie die folgende Figur deutlich zeigt. *u.* Vordere Nasenhöhlarterie, oder vordere Riechbeinarterie, A. ethmoidalis anterior. *v.* Untere Rollarterie. *w.* Vorderer Ast der zerschnittenen Arterie (*p*), der sich in den obern geraden Muskel verbreitet.  $\alpha$ . Ein Zweig der von der innern Kieferarterie stammenden tiefen Schläfenarterie.

Fig. XXV. Fortsetzung der vorigen Figur, so eingerichtet, daß man nach weggenommenem Augapfel die Zerästelung der Augenarterie mit einem Blicke völlig über-



schauen kann. *a. b. c. d. e. f. ff. g. h. i. k. o. r. s. t. u. v. x.* bezeichnen die nämlichen Aeste der Augenarterie, wie in vorhergehender Figur. *y.* Stamm der innern Kieferarterie, *A. maxillaris interna.* *z.* Untere Augenhöhlenarterie.

Fig. XXVI. XXVII. Die Augenvenen.

Fig. XXVI. *a.* Antlitzaugenvene, welche eine ansehnliche *b.* Verbindung mit der innern Antlitzvene (*r. s.*) hat, zeigt eine doppelte Wurzel, *c.* eine äußere nämlich und *d.* eine innere, oder die eigentliche Unteraugenhöhlvene, krümmt sich aufwärts und inwärts, und nimmt unterwegs folgende Aeste auf: *e.* den Ast, der aus der untern und äußeren Ciliarvene, *s.* Fig. XXVII. und einem Verbindungszweig zum hintern Aste der Hirnaugevene *t.* Fig. XXVII. besteht. *f.* Den Ast, durch welchen sie mit dem Stamme der Antlitzaugenvene zusammenmündet. *g.* Die vordere Ciliarvene, welche auch *h.* Zweige aus dem äußeren geraden Muskel in sich vereinigt. *i. k.* Den Ast, welcher Zweige aus dem untern geraden Muskel in sich vereinigt, und mit einem Zweig *l.* in den zelligen Blutleiter übergeht. *m.* Die äußere Ciliarvene. *n. n.* Darauf windet sich die Antlitzaugenvene mit ihrem Stamme, unter dem Sehnerven herum, und endiget sich in die Hirnaugevene als eine vorzügliche Wurzel derselben. *o. p.* Die Hirnaugevene entsteht größtentheils aus der Vereinigung der oben beschriebenen Antlitzaugenvenen, einer vorderen und einer hinteren *q.* in der folgenden Figur *a. b.* dargestellten Wurzel und der innern Antlitzvene. *q. r. s.* Diese innere Antlitzaugenvene aber besteht aus der Vereinigung der Stirnvene (*r.*) und Augenbraunvene (*s.*), läuft unter der Sehne des obern schiefen Augenmuskels, zieht die Venen unterhalb dem Augapfel, die in der folgenden Figur *r. c.* dargestellt sind, an sich, läuft unter den obern geraden



Muskel und endigt sich in die Hirnaugenvene. Diese Hirnaugenvene windet sich sanft s förmig über den Sehnerven, und nimmt unterwegs folgende fünf Venen auf. *t. t.* Die Vene aus dem obern geraden Muskel, und dem Aufheber des obern Augenlides. *u. u.* Die obere Ciliarvene, welche Zweige aus dem obern geraden Muskel in sich aufnimmt. *v. v. w.* Die Thränendrüsenvene, welche *v. v.* theils die Zweige aus dieser Drüse, *w.* theils aus dem Aufheber des obern Augenlides aufnimmt, *x.* theils durch einen ansehnlichen Querast mit der oberen Ciliarvene zusammenmündet. *y. y.* Noch eine andere Vene aus dem obern geraden Muskel. \*\* Hintere Riechhautvene, welche in der Tiefe quer unter dem Sehnerven von der inneren Wand der Augenhöhle kommt; sie windet sich herauf, um an der äußern Seite des Sehnerven in den zelligen Blutleiter überzugehen. *z. z.* Die Zentralvene der Markhaut, welche \* Venen aus der Scheidenhaut des Sehnervens und dem Fette dieser Gegend an sich zieht, und in den zelligen Blutleiter endiget.

Fig. XXVII. Ansicht der Venen unterhalb dem Augapfel; oder Zusammenfluß der Wurzeln der Hirnaugenvene in der untern Hälfte der Augenhöhle. Um diese deutlich zeigen zu können, ist nach zerschnittenem obern schiefen Augenmuskel und dem untern geraden Muskel, der Augapfel sanft aufgehoben und zurückgeschoben worden.

*a. b.* Unter dem Augapfel zeigen sich die vordere (*a*) und (*b*) hintere Wurzel der Hirnaugenvene. In der vordern Wurzel (*a*), welche mit der hintern Antlizvene in Verbindung steht *c.* vereinigen sich im Fortlaufe der Reihe nach *d.* die Aestchen aus der Gegend des Thränensacks, *e.* die aus der Bindehaut und dem Fette dieser Gegend, *f. f. f.* die Aestchen aus der Beinhaut der untern



Wand der Augenhöhle, *g. g.* eine kürzere und eine längere Ciliarvene. *h.* die Aestchen aus dem untern geraden Muskel. *i.* Die verschiedenen Zusammenmündungsäste. *b. k.* In der hintern Wurzel (*b*), welche mit dem Aste der Antlitzaugenvene in Verbindung steht, welche in der Fig. XXVI. durch *n. n.* bezeichnet worden, vereinigen sich im Fortgange der Reihe nach *l.* die eine untere Ciliarvene. *m.* Die Zweige aus dem untern schiefen Muskel. *n.* Aestchen aus dem Fette und der Beinhaut der unteren Wand der Augenhöhle, worauf sie sich mit der vorderen Wand zu einem Stämmchen *p.* vereinigt, welches sich auch bald mit *q.* der innern Antlitzvene vereinigt, welche aufser kleinern Zweigen, *r.* die vordere Riechhautvene aufgenommen hatte. *s.* Untere und äufsere Ciliarvene, welche nebst dem Verbindungszweig *t.* zum hinteren Aste der Antlitzaugenvene sich zu dem mit *e.* in der Figur 26 bezeichneten Ast der Antlitzaugenvene vereinigt.

Fig. XXVIII. Untere vordere Hälfte eines horizontal durchschnittenen Augapfels der linken Seite. Nach der Natur ohngefähr sechsmal im Durchmesser vergrößert.

Diese Figur stelle ich als die Hauptfigur, wodurch man schnell einen allgemeinen Ueberblick über die Anatomie des Augapfels sich verschaffen wird, oben an, und indem ich sie bezeichne, entwerfe ich zugleich die Anatomie des Auges schematisch.

I. Der Augapfel bildet eine ungleich geformte Kugel, welche aus zwei Segmenten zweier verschieden grosser Kugeln zusammengesetzt ist. Das hintere Segment *a. 4.* ist bedeutend gröfser als das vordere. N. 1.

II. Der Augapfel wird von mehreren Membranen gebildet, die schichtenweise übereinander liegen oder in ein-



ander eingreifen, und die Flüssigkeit der Augenkammern, die Kristalllinse, und den Glaskörper einschließen.

III. Die Schichten des hintern Segmentes *a. 4.* folgen also auf einander:

- 1) Harte Haut, *sclerotica, a.* \* *Lamina fusca.* Braun.
- 2) Gefäßhaut, *chorioidea, b. c.* Braun. Sie besteht aus zwei Lamellen: *b.* aus der äußern Gefäßhautlamelle, *chorioidea stricte sic dicta*, *c.* aus der innern Gefäßhautlamelle, *Membrana Ruyschiana.* Die äußere Gefäßhautlamelle (*b*) geht in das Strahlenband, *ligamentum ciliare, d.* über.

Die innere Gefäßhautlamelle (*c*) in die *Processus ciliares, e.*

Die innere Fläche der innern Gefäßhautlamelle (*c*) ist mit einem Pigment, *pigmentum nigrum, f.* belegt, und bildet nach vorn *f.<sup>1</sup> f.<sup>1</sup>* die *Ora serrata.* Braun.

- 3) Jacobsche Haut, *membrana Jacobi s. serosa, g.* Gelb.
- 4) Nervenhaut, *tunica retina, h. i.* Blau. Auch sie besteht aus zwei Lamellen: *h. tunica retina stricte sic dicta; i. tunica retinae vasculosa.*

5) *Zonula Zinnii, k.* Grün. Sie bildet mit der *Membrana hyaloidea* (*l*) den *Petitschen Kanal, canalis Petitii, k.<sup>1</sup>*

6) Glashaut des Glaskörpers, *membrana hyaloidea, l.*

7) Kapsel der Krystall-Linse, *capsula lent. cryst., m.*

IV. Schichten des vordern kleinern Segmentes des Augapfels.

- 1) Hornhaut oder durchsichtige Haut, *cornea, n.* bläulich.
- 2) Haut der wässerigen Feuchtigkeit, *membrana humoris aquei s. tunica Wrisbergii, o.*
- 3) *Demoursche Haut, p.*
- 4) Regenbogenhaut, *iris, q.* blau.
- 5) Traubenhaut, *uvea, r.* Sie besteht aus dem *Pigmentum nigrum (r)* und der Umkleidung der *Jacob'schen Haut.*



V. Vordere Augenkammer, 1.

VI. Hintere Augenkammer, 2. 2.

VII. Kristall-Linse, *lens crystalina*, 3.

VIII. Glaskörper, *corpus vitreum*. 4.  $n^1$  Verwebung der *cornea* mit der *sclerotica*.  $n^2$  Vorsprung der *Cornea* nach innen, woran die *Iris* und das *Ligamentum ciliare* festsitzen.

Fig. XXIX. Der ganz horizontal halbirtre Augapfel, wornach die vorhergehende Figur vergrößert wurde.

Hier sind nur die vier Haupt-Augenhäute *a. b. h. n.*, so wie sie bei der einfachsten Zergliederung des Auges zu Tage liegen, dargestellt.

Fig. XXX. *b.* Die injicirte *Chorioidea*, *d.* *Ligamentum ciliare*. *g.* *Iris*, nach Hinwegnahme der *Sclerotica* und *Cornea*. Die *Ciliarnerven*.

Fig. XXXI. Die beiden Lamellen *b. c.* der *Chorioidea* getrennt dargestellt.

Fig. XXXII. Vordere Ansicht, wie die *Ciliar-Gefäße* und *Nerven* ins *Ligamentum ciliare d.* treten, um sich da auf eine eigenthümliche Weise zu verbreiten, und dann erst zu den *Ciliarfortsätzen* und zur *Iris* gehen.

Fig. XXXIII. Getrockneter Theil der injicirten *Chorioidea* und *Iris*, vielmal vergrößert, um das von mir entdeckte Gefäßsystem im *Ligamentum ciliare* zu erkennen.

*a. a. b. b. c.* *Iris*. Sie besteht auch aus zwei Lamellen: *a. a.* Vordere Lamelle. *b. b.* Hintere Lamelle. *c. c.* Kleinerer Kreis der *Iris*. *d. d. e. e.* *Ligamentum ciliare*. *d. d.* *Circulus major ligamenti ciliaris*, gewöhnlich *Circulus major iridis* genannt. *e. e.* *Circulus minor ligamenti ciliaris*. *f. f.* *Arteriae ciliares longae*. *g. g.* *Ciliares anteriores*. *h. h.* *Ciliares breves*. *i. i.* *Ora serrata*.

Fig. XXXIV. XXXV. XXXVI. Vordere Hälften eines senkrecht durchschnittenen Augapfels von innen oder hinten angesehen.



Fig. XXXIV. Hier ist noch die Krystalllinse und der Glaskörper vorhanden und man sieht durch diese Theile den sogenannten Ciliarkörper, *corpus ciliare*, die Iris und die Nervenhaut durchschimmern.

Fig. XXXV. Hier ist die Krystalllinse und der Glaskörper hinweggenommen; man sieht nur noch deutlicher die *Uvea*, *r.*, die Iris, *q.*, mit der Puppille, *q.*<sup>1</sup>, den schön gezahnten Kreis, *ora serrata*, *f.*<sup>1</sup>, und die *processus ciliares e.* Diese beiden Theile *f.*<sup>1</sup> *e.* hielt man früher für ein und dasselbe Organ und nannte es *Corpus ciliare*. Allein die *Ora* ist bloß eine Pigmentanhäufung zwischen der *Zonua Zinnii*, dem vordern Theil der *Membrana Ruyschiana* und dem vordern gezahnten Rand der Nervenhaut *h. i.*, so daß man dieses Pigment mit dem Finger abwischen kann, ohne daß die *Processus ciliares* auch nur die geringste Veränderung erleiden, wie man

Fig. XXXVI. ersieht, wo die *Ora serrata* ganz fehlt; weil ich sie, wie die *Uvea*, abgewischt habe. Auch die Nervenhaut ist hier hinweggenommen. Ich bemerke hier nur, daß an diesem Präparate die Arterien injicirt, und daß die *Processus ciliares* von selbst etwas umgelegt sind, wodurch sie zum Theil dachziegelartig gelagert erscheinen, und wodurch man wahrnimmt, daß mehrere *Processus ciliares* sich mit einander verbinden.

Fig. XXXVII. Dasselbe Präparat wie Fig. XXXV. aber von vorn oder außen, nach vorheriger Hinwegnahme der *Cornea* und *Sclerotica*, angesehen. *b.* *Choroidea striata* sic dicta; *f.*<sup>1</sup> die durchschimmernde *Ora serrata*. *d.* *Ligamentum ciliare*, an dessen hintern Rand sich *b.* heftet; *e.* die hinter der Iris hervorragenden und auf der Krystalllinse aufliegenden *Processus ciliares*, die dadurch, daß ich die eine Hälfte der Iris *q.* hinweggenommen habe, sichtbar werden.



Ganz deutlich erkennt man in der Iris die Quer- und Längensfasern.

Fig. XXXVIII. Verbindung der harten Haut und der durchsichtigen Haut, von vorn oder aussen. Die Cornea wodurch man die Iris und das Sehloch sieht und die Sclerotica sind hier mit einander verwebt.

Fig. XXXIX. Verbindung der Sclerotica und Cornea von hinten oder innen. Die Cornea nämlich legt sich nach innen der Sclerotica schuppenartig an, und bildet dadurch einen Vorsprung, *z*<sup>2</sup>, woran das Ligamentum ciliare festsetzt.

Fig. XL. XLI. XLII. Die Nervenhaut, retina.

Fig. XL. Die ganze Nervenhaut *h. z.*, wie sie den Glaskörper umgiebt und nach vorn bis zur Zonula Zinni *k*, reicht. 5. Der Sehnerv. 6. Der gelbe Fleck, *macula flava*, und das Centralloch, *foramen centrale retinae*.

Fig. XLI. Die Nervenhaut von hinten angesehen. 7. Die Stelle, wo der Sehnerv hinweggenommen ist und die Centralblutgefäße der Nervenhaut eintreten, welche ohne Bezeichnung deutlich erkannt werden.

Fig. XLII. Die Nervenhaut von vorn her, nach abgetragener Cornea und Iris, durch die Linse und den Glaskörper angesehen.

Fig. XLIII. XLIV. Zonula Zinni.

Fig. XLIII. Die natürliche Form und Größe, der Zonula Zinni *l*. — Diese Zonula ist von einem 10 — 12 Wochen alten Kinde, und dabei merkwürdig, daß sie, bei sonst ganz normaler Beschaffenheit des Glaskörpers und der Nervenhaut, hier abnorm beschaffen ist, und zwar eine fast homogene markartige Structur zeigt; wodurch sich die Zonula Zinni als ein selbstständiges, eigenthümliches Organ auf das bestimmteste beurkundet. Man sehe darüber meine Schrift: Ueber das Strahlenblättchen im menschlichen Auge. Bonn 1827 weiter nach.



Fig. XLIV. Ein Theil dieser Zonula Zinnii 220 mal vergrößert. 8. Aeußerer ausgezählter Kreis. 9. Der innere, strahlige Kreis, dessen Strahlen zwischen die Processus ciliares der Membrana Rugschiana liegen oder eingreifen. 10. Pigment, welches bei der Hinwegnahme des Corpus ciliare liegen geblieben ist.

Fig. XLV. Die Krystalllinse von verschiedenen Seiten und *d.* im Durchschnitt.

Fig. XLVI. bis LV. Mikroskopische Untersuchung über einzelne Theile des Auges.

Fig. XLVI. Vorderes Stück der Bindehaut und Hornhaut, aus einem sechsmonatlichen Kinde, 2mal im Durchmesser vergrößert, um der Gefäßverbreitung willen.

Fig. XLVII. Vordere Fläche des vorderen Stückes der Gefäßhaut, Blendung, iris, und Membran des Lichtloches aus einem siebenmonatlichen Kinde. 1. Innere lange Blendungsarterie. 3. Iris. 4. Membran des Lichtloches, membrana pupillaris. 5. Verschiedene Venenwirbel.

Fig. XLVIII. Das Segment der injicirten Iris und Aderhaut des Auges aus einem neugeborenen Mädchen, von der inwendigen oder der Höhle des Augapfels zugewandten Seite, unter 25maliger Vergrößerung des Durchmessers angesehen.

*a.* Natürliche Größe. *b. c. g. e. f. g.* Iris. *b. c. d. e.* Gegend des kleinen Ringes. *d. e. f. g.* Gegend des großen Ringes der Iris. *i. k. l.* Drei vorzüglich große Arterien, die aus dem Circulus arteriosus major ligamenti ciliaris entspringen. *m. n. o. p. q. r. s.* Processus ciliares. *r. s. t. u.* Die Gegend der Gefäßhaut, welche der Ora serrata entspricht. *v. w.* Theil der Aderhaut, an dem die Nervenhaut paßt. 1. 2. 3. 4. Stämmchen der Blutgefäße, die nach innen zu von einem Netze ihrer eigenen feinsten Aestchen größtentheils überzogen erscheinen. 5. 6. 7. Stelle dieses Theiles der



Aderhaut, die sich mit der Figur L., die aus einem Erwachsenen ist, vergleichen läßt.

Fig. XLIX. Vordere oder durch die Hornhaut sichtbare Seite des Segments der Blendung, welches die vorhergehende Figur, von der inwendigen Seite, zwischen *b. c. f. g.* vorstellt. 1.2. Arterien-Kranzast, *circulus iridis major*. 3.4. *Circulus iridis minor*.

Fig. L. Ein Stückchen der inwendigen Fläche der Aderhaut, aus einem erwachsenen Manne in fünf und zwanzigmaliger Vergrößerung des Durchmessers.

Fig. LI. A. B. Vorderer Theil der Aderhaut, mit der Blendung und sogenannten Pupillarmembran, aus dem linken Auge eines siebenmonatlichen Kindes, in viermaliger Vergrößerung. Man vergleiche die Figur 47 damit.

Fig. LII. Hintere Kugelfläche der in ihrer Kapsel eingeschlossenen Linse, aus einem siebenmonatlichen Kinde, dessen Blutgefäße trefflich mit Cinnober angefüllt waren unter viermaliger Vergrößerung im Durchmesser. *a.* Natürliche Größe. *b.* Die Vergrößerung.

Fig. LIII. Inwendige Hohlkugelfläche der Nerven- oder Markhaut des linken Auges, nach gut gerathener Ausspritzung der Arterien desselben, aus einem Kinde, doppelt so groß als natürlich vorgestellt.

Fig. LIV. Ein Stückchen injicirte Mark- oder Nerven- haut des Augapfels, aus einem Kinde, 25mal im Durchmesser vergrößert.

Fig. LV. Oberes Segment der Augenhöhlen, um das untere Band 1. der Thränendrüse 2. das mondformige Band, 3. der Rolle des obern schiefen Augenmuskels, die Rolle 4. für die Sehne 5. desselben Muskels, und den Knorpel 6. der Rolle zu sehen. — *a.* Gehirn-Arterie. *b.* Augenerterie. *c.* Thränendrüsenerterie. *d.* Stirnarterie. *e.* Nasenhöhlarterie. *f.* Sehnerv. Die Knochentheile sind bekannt.



## Zwanzigste Tafel.

### Die Anatomie des Herzens. \*)

Fig. I. und II. Das Herz, cor, in seinem Herzbeutel, pericardium, eingeschlossen, mit den großen Gefäßstämmen, welche zum Herzen gehen und davon kommen.

Fig. I. Von vorn. *A.* Obere Fläche des Zwerchfells. *B.* Der mit Luft aufgeblasene Herzbeutel. *C.* Arteria Aortae, woraus *a.* die Arteria innominata, *b.* die carotis sinistra, und *c.* die Subclavia sinistra entspringen. *D.* Arteriae pulmonalis ramus dexter. *E.* Sinister. *d.* Obliterirter Ductus arteriosus Botalli. *F.* Vena cava superior. *G.* Vena pulmonalis dextra inferior et superior. *H.* Superior vena pulmonalis sinistra. *I.* Stelle, welche der Spitze des Herzens, mucro cordis, entspricht.

Fig. II. Von hinten. *A.* Diaphragma. *B.* Oesophagus. *C.* Vena cava inferior. *D.* Vena cava superior. *d.* Vena azygos. *E.* Arcus Aortae. *F.* Ramus dexter arteriae pulmonalis. *G.* Sinister. *H. I.* Venae pulmonales. *K. L. M. N. O. P.* Superficies posterior pericardii.

Fig. III. Das Herz von vorn und oben mit seinen Gefäßen.

*a.* Rechter Vorhof, Atrium dextrum. *b.* Rechtes Herzohr, Auricula dextra. *c.* Linker Vorhof, Atrium venarum pulmonalium. *d.* Auricula sinistra. *e.* Vena pulmonalis sinistra superior, *f.* inferior. *g.* Vena cava superior. *h.* Hier ist die Arteria pulmonalis hinweggeschnitten, damit der Ursprung der Kranzschlagadern *n. o.* des Herzens deutlich gesehen werden kann. *i.* Arteria Aortae. *n.* Rechte Kranzschlagader des Herzens, Arteria coronaria cordis dextra.

\*) Nach Caldani.



*o.* Coronaria cordis sinistra. *p.* Ramus circumflexus coronarius hujus arteriae. *q.* Venae coronariae magnae ramus anterior. *r.* Vena cordis minor, welche in den Vorhof einmündet.

Fig. IV. Das Herz, von hinten und unten mit seinen Gefäßen.

*a.* Atrium dextrum. *b.* Die abgeschnittene und unterbundene Vena cava inferior. *c.* Cava superior. *d.* Atrium sinistrum venarum pulmonalium. *e.* Auricula sinistra. *f. g. h. i.* Venae pulmonales. *i.* Arteria coronaria dextra, *k. l.* sinistra. *m.* Venae coronariae magnae ramus superior major. *n. n.* Rami alii posteriores minores. *o.* Ramulus ab atrio dextro. *p.* Vena coronaria magna Galeni, welche in den rechten Vorhof einmündet.

Fig. V. Das Herz eines Mannes in seiner natürlichen Lage und mit geöffnetem rechten Vorhof und rechter Herzkammer \*).

*A.* Vena cava superior. *B.* Vena cava inferior. *C.* Der geöffnete rechte Vorhof, atrium venarum cavarum. *a. b.* Auricula dextra. *D.* Die Fossa ovalis im Septrum atriorum. *E.* Die Eustachische Klappe, valvula Eustachii. Zwischen *D* und *E* ist die Ausmündung der Vena cava inferior. *F.* Die Valvula Thebesii. *G.* Die dreizipfliche Klappe, valvula tricuspidalis am Ostium venosum des rechten Herzens. *H. K.* Die Scheidewand der Kammern, septum ventriculorum, von der geöffneten rechten Herzkammer angesehen. *I.* Die Warzenmuskeln, musculi papillares, welche durch filamenta tendinosa mit der Valvula tricuspidalis in Verbindung stehen. *K.* Die Fleischsülchen, trabeculae carnaeae. *L.* Aditus ad conum arteriosum. *M.* Conus arteriosus ventriculi dextri.

---

\*) Diese höchst gelungene Zeichnung und Darstellung verfertigte nach der Natur mein verehrter Freund Prof. Tischbein.



*N.* Arteria pulmonalis. *O.* Arteria Aorta. *P.* Auricula sinistra. *Q.* Ventriculus sinister. *c. d.* Sulcus longitudinalis superior. *e.* Apex seu mucro cordis.

Fig. VI. Die rechte Herzkammer, ventriculus dexter (*E.*) und die Arteria pulmonalis (*D. b. c.*) so geöffnet, daß man die halbmondförmigen Klappen, *valvulae semilunares*, *e. f. g.* am Ostium arteriosum sehen kann. *A.* Superficies cordis superior. *B.* Ejus mucro. *C.* Arcus Aortae. *a.* Ductus arteriosus Botalli. *F. G. K.* Die in die Höhle des Ventrikels hereinragende *Valvula tricuspidalis*.

Fig. VII. Die vier Herzhöhlen von unten und hinten geöffnet.

*A.* Aorta. *B.* Arteria pulmonalis. *C.* Vena cava superior et *D.* inferior. *E.* Atrium dextrum. *e. e.* Auricula dextra. *F. f.* Ein Theil der *Valvula Eustachii*. *G.* Ostium venosum. *g. h. i. i.* *Valvula tricuspidalis*. *k.* *Musculi papillares*, seu *carneae columnae*. *m.* *Trabeculae carneae et retiformis structura*. *N.* Der Weg, welcher zum Ostium arteriorum dieses Ventrikels führt. *O.* *Septum ventriculorum*. *o. o.* *Septum atriorum*. *P.* Durchsichtige Stelle von *Septum atriorum*, welche der ovalen Grube entspricht. *p.* *Plica semilunaris et sinus septi-atriorum*, welche ein Ueberbleibsel der ovalen Klappe und Oeffnung des Foetus ist. *Q.* *Sinus venarum pulmonalium*. *R.* *Ostia venarum palmonalium*. *q.* *Ostium auriculae sinistrae*. *r. s.* *Valvula mitralis*. *S.* *Musculi papillares*. *T.* Der Weg des Blutes zum Ostium arteriosum ventriculi sinistri und somit zur Arteria Aorta. *t.* *Trabeculae carneae*. *V. V. V. V.* *Crassities parietum utriusque ventriculi*.

Fig. VIII. Die linke Herzkammer und die Aorta von oben und vorn geöffnet.

*A.* *Superficies ventriculi posterioris seu aortici interior*. *B.* *Valvula mitralis*. *a.* *Musculi papillares*. *b.* *Fila tendinea*.



*c.* Trabeculae carnae. *C.* Ostium arteriosum Aortae. *D.*  
*E. F.* Valvulae semilunares. *e. e. e.* Sinus Valsalvae seu  
valvularum semilunarium, worin sich die Oeffnungen der  
beiden Kranzschlagadern des Herzens, *f.* der hintern, und  
*g.* der vordern, befinden. *h.* Noduli Arantii, die sich in  
der Mitte des callosen Randes der Klappen befinden. *G.*  
Aorta discisa. *H.* Arteria pulmonalis truncata. *I.* Auricula  
sinistra. *K.* Dicke der Wandungen der hintern Herzkammer.  
*L.* Vena cava superior et *M.* inferior.

---



## Ein und zwanzigste Tafel.

Fig. I. bis XXI. Ueber den Kreislauf des Blutes beim Foetus\*).

Fig. I. *a.* Stellt die Valvula Eustachii im rechten Herzvorhofe (1) in ihrer weitesten Ausdehnung dar und zeigt ihre beiden Befestigungspunkte und ihr Verhältniß zu der Valvula ovalis (*b*), welche hinter der durch die Vena cava inferior (3) geführten Sonde, aus dem linken Atrium her, sichtbar ist. Um die Darstellung mit gehöriger Deutlichkeit zu geben, war es nöthig und unvermeidlich das Herz stark seitwärts hinzubewegen, weswegen sowohl die Klappen selbst als auch das Foramen ovale etwas gespannt erscheinen. Zu gleicher Zeit ist auch zu bemerken, daß die Zeichnung nach dem Herzen gefertigt wurde, welches in natürlicher Gröfse Fig. XXI. abgebildet ist. Da nun aber in einem so kleinen Raume unmöglich jene Deutlichkeit erreichbar war, welche so wünschenswerth ist, so wurde das ganze häutige Gebilde genau in denselben Verhältnissen und mit der größten Genauigkeit in ein weit älteres Herz hineingezeichnet. Herzen von beinahe reifen Früchten wurden darum nicht gewählt, weil in ihnen die Valvula Eustachii schon manche Veränderung in Form und Lage erlitten hat. — 2. Vena cava superior.

Fig. II. Zeigt an demselben Präparate im linken Vorhofe (1) die Valvula foraminis ovalis (2).

Fig. III. Das Herz eines Foetus von 8 Monaten, welches eine Abweichung in der Form und Lage der beiden wich-

---

\*) Nach H. Fr. Killian: Ueber den Kreislauf des Blutes, im Kinde, welches noch nicht geathmet hat. Mit 10 lithographirten Tafeln. Karlsruhe. 1826.



tigsten Klappen der Vorhöfe zeigt. *a.* Valvula Eustachii. *b.* Valvula foraminis ovalis. *c.* Valvula Thebesii. Man vergleiche Fig. I. damit. 1. Vordere Fläche der Leber.

Fig. IV. Gibt eine Ansicht der linken Herzhälfte desselben Herzens. Man vergleiche Fig. II. damit. Zugleich stellt diese Figur das Verhältniß des Ductus venosus Arantii zur Nabelvene und der Vena portarum dar. — *a.* Vena umbilicalis. *b.* Vena portarum. *c.* Ductus venosus Arantii. *d.* Ramus dexter venae umbilicalis. *e.* Vena cava inferior. 1. Venae pulmonales. 2. Hintere Fläche der Leber.

Fig. V. Der Zweck dieser Abbildung ist es zu zeigen, wie das gegenseitige Verhältniß der Vena cava inferior (1) und superior (2) ist, und wie die Vena umbilicalis (3), der Ductus venosus Arantii (4) und die Vena portarum (5) in der Leber verlaufen. Der Foetus ist von hinten geöffnet, und die Wirbelsäule daher hinweggenommen.

Fig. VI. Ansicht der hintern Fläche des Herzens eines fast völlig reifen Schaafsfoetus. Die Vena cava inferior ist da, wo sie zum Herzen tritt, aufgeschnitten und man sieht ganz deutlich ihre beiden Mündungen, nämlich eine größere (*a*) in den linken Vorhof führende und eine kleinere (*b*), welche in das rechte Atrium leitet. Beide Oeffnungen werden durch eine Scheidewand geschieden und stehen durchaus in keiner Verbindung.

Fig. VII. Das rechte Atrium desselben Herzens eröffnet. Man sieht durchaus keine Spur einer Valvula Eustachii, sondern die Vena cava inferior (durch welche hier eine Sonde geführt ist) öffnet sich, nachdem sie einen kurzen rechten Gefäßkanal gebildet hat, mit einer deutlich sichtbaren, vollkommen gut gebildeten Gefäßmündung in den rechten Vorhof. Unter dieser rechten Mündung der unteren Hohlvene, sieht man eine kleinere, welche die Oeffnung der Vena magna Galeni ist, welche durchaus unbedeckt erschien.



Fig. VIII. Zeigt den linken Herzvorhof desselben Schaafsfoetus-Herzens. Es gibt hier kein Foramen ovale in dem Sinne, wie wir es im Menschen zu finden gewohnt sind und mithin auch keine Klappe dieses Loches. Statt dessen aber sieht man ein aus ungemein dünnen Wandungen bestehendes, mit der Wand des Herzvorhofes von der einen Seite durch sehr zartes und sehr leicht trennbares Zellgewebe verbundenes, ringsum fest geschlossenes und abgekränzt Gefäß, welches genau die hier dargestellte Länge hat und dessen freier Rand sehr schön filetartig durchbrochen ist, eine deutlich gebildete Gefäßmündung darstellt, und eine Fortsetzung der Tunica intima Venae cavae ist.

Fig. IX. Herz eines Halbsfoetus von der Größe einer Ratte. Es ist dasselbe hauptsächlich in so fern merkwürdig, als der in den linken Vorhof fortgesetzte Zweig der untern Hohlvene, welchen wir in der vorigen Figur näher kennen gelernt haben, hier vorne ganz geschlossen ist und völlig so aussieht, wie der Finger eines Handschuhes, blos an dem freien Ende dieses Gefäßes sind mehrere kleine Oeffnungen durch welche das Blut wie durch ein Sieb hindurchdrang.

Fig. X. und XI. Sind zwei Ansichten der großen aus dem Herzen des vollkommen reifen Foetus tretenden arteriellen Gefäße. In beiden sieht man, wie die Arteria pulmonalis (1) und Aorta abdominalis (2) ein und dasselbe ununterbrochen verlaufende Gefäß sind, und in beiden ist die Stelle näher bezeichnet (a), wo der nach oben aus dem linken Herzventrikel sich von dem nach unten aus der rechten Herzkammer gehenden arteriellen Kreislauf scheidet und wo die Aorta viel enger ist. 3. Ductus Arteriosus Botalli.

Fig. XII. Giebt eine Ansicht der Valvula foraminis ovalis des reifen Foetus in ihrer vollkommen normalen Lage, so wie sie bei naturgemäßer Stellung des Herzens, während des Durchgangs einer Flüssigkeit durch das eirunde Loch ausgedehnt erscheint.



Fig. III. Ist das Herz eines Kindes, welches fünf Tage gelebt hat. Der Ductus arteriosus Botalli ist noch nicht geschlossen, wohl aber an der Stelle, wo er sich in die Aorta senkt, etwas enger geworden: dagegen hat aber die A. pulmonalis verhältnißmäßig an Ausdehnung gewonnen und die Aorta zeigt in ihrem ganzen Verlaufe nichts mehr der Fig. X. und XI. mit *a.* bezeichneten verengten Stelle.

Fig. XIV. Giebt eine allgemeine Uebersicht des ganzen Kreislaufes im Foetus. 1. Vena cava superior. 2. Vena cava inferior. 3. Vena umbilicalis mit ihren Verzweigungen in dem Mutterkuchen, placenta. 4. Ductus venosus Arantii. 5. Vena portarum. 6. Arteria pulmonalis. 7. Ramus sinister. *a. p.* 8. Ductus arteriosus Botalli. 9. Arcus Aortae, woraus drei Stämme entspringen, und zwar: 9<sup>1</sup>. Arteria anonyma. 9<sup>2</sup>. Carotis sinistra. 9<sup>3</sup>. Subclavia sinistra. 10. Aorta thoracica. 11. Aorta abdominalis. 12. A. coeliaca. 13. A. meseraica superior. 14. inferior. 15. A. iliaca communis. 16. A. curalis. 17. A. hypogastrica. 18. A. umbilicalis. *a.* Cor. *b.* Hintere Fläche der Leber. *c. d.* Nieren und Nebennieren. *e.* Mutterkuchen, placenta.

Fig. XV. bis XXI. Enthält eine Reihe von Abbildungen, welche zu der Entwicklungsgeschichte des Herzens gehören. Fig. XV. Stellt das Herz in seiner frühesten, beim menschlichen Foetus beobachteten Form dar. Es ist verhältnißmäßig überaus groß, nimmt die ganze Brusthöhle ein und hat eine senkrechte Stellung. Fig. XVI. und XVII. Sind zwei aus Panders Werk entlehnte Abbildungen. Sie zeigen das Herz des Hühnchens im Eye, ungefähr am dritten Tage der Bebrütung. Die 16. Fig. giebt eine Ansicht von oben, während es in Fig. 17. von der Seite gesehen dargestellt ist. *a. a.* Venenzweige. *b.* Die Stelle, wo dieselben in das Herz eintreten. *c.* Die Spitze des Herzens. *d.* Der Bulbus, aus welchen die drei Arterienstämme (*c.*)



entspringen. *f.* Aufsteigende Aorta. *g.* Die beiden längs des Rückgrates herablaufenden Hauptäste.

Fig. XVIII. und Fig. XIX. Diese beiden Darstellungen sind nach Meckel, jedoch mit einiger Abänderung entworfen, und sind Herzen von nicht sehr vorgerückten Entwicklungsstufen. Fig. 18. giebt das Herz eines vierwöchentlichen und Fig. 19. eines fünfwöchentlichen Embryos. Wie sehr ersteres das letztere an Ausbildung überflügelt hat, ist deutlich ersichtbar. *a.* Die rechte, *b.* die linke Herzkammer. *c.* Aorta. *d.* die rechte, *e.* die linke Herzvorkammer.

Fig. XX. Ist das Herz einer zwei und ein halb Monat alten Frucht, an welchem man sehr deutlich die gabelförmig gespaltene Spitze des Herzens und das sehr bedeutende Vorwalten der Herzvorkammern erkennt.

Fig. XXI. Das Herz einer Frucht zu Anfang des vierten Monates. Dasselbe hat hier schon seine vollkommene äußere Form erlangt, und die Valvula Eustachii so wie die Valvula foraminis ovalis sind jetzt am schönsten und vollkommensten gebildet. Die beiden ersten Figuren sind nach diesem Herzen gefertigt.

---

Fig. XXII. zeigt nach S ö m m e r i n g, \*) einen fünfmonatlichen Foetus mit dem Mutterkuchen und seinen Eyhüllen. *a.* Placenta. *b.* tunica externa seu chorion fungosum seu membrana decidua Hunteri. *c.* tunica secunda s. chorion proprie sic dictum. *d.* tunica tertia s. intima s. Amnios.

Fig. XXIII. bis XXVIII. Ueber die Nerven der Placenta und des Nabelstranges bei Thieren. Aus den Philosophical Transactions etc. for the year 1825. Part I. genommen, und

---

\*) S. Th. Soemmering icones Embryonum humanorum. B. ad. M. 1799.



gehören zu der Croonian Lecture : On the existence of Nerves in the Placenta. By Sir E. Home, Bart. von pag. 66—86.

Fig. XXXIII. Ein kleines Stück von der Placenta eines Seekalbes. Das Chorion überdeckt noch die Nachgeburt und durch dasselbe schimmern die injicirten arteriellen und venösen Gefäße: in den Falten der Aderhaut aber liegen die Nervenverästelungen. Die Vergrößerung beträgt vier Durchmesser.

Fig. XXIV. Ein transversaler Durchschnitt der Placenta in der Vergrößerung von zehn Durchmesser. Man erkennt die Structur sehr genau und unterscheidet auf den ersten Anblick die Nervenfäden 11. *a. a. b. b. c. d.*

Fig. XXV. Macht die Art, wie sich die Arterien des Nabelstranges in dem Chorion zu verästeln beginnen, und sich dann in die Tiefe des Gewebes der Placenta zu senken, anschaulich. Die Nerven sind ungemein deutlich. — Vergrößerung zwei Durchmesser.

Fig. XXVI. und XXVII. Ein einzelner Floculus isolirt dargestellt in einer Vergrößerung von zehn Durchmesser.

Man sieht sehr genau den Endzweig der Arteria umbilicalis und die mit derselben verlaufenden Nervenfäden. — *A.* sind die *perilli* und *B.* ist die Oberfläche des Chorions

Fig. XXVIII. Zeigt einen Theil des Chorions des Tapir aus Sumatra, von der Uterinoberfläche angesehen und in seiner natürlichen Größe. Die Nervenfäden sind ungemein deutlich.

Fig. XXIX. bis XLI. Abbildungen über die Gefäßverbreitung zwischen Mutter und Frucht in den Säugethieren. Von B. C. von Baer. Leipzig. 1828.

Von Baer sagt Seite 27 §. 37 in seiner Schrift: Weil in späterer Zeit die Gefäße des Chorions theils eng an den Gefäßen der Mutter anliegen, theils in denjenigen Formen



des Eies, in denen der kindliche und mütterliche Theil der Placenta verwachsen und übereinander greifen, könnte man glauben, daß dann in dieser spätern Zeit ein unmittelbarer Uebergang sich finde, und diese spätere Zusammenmündung ist es eigentlich, welche man als streitigen Gegenstand behandelt hat. Für dieses Ziel der ganzen Untersuchung habe ich nun folgendes zu bemerken:

1. Daß ich nirgend einen Uebergang der Gefäße finden konnte. 2. Daß er bei den Säugethieren, wo der Fruchtkuchen mit dem Mutterkuchen bloß zusammenhängt und gürtelförmig ist, unmöglich ist. 3. Daß auch da, wo der mütterliche und kindliche Theil des Fruchtkuchens verwachsen sind, die Gefäße sich vorbeigehen, so daß die mütterlichen Gefäße in den Theil des Fruchtkuchens sich verbreiten, der unmittelbar mit dem Chorion zusammenhängt, die kindlichen Gefäße sich dagegen in die Masse ausbreiten, welche dem Fruchthälter zunächst liegt, ohne Uebergang eines Gefäßes in das Andere. Und §. 38. Endlich glaube ich nachweisen zu können, daß nicht nur keine Nöthigung für die Zusammenmündung der Gefäße, sondern vielmehr ein Hinderniß dagegen da sei. Betrachtet man eine völlig ausgebildete Zotte aus einem Fruchtkuchen des Schafes mit der ungeheuren Masse von Gefäßen, die ganz dicht an der Oberfläche liegen, und das eben so reiche Gefäßnetz in dem Fruchtkuchen desselben Thieres, und bedenkt man, daß um diese Zeit keine ausgeschiedene Masse mehr zwischen ihnen liegt, so ist es auffallend, wie die ungeheure Masse von Blutwegen dicht an einander liegen, nur durch zwei dünne Blättchen getrennt, die zusammen wohl nicht eine Achtel Linie betragen, ohne in einander überzuliessen. Wäre eine Neigung zur Zusammenmündung da, so müßte die Zwischenmasse überwunden werden. (Diese Meinung hege ich um



so mehr, da ich mehrmals Gelegenheit gehabt habe, zu sehen, daß die Blutgefäße aus der organisirten Masse hervortreten, um in eine bloß ausgeschiedene zu gehen, und diese eben dadurch in die Sphäre des Organismus zu ziehen.) Dennoch zieht der mütterliche Körper das Blut des Embryo an. Die rasche Anlagerung der Nabelgefäße an das Exchorion spricht deutlich dafür. Aber die in die Nähe gerückten Blutmassen müssen sich wieder abstossen und sich gegenseitig umzukehren zwingen. Daher überall Netze, wo Fruchthälter und Chorion eng aneinander liegen. Das ist so auffallend, daß die Netze sogleich schwinden, wo beide Theile sich trennen. So sind keine Netze, sondern nur einzelne Gefäße auf den glatten Enden des Eies vom Hunde, keine Netze auf den append. allantoides der Huftbiere. Ja, die Netze schwinden am Eie des Schweines in der Nähe der Narbe, da, wo schon der Fruchtkuchen sich zu bilden angefangen hatte, wenn diese Enden aus der engen Verbindung mit dem Fruchthälter treten, und die Gefäße laufen nun einfach geschlängelt in der Ebene fort. Der Anfang dieser Umbildung ist Fig. XXIX. schon kenntlich. Was sagt uns aber die Netzbildung, die überall sich findet, wo Fruchthälter und Ei sich berühren, anders, als das alles Blut, angezogen vom gegenüberliegenden, sobald es dessen Nähe erfahren hat, auf dem nächsten Wege umkehren muß; und das heißt wieder nichts anderes, als daß hier eine Wechselwirkung ist, die wir mit dem Athmen vergleichen müssen, nämlich eine Umänderung in der Natur des Blutes.

Diese Zeilen mußte ich vorausschicken, um die folgenden Figuren zu verstehen. NB. Das Maafs der Vergrößerung ist für jede einzelne Abbildung durch eine eingeschlossene Zahl angegeben. Wo diese fehlt, ist keine Vergrößerung.



Fig. XIX. Ein Theil vom Eie des Schweines von fünf Wochen. *a. b.* Chorion. *a. c.* Der Theil desselben, welcher sich zum Fruchtkuchen ausbildet. *b. e.* Der äußere Theil, aus welchem die Zotten später verloren gehen. *b. c.* Zipfel des hervorgebrochenen Harnsackes. *b.* Narbe an der Stelle des Durchbruches. *d.* Ein Gefäß, das über die Narbe hinausgeht.

Fig. XXX. Ein Grübchen des Chorions mit der Umgebung aus der vorigen Abbildung. *a.* Dazu gehöriger Venenast. *b.* Netze in den Zottenfalten, die durch die Venen gefüllt sind. *c.* Werdendes Netz in einer Verbindungsfalte. *d.* Rand eines Grübchens.

Fig. XXXI. Ein Stückchen des Fruchtkuchens von einem fast reifen Schweines-Embryo, so gestellt, daß die Reihen der zapfenförmigen Zotten von oben nach unten laufen. Die Anfüllung ist theils von den Arterien, theils von den Venen bewirkt. *a.* Eine Zotte, deren Netz durch die Arterien, die abführenden Kanäle durch die Venen gefüllt werden. *b. c.* Zusammenhängende Zotten, deren Netze theils durch die Arterien, theils durch die Venen gefüllt sind. *d.* Eine Zotte, deren Netz zur Hälfte von den Arterien und zur Hälfte von den Venen gefüllt ist.

Fig. XXXII. Spitze einer Zotte aus dem Fruchtkuchen des Schafes aus späterer Zeit.

Fig. XXXIII. Dieselbe aus früherer Zeit.

Fig. XXXIV. Theil des Gefäßnetzes, welches die Fläche des Fruchtkuchens der Kuh überzieht.

Fig. XXV. und XXXVI. Zotten vom Fruchtkuchen des Schafes vom ersten Drittheile der Entwicklung. *a.* Ein Arterienästchen des Fruchthälter, welches in die Zotten sich einsenkt.



Fig. XXXVII. Gefäßnetz aus dem zottenlosen Theil des Chorions vom Schafe. *a.* Falten-Häufchen. *b. c. d.* Uebergänge des Netzes in Venen.

Fig. XXXVIII. Ein Paar nicht gefüllter Zotten vom Fruchtkuchen des Hundes, umspinnen von Uteringefäßen.

Fig. XXXIX. Stück der Placenta des Hundes nach der Anfüllung der Uteringefäße, von der innern Fläche gesehen. *a.* Ast der Nabelarterie. *b.* Ein Theil von welchem die innere Bekleidung abgetrennt ist.

Fig. XL. Ei des Hundes von dem Fruchthälter zum Theil getrennt. *a.* Durch Abtrennen bloßgelegte Muskelhaut des Fruchthälters. *b. c.* Enden des Schnittes in dem Fruchthälter. *d. e.* Enden des Eies. *f.* Placenta. *g. g.* Grüne Masse an den Enden der Placenta. *g. c. g. d.* Zottenlose Theile des Chorions.

Fig. XLI. Zotte vom Fruchtkuchen des Hundes aus der Mitte der Foetus Periode.

---



## Zwei und zwanzigste Tafel.

### Anatomie der Ernährungsorgane.

Fig. I. Ex historia systematis salivalis, Auctore Jo. Barth. Siebold. A. Nach vorne gewendetes Ohrläppchen. B. Jochbogen C. Unterkiefer. D. Os hyoideum. E. Ohrspeicheldrüse, parotis. F. Ductus Stenonianus. G. Unterkieferdrüse, glandula submaxilaris. H. Glandulae labiales superiores et I. inferiores. K. Ein Theil der Glandula thyreoidea. M. Musculus masseter. L. buccinator. N. Zygomaticus major. O. orbicularis palpebrarum. P. levator anguli oris. Q. orbicularis oris. R. depressor anguli oris discissus. S. quadratus menti. T. temporalis. U. attolens auriculae. V. retrahentes auriculae. W. occipitalis. X. platysmamyoides cuti reclinatae insertus. Y. sterno-cleido-mastoideus. Z. Z. omohyoideus *a.* hyothyreoideus. I. sternothyreoideus. *c.* sternohyoideus. *d. d.* biventer cervicis. *e.* splenicus capitis. *f.* levator scapulae. *g.* scaleni. *h. h.* Truncus carotidum communis, *i.* Carotis externa. *k.* interna. *l.* Arteria thyreoidea superior. *m.* A. maxilaris externa. 1. ramus ad M. triangularem menti et platysma myoideum. 2. 2. rami masseterici. 3. Arteria submentalis. 4. A. labii inferioris. 5. A. coronaria labii inferioris. 6. coronaria labii superioris. 7. nasalis lateralis. 7. inferior et media. 8. ramus anastomoticus, cum arteria infraorbitali. *n.* A. occipitalis. *o.* auricularis posterior. *q.* auricularis inferior ex posteriori. *p.* ram. massetericus trunco carotidis externae. *r.* A. transversa faciei. 10. ram. massetericus. 11. 11. rami ad laminam aponeuroticam M. temporalis. *r.* A. temporalis superficialis. *r*<sup>1</sup> temporalis media. *r*<sup>2</sup> auricularis superior. *r*<sup>3</sup> temporalis superficialis posterior. *r*<sup>4</sup> temporalis superficialis anterior. 5. A. infraorbitalis. *t.* Ram. arteriae palpebralis inferioris



u. A. mentalis. v. A. cervicalis adscendens. w. A. thyreoidea inferior. x. Nervus occipitalis major aus dem zweiten Cervicalpaar. y. Fasciculus nervorum cervicalis paris tertii: 12. Nervus occipito-auricularis recurrens. 13. N. subcutaneus collimedius superficialis minor. 14. N. auriculae medius. 15. N. subcutaneus colli magnus profundus. 16. ramus ejus superior et adscendens. 17. ramulus ejusdem externus. 18. ramulus internus. 19. Filamenta nervea, quae substantiam parotidis intrant. 20. nervus ramuli interni cum duri ramo anastomotico colli superiori communicans. 21. ramulus superior adscendens rami inferioris ex subcutaneo colli magno profundo. 22. Fasciculus nervorum cervicalis quintus. 24. N. temporalis superficialis ex ramo tertio quinti paris. 25. Rami auriculares anteriores ex eodem. 26. Ram. temporalis ex nervo duro parotidem perforans. 27. Ramulus anastomoticus cum ramo temporali superficiali. 28. Ram. zygomaticus ex duro. 29. facialis superior ex eodem. 30. Facialis medius ex eodem. 31. Tres rami ex ramo faciali inferiori nervi duri. 32. Ram. duri anastomoticus colli superior. 33. ramus ejusdem superior cum ramo facialis inferioris ex duro communicans. 34. ramus inferior. 35. ramulus ex eodem nervos exhibens ad muscolum triangularem quadratum, platysmamiodeum et eutem. 36. ramulus alter cum ramo adscendente et descendente nervi subcutanei colli medii profundi per anastomosim confluens. 37. Nervi duri ramus occipitalis. 38. ramus nervorum temporalium cutaneorum, qui exit per incisuram aponeuroseos muscoli temporalis, et cum ramo zygomatico ex duro communicat. 39. N. Infraorbitalis una cum ramis glandulas labiales superiores versus tendentibus. 40. N. mentalis s. alveolaris inferior, welcher durch das foramen mentale tritt, und sich in vier Zweige theilt, wovon drei zu den untern Lippendrüssen gehen, der vierte aber mit dem untern Gesichts-Ast des N. facialis s. durus anastomosirt.



Fig. II. *a.* Meatus auditorius cartilagineus. *β.* Processus styloideus et *α.* mastoideus. *d.* Cornu majus ossis hyoidei. *e. f.* Der Unterkiefer, wovon ein grosser Theil entfernt wurde. *g.* Aspera arteria. *h.* Die gegen die linke Seite hingezogene Zunge. *i.* frenulum linguae. *k.* Ein Theil der Ohrspeicheldrüse. *l.* Ductus Stenonianus cum radicularibus majoribus. *m.* Wie dieser Gang durch das Fett zum Musculus buccinator verläuft, diesen dann durchbohrt und so in die Mundhöhle einmündet. *n.* Glandula parotis accessoria. *α.* Dessen Ausführungsgang, welcher in den Ductus Stenonianus einmündet. *ο.* Glandula submaxillaris cum sublinguali cohaerens. *p. p.* Ductus Whartonianus, welcher sich aus der Unterkieferdrüse mit vier Wurzeln entwickelt. *β.* Dessen Ausmündungsstelle, wodurch eine Haar-Sonde geführt ist. *q. q.* Glandula sublingualis. *γ. γ. γ.* Neue Haarborsten, welche die Ausmündungen der Ausführungsgänge der Zungendrüse angeben. *r.* Glandula thyreoidea. *s.* Musculus zygomaticus major. *l. t.* Mafseter. *u. u.* Sternocleido. *v.* Styloglossus. *w.* Stylohyoideus. *x.* Vorderer und *y.* hinterer Bauch des M. digastricus maxillae. *z.* Rectus capitis anterior major. *A.* Levatoris anguli scapulae pars superior. *B.* Scaleni anterioris pars. *Γ.* Obliquus capitis superior. *Δ.* Obliquus capitis inferior. *E. E.* Mylohyoideus. *Z.* Geniohyoideus. *H.* Hyothyreoideus. *Θ.* Sternothyreoideus. *K.* Sternohyoideus. *Λ.* Omohyoideus dextri et sinistri lateris. *M.* Truncus carotidum communis dexter et *N.* sinister. *Ξ.* Carotis interna. *τ.* Carotis externa. *P.* Arteria thyreoidea superior. *Σ.* Truncus arteriae maxillaris externae. *δ.* Verbindungszweig mit der A. alveolaris inferior. *ε.* Ram. ad styloglossum. *ϕ.* ad glandulam sublingualem. *ν.* Hier ist die Arteria maxillaris externa durchschnitten. *Φ. α.* submentalis. *η. η.* Rami ad glandulam sub-



maxillarem.  $\theta. \theta. \theta.$  ad sublingualem.  $\psi.$  a. occipitalis  $\kappa.$   
Ram. auricularis posterior.  $\lambda.$  a. stylomastoidea.  $\mu.$  Rami  
ad M. sternocleidomastoideum.  $\nu.$  auricularis anterior.  $\xi.$   
auricularis superior.  $\pi.$  temporalis superficialis.  $\zeta.$  tem-  
poralis media.  $\varsigma.$  temporalis superficialis posterior.  $\tau.$  an-  
terior.  $\upsilon.$  a. transversa faciei.  $\phi.$  Ramus ad masseterem.  
 $\chi.$  ad temporalem et orbicularem palpebrarum  $\psi.$  ad pa-  
rotidem accessoriam.  $\omega. \omega. \omega.$  rami ex carotide externa ad  
parotidem. 1. Nervus temporalis superficialis ex ramo ter-  
tio quinti paris retro arteriam temporalem progrediens. 2.  
N. auricularis ex eodem. I. N. durus seu communicans faciei.  
3. ejusdem ram. temporalis. 4. 5. ramuli, qui temporalem  
nervi duri cum temporali ex tertio quinti paris conjungunt.  
6. Zygomaticus. 7. facialis medius. 8. N. ex faciali supe-  
riori duri ad glandulam parotidem accessoriam. 9. N. fa-  
cialis superior. 10. N. facialis inferior. 11. R. auriculares  
posteriores ex duro. 12. R. ex duro ad muscoli digastrici  
ventrem posteriorem. II. Par cervicale primum. III. Par  
cervicale secundum. 13. Anastomoticus inter par cervicale  
secundum et accessorii ramum exteriorem. 14. R. anasto-  
moticus cum ramo descendente ex hypoglosso. IV. Par  
cervicale tertium. 15. R. anastomoticus cum ramo descen-  
dente ex hypoglosso. V. Par cervicale quartum. VI. Par  
cervicale quintum. VII. N. intercostalis seu sympathicus  
maximus. VIII. N. vagus. IX. N. hypoglossus. X. ejusdem  
ramus descendens. XI. Ramus laryngeus des Vagus. XII.  
Nervi accessorii filamenta, die sich in den Sternocleidoma-  
toideus verbreiten. XIII. N. lingualis quinti paris. 16. rami,  
ad glandulam submaxillarem ex eodem. 17. ramus mylo-  
hyoideus ex ramo descendente alveolaris inferioris. 18.  
Nervi molles carotidem externam concomitantes. 19. 19.  
N. molles arteriam maxillarem externam et submentalem



obducentes. XIV. Ramus superior s. ascendens subcutanei colli magni profundi. 20. ramulus ejusdem externus. 21. internus et cum duro anastomoticus. 22. N. auriculae medius. XV. Ram. inferior seu descendens subcutanei colli magni profundi. 23. ejusdem ramulus superior cum nervo duro anastomoticus. 24. ramulus anastomoticus.

Fig. III. Lage der Unterkiefer- und Zungendrüse.

A. B. Limbus maxillae inferior. C. Os hyoideum. D. Cartilago thyreoidica. E. Cartilago cricoidea. F. Anfang der Luftröhre. G. Masseter. H. H. Geniohyoidei. I. Genioglossi. K. Sternocleidomastoidei. L. Truncus carotidum communis. M. Venae jugulares. N. Portio parotidum inferior. o. Hyoglossus. P. Glandulae submaxillares. Q. Glandulae sublinguales. a. a. Nervus hypoglossus. b. b. N. gustatorius ex tertio ramo quinti paris.

Fig. IV. Die Mundhöhle und besonders das Gaumensegel.

A. Labium superius. B. inferius. C. Anguli oris dissecti. D. Frenulum labii inferioris. E. superioris. F. Lingua. G. Die vordern Bögen des Gaumensegels, arcus glosso-palatini. s. columnae anteriores veli palatini. H. Die hintern Bögen des Gaumensegels, pharyngopalatini s. columnae posteriores. I. Zäpfchen, uvula. K. Linea alba s. raphe. L. Mandeln, tonsillae. m. Glandulae labiales.

Fig. V. Die Muskeln des Gaumensegels von der Mundhöhle aus präparirt.

A. a. b. c. d. Linguae dorsum. e. f. Glandula sublingualis. g. Epiglottis. B. h. h. Velum palatinum. i. i. k. Die Mandeln. C. D. Die durchsägten Unterkieferäste. E. Mus-



culus styloglossus. F. Pterygoidei interni. G. Mylopharyngei. H. Pars membranae oris. *m.* hamuli pterygoidei von welchen vorzugsweise die Musculi *n. n.* pterygopharyngei entspringen. I. Musculi circumflexi veli palatini. K. *l.* Pharyngostaphylini seu palatopharyngei. L. Salpingostaphylini s. levatores veli palatini. *o. o. o.* Glossopalatini. \*\* Dessen Fasern, welche zu den Gaumenbeinen gehen. *p.* Der Theil des M. buccinatorius, welcher von dem hamulus pterygoideus entspringt. M. N. O. Palatum stabile. M. Ossa palatina.

Fig. VI. Die Muskeln des Gaumensegels von der Schlundhöhle aus präparirt.

A. Die hintere Wand des Schlundes ist in der Mittellinie durchschnitten und zur Hälfte zur Seite geschlagen. B. Nasenscheidewand. C. Choanae. D. Anfang der knorpeligen Eustachischen Röhre. E. Levatores veli palatini. F. Musculus azygos uvulae. G. H. *d. e.* Pharyngopalatinus. *f.* Salpingopharyngeus. I. Lingua. *g.* Torsillae seu amygdalae. K. Epiglottis und Eingang in die Höhle des Larynx. H. Stimmritze oder mittlere Apertur der Höhle des Larynx. *h.* Vorhalle des Larynx. M. N. Fortsetzung der Schlundhöhle. O. Stylopharyngeus. P. Styloglossus Q. Stylohyoideus.

Fig. VII. VIII. IX. X. Muskeln des Schlundes. Constrictores pharyngis inferioris, medii et superiores.

Fig. VII. A. Der oberste Theil des Schlundes. B. An der rechten Seite ist dieser Theil durchschnitten und umgeschlagen, wodurch man die Extremitas cartilaginea *a.* tuba Eustachiana, in welcher eine Sonde *b.* sich befindet, und die rechte Choana *d.* sichtbar wird. *c.* Septum narium. C. C. Musculi pterygopharyngei fibrae: *e. e.* die



übrigen aufsteigenden Fasern desselben Muskels, welche von den Häkchen der processuum pterygoideorum entspringen. *f.* linea media seu alba. D.D. Mylopharyngci. *g.* Processus styloideus ossis temporum, E. Stylopharyngci. F. Styloglossus. G. Glossopharyngci. *h.* Besonderer Muskel-Bündel. H. Stylohyoideus. I. Biventer. K. Cornua ossis hyoidei. L. Hyopharyngci. M. thyreopharyngci. N. *z.z.k.l.* Cricopharyngci. O. Oesophagus. *v.* Aspera arteria. P. Lobuli glandulae thyreoideae. *o.* Circumflexus palati. *p.* Salpingostaphylinus. Q. Glandula maxillaris. R. Inferioris maxillae angulus posterior. S. Pterygoideus internus. T. Masseter. U. Parotis glandula.

Fig. VIII. *a.a.b.c.* Mittlere Schlundschnürer, Constrictores pharyngis medii, welche erst ganz sichtbar werden, wenn der untere Schlundschnürer hinweggenommen ist. *d.e.f.* Oberer Schlundschnürer, constrictores superiores. *g.h.i.* Membrana pharyngis nuda. *k.k.* Levatores veli palatini. *l.l.* Circumflexi palati molli. *m.n.* Processus styloidei ossium temporum. *o.p.q.r.* stylopharyngci. *s.s.t.u.v.w.x.y.* Muskelbündel der gemeinschaftlichen Enden der M.M. stylopharyngci und palatopharyngci, welche sich theils unter sich *t.u.* verbinden, theils in den häutigen Theil des Schlundes *u.v.* sich verlieren; theils *v.w.x.y.* sich an die Cartilago thyreoidea anheften. *z.* Die bloße Haut des untersten Theiles des Schlundes. A. Cornua extrema ossis hyoidis. B. Ligamenta hyothyreoidea lateralia. C.D.E.F. Cartilago thyreoidea. G. Cartilago cricoidea. H. Arteria aspera.

Fig. IX. Hier sind die Constrictores medii hinweggenommen, damit man *a.b.c.d.e.f.g.* die Constrictores superiores ganz übersieht. *a.* pars inferior, welche die Pars superior *b.* bedeckt. *c.* Die Portion, welche vom Buccinator, und *d.* die, welche vom Unterkiefer getrennt ist. *e.*



Muskelbündel, die zwischen den Muskelbündeln des Stylopharyngeus verlaufen. *f.* mucro superior. *h.* Membrana nuda pharyngis. Die übrigen Theile sind schon aus der vorhergehenden Figur bekannt.

Fig. X. An dieser Figur sind nun auch die Constrictores superiores abgetragen, um die Endigungen der Musculi stylopharyngei und palatopharyngei vollkommen zu übersehen. 1.1. Palatopharyngei. Alle übrigen Theile sind schon aus den beiden vorhergehenden Figuren bekannt.



## Drei und zwanzigste Tafel.

### Zur Anatomie der Ernährungsorgane:\*)

Fig. I. Stellt den Verlauf der Muskelfasern des Magens dar. Der Magen ist mit Luft gefüllt und das Bauchfell, peritoneum, ist aufgehoben und zurückgeschlagen.

A. Oesophagus. B. Saccus caecus ventriculi. C. Gegend des Pförtners. D. Intestinum duodenum. E. Bauchfell, peritoneum. F. Fibrae longitudinales, welche unmittelbar unter dem Bauchfell liegen. G. Circulares fibrae, welche unter den vorhergehenden liegen. H. Die innersten Fasern, welche schief verlaufen. I. Portio duodeni.

Fig. II. Die Höhle des Magens, cavum ventriculi.

A. B. Ut in Fig. I. C. Arcus major seu fundus ventriculi. D. Duodenum. E. Einmündungsstelle des Oesophagus. *a. a.* Stelle, wo das große Netz vom Magen kömmt. *b.* Curvatura minor. *c. d.* Valvula pylori. *e. e.* Die Runzeln, rugae, und Schleimdrüsen zwischen diesen.

Fig. III. Aufgeschnittenes Stück Dünndarm, um die daselbst befindlichen Falten, plicae seu valvulae conniventes Kerkringii, der Schleimhaut zu zeigen.

Fig. IV. V. VI. VII. Darmzotten, villi, der Schleimhaut des Dünndarms.

Fig. IV. 0,25. Natürliche Größe der einzelnen Zotten, die auf ähnliche Art, nach einem Mikrometer ge-

---

\*) Die 4., 5., 6. und 7. Fig. sind aus Meckels Archiv: Ueber die Villosa des Menschen und einiger Thiere. Von A. Meckel. die übrigen Figuren sind aus Caldani.



messen, bei allen übrigen angegeben ist. Die blatt- und zungenförmigen Darmzotten eines vierzigjährigen Mannes. Die Gegend des Leerdarms, aus der sie kommen, war ohngefähr drei Fuß vom Pylorus.

Fig. V. 0,25. " Ein Stück der Villosa eines siebenjährigen, am schleichenden Nervenfieber verstorbenen Mädchens, aus dem Leerdarm, nahe am Ende des Duodenums.

Fig. VI. 0,25. " Einige mit Hülfe feiner Staarnadeln losgetrennte Zotten eines Erwachsenen, stark vergrößert, um die Art ihres Aufsitzens an der Darmhaut und ihrer gewöhnlichen Krümmungen (*a. b. c. f. g.*) im Einzelnen zu zeigen. Die Polypenmasse aus der sie bestehen, ist immer etwas in Reihen geordnet. Bei *d.* und *e. e. e.* rifs der eine Villus zufällig auseinander, das feine zellige Gewebe erschien hier ganz wie bei einem zerrissenen Blatte.

Fig. VII. 0,25. " Einzelne injicirte Zotten eines neugeborenen Kindes (*a. b. c. d. e. f. g.*) Die meisten waren, wie gewöhnlich (*g.*) ganz voll und roth, nur wenige unter vielen Hunderten bloß zum Theil angefüllt. Bei *e.* und *f.* sieht man ein gefäßartiges zelliges Netz, die übrigen sind am Rande oder an der Grundfläche injicirt, der einzige bei *a.* macht eine Ausnahme, bloß seine Spitze war geröthet, ohne daß man eine Communication zwischen ihr und den Gefäßen der Schleimhaut bemerken konnte.

Fig. VIII. Die Endigung des Dünndarms und der Anfang des Dickdarms, halbirt und von innen unter Wasser betrachtet.

Fig. IX. Dicselben Theile, wie Fig. VIII., aber zuvor mit Luft gefüllt, dann getrocknet und hierauf erst geöffnet. A. Ende des Intestinum ileum. B. Colon. C. Valvulae intestini coli. *a. b. c. d. e. f.* Valvula coli seu Bauhini.



*a.* Osticum valvulae coli. *b.e.d.f.* Labium superius valvulae coli. *g.* Appendicula vermiformis. *h.* Ostium et *i.* Valvula appendiculae vermiformis.

Fig. X. Ein Theil des Mastdarms, *intestinum rectum*, zum Theil aufgeschnitten, und unter Wasser betrachtet.

A. Ein Theil der Längenasern und die darunter gelagerten Quer- oder Kreisfasern der Muskelhaut des Mastdarms von außen. *d.d.* Die Kreisfasern von innen, nachdem zuvor die Schleim- und Zellhaut *c.c.* aufgehoben und umgeschlagen wird. B. Anus *cjusque rugae*. C.C. Ostium ani *discissum*. D. Anulus valvulosus der Schleimhaut. *a.b.* Die Oeffnungen der Schleimdrüsen.

Fig. XI. Die Leber, *hepar*, von hinten.

A. Lobus sinister. B. dexter hepatis. C. Ligamentum hepatis triangulare sinistrum. D. Diaphragma. E. Lobus Spigelii. F. Ligamentum coronarium hepatis. G. Vena portarum in portis. *a.* ejus ramus sinister. *b.* dexter. *c.c.* Vena umbilicalis. *d.* Ductus venosus Arantii. *e.e.* Vena cava inferior. *f.g.* Arteria hepatica. *h.* Ramus arteriosus ad cystidem fellis. *i.k.* Ductus hepatici. *l.* Ductus choledocus. H. Vesicula fellis. *m.n.* Ductus cysticus. I. Brücke, welche von dem linken Leberlappen zum viereckigen Lappen tritt, und worunter die Vena umbilicalis verläuft. K. Lobulus quadratus hepatis.

Fig. XII. Stellt die Membranen der Gallenblase, von einander getrennt, dar.

*a.* Tunica externa seu peritonaeum. *b.* Tunica secunda seu nervea, dessen Gefäße durch die Trennung durchschnitten sind. *c.* Tunica interna seu vasculosa, in der sich



die Arterien, Venen und Nerven endigen. *d. d.* Valvulae, welche sich im Ductus cysticus vorfinden. Die Schleimdrüsenöffnungen, welche sich daselbst befinden, sind ohne Bezeichnung zu erkennen.

Fig. XIII. Die Bauchspeicheldrüse, pancreas, mit dem Zwölffingerdarm, duodenum, und der Milz, lien, mit ihren Gefäßen von vorn betrachtet.

A. Superficies externa s. convexa lienis. B. Extremitas superior. C. Extremitas inferior. D. D. Superficies interna seu concave et hilus lienis. E. F. *a.* Pancreas. *a.* Extremum sinistrum. F. Die Portion, welche man Pancreas parvum oder Kopf, caput pancreatis, nennt. G. Intestinum duodenum. H. Arteria hepatica. I. Arteria coronaria ventriculi sinistra. L. Vena splenica.

Fig. XIV. Der Ductus pancreaticus seu Wirsungianus ist hier mit gelbem Wachs angefüllt und herauspräparirt; ferner ist der Zwölffingerdarm der Länge nach aufgeschnitten, damit man die Papille wahrnimmt, wo dieser Gang zwischen den Falten des Darms ausmündet. A. Die einzelnen, kleinern Läppchen des Pancreas. *a.* Der Ductus pancreaticus s. Wirsungianus. *b.* Die einzelnen Kanäle, welche den Gang zusammensetzen. *c.* Ductus minor pancreatis. *d.* Truncus communis ductum (*a.* et *c.*) *e.* Warze, papilla, wo der Bauchspeicheldrüsengang gemeinschaftlich mit dem Ductus choledocus ausmündet. *f. f.* Duodenum.

---



**Erklärung**

des

**anatomischen Atlases,**

von

***Dr. M. J. Weber,***

Professor zu Bonn.

---

*Sechste Lieferung.*

---

**Düsseldorf,**  
**bei Arnz & Comp.**



## I n h a l t.

---

Erster Gefäss- und Nervenkörper von vorne.

- Tab. XXIX. Arterien des Kopfes, Halses und der Brust besonders dargestellt.
- Tab. XXX. Zeigt den weitem Verlauf der innern Kieferschlagader, der Zungenarterie, der Wirbel- und Gehirnschlagadern.
- Tab. XXXI. Darstellung der Beckenarterien im Manne und Weibe.
- Tab. XXXII. Gehirn, Rückenmark und *Nervus sympathicus* in Situ.
- Tab. XXXIII. Entwicklung des Gehirns und Rückenmarkes.
- Tab. XXXIV. Kopf- und Halsnerven.
- Tab. XXXV. Lymphgefäße.
- Tab. XXXVI. Brusttaorta, obere Rippenarterie, und Verlauf der untern Bauchdeckenschlagader in Beziehung auf Leistenbrüche.

---

### B e m e r k u n g

in Beziehung auf die siebente Lieferung.

Diese wird enthalten: 1) einen Gefäss- und Nervenkörper von vorne gesehen; 2) einen andern von hinten; 3) eine Tafel über den *descensus testicularum*, den Bauch- und Schenkelring. 4) Eine Tafel über Brust- und Bauchfell. 5) Eine Tafel über Kopf- und Halsnerven. 6) Eine Tafel über allgemeine Anatomie.

Wegen des schwierigen Ausmalens der Gefäße ist das Erscheinen dieser Lieferung so lange aufgehalten worden, derselbe Fall tritt bei der letzten Lieferung ebenfalls ein, indessen glauben die Herausgeber das Erscheinen dieser letzten Lieferung im Sommer, des künftigen Jahrs versprechen zu dürfen.

Zugleich wird bemerkt, dass der Verfasser nach Vollendung des Atlases ein vollständiges Lehrbuch der Anatomie (die Zergliederungskunde und Zergliederungskunst enthaltend) zu diesem Atlas zu bearbeiten beabsichtigt.

---



# Erklärung

## des ersten Gefäss- und Nervenkörpers.

---

Anmerk. A. bedeutet ein für allemal *Arteria*, Schlagader.  
V. *Vena*, Blutader und N. *Nervus*, Nerve.

---

### I. Gefässe und Nerven am Kopfe.

1. *A. V. et N. supraorbitalis.* 2. *A. V. et N. frontalis.*  
3. *A. V. et N. nasalis.* 3<sup>1</sup>. *A. V. et N. nasalis externus*  
*N. ethmoidei.* 4. *A. V. et N. temporalis.* 5. *A. V. et N.*  
*palpebralis superioris et 6. inferioris.* 7. *A. V. et N. auri-*  
*cularis anterior superior et 8. inferior.* 9. *A. V. et N. occi-*  
*pitalis.* 10. *Rete zygomaticus des N. facialis.* 11. *glandula*  
*parotis.* 12. *Ductus stenoianus.* 13. *A. V. et N. trans-*  
*versa faciei.* 14. *Rete buccale.* 15. *Rete labiale superior.*  
16. *Vena facialis anterior.* 17. *A. et V. angularis nasi.*  
18. *A. et V. coronaria labii superioris et 19. inferioris.*  
20. *N. subcutaneus maxillae inferioris des N. facialis.*

### II. Gefässe und Nerven am Halse.

a. *Ramus auricularis et b. R. subcutaneus colli des III.*  
*Nervus cervicalis.* c. c. c. c. *N. suprascapulares et supra-*  
*sclaviculares vom III. und IV. Nervus cervicalis.* d. d. *Vena*  
*jugularis externa* grossentheils bedeckt vom *Musculus sub-*  
*cutaneus.* e. e. Noch ein zweiter innerer Hauptveänenast  
des Halses. f. *Art. thyreoidea superior.* g. *A. transversa*  
*colli et cervicis.*



### III. Gefäße und Nerven der oberen Extremitäten.

1. 1. 1. 1. 1. *Vena cephalica.* 2. 2. 2. 2. *V. basilica.*  
3. 3. *V. mediana.* 4. 4. 4. Zwei *Venae brachiales.* 5. 5. 5. 5. 5.  
Verbreitung des *Nervus cutaneus externus.* 6. *N. cutaneus internus major.* 7. *N. cutaneus internus minor.* 8. *N. medianus.* 8<sup>1</sup>. 8<sup>2</sup>. 8<sup>3</sup>. *Rami digitales communes N. mediani.*  
9. *N. ulnaris.* 9<sup>2</sup>. *N. digitalis communis Rami volaris superficialis N. ulnaris.* 9<sup>3</sup>. *Ramus anastomoticus.* 9<sup>4</sup>. *R. digitalis ulnaris digiti minimi.* 10. 10. 10. *Ramus superficialis N. radialis.* 11. *A. axillaris.* 12. *A. thoracica prima.*  
13. *A. acromialis.* 14. *A. thoracica secunda.* 15. *A. thoracica tertia seu mammaria externa.* 16. *A. subscapularis.*  
17. *A. circumflexa scapulae.* 18. *A. circumflexa humeri anterior et* 19. *posterior.* 20. *A. brachialis.* 21. *A. collateralis ulnaris.* 22. *A. et V. radialis.* 23. *A. recurrens radialis.*  
24. *A. et V. ulnaris.* 25. *Ramus volaris superficialis A. radialis.* 26. *Ramus volaris superficialis A. ulnaris.* 27. *Arcus arteriosus, venosus et nervosus volaris superficialis.*  
28. *Rami digitales communes.* 28<sup>2</sup>. *R. digitalis ulnaris seu proprius digiti minimi.* 29. *A. et V. digitales radiales.* 30. *A. et V. digitales ulnares.*

### IV. Gefäße und Nerven der Brust und des Unterleibes.

a. a. a. *Rami perforantes et cutanei* von der *A. et V. thoracica prima et tertia.* b. b. b. b. *Rami perforantes seu cutanei* von der *A. et V. mammaria interna* und der *N. intercostales.* c. c. c. c. c. *A. V. et N. intercostales et lumbales.* Die Verbreitung und mannigfaltigen Anastomosen dieser Gefäße und Nerven liegen ohne nähere Bezeichnung schon klar vor Augen. d. *A. et V. abdominalis Halleri.* e. e. *Rami*



*perforantes* von der *A. epigastrica*. *f.* Zweige der *A. epigastrica* an den *Mus. cremaster* und Samenstrang. *g.* *N. spermaticus externus*. *h.* *N. ileo-inguinalis*. *i.* *N. lumbo-inguinalis*. *k. k.* *N. cutaneus femoris externus*. *A.* Hautvenennetze der Brust und des Bauches.

## V. Gefässe und Nerven der untern Extremitäten.

1. *A. V. et N. cruralis*. 2. *Truncus communis* der 3. *A. circumflexa ilei externa* et 4, der *A. abdominalis Halleri*. 5. *A. et V. spermaticae externae*. 6. *A. circumflexa femoris externa*. 7. *A. profunda femoris*. 8. *A. circumflexa femoris interna*. 9. *Vena saphena magna et N. saphenus*. 10. *N. cutaneus medius*. 11. *N. cutaneus femoris internus*. 12. *A. et V. articularis externa superior genu*, 13. *externa inferior*, 14. *interna superior*, 15. *interna inferior*. 16. *A. tibialis antica*. 17. *A. et V. recurrens genu*. 18. *A. maleolaris externa et interna*. 20. *N. peroneus superficialis*. 21. 22. *A. V. et Nervi digitales communes, tibiales et peronei*. 23. *A. V. et N. tibialis posticus*. 24. *A. V. et N. plantaris externus*. 25. *A. V. et N. plantaris internus*.

## VI. Gefässe und Nerven des Penis.

*a.* *Venae dorsales penis*. *b.* *A. dorsales penis*. *c.* *Nervi dorsales penis*.



## Neun und zwanzigste Tafel. \*)

Fig. I.

Zeigt die Arterien des Kopfes und Halses.

*I. Arteria carotis communis. II. A. carotis externa seu facialis. 1. A. thyreoidea superior. 2. Ramus laryngeus superior. 3. A. lingualis. 4. R. hyoideus. 5. A. maxillaris externa. 6. R. submentalis. 7. A. coronaria labii inferioris et 8. superioris. 9. A. nasalis lateralis seu angularis nasi. 10. R. septi nasi. 11. A. pharyngea adscendens. 12. A. occipitalis. 13. A. transversa faciei. 14. R. ad muscolum orbicularem palpebrarum, zygomaticum majorem et minorem. 15. A. temporalis. 16. A. auricularis anterior inferior. 17. A. auricularis anterior inferior. 18. R. temporalis anterior. 19. R. temporalis medius. 20. R. temporalis posterior. 21. A. frontalis. 22. A. dorsalis nasi ex ophthalmica.*

*III. Arteria carotis interna seu cerebralis.*

*IV. Arteria subclavia. 23. A. transversa scapulae. 24. A. transversa colli. 25. A. cervicalis superficialis s. transversa cervicis. 26. R. arteriae cervicalis ascendens. V. A. axillaris.*

Fig. II.

Stellt die äussere Kopf- und die Schlüssel-  
Arterien mit ihren Aesten dar.

*I. II. III. IV. 1. 2. 3. 4. 5. 6. 7. 8. 11. 12. d. e. f.* sind schon aus der vorhergehenden Figur bekannt.

---

\*) Nach Tiedemanns Abbildungen der Pulsadern.



9. *Arteria palatina ascendens*. 10. *A. tonsillaris*. 13. *R. profundus arteriae occipitalis*. 14. *R. superficiales a. o.* 15. Griffelzitzen-Arterie, *A. styломastoidea*. 16. *A. auricularis posterior*. 17. *A. transversa faciei*. 18. *R. ad muscū orbicularem palpebrarum et musculos zygomaticos*.

a. *A. mammaria interna*. a<sup>1</sup>. *Ramuli externi arteriae mammariae internae*. b. *A. thyreoidea inferior*. c. *A. cervicalis ascendens*. g. *A. vertebralis*. h. *A. thoracica suprema seu prima*. i. *A. thoracica secunda*. k. *R. acromialis*. l. *R. deltoideus*. m. *A. thoracica tertia seu mammaria externa*. n. *A. subscapularis*. o. *A. circumflexa scapulae*. p. *A. circumflexa humeri anterior*. q. *A. circumflexa humeri posterior*.

V. *Arteria axillaris*.

---



## Dreissigste Tafel.

Zeigt den weitem Verlauf der innern Kieferarterie, der Zungenarterie, der Wirbelarterie, und der innern Kopf- oder Gehirnarterie. \*)

### Fig. I.

Stellt den Verlauf der innern Kieferarterie dar.

1. *Arteria maxillaris externa*. 2. *A. coronaria labii inferioris*. 3. *A. coronaria labii superioris*. 4. *A. angularis nasi*. 5. *A. alveolaris inferior*. 6. *Truncus arteriae carotidis externae*. 7. *A. auricularis anterior inferior*. 8. *A. temporalis*. 9. *A. meningea media*, mittlere harte Hirnhautschlagader. 10. Ramification der *A. meningea media* an der harten Hirnhaut, nachdem sie durch das *Foramen spinosum* des Keilbeins gegangen ist. 11. *A. tympanica*. 12. *A. temporalis profunda prima s. posterior s. superficialis*. 13. *A. temporalis profunda secunda s. anterior, s. profunda*. 14. *A. alveolaris superior*. 15. *A. infraorbitalis*. 16. *A. sphenopalatina s. nasalis posterior*. 17. *A. pterygopalatina seu palatina superior s. descendens*. 18. *A. dorsalis nasi*. 19. *A. carotis interna*.

### Fig. II.

Stellt den Verlauf der Zungenarterie, der absteigenden Gaumenarterie und die Art. der Nasenscheidewand dar.

1. *Arteria carotis communis*. 2. *A. carotis interna*. 3. *A. carotis externa*. 4. *A. thyreoidea superior*. 5. *A. laryngea superior*. 6. *A. lingualis*. 7. *Ramus hyoideus*. 8. *R.*

\*) Fig. I. II. III. sind nach Tiedemanns Abbildungen der Pulsadern. Fig. IV. V. und VI. sind neu nach der Natur angefertigt.



*dorsalis linguae.* 9. *R. sublingualis.* 10. *R. profundus seu A. ranina.* 11. *A. pterygoidea.* 12. *Ramus A. sphenopalatinae ad septum narium.* 13. *Ramulus ejusdem per canalem incisivum ad palatum molem.* 14. *Arteriae ethmoidales ex ophthalmica.*

Fig. III.

Stellt den Verlauf der Wirbel- und tiefen Nackenarterie dar.

1. *Truncus anonymus.* 2. *A. carotis communis.* 3. *A. subclavia.* 4. *A. thyreoidea inferior.* 5. *Truncus communis A. cervicalis ascendens, A. transversae scapulae et A. t. colli.* 6. *A. vertebralis*, mit ihren Aesten an die Wirbelsäule und ins Innere des Rückenmarkkanals zum verlängerten Rückenmark. 7. *Truncus A. intercostalis superioris et cervicalis profundae.* 8. *A. intercostalis superior seu prima.* 9. *A. cervicalis profunda.* 10. *Mammaria interna.*

Fig. IV.

Die Arterien des Gehirns an der Basis.

1. *Arteria vertebralis.* 2. *A. spinales anteriores.* 3. *A. cerebelli inferiores posteriores.* 4. *A. basilaris.* 5. *A. cerebelli inferiores anteriores.* 6. *A. auris internae.* An der rechten Seite des Gehirns entspringt diese Arterie aus der *A. vertebralis.* 7. *A. cerebelli superiores posteriores.* 8. *A. cerebelli superiores anteriores.* 9. *A. profundae cerebri.* a. *Rami anastomotici seu communicantes cum arteria carotide interna.* 10. *A. carotides internae seu cerebrales.* 11. *A. chorioideae.* 12. *A. transversa seu fossae Sylvii.* 13. *A. corporis callosi.* b. *Ramus communicans.*

Fig. V.

Die Arterien des Gehirns an dem obern Umfang. Die Hemisphären sind etwas auseinandergezogen, um zu sehen, wie sich die *A. corporis callosi* von der Basis her, um das



Knie des *Corpus callosum* herumbegeben, sich nun an dessen obern Umfang und an den innern Flächen der Hemisphären des grossen Gehirns verbreiten, dann aber wieder um den hintern Wulst des *Corpus callosum* sich herumwinden, um so unter dem *Fornix* zum *Plexus chorioideus medius et lateralis* zu gelangen.

1. 2. *A. corporis callosi*. 3. Da, wo sie sich herumbiegen. 4. Aeste von der *Arteria profunda cerebri*. 5. Aeste von der *Arteria fossae Sylvii*. 6. *A. cerebelli superiores*.

Fig. VI.

Zeigt den Verlauf der *Arteriaë chorioideae* und der *A. corporis callosi* in den Seitenventrikeln.

a. *Plexus chorioideus lateralis*. b. *Plexus chorioideus medius*. 1. *Arteria chorioidea*, wie sie im mittlern Horn der Seitenventrikel heraufsteigt, und sich netzförmig verbreitet, zugleich aber mit Aestchen, 2. die aus der Tiefe herauf von der *Arteria profunda cerebri* kommen und mit Zweigen 3. der *A. corporis callosi* anastomosirt. 4. *A. corporis callosi*. 5. Dessen Fortsetzung, welche sich um den *Corpus callosum* nach hinten herumbiegt, und 6. dessen Verbreitung im *Plexus chorioideus medius*. c. Die vordern Schenkel vom *Fornix*. 7. *A. cerebelli superiores*. 8. *A. spinales anteriores*.

---



## Ein und dreissigste Tafel. \*)

### Fig. I. II.

Liefert eine Darstellung der Beckenarterie  
im Manne.

Fig. I. In einem senkrecht durchschnittenen Becken erblickt man die Verzweigung der Pulsadern, indem die Harnblase und der Mastdarm nach Aussen umgeschlagen sind.

1. 2. Die zwei untersten Lendenwirbel. 3. Die Zwischenwirbelbänder. 4. Die fünf Wirbelkörper des Heiligenbeins, *os sacrum*, 5. die des Steisbeins, *ossa coccygis*. 6. *Symphysis ossium pubis*. 7. *Musculus opisthodenar*. 8. *Gluteus maximus*. 9. 10. *M. transversus. Rectus abdominis*. 11. *M. iliacus internus*. 12. *Psoas major*. 13. *Tendo psoae minoris*. 14. *M. pyriformis*. 15. *M. levator ani*. 16. *Membrana fibrosa medulae spinalis*. 17. *Nervi lumbales et sacrales*. 18. *Nervus obturatorius*. 19. *Nervus lumbalis quintus*. 20. 21. 22. *N. sacrales*. 23. *Vesica urinaria*. 24. *Ureter*. 25. *Urachus*. 26. *Vas deferens*. 27. *Vesicula seminalis*. 28. *Intestinum rectum*. 29. *Arteria aorta*. 30. *A. mesaraica inferior*. 31. *A. lumbalis quarta*. 32. *A. sacralis media*. 33. 34. *A. iliaca*. 35. *A. hypogastrica*. 36. *Truncus posterior*. 37. *A. ileolumbalis*. 38. *Ramus anterior*. 39. *Rami musculi psoae immissi*. 40. *Anastomosis arteriae ileolumbalis cum circumflexa ilei*. 41. 42. *A. sacra lateralis*. 43. 44. 45. *A. obturatoria*. 46. *A. glutea superior seu iliaca posterior*. 47. *Truncus anterior A. hypogastricae*. 48. *A. umbilicalis*. 49. Obliterirte Nabelarterie. 50. *A. vesicalis superior*. 51. *A. vesicalis inferior*. 52. *R. ad vesicam se-*

\*) Nach Tiedemann.



*minalem.* 53. *A. pudenda interna seu communis.* 54. *A. haemorrhoidæ media.* 55. *R. ad levatorem ani.* 56. *R. ad vesiculum seminale.* 57. *R. per intestinum rectum sparsi.* 58. *A. Glutea inferior seu ischiadica.* 59. *R. ad muscolum pyramidalem.* 60. *A. iliaca externa seu cruralis.* 61. 62. 63. 64. *A. circumflexa ilei s. abdominis.* 65. *A. epigastrica inferior.* 66. *Ramus obturatorius.* 67. *Unio hujus ramulæ cum arteria obturatoria.* 68. *Ramus ad funiculum spermaticum seu arteria spermatica inferior.*

Fig. II. Zeigt den Verlauf der gemeinschaftlichen Schampulsader, *arteria pudenda communis.*

1. *Os coccygis.* 2. *Tubera ischiadica.* 3. *Rami ascendentes ossium ischiadicorum.* 4. *Ligamenta sacro-tuberosa.* 5. *M. glutei maximi.* 6. *Anus.* 7. *Sphincter ani externus.* 8. *Levatores ani.* 9. *Musculi perinaei transversi.* 10. *Urethra.* 11. *M. bulbo-cavernosi seu acceleratores urinae.* 12. *Corpora cavernosa penis.* 13. *Musculi erectores penis.* 14. et 22. *Arteriae pudendæ communes.* 15. et 23. *A. haemorrhoidæ externæ.* \* *A. perinaeæ.* 16. et 24. *Ramus ischiadicus.* 17. et 25. *Ramulus perinaeus proprius.* 18. et 26. *R. ad muscolum bulbo-cavernosum.* 19. et 27. *R. ad erectorem penis.* 20. et 28. *A. scrotalis posterior.*

Fig. III. et IV. Gibt eine Darstellung des Verlaufs der Beckenpulsader im Weibe.

Fig. III. 1—10. 12. 13. 15. 16. 17. 18. 19. 20. 21. 22. 23. sind schon aus der Fig. I. bekannt.

11. *Apertura interna canalæ inguinalis.* 14. *Musculus obturatorius internus.* 24. *Vagina.* 25. *Uterus,* nach Aussen umgeschlagen. 26. *Ligamentum uteri rotundum.* 27. *Tuba Fallopii seu oviductus.* 28. *Fimbriae.* 29. *Ovarium, a ligamento lato oblectum.* 30. *Intestinum rectum.* 31. bis 49. sind schon aus der Fig. I. bekannt. 50. *Arteria uterina.* 51. *A.*



*vaginalis*. 52. *Ramus ad uterum*. 53. bis 64. sind gleichfalls schon aus der Fig. I, bekannt. 65. *Ramus ad ligamentum uteri rotundum*.

Fig. IV. Zeigt den Verlauf der *Arteria pudenda communis*.

1. *Apex ossis coccygis*. 2. *Tuber ossis ischii*. 3. *Mons Veneris*. 4. *Labia pudendorum majora*. 5. *Clitoris*. 6. *Præputium clitoridis*. 7. *Labia minora seu Nymphae*. 8. *Orificium cutaneum urethrae*. 9. *Aditus ad vaginam*. 10. *Anus*. 11. *Sphincter ani externus*. 12. *Levatores ani*. 13. *Musculus transversus perinaei anticus, et 14. posticus*. 15. *Zusammenschnürer der Scheide, constrictor cuni*. 16. *Erectores clitoridis*. 17. *M. glutei maximi*. 18. *Obturatorii interni*. 19. et 25. *Arteriae pudendae*. 20. et 26. *A. haemorrhoidae externae*. 21. *Ramulus ad tuber ischii*. 22. *A. transversa perinaei*. 23. et 28. *A. labialis pudendi posterior seu inferior*. 24. et 29. *Arteria clitoridea*.

---



## Zwei und dreissigste Tafel.

Fig. I.

Ein männlicher Körper, an welchem man, nachdem die ganzen vordern Wände des Rumpfes mit den Hals-, Brust-, Unterleibs- und Beckenorganen, sowie die vordern und untern Theile des Kopfes weggenommen, das Gehirn etwas in die Höhe zurückgelegt, und durch Wegnahme der Wirbelkörper der Rückenmarkskanal von vorn geöffnet worden ist, das Rückenmark und die von diesem ausstrahlenden Nerven in ihrem Verlauf sieht. Die Rippenköpfe sind auf der linken Seite, und auf der rechten die hintern Enden der Rippen weggenommen worden, um die hintern Aeste der Brustwirbelnerven, welche sich in die Rückenmuskeln verbreiten, zu sehen. Ebenso sind mehrere Muskeln durchschnitten und zurückgelegt.

1—12. sind die zwölf Gehirnnervenpaare. — Die 8. Hals-, 12 Rücken-, 5 Lenden- und 5 Kreuzbeinnerven kann man selbst bestimmen.

*I. I. Plexus cervicalis superior. II. II. Plexus cervicalis inferior seu brachialis. IV. N. phrenicus.* Man wird bemerken, dass dieser Nerve noch zwei Aeste, vom 5. und 6. Halsnerven nämlich erhält. *V. Drei Verbindungsäste des 5. 6. und 7. Halsnerven zum N. sympathicus. VI. Verbindungsast des ersten Dorsalnerven mit dem 8. Halsnerven. VII. N. suprascapularis. VIII. N. pectorales anteriores. IX. N. subscapularis. X. N. subscapularis longus seu infra-scapularis. XI. N. cutaneus externus. XII. N. cutaneus internus s. major. XIII. N. medianus. XIV. N. ulnaris.*



XV. *N. radialis*. XVI. *N. axillaris*. *a. a. a.* sind die hintern Aeste und *b. b. b. b.* die vordern Aeste oder die Zwischenrippennerven, *N. intercostales*, der Brustnerven. *e.* Verbindungsäste der Dorsalnerven zum *N. sympathicus maximus*. *A. Plexus lumbalis*. *B. Plexus sacralis*. *d. N. ileo-lumbalis*. *e. Rami posteriores nervorum lumbalium*. *f. N. lumbinguinalis*. *g. N. cutaneus externus femoris*. *h. N. ileoinguinalis*. *i. N. obturatorius*. *k. N. cruralis*. *l. N. ischiadicus*. *m. N. pudendus communis*. *n. R. cutanei*. *o.* Verbindungsäste der Lenden- und Kreuznerven mit dem *N. sympathicus maximus*. *C. N. sympathicus maximus*. *C<sup>1</sup>. Ganglion cervicale supremum N. sympathici*. *C<sup>2</sup>. Ganglion cervicale inferius*. *C<sup>3</sup>. Ganglia thoracici N. sympathici*. *C<sup>4</sup>. Ganglia lumbalis et sacralia N. sympathici*.

Fig. II.

Hier ist der unterste Theil des Rückenmarks mit seinen Hauptnerven von hinten her sichtbar. Die Theile sind ohne Bezeichnung schon deutlich erkennbar.\*)

Fig III.

Verbindungen des *N. sympathicus* mit den Nerven des Rückenmarks \*\*)

*A. Rückenmark, medulla spinalis*. *B. Stamm des großen sympathischen Nerven oder des Gangliennervens, truncus nervi sympathici seu gangliosi*. *a. a. a. a. a.* Vordere Wurzeln des Rückenmarks vom 7<sup>3</sup> Halswirbelnerven bis zum 4<sup>3</sup> Brustwirbelnerven. Sie sind so getheilt, und nach oben und unten auseinandergezogen, daß man die dahinter liegenden *Ganglia spinalia (b<sup>1</sup>)* sieht. *b. b. b. b. b. b.* Die

\*) Fig. I. und II. sind nach Bock: Die Rückenmarksnerven. Auf 7 Tafeln. Leipzig 1827 und Fig. IV.

\*\*) Nach C. S. Wutzer: *De corporis humani gangliorum fabrica atque usu monographia*. Cum tabula aenea. Berolini 1817.



hintern Wurzel des Rückenmarks.  $b^1$ .  $b^1$ .  $b^1$ .  $b^1$ .  $b^1$ .  $b^1$ .  
Die Spinalknoten, *ganglia spinalia*, welche die hintern Wurzeln des Rückenmarks bilden.  $d$ .  $d$ .  $d$ .  $d$ . Des  $1^3$ .  $2^3$ .  $3^3$ . und  $4^3$ . *Ganglion thoracicum* des *N. sympathicus maximus*.  $c^1$ . Die vordern Aeste und  $c^2$ . die hintern Aeste dieser Nerven.

Die mannigfaltigen Verbindungen der Rückenmarksnerven mit dem *N. sympathicus* und unter sich sieht man hier sehr gut, und bedürfen diese keiner weitem oder nähern Bezeichnung.

---



## Drei und dreissigste Tafel.

### A. Entwicklung des Gehirns. \*)

Fig. I. Ein Embryo aus der siebenten Woche. *a.* der Nackenhöcker.

Fig. II. Hirn- und Rückenmark dieses Embryos von der Seite. *a.* das Rückenmark, *b.* Anschwellung des Rückenmarks und Beugung desselben nach vorn. *c.* Kleines Hirn, *d.* Vierhügelmasse, *e.* Sehhügel, *f.* Membranartige Hemisphäre des grossen Hirns, *g.* Der dem gestreiften Körper analoge Hügel.

Fig. III. Dasselbe Hirn von hinten, der ganzen Länge nach gespalten oder offen. *a.* Das Rückenmark, *b.* Eingang in den Rückenmarkskanal. *c.* Anschwellungen oder Wülste des Rückenmarks, *d.* Kleines Hirn, in der Mitte gespalten, über die vierte Hirnhöhle brückenartig gespannt, *e.* Die in der Mitte getrennten Vierhügelmassen.

Fig. IV. Hirn eines Embryos aus der neunten Woche. *a. a.* Die beiden Schenkel des Rückenmarks durch eine Längsfurche getrennt. *b.* Das kleine Hirn. *c.* Die Theile, woraus sich die Vierhügel bilden, *d.* Die Sehhügel, *e.* Die nach hinten und innen umgeschlagenen membranartigen Hemisphären.

Fig. V. Hirn eines Embryos aus der zwölften Woche in seiner Lage im Schädel. *a. a.* Die zurückgeschlagenen

\*) Nach Tiedemann: Anatomie und Bildungsgeschichte des Gehirns im *Foetus* des Menschen nebst einer vergleichenden Darstellung des Hirnbaues in den Thieren. Mit sieben Tafeln Abbildungen. Nach der Natur gezeichnet von Dr. Martin Münz. Nürnberg in der Steinischen Buchhandlung. 1816.



Lappen des geöffneten Schädels. *b.* Das Rückenmark. *c.* Anschwellung des Rückenmarks, und Beugung desselben nach vorn. *d.* Kleines Hirn. *f.* Erhabenheit, woraus sich die Vierhügel bilden. *g.* Wieder abwärts steigender und nach vorn verlaufender Strang des Rückenmarks oder Hirnschenkel. *h.* Die membranartige nach hinten und innen geschlagene Hemisphäre des grossen Hirns, welche die Erhabenheiten, woraus sich die Vierhügel bilden, noch nicht bedeckt. *i.* Der Sehnerv der linken Seite. *k.* der Riechnerv derselben Seite. *l.* Der Beinerv, welcher aus den Seiten des Rückenmarks entspringt.

Fig. VI. Hirn und Rückenmark desselben Embryos von hinten angesehen. *a. a.* Das Rückenmark mit seiner hintern Längsspalte. *b.* Das kleine Hirn, unter demselben die vierte Hirnhöhle. *c. c.* Die Hemisphären des grossen Hirns.

Fig. 7. Untere Fläche des Hirns von demselben Embryo. *a. a.* Rückenmark mit seiner vorderen Längsfurche. *b. b.* Anschwellung des Rückenmarks und Beugung desselben nach vorn. *c. c.* Die aus dem Rückenmark kommenden Schenkel des kleinen Hirns. *d. d.* Das kleine Hirn. *e. e.* Die Hirnschenkel. *f.* Die Masse der Hügelchen (*eminentiae candidantes*). *g.* Der Hirnanhang. *h. h.* Die vorderen Lappen des grossen Hirns. *i.* Die hinteren abgerundeten Anhänge, die mittleren und hinteren Lappen darstellend. *k.* Die Sehnerven. *l.* Die beiden aus der sylvischen Grube entspringenden Riechnerven.

Fig. VIII. Hirn desselben Embryos von oben, mit den nach den Seiten auseinander geschlagenen membranartigen Hemisphären. *a. a.* Die beiden Stränge des Rückenmarks. *b.* Die hintere Längsfurche. *c. c.* Das kleine Hirn. *d. d.* Die Massen für die Vierhügel. *e. e.* Die Sehhügel. *f. f. g. g.*



die von innen nach den Seiten auseinander geschlagenen membranartigen Hemisphären. *h. h.* Die beiden gestreiften Körper, welche vorn etwas breiter, und durch eine schwache Vertiefung in zwei Theile getrennt sind. *z.* Die Verbindung der beiden Hemisphären oder Anfang des Balkens (*corpus callosum*). *k. k.* Die Seitenventrikel mit strahligen Falten der inneren Fläche der Hemisphären.

Fig. IX. Das Rückenmark mit seinem Canal von demselben Embryo. *a. a. a. a. a.* Die beiden dünnen von der hinteren Längsfurche aus nach den Seiten auseinander geschlagenen Wände des Rückenmarks und der dadurch geöffnete Rückenmarkskanal, welcher nach oben in die vierte Hirnhöhle übergeht. *b. b.* Die sich gegeneinander neigenden Schenkel des kleinen Hirns.

Fig. X. Die schräg von oben, und von der rechten nach der linken Seite durch Wegnahme der oberen Wand geöffnete sehr geräumige Höhle der Vierhügelgebilde. *a. a.* Die Stränge des Rückenmarks. *b. b.* Das kleine Hirn. *c.* Die dünne membranartige Wand der Vierhügel auf der rechten Seite. *d. e.* Die linke Wand der Vierhügel, welche dicker erscheint, weil sie durch den schräg geführten Schnitt näher an den unter den Vierhügeln liegenden Hirnschenkeln durchschnitten wurde, indem die membranartige Wand durch die Ausbreitung nach oben noch nichts von ihrer Masse verloren hat.

Man sieht von oben in die Höhle der Vierhügel hinein, und erblickt die kleinere hintere Oeffnung von dem vierten Ventrikel her, und die vordere grössere Oeffnung, welche in die dritte Hirnhöhle führt.

Fig. XI. Hirn desselben Embryos von oben. *a. a.* Das Rückenmark. *b. b.* Das kleine Hirn. *c.* Die vierte Hirnhöhle. *d. d.* Die membranartigen Gebilde der Vierhügel, nebst der



Längsfurche, wo sie miteinander verwachsen sind. *e*. Die zwischen den nach den Seiten auseinander gezogenen Sehhügeln befindliche dritte Hirnhöhle. *f. f.* Die innere glatte Fläche der nach den Seiten von einander gelegten Sehhügel. *g*. Die hintere Commissur. *h. h.* Die gestreiften Körper, welche sich bogenförmig um die in die Hirnmembrane ausstrahlenden Hirnschenkel krümmen. *i. i.* Die an den Seiten weggeschnittene Membran der Hemisphären.

Fig. XII. Senkrechter Durchschnitt des Hirns desselben Embryos. *a*. Rückenmark von vorn. *b*. Das nach hinten umgeschlagene Blatt des Rückenmarks. *c*. Der dadurch gebildete Rückenmarkskanal. *d*. Biegung des Rückenmarks nach vorn. *e*. Eine kleine Anschwellung des Randes des Rückenmarks, wo es an der vierten Hirnhöhle auseinander weicht. *f*. Abermalige Krümmung des Rückenmarks nach oben. *g*. Das senkrecht durchschnittene kleine Hirn. *h*. dünnes Blättchen, welches das kleine Hirn mit der Vierhügelmembran verbindet, oder die sogenannte große Hirnklappe. *i*. Das dickergewordene in den Hirnschenkel übergehende Rückenmark. *k. k.* Die senkrecht durchschnittene Membran der Vierhügel. *m*. Die dritte Hirnhöhle. *n*. Der Hirnanhang. *o*. Der Sehhügel. *p*. Der Riechnerve. *q*. Der senkrechte Durchschnitt des jetzt noch perpendikulär stehenden Balkens. *r*. Das vordere Schenkelchen des jetzt noch nicht verbundenen Bogens, welches sich nach hinten krümmt um in das *Cornu ammonis* überzugehen; unter seinem freien nach unten gerichteten Rande befindet sich der sehr geräumige Eingang in den Seitenventrikel, durch welchen sich die Gefäßhaut des Hirns in den Seitenventrikel hincinschlägt, um den *Plexus chorioideus* zu bilden. *s*. Die noch sehr kleinen Hemisphären des großen Hirns.

Fig. XIII. Obere Fläche des Hirns eines vierzehn bis fünfzehn Wochen alten Embryos. *a, a*. Das Rückenmark.



*b.* Die von oben auseinander weichenden Schenkel des Rückenmarks, wodurch die vierte Hirnhöhle zum Vorschein kommt. *c.* Das kleine Hirn, welches noch keine Furchen hat. *d. d.* Die rechte Hemisphäre des großen Hirns, welches die Vierhügelmasse noch nicht bedeckt. *e.* Eine Einsenkung der membranartigen Hemisphäre, deren man mehrere erblickt.

Fig. XIV. Dasselbe Hirn von unten. *a. a.* Das Rückenmark. *b.* Die vordere Längsfurche des Rückenmarks. *c. c.* Die Pyramiden, oder die Pyramidalstränge des Rückenmarks. *d. d.* Die strickförmigen Körper, oder die Schenkel des Rückenmarks zum kleinen Hirn. *e. e.* Die Olivarstränge des Rückenmarks, auf denen sich die Olivenkörper noch nicht gebildet haben. *f. f.* Das kleine Hirn. *g.* Höhle des kleinen Hirns. *h.* Die Brücke, der Hirnknoten. *i. i.* Die Schenkel des großen Hirns. *h.* Das fünfte Nervenpaar. *l.* Die Hügelchen (*Eminentiae candicantes.*) *m.* Der Hirnanhang, *n.* Die Schnerven. *o.* Die Riechnerven. *p. p.* Die sylvische Gruben. *q. q.* Die mittleren Lappen des großen Hirns. *r.* Die hinteren Lappen des großen Hirns. *s. s.* Die vorderen Lappen des großen Hirns.

Fig. XV. Dasselbe Hirn von der Seite. *a.* Das Rückenmark. *b.* Biegung des Rückenmarks nach vorn. *c.* Anschwellung des Rückenmarks. *d.* strickförmiger Körper oder Strang, Schenkel des Rückenmarks zum kleinen Hirn, *e.* fünftes Nervenpaar. *f.* Eingang in die Höhle des kleinen Hirns und in die vierte Hirnhöhle. *g.* Kleines Hirn. *h.* Vierhügelmasse. *i.* Schenkel des großen Hirns. *h.* Hinterer Lappen des großen Hirns. *l.* Vorderer Lappen des großen Hirns *m.* Schnerve. *n.* Riechnerve. *o.* Sylvische Grube.

Fig. XVI. Senkrechter Durchschnitt des Hirns. *a.* Rückenmark. *b.* Rückenmarkskanal, *c.* Vierte Hirnhöhle. *d.* Kleiner Wulst am Rückenmark. *e.* Kleines Hirn. *f.* Anschwel-



lung des Rückenmarks. *g.* Höhle der Vierhügelmasse. *h.* Membranartige obere Wand der Vierhügelmasse. *i.* Sehhügel. *k.* Dritte Hirnhöhle. *l.* Hirnanhang. *m.* Hügelchen (*eminentia candidans*). *n.* Sehnerv. *o.* Riechnerv. *p.* Balken, (*Corpus callosum*) große Hirncommissur (*Commissura cerebri maxima*). *q.* Vorderes Säulchen des Bogens, über den Sehhügel sich krümmend. *r, r.* Innere Fläche der Hemisphäre des großen Hirns.

Fig. XVII. Geöffnete Seitenhirnhöhlen. *a, a.* Das Rückenmark. *b, b.* Das kleine Hirn. *c.* Die vierte Hirnhöhle. *d, d.* Die Vierhügelmasse. *e, e, e.* Ränder der zurückgeschlagenen oberen Wand der Seitenhirnhöhle. *f.* Das Adergeflecht. *g.* Vorderer Theil des Bodens des Seitenventrikels. *h.* Hinterer Theil des Bodens des Seitenventrikels. *i.* Gestreifter Körper. *k.* Das Ammonshorn, der gerollte Wulst der große Seepferdssfuß. *l.* Der kleine Seepferdssfuß. *m, m.* Dickerer Theil der vom gestreiften Körper aufsteigenden Membran der Hemisphäre.

Fig. XVIII. Die Hemisphären des großen Hirns von oben nach den Seiten auseinandergeschlagen. *a, a.* Das Rückenmark. *b, b.* Die sich nach den Seiten ausschlagenden Stränge des Rückenmarks. *c, c.* Das kleine Hirn. *d.* Sein mittlerer Theil. *e.* Die vierte Hirnhöhle. *f, f.* Die Vierhügelmassen mit ihrer Längsfurche. *g.* Die sogenannten Sehhügel. *h.* Die Zirbel. *i.* Die Stielchen der Zirbel. *k.* Die dritte Hirnhöhle. *l.* Die vorderen Säulchen des Bogens. *m.* Der Balken oder die große Hirncommissur. *n.* Die nach hinten umgebogenen und in die Ammonshörner verlaufenden Säulchen des Bogens mit ihren Säumen. *o, o.* Grube oder Einsenkung der Hirnmembran, welche nach innen die Ammonshörner bildet. *p, p, p, p.* Hemisphären des großen Hirns. *q, q.* Einsenkungen der Hirnmembran, wel-



che nach innen als Wulst oder Falte vorspringend die kleinen Seepferdsfüsse bilden.

Fig. XXIX. Das Hirn und Rückenmark in seiner Verbindung von hinten angesehen. Man erblickt die beiden Anschwellungen des Rückenmarks und die anfangende *Cauda equina*. An der ganzen hinteren Fläche verläuft die hintere, in den Rückenmarks-Kanal eingehende Längsspalte. *a. a.* Die beiden Stränge des Rückenmarks. *b. b.* Stelle, wo sie auseinander weichen und die vierte Hirnhöhle bilden. *c.* die vierte Hirnhöhle. *d. d.* Das kleine Hirn, mit seinen Querfurchen. *e. e.* Die noch zum Theil zu Tage liegenden Vierhügelgebilde. *f. f.* Die Hemisphären des grossen Hirns.

Fig. XX. Ansicht des Hirns von oben, bei nach den Seiten auseinander geschlagenen Hemisphären. *a. a.* Das Rückenmark. *b.* Stelle, wo der Rückenmarks-Kanal, beim Auseinanderweichen der Schenkel des Rückenmarks, in die vierte Hirnhöhle übergeht. *c.* Die hintere Spitze der vierten Hirnhöhle. *d. d.* Das kleine Hirn. *e. e.* Die Vierhügelgebilde mit ihrer schwachen Längsfurche. *f. f.* Die nach den Seiten auseinander geschlagenen Hälften des grossen Hirns. *g.* Die rechte Seitenhirnhöhle, welche durch die Herausnahme der inneren Wand der Hemisphäre geöffnet ist. *h.* Der gestreifte Körper. *i. i.* Eingesenkte Stellen der Furchen an der inneren Wand der linken Hemisphäre. *k. k.* Die sogenannten Sehhügel. *l. l.* Die Stielchen der Zirbel. *m.* Die Zirbel. *n.* Die dritte Hirnhöhle. *p. p.* Die vorderen Schenkel des Bogens. *q.* Der Balken.

Fig. XXI. Ansicht eines senkrechten Durchschnitts des selben Hirns. *a.* Das Rückenmark mit seinem Kanal. *b.* Stelle, wo es sich nach der Seite schlägt. *c.* Anschwellung der *Taenia grisea Wenzels analog*. *d.* Beugung des Rückenmarks nach vorn. *e.* Durchschnittener Hirnknoten. *f.* Schne-



kel des großen Hirns. *g.* Kleines Hirn, aus fünf Aeften und Lappen bestehend. *h.* Vierte Hirnhöhle und Hohligkeit des kleinen Hirns. *i.* Höhle der Vierhügel. *h.* Wand der Vierhügel. *l.* Vermeintlicher Sehnervenhügel. *m. n.* Balken. *o.* Vordere Commissur. *p.* Hirnanhang. *q.* Hügelchen (*eminentia candicans*.) *r.* Vorderer Schenkel des Bogens, neben ihm setzt sich die dritte Hirnhöhle nach vorn in die unter dem Balken liegende Höhle der Scheidewand fort. *s. t.* Der über den Schhügel sich krümmende hintere Schenkel des Bogens. *u.* Dritte Hirnhöhle. *v. v. v. v.* Furchen oder Einsenkungen. *w.* Riechnerve.

Fig. XXII. Obere Fläche des Hirns eines *Fötus* aus der ein und zwanzigsten Woche. *a.* Das durchschnittene Rückenmark. *b.* Anschwellung des Rückenmarks. *c.* Kleines Hirn mit seinen Querfurchen. *d. d. d. d.* Hemisphären des großen Hirns.

Fig. XXIII. Dasselbe Hirn von unten. *a. a.* Stränge des Rückenmarks. *b. b.* Beugung des Rückenmarks nach vorn. *c. c.* Die Pyramiden. *d.* Die Olivarstränge des Rückenmarks. *e. e.* Der Hirnknoten. *f. f.* Eingang in die vierte Hirnhöhle und in die Hohligkeit des kleinen Hirns, durch welche sich die Gefälshaut hineinzieht. *g. g.* Die beiden Hemisphären des kleinen Hirns. *h. h.* Hintere Lappen des großen Hirns. *i. i.* Sylvische Gruben. *k. k.* Vordere Lappen. *l. l.* Mittlere Lappen. *m. m.* Schenkel des großen Hirns. *n.* Hügelchen (*eminentiae candicantes*.) *o.* Hirnanhang. *p.* Sehnerven. *q.* Riechnerven.

Fig. XXIV. Dasselbe Hirn oben, die Hemisphären sind etwas von einander gezogen; die Seitenhirnhöhle ist geöffnet. *a. a.* Das Rückenmark. *b. b.* Anschwellung des Rückenmarks. *c.* Mittlerer Theil des kleinen Hirns, oder der Wurm, nebst dem kleinen hinteren oder beutelförmigen Aus-



schnitt. *d. d.* Die Vierhügel. *e.* Sehhügel. *f.* Zirbel mit ihren Stielchen. *g.* Der Balken, die große Hirncommissur. *h. h. h.* Ränder oder Flächen der durchschnittenen Hemisphäre. *i.* Saum (*Taenia*.) *k. k.* Gerollter Wulst, oder großer Seepferdssfuß (*Pes hippocampi major*.) *l.* Kleiner hinterer Wulst oder kleiner Seepferdssfuß (*Pes hippocampi minor*.) *m.* Vertiefung zwischen dem Sehhügel und dem gestreiften Körper, weil der Hornstreifen noch nicht gebildet ist. An dieser Stelle zieht sich die Gefäßhaut in es dieitenventrikel um den *Plexus choroideus* zu bilden. *n.* Der große Wulst, welcher dem gestreiften Körper analog ist. *o.* Vorderes Horn des Seitenventrikels. *p.* Mittleres absteigendes Horn. *q.* Hinteres Horn. *r. r.* Rechte Hirnhälfte.

Fig. XXV. Senkrechter Durchschnitt desselben Hirns. *a.* Rückenmark. *b.* Kleiner Wulst, der grauen Leiste (*Taenia grisea*) Wenzels analog. *c.* Spitze des vierten Ventrikels, oder Schreibfeder (*Calamus scriptorius*.) *d.* Vierte Hirnhöhle. *e.* Aeste und anfangende Zweige des kleinen Hirns. *f.* Außere Furchen des kleinen Hirns. *g.* Verlängertes Rückenmark. *h.* Der Hirnknoten. *i.* Der Schenkel des großen Hirns. *k.* Höhle der Vierhügel. *l.* Dicke Wand der Vierhügelmassen. *m.* Große Hirnklappe, oder vorderes Marksegel Reils. *n.* Uebergang der Höhle der Vierhügel in die dritte Hirnhöhle. *o.* Sehhügel. *p.* Dritter Ventrikel. *q.* Hohler Hirnanhang. *r.* Hügelchen (*eminentia candidans*). *s.* Vorderer Schenkel oder vorderes Säulchen des Bogens. *t.* Balken. *u.* Durchsichtige Scheidewand. *v.* Stelle in der dritten Hirnhöhle, wo sich das Säulchen heraufzieht. *w.* Riechnerve. *x.* Vertiefung, welche in dem Seitenventrikel dem kleinen Wulst oder dem kleinen Seepferdssfuß entspricht. *y. y. y. y.* Vertiefungen oder Einsenkungen der Hirnsubstanz, anfangende Furchen oder Windungen. *z.* Vordere Commissur.



Fig. XXVI. Stück der linken Hemisphäre mit seinen äußeren Vertiefungen, welche dem gerollten Wulst und dem kleinen Wulst entsprechen. *a. a. a.* Außere Fläche des hinteren und mittleren Lappens. *b.* Rand des Saums. *c.* Saum (*Taenia*). *d.* Hinterer Schenkel des Bogens. *e. e.* Vertiefung dem gerollten Wulst, oder dem großen Seepferdssfuß (Fig. *i. k. h.*) entsprechend. *f.* Vertiefung, dem kleinen Wulst oder dem kleinen Seepferdssfuß (Fig. *i. l.*) entsprechend.

Fig. XXVII. Rechte Hemisphäre desselben Hirns, woran die Ausstrahlung der Fasern des Hirnschenkels in den gestreiften Körper und in die Wand der Hemisphäre sichtbar ist. *a.* Rückenmark. *b.* Anschwellung des Rückenmarks. *c.* Kleines Hirn mit seinen Querfurchen. *d.* Vierhügel. *e.* Schhügel. *f. f.* Ausstrahlung der Fasern des Hirnschenkels nach Aufhebung und Zurückschlagung des gestreiften Körpers. *g.* Untere Fläche des losgetrennten und zurückgeschlagenen gestreiften Körpers, woran die vom Hirnschenkel in den gestreiften Körper eingehenden Fasern sichtbar sind. *h. h. h.* Verlauf der ausstrahlenden Fasern des Hirnschenkels an der innern Fläche der Hemisphäre, nachdem hier eine dünne Schichte faserloser Substanz mit dem Skalpell weggenommen war. *i. i.* Strahlung der Fasern nach außen in der durchschnittenen dicken Seitenwand der Hemisphäre. *h. h.* Dieselbe Strahlung in der vorderen und hinteren Wand. *l. l.* Dieselbe Strahlung in der inneren und unteren Wand.

Fig. XXVIII. Stück der oberen Wand einer Hemisphäre. *a. a.* Obere Fläche des Stücks nach abgener Gefäßhaut, mit einer Schichte weicher Substanz belegt, welche unter dem Mikroskop wie aus Kügelchen gebildet erscheint. *b. b.* Die innere Fläche der abgezogenen, und zurückgeschlagenen Gefäßhaut, wovon eine dünne Schichte jener weichen faserlosen Substanz anhängt. *c.* Stelle, wo eine



dickere Portion jener weichen Substanz sich beim Zurück- schlagen der Gefäßhaut losgetrennt hat. *d.* Dieselbe Portion an der zurückgeschlagenen Gefäßhaut adhärirend. *e. e.* Fasern an den Flächen eines abgebrochenen Stückchens. *f. f.* Schichte der weichen, kugelförmigen Substanz, welche auf den Fasern liegt.

Fig. XXIX. Untere Fläche des Hirns eines Fötus aus der sieben und zwanzigsten Woche. *a.* Der linke Rückenmarksstrang. *b.* Der im Durchschnitt erscheinende Rückenmarks-Kanal. *c.* Die Pyramiden. *d.* Die Oliven. *e.* Die strickförmigen Körper. *f.* Untere Fläche des kleinen Hirns. *g. h.* Die Flocke. *i.* Der aus Quermarkfasern bestehende Hirnknoten mit einer Längs-Vertiefung, worin die Grund-Arterie (*Arteria basilaris*) lag. *h.* Die der Länge nach gefaserten Hirnschenkel, die Fortsetzungen der Pyramiden. *l.* Die Hügelchen (*eminentiae candicantes*). *m.* Der Hirnanhang. *n.* Die Verbindung der Schnerven. *o. o.* Die weit über das kleine Hirn überragenden hinteren Lappen des grossen Hirns. *p. p.* Die mittleren Lappen. *q.* Die vorderen Lappen. *r.* Die aus den sylvischen Gruben kommenden Riechnerven. *s.* Die Kolbe des Riechnerven. *t.* Anfangende Windungen. 1. Das aus der sylvischen Grube und von den unteren aus dem gestreiften Körper ausstrahlenden Fasern entspringende erste Nervenpaar. 2. Das aus dem vorderen Vierhügelpaar, aus dem *Corpore geniculato* und aus dem oberen Theil der Sehhügel entspringende zweite Nervenpaar. 3. Das aus den Hirnschenkeln hervortretende dritte Nervenpaar. 4. Das aus dem grossen Marksegel oder aus der Hirnklappe entspringende vierte Nervenpaar. 5. Das zwischen den Olivarsträngen und strickförmigen Körpern entspringende, und durch den Hirnknoten dringende fünfte Nervenpaar. 6. Das zwischen den Pyramidal- und Olivarsträngen entspringende sechste Nervenpaar. 7. Das aus dem



verlängerten Rückenmark hervortretende siebente Nervenpaar. 8. Das aus den grauen Leisten (*Taenia grisea*) entspringende achte Nervenpaar. 9. Das neunte Nervenpaar. 10. Das zehnte Nervenpaar. 11. Das zwölfte Nervenpaar.

Fig. XXX. Dasselbe Hirn von der Seite. *a.* Das Rückenmark. *b.* Der strickformige Körper, oder der Strang des verlängerten Rückenmarks zum kleinen Hirn. *c.* Die Pyramide. *d.* Der Olivarkörper. *e.* Das kleine Hirn. *f.* Die Beugung des Rückenmarks nach vorn. *g.* Die Flocke. *h.* Der Hirnknoten. *i.* Der mittlere Lappen des grossen Hirns. *k.* Der hintere Lappen. *l.* Der vordere Lappen. *m. m.* Die tiefe und breite sich weit an den Seiten heraufziehende sylvische Grube, worin die mittlere Hirnschlagader liegt, welche ihre meisten Zweige in die Tiefe zu dem im Inneren liegenden gestreiften Körper abschickt. *n.* Der aus der sylvischen Grube sich herabziehende Riechnerve. *o. o. o.* Einsenkungen oder Gruben in der Hirnsubstanz, anfangende Windungen.

Fig. XXXI. Dasselbe Hirn von oben. Die linke Hemisphäre ist aufgeschnitten und die Seitenhirnhöhle geöffnet. *a.* Das Rückenmark. *b.* Das kleine Hirn. *c.* Die Vierhügel. *d.* Der Balken, die grosse Hirncommissur. *e.* Die etwas nach der Seite gezogene rechte Hirnhälfte, damit der Balken sichtbar werde. *f. f. f.* Einsenkung oder Gruben, anfangende Windungen. *g.* Die sehr breite durchschnittene äussere Wand des Seitenventrikels, mit sichtbaren strahlenförmigen und schichtenweise aneinander liegenden Fasern. *h.* Die dünnere vordere und hintere Wand des Seitenventrikels. *i.* Die dünnste innere Wand. *k.* Durchschnittene Einsenkungen, oder anfangende Windungen. *l.* Der grosse gestreifte Körper. *m.* Vorderes Horn des Seitenventrikels. *n.* Absteigendes Horn desselben Ventrikels. *o.* Hinteres Horn. *p.* Gerollter Wulst, oder grosser Seepferdssfuß. *q.* Der Saum (*Taenia s. fimbria*). *r.* Der an den gestreiften Kör-



per stofsende Sehhügel; hier tritt unter dem Saum der *Plexus choroideus* in den Seitenventrikel. *s.* Hinterer Wulst oder kleiner Seepferdssfuß.

Fig. XXXII. Die vierte Hirnhöhle und das kleine Hirn von unten angesehen. *a. a.* Das Rückenmark. *b. b.* Die strickförmigen Körper. *c. c.* Die grauen Leisten (*Tæniæ cinereæ*) der Gebrüder Wenzel. *d.* Die vierte Hirnhöhle. *e. e.* Die hinteren oberen Lappen des kleinen Hirns. *f. f.* Die hinteren unteren Lappen. *g. g.* Die zarten und zweibäuchigen Lappen. *h. h.* Der hintere nach innen umgeschlagene dünne Rand des kleinen Hirns, das hintere Marksegel Reils darstellend. *i. i.* Die Flocken. *k.* Die Pyramide des kleinen Wurms. *l.* Der Zapfen.

Fig. XXXIII. Das Hirn desselben Fötus von oben. *a.* Das Rückenmark. *b.* Die hintere Längsfurche. *c. c.* Die strickförmigen Körper mit den zarten hinteren Strängen des Rückenmarks. *d.* Der Centrallappen des kleinen Hirns. *e. e.* Die vierseitigen Lappen. *f. f.* Die hinteren oberen Lappen. *g.* Olivarstränge. *h.* Vorderes Vierhügel-Paar. *i.* Hinteres Vierhügel-Paar. *k.* Hintere Commissur. *l.* Die durchschnittene Zirbel. *m.* Die Stielchen der Zirbel. *n.* Die obere Fläche der Sehhügel. *o.* Die innere Fläche der Sehhügel. *p.* Die dritte Hirnhöhle. *q.* Der gestreifte Körper. *r.* Sein vorderer innerer Theil. *s.* Sein vorderer äußerer Theil. *t.* Die aus dem gestreiften Körper nach außen strahlenden Fasern des Hirnschenkels. *u.* Die durchschnittene vordere Commissur. *v. v.* Der durchschnittene Balken. *w.* Die eine Lamelle der vom Bogen gegen den Balken sich erhebenden Scheidewand. *x.* Der gerollte Wulst. *y.* Der Saum. *z.* Die Vertiefung neben dem gerollten Wulst, in welche sich eine Falte der Gefäßhaut einsenkte.

Fig. XXXIV. Senkrechter Durchschnitt desselben Hirns. *a.* Das Rückenmark. *b.* Verlängertes Rückenmark. *c.* Hirn-



knoten. *d.* Graue Leiste (*Taenia cinerea*) Wenzels. *e.* vieret Hirnhöhle. *f.* Sylvische Wasserleitung unter den Vierhügeln. *g.* Hirnklappe Vieussen's oder großes Marksegel Reils. *h. i.* Stehender Ast des kleinen Hirns nach Reil. *h. l. m.* Liegender Ast des kleinen Hirns nach Reil. *n.* Die Vierhügel. *o.* Die Sehhügel. *p.* Die dritte Hirnhöhle. *q.* Hirnschenkel. *r.* Hügelchen (*eminentia candidans*). *s.* Fasern, welche vom Hügelchen kommen, und sich in den Bogen erheben. *t.* Vordere Commissur. *u.* Trichter des Hirnanhangs. *v.* Sehnerve. *w.* Lamelle der Scheidewand und Höhle der Scheidewand. *x.* Der Saum. *y.* Der als gerollter Wulst abwärts steigende Bogen. *z.* Balken. \*\*\* Vertiefungen und Furchen, anfangende Windungen, in welche sich Falten der Gefäßhaut einsenkten.

Fig. XXXV. Rechte Hemisphäre desselben Hirns  
*a.* Hügelchen. *b.* Die von dem Hügelchen aufsteigenden und sich nach hinten krümmenden Fasern, welche den Bogen bilden. *c.* Längenfaser, welche von unten und vorn aufstiegen und sich über den Balken krümmten an der inneren Fläche der Hemisphäre, und sich dann mit dem gerollten Wulst verbanden. *d.* Gerollter Wulst, welcher in dem mittleren Lappen sich endigt. *e.* Vertiefungen neben demselben in welche sich die Gefäßhaut einsenkte. *f.* Balken. *g.* Lamelle der Scheidewand. *h.* Fasern des Hirnschenkels, nach Wegnahme des Sehhügels, welche in den gestreiften Körper eingehen. *i. i.* Der bogenförmig um den Hirnschenkel gekrümmte gestreifte Körper. *h.* Vertiefung. *l.* Riechnerve. *m.* Sehnerve.

Fig. XXXVI. Linke Hemisphäre des großen Hirns mit der an derselben sichtbaren Ausstrahlung der Fasern, nach Wegnahme der äußeren Schichte, worin sich die Windungen befanden. *a.* Punkt, von wo die Ausstrahlung ausgeht, nach innen liegt an dieser Stelle das *Corpus stria-*



*um.* *b. b. b.* Die nach vorn, nach oben und nach hinten ausstrahlenden Fasern des Hirnschenkels. *c. c. c.* Die peripherisch ausstrahlenden, auf jenen gleichsam stehenden Fasern, mit einer Schichte weicher Substanz belegt.

Fig. XXXVII. *a.* Das durchschnittene Rückenmark. *b.* Stelle, wo sich die Pyramidalstränge kreuzen. *c.* Die nach oben und vorn verlaufenden und breiter werdenden Pyramiden. *d.* Durchgang des Pyramidalstrangs durch den Hirnknoten, und Verflechtung der Längenfaser des Pyramidalstrangs mit den Querfasern des Hirnknotens. *e. e. e. e.* Die als Schenkel des großen Hirns aus dem Hirnknoten austretenden Pyramidalstränge und deren Fortschreiten in die Sehhügel und gestreiften Körper. *f.* Zurückgeschlagener Theil des Hirnknotens. *g.* Die andere Hälfte des Hirnknotens. *h.* Die Olivarkörper. *i. i.* Die strickförmigen Körper. *k.* Die Flocken. *l. l.* Die beiden Hälften des kleinen Hirns. *m.* Ein von dem Sehhügel sich gegen das weisse Hügelchen (*eminentia candidans*) herabsenkendes Faserbündel. *n.* Stelle wo es sich im weissen Hügelchen umbeugt. *o.* Sein Uebergang in das vordere Säulchen des Bogens.

Fig. XXXVIII. *a.* Rückenmark von der Seite. *b.* Der Pyramidalstrang. *c.* Dessen Durchgang durch den Hirnknoten, und Fortsetzung in den Hirnschenkel. *d.* Der durchschnittene Hirnknoten. *e.* Der Olivarkörper. *f.* Der Olivarstrang, welcher nach Wegnahme der einen Hälfte des Hirnknotens zum Vorschein kommt. *g.* Verlauf der aufsteigenden Fasern des Olivarstrangs gegen die Vierhügel. *h.* Der strickförmige Körper. *i.* Der strickförmige Körper an der Stelle durchschnitten wo er in das kleine Hirn eindringt. *k.* Großer Markkern des kleinen Hirns, welcher in schräger Richtung durchschnitten ist. *l.* Schenkel des kleinen Hirns zu den Vierhügeln. *m. m.* Die in schräger Richtung durchschnittenen und auf dem Markkerne aufsitz-



enden Aestchen des kleinen Hirns. *n.* Die obere Schichte der Vierhügel aufgehoben. *o.* Die unteren gegen den Sehhügel verlaufenden Fasern des Olivarstrangs.

## B. Bau und Entwicklung des Rückenmarks. \*)

Fig. I. Queerdurchschnitt des Rückenmarks an einem einjährigen Knaben, unterhalb der vorderen Pyramiden. *f. a.* Vordermarkstränge. Die innern Ränder dieser Stränge sieht man noch nicht nach hinten umgebogen, wie sich dieß weiter unten zeigt. Daher kommt es, daß die graue Substanz (*substantia cinerea*) in diesem Durchschnitt die Gestalt eines Hufeisens hat, und man daselbst keine Vorderhörner bemerkt. *f. p.* Hintere prismatische Stränge, die von den untern Pedunkeln des kleinen Hirns herabsteigen. *p.* Kleine Stränge der hintern Pyramiden, die sich in der Gestalt kleiner Platten zeigen, weil sie schmal und eingeengt zwischen den oben genannten hintern Strängen herabgehen. *s. a.* Vordere Mittelfurche, die am wenigsten tiefe, weil die innern Ränder der vordern Stränge noch nicht umgebogen und nach hinten gekehrt sind, wie in den untern Gegenden bemerkt wird. *s. p.* Hintere Mittelfurche, in der Nackenregion durch die Annäherung der hintern Pyramiden gebildet. Diese Furche ist beständig tiefer als die vordere, wegen der prismatischen Form der hintern Stränge. *s. l.* Hintere Seitenfurchen, welche den vordern Hörnern der grauen Substanz entsprechen, und die vordern Stränge von den hintern sondern; *s. p. p.* Furchen der hintern Pyramiden. Sie finden sich nur in der Nackenregion und sind kaum sichtbar: deßwegen dringt auch keine Membran zwischen diese und die hintern Stränge; *r. a.* Vorderwurzeln der Rückgratsnerven; *r. p.* Hinterwurzeln.

---

\*) Nach Rolando.



Fig. II. Querschnitt des Rückenmarks (eines achtjährigen Knaben), unterhalb der vordern Pyramiden vorgenommen. f. a. Vordere Stränge, deren innere Ränder kaum in gegenseitige Berührung kommen, und noch nicht einwärts gekehrt sind. Demzufolge zeigt sich die graue Substanz unter der Gestalt eines Hufeisens oder eines Zungenbeins, und deshalb treten seine vordern Hörner nicht vorwärts. a. w. Wurzel des Beinerven (*n. accessorius Willisii*). e. p. — s. a. — s. p. — s. p. p. Diese Buchstaben deuten auf dieselben Gegenstände, wie bei der Figur 1. r. a. Vorderwurzeln der Rückgratsnerven. r. p. Hinterwurzeln.

Fig. III. Querschnitt des Rückenmarks bei demselben Individuum, in der Höhe des zweiten Halswirbels vorgenommen. f. a. Vordere Stränge, deren innere Ränder weit mehr einwärts umgebogen sind, so daß die Vorderfurchen etwas weniger tief sind, und die Vorderhörner der grauen Substanz besser ausgedrückt sind. Demzufolge zeigt sich diese Substanz unter der Gestalt von Halbmonden, die durch eine dünne Brücke von eben solcher Substanz mit einander verbunden sind. f. p. — n. a. — s. a. — s. p. — l. s. — s. p. p. — r. a. — r. p. Diese Buchstaben deuten auf dieselben Gegenstände wie bei der 30sten Figur.

Fig. IV. Querschnitt desselben Rückenmarks am 4ten Halswirbel. Diese Figur hat nichts Abweichendes, außer daß die graue Substanz ein klein wenig reichlicher und die vordern Hörner dicker sind.

Fig. V. Querschnitt desselben Rückenmarks, angestellt zwischen dem 6ten Paar der Halswirbel. Die graue Substanz ist auch hier reichlicher. Einige sehr weiße Fäden gehen von ihren vordern Hörnern aus. Die hintern Stränge sind weiter, der Beinerv wenig von der hintern Seitenfurchen entfernt. a. Kleine Furchen oder Spalten, die man zwischen den Falten der lamina medullaris entdeckt.



Fig. VI. Querdurchschnitt desselben Rückenmarks, zwischen den Wurzeln des 8ten Paares der Rückenmarksnerven durchgeführt.

Aus dieser Figur sieht man, daß die beiden Theile der grauen Substanz nicht so gewölbt, und ihre Vorder- und Hinterhörner mehr gerade sind, wie man in der Mitte der Rückenregion bemerkt.

Fig. VII. Querdurchschnitt des Rückenmarks eines funfzigjährigen Mannes. Der Schnitt wurde unter den Cervicalnerven des ersten Paares durchgeführt. Die inneren Ränder der Vorderstränge sind wenig nach innen gebogen. Die graue Substanz erscheint unter der Gestalt eines Hufeisens.

Fig. VIII. Schnitt, ähnlich dem vorigen, fast unter dem 7ten Paar der Halsnerven geführt. Durch diese Figur wird offenbar, daß die graue Substanz sich in geringerer Quantität in diesem Marke befand. Außerdem sieht man die genannte Substanz sich in Fäden ausbreiten, die mitten zwischen die Medullarfasern der Vorderstränge eindringen.

Fig. IX. Querdurchschnitt des Rückenmarks eines Mannes von 55 Jahren, durch die Wurzeln des ersten Paares der Rückennerven geführt. f. a. Vorderstränge, deren innere Ränder sehr nach innen gebogen sind und sich rund um die Vorderhörner der grauen Substanz ziehen, die in dieser Region in größerer Quantität gefunden wird. f. p. Prismatische hintere Stränge. s. a. Vordere Mittelfurche, in die eine Falte der pia mater eingeht. s. p. Hintere Mittelfurche, tiefer, weil die hintern Stränge mit ihrem vordern Winkel weiter vorgehn. Ist immer weniger sichtbar, weil die pia mater hier nicht wie in die vordere Furche eindringt. s. l. Hintere Seitenfurchen; durch Maceration lassen sich die hintern Stränge von den vordern



an diesem Ort ganz trennen. Dagegen ist mir's niemals gelungen, die vordern Stränge getrennt und abgesondert zu sehen nach der Direction der kleinen Vorderwurzeln der Rückenmarksnerven, so daß man sicher schliessen kann, daß keine vordern Seitenfurchen vorhanden sind.

Fig. X. Querschnitt desselben Rückenmarks durch die Wurzeln des 2ten Paares der Rückennerven.

Fig. XI. Querschnitt desselben Rückenmarks durch die Wurzeln des 8ten Paares der Rückennerven geführt. Die graue Substanz ist weniger reichlich, und man konnte sehen, daß ihre Ränder nicht gleich waren, da zahlreiche Verlängerungen abgingen, die zwischen die dünnen Medullarfasern der Vorderstränge eindrangen. Die Hinterstränge sind schmaler.

Fig. XII. Querschnitt desselben Rückenmarks zwischen dem 9ten Paar der Rückennervenwurzeln.

Fig. XIII. Querschnitt desselben Rückenmarks, bewerkstelligt an den Wurzeln des 12ten Paares der Rückennerven. Die graue Substanz wird wieder etwas reichlicher, auf der innern Seite ihrer Hinterhörner habe ich zwei kleine Oeffnungen gesehen, die ich für Blutgefäße halte. Ich wage nicht zu entscheiden, ob es dieselben sind, wovon Herr Gall spricht und die er bis zu den Sehnervenhügeln verfolgt hat.

Fig. XIV. Querschnitt desselben Rückenmarks, zwischen den Wurzeln des ersten Paares der Lendennerven. Wie viele Verschiedenheiten die graue Substanz darbietet, geht auch aus den Untersuchungen des Herrn Professor F. Caldani hervor. Mem. della società Italiana, tomo XIX.

Fig. XV. Querschnitt desselben Rückenmarks, an den Wurzeln des 3ten Paares der Lendennerven. Man bemerkt, daß daselbst die graue Substanz weit reich-



licher ist. Die innern Ränder der Vorderstränge sieht man nicht mehr nach innen gebogen. Die vordere Furche verlängerte sich zum Theil in die graue Substanz, eben so wie die Falten der pia mater. Die Hinterstränge sind viel breiter als in der Rückenregion.

Es muß bemerkt werden, daß die Fig. XVI., XVII. u. XVIII. doppelt sind, die obern nämlich größser, die andern in natürlicher Größe. Bei der Fig. XVII. sieht man die Lamellenstructur (Faserstructur) der vordern Stränge, und in XVIII. ist die Nähe der vordern Wurzeln an der hintern Mittelfurche bezeichnet. In ihrer Mitte sind zwei vordere Rückgratspulsäderchen (*arteriolae spinales anteriores*). In dieser Gegend und auch in der, die mit dem 4ten Paar der Halsnerven correspondirt, habe ich die hintern weißen Fäden gesehen.

Fig. XVI. Querschnitt des Rückenmarks, bewerkstelligt an den Wurzeln des 4ten Pairs der Hüftnerven. Die innern Ränder der vordern Stränge sind noch weniger umgebogen und nach innen gewandt, beinahe wie man am obern Theil des Marks und hinter den vorderen Pyramiden bemerkt. Demzufolge fehlen auch die Vorderhörner der grauen Substanz, die in der Lendengegend reichlicher ist. Man bemerkt, daß die graue Substanz vor sich Spitzen und Winkel hat, die in die Medullarfasern der vorderen Fascikel eingehen. Die Falte der pia mater, die in die vordere Mittelfurche eingeht, dringt auch bis mitten in die graue Substanz. Die hintern Stränge sind ziemlich breit. s. a. — c. a. — s. l. — f. p. — s. p. — bezeichnen dieselben Gegenstände, wie in den vorigen Figuren.

Fig. XVII. Querschnitt des Rückenmarks, welcher zwischen den Wurzeln des ersten Pairs der Kreuznerven läuft. Die innern Ränder der Vorderstränge sind



etwas mehr nach innen gebogen. Die innern Hörner der grauen Substanz sind stärker und ungleich. Was mich glauben macht, daß die zwei kleinen Oeffnungen Blutgefäße waren, ist, daß ich bei diesem Schnitt eine einzige Oeffnung fand. Demzufolge müssen sie nicht mit dem kleinen Canal, den man bei jungen Thieren sieht, verwechselt werden, der eine Andeutung vom Canal des Rückenmarks ist, welcher da war, ehe sich dieses mit der grauen Substanz füllte. Daher hat man ihn beständig in seinem Centrum gesehen. Man muß wohl darauf Acht haben, daß in dieser Region die Wurzeln der Vorderer-ven ziemlich nahe der vordern Mittelfurche gefunden werden, während die hintern viel weiter von einander entfernt sind, weil sie den Außenrändern der Hinterstränge entsprechen, die immer viel stärker sind.

Fig. XVIII. Queerdurchschnitt desselben Rückenmarks, zwischen den Wurzeln des 2ten Paares der Kreuznerven. Die Menge der grauen Substanz nimmt immer in demselben Verhältniß zu, in welchem die der Medullarsubstanz abnimmt, weil die vordern Fascikel um so dünner werden, je mehr sie Nervenfasern abgeben, wie aus der vorigen Figur ersichtlich ist.

Fig. XIX. Ein Queerdurchschnitt des Rückenmarks, durch die Wurzeln des 4ten Paares der Kreuznerven geführt.

Fig. XX. bis LII. Queerdurchschnitt eines Rinder-rückenmarks.

Fig. XX. Ein Schnitt unterhalb der vordern Pyramiden. Es scheint dieß der Punct zu seyn, von wo das Rückenmark ausgeht: deßhalb sieht man weiter unten keine Spuren der Pyramiden mehr. Man sieht, daß der Diameter von vorn nach hinten weit kleiner ist in Verhältniß zu dem, welcher sich von der einen nach der andern Seite erstreckt. Die graue Substanz findet sich hier in großer



licher ist. Die innern Ränder der Vorderstränge sieht man nicht mehr nach innen gebogen. Die vordere Furche verlängerte sich zum Theil in die graue Substanz, eben so wie die Falten der pia mater. Die Hinterstränge sind viel breiter als in der Rückenregion.

Es muß bemerkt werden, daß die Fig. XVI, XVII. u. XVIII. doppelt sind, die obern nämlich größer, die andern in natürlicher Größe. Bei der Fig. XVII. sieht man die Lamellenstructur (Faserstructur) der vordern Stränge, und in XVIII. ist die Nähe der vordern Wurzeln an der hintern Mittelfurche bezeichnet. In ihrer Mitte sind zwei vordere Rückgratspulsäderchen (*arteriolae spinales anteriores*). In dieser Gegend und auch in der, die mit dem 4ten Paar der Halsnerven correspondirt, habe ich die hintern weißen Fäden gesehen.

Fig. XVI. Queerdurchschnitt des Rückenmarks, bewerkstelligt an den Wurzeln des 4ten Pairs der Hüftnerven. Die innern Ränder der vordern Stränge sind noch weniger umgebogen und nach innen gewandt, beinahe wie man am obern Theil des Marks und hinter den vorderen Pyramiden bemerkt. Demzufolge fehlen auch die Vorderhörner der grauen Substanz, die in der Lendengegend reichlicher ist. Man bemerkt, daß die graue Substanz vor sich Spitzen und Winkel hat, die in die Medullarfaser der vorderen Fascikel eingehen. Die Falte der pia mater, die in die vordere Mittelfurche eingeht, dringt auch bis mitten in die graue Substanz. Die hintern Stränge sind ziemlich breit. s. a. — c. a. — s. l. — f. p. — s. p. — bezeichnen dieselben Gegenstände, wie in den vorigen Figuren.

Fig. XVII. Queerdurchschnitt des Rückenmarks, welcher zwischen den Wurzeln des ersten Pairs der Kreuznerven läuft. Die innern Ränder der Vorderstränge sind



etwas mehr nach innen gebogen. Die innern Hörner der grauen Substanz sind stärker und ungleich. Was mich glauben macht, daß die zwei kleinen Oeffnungen Blutgefäße waren, ist, daß ich bei diesem Schnitt eine einzige Oeffnung fand. Demzufolge müssen sie nicht mit dem kleinen Canal, den man bei jungen Thieren sieht, verwechselt werden, der eine Andeutung vom Canal des Rückenmarks ist, welcher da war, ehe sich dieses mit der grauen Substanz füllte. Daher hat man ihn beständig in seinem Centrum gesehen. Man muß wohl darauf Acht haben, daß in dieser Region die Wurzeln der Vordernerven ziemlich nahe der vordern Mittelfurche gefunden werden, während die hintern viel weiter von einander entfernt sind, weil sie den Außenrändern der Hinterstränge entsprechen, die immer viel stärker sind.

Fig. XVIII. Querschnitt desselben Rückenmarks, zwischen den Wurzeln des 2ten Paares der Kreuznerven. Die Menge der grauen Substanz nimmt immer in demselben Verhältniß zu, in welchem die der Medullarsubstanz abnimmt, weil die vordern Fascikel um so dünner werden, je mehr sie Nervenfasern abgeben, wie aus der vorigen Figur ersichtlich ist.

Fig. XIX. Ein Querschnitt des Rückenmarks, durch die Wurzeln des 4ten Paares der Kreuznerven geführt.

Fig. XX. bis LII. Querschnitt eines Rinder Rückenmarks.

Fig. XX. Ein Schnitt unterhalb der vordern Pyramiden. Es scheint dieß der Punkt zu seyn, von wo das Rückenmark ausgeht: deshalb sieht man weiter unten keine Spuren der Pyramiden mehr. Man sieht, daß der Diameter von vorn nach hinten weit kleiner ist in Verhältniß zu dem, welcher sich von der einen nach der andern Seite erstreckt. Die graue Substanz findet sich hier in großer



Quantität, und ihre Hinterhörner sind sehr verlängert und entsprechen den Knollen von grauer Substanz, die bei dem Menschen die vordern Stränge von den hintern absondern. Genannte Knollen sind jedoch äußerlich fast nie bei Quadrupeden sichtbar. 1. s. a. Vordere Mittelfurche. 2. f. a. Die vordern schmalen Stränge im Schweif des verlängerten Marks, die sich aber in dieser Höhe schon ziemlich breit zeigen. 3. s. l. Hintere Seitenfurchen, die unmerklich sich von der vordern nach der hintern Fläche wenden. 4. f. p. Hintere Stränge, weniger breit, als bei dem verlängerten Marke. 5. l. a. sehr weisse Linien oder Fäden, die aus den Vorderhörnern der grauen Substanz kommen. 6. s. p. hintere Mittelfurche.

Fig. XXI. Querschnitt des Rinderrückenmarks, zwischen den Wurzeln des 2ten Paares der Halsnerven bewerkstelligt. Die zwischen der Mark- und grauen Substanz stattfindenden Verhältnisse sind von denen der vorigen Figur verschieden. Diese letztere Substanz findet sich dort in geringer Quantität, und ihre Hinterhörner sind zugespitzt und von einer dunklern grauen Substanz umgeben. 1. s. a. Vordere Mittelfurche, in welche sich eine Falte der pia mater einschiebt. 2. f. a. Sehr breite Vorderstränge. 3 s. l. Hintere Seitenfurchen. f. p. Schmalere Hinterstränge. s. p. Hintere Mittelfurche. r. a. Vordere Wurzeln der Nerven des ersten Paares. r. p. Hintere Wurzeln. n. a. Beinerv (n. access. Willisii). l. a. Sehr weisse Streifen oder Fäden, die von den Vorderhörnern der grauen Substanz auslaufen.

Fig. XXII. Schnitt des Rückenmarks, zwischen den Wurzeln des 3ten Paares der Halsnerven. s. a. — f. a. — s. l. — f. p. — s. p. — r. a. — r. p. — n. a. — l. a. — Diese Buchstaben bezeichnen dieselben Gegenstände, die



in der vorigen Figur dargestellt sind. Die Hinterhörner der grauen Substanz sind ein wenig stärker. Bei den Hintersträngen sah man Spuren der Markfäserchen, aus denen sie bestehen.

Fig. XXIII. Einschnitt unterhalb der Wurzeln des 4ten Paares der Halsnerven. Hier zeigt sich nichts Besonderes. Gleichwohl sieht man an den Seiten der grauen Substanz viele Strahlenlinien, die die Plattenstructur der Markstränge beweisen.

Fig. XXIV. Schnitt zwischen den Wurzeln des 5ten Paares der Halsnerven angestellt. Das Rückenmark wird kleiner und mehr cylindrisch. Es erweitert sich nachher, wie aus den folgenden Einschnitten ersichtlich ist. x. Kleine Nebenfurche, die von der Plattenstructur des Rückenmarks abhängt.

Fig. XXV. Einschnitt in das Rinderrückenmark, zwischen den Wurzeln des 6ten Paares der Halsnerven angestellt. In diesem Falle sind die Wurzeln des Beinerven (n. access. Willisii) nahe an der hintern Seitenfurche, so daß man glauben könnte, sie kämen aus den hintern Strängen. x. Zufällig entstandene Furchen, die von der Fasernstructur des Marks abhängig sind.

Fig. XXVI. Schnitt zwischen den Wurzeln der Nerven des 7ten Paares. Das Rückenmark ist sichtbar stärker, schmaler von vorn nach hinten und breiter von der einen nach der andern Seite. Die graue Substanz findet sich in größerer Quantität. Am Ende ihrer Hinterhörner sieht man eine Lage von einer andern grauen Substanz, dunkler und gallertartiger, deren kein Anatom noch erwähnt hat. Es ist wichtig, darauf aufmerksam zu machen, daß die Ränder der grauen Substanz durchaus nicht gleich und glatt sind, wie man gewöhnlich lehrt, sondern, genau angesehen eckig, und gezähnt erscheinen, was durch die fei-



nen Ausflüsse der grauen Substanz bewirkt wird, die zwischen den Markfasern der vordern und hintern Stränge vorgehn. s. a. — c. a. — s. l. — f. p. — s. p. — Wie in den vorigen Figuren. x. Kleine zufällig entstandene Furche. b. b. sehr weisse vordere und hintere Streifen und Fäden. Ich habe diese weissen Fäden öfters an Stücken von frischem Rückenmark ohne irgend eine Präparation gesehn. Man kann sie durch Salzauflösung leicht erkennbarer machen.

So wie diese Streifen genau den vordern Wurzeln der Rückennerven entsprechen, könnte man auch glauben, daß sie ihnen die Entstehung gäben. Deshalb liefs ich nichts unversucht, mich zu überzeugen, daß eben diese meistens zellenförmige Ausläufer der grauen Substanz sind, die zwischen die Markplatten der vordern Stränge eindringt. Diese Streifen werden auch durch Fortsetzungen der pia mater gebildet, die von der Peripherie nach dem Centrum gehen.

Die sehr weissen Streifen, die man an den hintern Strängen sieht, durchschneiden queer die hintere graue Substanz, aber sind gewunden, wie die Markplatten der genannten Stränge, zwischen denen sie verlaufen. Sie entsprechen nicht den hintern Wurzeln der Rückennerven und scheinen durch die Windung entstanden zu seyn, der diese Theile in ihrer allmäligen Entfaltung unterliegen.

Fig. XXVII. Einschnitt zwischen die Wurzeln des dritten Paares der Halsnerven. Rücksichtlich dessen, was bei der vorhergehenden Figur gesagt war, bleibt für diese nur wenig nachträglich zu erinnern. Die sehr weissen vordern und hintern Fäden waren sehr erkenntlich. Die Wurzeln (n. a.) des Beinerven (n. acc. Will.) liefen beinahe von der hintern Seitenfurche aus. Gleichwohl würde ich nicht zu behaupten wagen, daß sie ihren Ursprung in



den hintern Strängen hätten. x. Zahlreiche kleine accidentelle Furchen, die von der Peripherie nach dem Centrum gehn, und aus Fortsetzungen der pia mater entstehen, die zwischen die Markfalten eindringen.

Fig. XXVIII. Querschnitt tim Rinderrückenmark, der zwischen die Wurzeln des ersten Paars der Rückennerven geht. Dieser Theil des Rückens steht zum untersten Theile des Halses in näherer Beziehung als zu dem unterliegenden Theil des Rückens. Die graue Substanz findet sich daselbst in ziemlich großer Quantität. Die Vorderhörner sind sehr ausgedehnt und zeigen Ecken, wodurch die Ausläufer angedeutet werden, die von da in die Markplatten vordringen. Die sehr weissen Fäden in bedeutender Anzahl entsprechen den vordern Wurzeln der Rückgratsnerven. Die hintern Hörner sind von einer Lage grauer Substanz umgeben, die dunkler und ohngefähr  $\frac{1}{2}$  Linie dicker ist. Die sehr weissen hintern Fäden durchschneiden quer diese Substanz und verlängern sich oft bis zwischen die Fasern der Hinterstränge. r. a. Vordere Wurzeln der zahlreichen Rückenmarksnerven. r. p. Hintere Wurzeln der Rückenmarksnerven. Diese haben ausschliesslich ihr Entstehen an den hintern Strängen. x. Zufällige kleine Furche.

Fig. XXIX. Querdurchschnitt eines Rinderrückenmarks, der zwischen die Wurzeln des zweiten Paars der Rückennerven geht. Man bemerkt, dass das Rückenmark in dieser Gegend kleiner wird, und fast cylindrisch, wie an den folgenden Theilen. Es ist hierbei wichtig, zu bemerken, dass die hintern Stränge ziemlich stark sind.

Die graue Substanz findet sich in kleiner Quantität und zeigt in der ganzen Rückenregion die Gestalt eines Kreuzes. Die Vorder- und Hinterhörner werden eben so fein und ruhen auf einer dünnen Lage einer mehr dunkelgrauen Substanz.



Fig. XXX. Querschnitt, angestellt zwischen den Wurzeln des 4ten Paares der Rückennerven. Das Rückenmark ist cylindrisch. Die sehr kleinen Fäden entsprechen der geringen Zahl der vordern Wurzeln. Die Hinterhörner haben eine dünne Unterlage einer mehr dunkelgrauen Substanz.

Fig. XXXI. Schnitt durch das Rinderrückenmark, der zwischen den Wurzeln des 6ten Paares der Rückennerven angebracht ist. Das Mark ist immer cylindrisch. Bei aufmerksamer Beobachtung sah man in diesem Markstücke eine sehr große Zahl kleiner Fäden und Furchen, die von der Peripherie nach dem Centrum gingen, das von der Faserstructur der Markstränge herrührt.

Fig. XXXII. Querschnitt desselben Rückenmarks, der zwischen den Wurzeln des 9ten Paares der Rückennerven geht.

Fig. XXXIII. Querschnitt des Rückenmarks, zwischen den Wurzeln des 10ten Paares der Rückennerven bewerkstelligt. Die graue Substanz zeigt sich in ihrer Beschaffenheit etwas verschieden. Man sah in diesem Stücke viele kleine Furchen, von denen einige Verlängerungen der grauen Substanz waren, andere sich von der Circumferenz nach dem Centrum ausdehnten.

Fig. XXXIV. Einschnitt im Rückenmark, auf der Höhe des 13ten Paares der Rückennerven vorgenommen. Man bemerkt eine geringe Verschiedenheit in der grauen Substanz und ihre Hinterhörner haben eine Unterlage von einer dünnen mehr dunkelgrauen Substanz.

Fig. XXXV. Zeigt die vorige Figur vergrößert.

Fig. XXXVI. Querschnitt des Rückenmarks, angestellt auf der Höhe des zweiten Paares der Lendenerven. Die medulla spinalis ist vorn mehr zusammengedrückt als hinten, so weit er nämlich in der Rückenregion



ist, wo er cylindrisch erscheint. Die hintern Stränge sind breiter und die graue Substanz reichlicher. r. Zufällige kleine Furchen oder Spalten.

Fig. XXXVII. Querschnitt des Rinderrückenmarks, der zwischen den Wurzeln des zweiten Paares der Lendennerven geht. Die graue Substanz zeigt sich immer reichlicher und die hintern Stränge sind breiter.

Fig. XXXVIII. Querschnitt des Rückenmarks, auf der Höhe des zweiten Paares der Lendennerven vorgenommen. Die graue Substanz findet sich daselbst in grösserer Quantität. Die Vorderhörner sind gezähnt. Man sieht wieder die weissen (vordern und hintern) Fäden. Die erstern entsprechen den vordern Wurzeln der Rückgratsnerven, die andern gehen qucer durch die gleichfalls gezähnten Hinterhörner, die von einer mehr dunkelgrauen Substanz bedeckt sind. x. Sehr viel zufällige kleine Furchen und Spalten, welche die Abtheilungen, die zwischen den Markplatten bestehen, anzeigen.

Fig. XXXIX. Querschnitt des Rückenmarks, der zwischen den Wurzeln des 5ten Paares der Lendennerven geht. In dieser Region ist das Rückenmark vorn dichter zusammengedrängt, und auf seiner hintern Seite gerundet, was von der Vergrößerung der hintern Stränge herrührt. Die graue Substanz ist auch reichlicher und man wird leichter die Verlängerungen gewahr, die sie zwischen den Markfasern auslaufen läßt. Ihre Vorderhörner sind sehr breit und die vielen weissen Fäden entsprechen, wie ich schon angezeigt habe, den vordern Wurzeln der Rückennerven. Demzufolge sind die angezeigten mehr nach innen gekehrt, weil in diesen Regionen die Vorderwurzeln mehr in der Nähe der vordern Mittelfurche entstehen. Hinter den hintern Hörnern ist die graue Substanz dunkler, reichlicher, und die kleinen weissen Fäden häufig.



Fig. XL. Durchschnitt des Rückenmarks, der zwischen den Wurzeln des 6ten Paares der Lendennerven läuft. s. a. Vordere Mittelfurche, wo man die arteria spinalis anterior sieht. r. a. Vordere Wurzeln der Rückennerven. Man sieht sie immer näher der vordern Mittelfurche entstehen. l. a. Sehr weisse vordere Fäden. f. a. Hintere Stränge. r. p. Hintere Wurzeln, welche entstehen aus den f. p. hintern Strängen, die viel stärker als in den obern Regionen sind. Die graue Substanz ist reichlich, und die weissen hintern Fäden in ziemlicher Anzahl. x. Zufällige kleine Furchen, die von den Verlängerungen der grauen Substanz und der pia mater, die das Rückenmark einhüllt, ausgehen.

Fig. XLI. Queerschnitt des Rückenmarks, der zwischen den Wurzeln des ersten Paares der Kreuznerven geht. Zwischen diesem und dem vorigen bemerkt man keinen wesentlichen Unterschied. Eine zufällige kleine Furche befand sich in der Nähe des Vorderhorns: eine andere, die von der Peripherie nach dem Centrum ging, sah man an der einen Seite.

Fig. XLII. Queerschnitt, dem 2ten Paar der Kreuznerven entsprechend. Das Mark wird geringer, behält aber beinahe dieselben Verhältnisse. Die weissen hintern Fädchen sind sehr zahlreich. Die vordern Wurzeln nähern sich der vordern Mittelfurche, während die hintern wegen der Dicke der hintern Stränge von der Mittellinie entfernter sind.

Fig. XLIII. Schnitt durch das Rückenmark, der zwischen den Wurzeln des 3ten Paares der Kreuznerven läuft. Man erkennt, dass die graue Substanz im Verhältniss zur Marksubstanz reichlicher ist. An den hintern Hörnern sieht man immer die dunklere Substanz.



Fig. XLIV. Schnitt zwischen den Wurzeln des 4ten Paares der Kreuznerven ausgeführt. Die vordern Wurzeln entstehen immer näher der vordern Mittelfurche. Die Vorderhörner der grauen Substanz zeigen sich dünner als die hintern.

Fig. XLV. Schnitt, welcher zwischen den Wurzeln des 5ten Paares der Kreuznerven geht. Das Rückenmark wird immer dünner.

Fig. XLVI. Schnitt zwischen den Wurzeln des ersten Paares der Schwanznerven.

Fig. XLVII. Schnitt, zwischen den Wurzeln des zweiten Paares der Schwanznerven ausgeführt. In der Mitte der grauen Substanz sah man eine kleine Oeffnung, die sehr häufig bei den Quadrupeden gefunden wird, und eine Spur der ursprünglichen röhrenartigen Structur des Marks ist.

Fig. XLVIII. Schnitt, welcher zwischen den Wurzeln des 3ten Paares der Schwanznerven läuft. Man sieht die graue Substanz reichlicher als die Marksubstanz. Die vordern Wurzeln entstehen beinahe an der vordern Mittelfurche.

Fig. XLIX. Schnitt zwischen den Wurzeln des 4ten Paares der Schwanznerven. Das Rückenmark, das vom 2ten Paar der Kreuznerven an immer feiner wird, geht zuletzt in Markfäden aus.

Fig. L. Zeigt die Oberfläche eines Querschnitts des Rinderrückenmarks, der zwischen den Wurzeln des 6ten Paares der Halsnerven läuft. Diese Figur, die um das Doppelte vergrößert ist, war von einem sehr geschickten Zeichner entworfen, ohne dass man ihn in der Unterscheidung der einzelnen Theile, die man dargestellt findet, geleitet hätte. f. a. Vordere Stränge. f. p. Hintere Stränge. s. Vordere graue Substanz, schwammig und vas-



culär: man bemerkt dort ungleiche Ränder. s. p. Hintere graue Substanz, die das Hinterhorn bildet und ein gallertartiges Ansehn und dunklere Farbe hat. s. a. Vordere Mittelfurche, durch welche eine Falte der pia mater läuft, was sie viel kenntlicher als die hintere macht. s. p. Hintere Mittelfurche. a. Arteria spinalis anterior. r. a. Vorderwurzeln der Rückennerven, bloß angedeutet. r. p. Hintere Wurzeln. l. c. Fädchen der grauen Substanz, die strahlenförmig vom Centrum nach der Peripherie laufen. Diese Fortsetzungen der grauen Substanz, von einem Manne bemerkt und gezeichnet, der keine anatomische Kenntnisse dieser Art haben konnte, zeigen, daß nicht so schwer zu entdecken ist, wie das Rückenmark aus Markplatten geformt ist, zwischen welchen diese grauen Verlängerungen fortlaufen; was uns zur Erklärung der Art und Weise führt, nach welcher sich diese Theile ursprünglich gebildet haben müssen. l. a. Vordere weiße Fäden, die den Vorderwurzeln der Rückennerven entsprechen. l. b. Hintere weiße Fäden, die den hintern Wurzeln der Rückennerven nicht entsprechen. s. d. Hintere Seitenfurchen, die die vordern Stränge von den hintern absondern.

Fig. LI. Queerdurchschnitt des Rückenmarks, der zwischen den Wurzeln des 6ten Paares der Kreuznerven läuft. Zum Behuf dieser Präparation muß man ein Stück vom Rückenmark lange Zeit in Salzauflösung halten: dann 15 bis 20 Tage lang die Maceration dieses Stückes in reinem Wasser vornehmen. Es ist wichtig, den Queerdurchschnitt bei einem so präparirten Stücke mit einem gutgeschliffenen Rasirmesser vorzunehmen; untersucht man alsdann die durchschnittene Fläche, so kann man die vielen Markplättchen und ihre Fortsetzung nach den innern und äußern Rändern bemerken. p. m. Pia mater, die das Mark umgiebt, aber von ihm mittelst Maceration getrennt



ist: aus ihrer innern Fläche kommen Fäserchen hervor, die bis in die Mitte der Markfalten dringen. Um keine Verwirrung in die Figur zu bringen, findet man hier nur einige der angedeuteten Verlängerungen der pia mater dargestellt. Aber man wird leicht gewahr, daß ihre Anzahl sehr groß ist, und daß sie mitten in alle angedeutete Falten des Markgewebes eindringen. Wenn man diese Figur, die 8 mal vergrößert ist, untersucht, so wird leicht ersichtlich, daß die vordern Stränge aus einer lamina gebildet sind, die im Grunde der vordern Furche anhebt und zahlreiche rings um die graue Substanz vertheilte Falten zeigt. Die Zahl der Falten beläuft sich ohngefähr auf 50 an jedem Vorderstrange. Man hat wohl Acht zu geben auf ihre Stellung, die nämlich an der vordern Mittelfurche ist, und dabei zu bemerken, daß einige von ihnen nur bis zur Hälfte der andern reichen, wie man aus der Richtung x ersieht. Bei aufmerksamer Prüfung wird man auch sehen, daß der Rücken der Markplatten an der Peripherie dicker ist, und diese, wie leicht begreiflich, sich nach dem Centrum hin verdünnen.

Aus dieser Figur wird ferner ersichtlich, wie sich Fortsetzungen der grauen Substanz strahlenförmig nach der Peripherie ziehen, und zwischen die Markfäserchen einschieben. Endlich habe ich noch die Figur in diesem Maasstabe gezeichnet, um leichter verfolgen zu können, wie die Markplatte oder das Markgewebe aus dem Grunde der vordern Mittelfurche bis zu den hintern Seitenfurchen fortgeht. Eine solche Fortsetzung verhindert jede Annahme von vordern Seitenfurchen. r. a. Vordere Wurzeln der Rückennerven. r. p. Hintere Wurzeln der Rückennerven, die ausschliesslich aus den hintern Strängen entstehen. s. Graue, durchaus schwammige, vasculäre Substanz, die dadurch sich so viel als möglich von der grauen Substanz unter-



scheidet, so wie von der s. p. hintern grauen Substanz, die gallertartig und von dunkler Farbe erscheint, und auf gewisse Weise mit der andern durch gezähnte Fortsetzungen zusammenhängt, etwa wie die Nähte am Hirnschädel. f. p. Hintere Stränge, an denen man dieselben Falten, nur gewundner, bemerkt. s. m. p. Hintere Mittelfurche, weniger deutlich ausgedrückt, weil keine Falte der pia mater sich zwischen legt, die das ganze Mark umgiebt. Dennoch läuft eine sehr feine Fortsetzung ein, beinahe denen gleich, die sich zwischen die Fältchen der Markfäserchen schieben. l. a. Weiße Fäden der Hinterhörner, die, wie gesagt, den gleichnamigen Wurzeln nicht entsprechen. z. Auf diesen Theil des Hinterstrangs habe ich die Anordnung des Vascular-Zellengewebes, das alle Markfibern umgiebt, darzustellen gesucht. Um solche Präparation zu erhalten, ist eine sehr lange Maceration der Stücke in angeführter Weise nothwendig.

Fig. LII. Zeigt den Querdurchschnitt von einem Stücke Rinderrückenmarks am Ansatz des 3ten Paares der Kreuznerven. Dieses Stück war durch Einweichung in Salzauslösung und anhaltende Maceration präparirt worden. f. a. Vordere Stränge, aus einer hin- und zurückgebogenen Markplatte oder Markgewebe gebildet. Die Zahl der Falten in dieser Region fängt an abzunehmen, und ich habe nur ohngefähr 30 an jedem vordern Strange gezählt. f. p. Hintere Stränge, gleichfalls aus Fäserchen oder Fältchen, die aber sehr gewunden sind, geformt. s. Graue, schwammige und Vascular-Substanz. s. p. Hintere, fast gallertartige dunklere graue Substanz. z. Weißlicher Faden, wie der wirkliche Markfaden, der im Grunde der vordern Mittelfurche die innern Ränder der beiden Vorderstränge verbindet. Dieser weißliche Streifen ist zellenartig. Aus allen Figuren wird ersichtlich, daß die bei-



den Theile der grauen Substanz (rechts und links) unter einander durch einen Faden von gleichartiger Substanz verbunden sind. s. l. Hintere Seitenfurchen.

Fig. LIII. Stück vom Rückenmark des *Squalus galeus*, um das Doppelte vergrößert und von seiner untern Fläche gesehen. s. a. Vordere Furche. f. a. Vordere Stränge. r. a. Kleine Oeffnungen, die an den Fischen zwischen den vordern und hintern Wurzeln bestehen, aus denen eine ganz besondere Anordnung hervorgeht, die glauben macht, daß die Nervwurzeln aus dem Rücken der Markfältchen entstehn. s. Graue Substanz, die eine kleine Höhlung umgiebt, die sich bei den Fischen in der ganzen Länge des Rückenmarks findet.

Fig. LIV. Stück vom Rückenmark des *Squalus galeus*, doppelt vergrößert, und von seiner obern oder hintern Seite angesehen. s. m. p. Hintere Mittelfurche, von der man deutlich die Wurzeln der hintern oder obern Rückennerven ausgehen sieht. Wenn man diese Theile aufmerksam untersucht, sieht man, daß alle hintern Wurzeln der Rückennerven nur von den hintern Strängen ausgehn. Außerdem sieht man, daß die genannten Wurzeln Filamente sind, Verlängerungen jener Fäden, die parallel das Markgewebe der hintern und vordern Stränge bilden. f. a. Vordere, bei den Fischen viel breitere Stränge, welche die Vorderfläche, die Seiten, und einen Theil der Hinterfläche des Rückenmarks bilden.

Fig. LV. Nerbchen an einem 14 Stunden lang bebrüteten Eie, von der untern Fläche gesehen. c. s. Hirnrückenmarks-Anlage aus 2 Markfäden bestehend, die nach vorn stärker sind. a. Falte, durch die Amnios gebildet, die mit den allgemeinen Integumenten zusammenhängt, während diese noch den Kopf bedecken. Diese Falte ist schon von Vielen gesehen worden, ohne daß Jemand errathen konnte



was diese Anlage bedeutete. v. Erste Anlage zu den Venen-  
gefäßen, die sich in Gestalt eines gewölbten Netzes zeigt,  
aus dem manchmal das kleine Gefäß, das nach dem Kopf  
geht, sich ein wenig loswickelt, und die Anlage zum linken  
Ventrikel wird. f. Ränder des Fötuskörpers. a. p. Durch-  
sichtiger Ring der Area. a. o. Dunkler Ring der Area, des-  
sen Gewebe schwammig-vascular ist. Er zeigt 2 Zonen, die  
innere enger, die äußere weiter. n. Dasselbe Würzchen in  
natürlicher Größe.

Fig. LVI. Würzchen eines 16 Stunden lang be-  
brüteten Eies. c. s. Cerebro-Spinal-Anlage, aus 2 symetri-  
schen Theilen bestehend. a. Falte, die durch die Haut ge-  
bildet wird, während diese am Kopf sich umbiegt, um sich  
mit dem Amnios zu verbinden. f. p. Hintere oder obere di-  
vergirende Stränge, die sich zuweilen erweitern, um f. a. die  
schon gebildeten vordern oder untern Stränge zu bedecken.  
r. a. Arterienetz, in dem man die Richtung der Arterienge-  
fäße bemerkt, die nachher die arteriae vitellinae bilden. Al-  
les Uebrige an der durchsichtigen Area ist ein sehr feines  
Netzgewebe. s. Haller's Eierdotterbeutel, der sehr groß  
ist, über welchem der Fötus liegt. a. p. Durchsichtige Area,  
a. o. Dunkle Area von 2 Zonen. n. Dasselbe Nerbchen in  
natürlicher Größe.

Fig. LVII. Nerbchen eines 23 Stunden lang be-  
brüteten Eies, von seiner obern Seite gesehn. c. s. Cerebro-  
Spinal-Anlage, welche vorn Andeutungen von Bläschen zeigt  
die sich in der Folge entwickeln sollen. e. Speiseröhre, un-  
ter der Cerebro-Spinal-Anlage liegend, die nachher fortgeht  
in dem s. Eierdotterbeutel, der unter dem Fötus f. liegt. e.  
p. Hintere oder obere, noch sehr divergirende Stränge, aber  
so gestellt, daß sie alsbald den rhomboidischen Sinus formi-  
ren. g. Intervertebralganglien, auf einer Seite mit den hin-



tern Strängen verbunden. p. Membranfalte des Amnios, welche mit der Haut, die den Fötus deckt, und sich vom Kopfe losgemacht hat, zusammenhängt. v. Venengefäße, die vom Herzen ausgehen und sich anfangs unter der Gestalt eines schwammig-vasculären Netzes zeigen. a. p. Durchsichtige Area. a. o. Dunkle Area, in der man 2 Zonen unterscheidet, von denen die äußere dünner ist. a. l. Höfe (halones) durch weiße und dunkle Strifen gebildet, die sich im Beutel des Eiertotters befinden und rings um das Nerbchen gesehen werden, wegen der Durchsichtigkeit der Membran, die dasselbe umschließt.

Fig. LVIII. Zeigt den Embryo eines Hühnereies nach 23 Stunden Brützeit, von seiner Rückenseite angesehen. c. Der Kiel oder Hirn-Rückenmarks-Anlage. Man sieht, daß sie aus 2 symmetrischen Theilen besteht, die vorn stärker sind, weil die Cerebralbläschen hervorzutreten beginnen. g. c. Intervertebralganglien, welche 7 an der Zahl sind. c. i. Untere Stränge, die mitten in dem Zwischenraum der c. s. obern divergirenden Stränge gesehn werden, die näher aneinandertretend dem Rhomboidalsinus Platz machen. c. Speiseröhre. v. Erste Anlage der Venengefäße, die man häufig durch feste Netze gebildet sieht, die unter dem Rückenmark mit dem Herzen in der Form eines aufrechtstehenden verticalen Gefäßes communiciren. f. Ränder des Fötuskörpers, der sich allmählig bildet. a. p. Durchsichtige Area, die immer netzförmig erscheint. x. Innere Ränder der dunkeln Area, die hier weggelassen ist.

Fig. LIX. Embryo eines jungen Huhns nach 46 Stunden Brützeit. Die Entwicklung des Embryo ist in Verhältniß zu andern von demselben Alter wenig vorgerückt. Ich habe demobngeachtet diese Figur ausgesucht, weil man



die noch nicht ganz gebildeten Vorderstränge deutlicher entdeckt. e. s. Cerebro-Spinal-Apparat, dessen äußere Extremität die Anlage zu den Cerebralbläschen zeigt. c. p. Hintere oder obere Stränge, die noch nicht ganz ausgebildet sind, und sich nur bis an das Ende des Rückenmarkes erstrecken; deshalb sieht man sie noch divergiren. Diese Figur hat einige Aehnlichkeit mit der von Malpighi, von 24 Stunden, die sich in der XVII. Figur der 2ten Tafel des Appendix repetitas auctasque de ovo incubato observationes continens befindet. e. a. Vordere und untere schon ausgebildete Stränge, aber von den obern noch nicht ganz bedeckt, da diese noch nicht ganz ausgebildet sind. g. c. Ganglia cardiaca, von denen die Nerven nach dem Herzen abgehn, liegen bei dem ganz ausgebildeten Huhn hinter dem obern Rande des sternum. g. i. Intervertebral-Ganglien, die von Malpighi, Haller, Pander und so vielen Andern für Analoga der Wirbel gehalten wurden: während diese Ganglien Ausläufer der hintern Stränge sind, die sich erst so spät entwickeln. c. e. Speiseröhre. v. Venengefäße, die aus dem Herzen kommen: sie sind noch sehr kurz und enden in ein Netzgewebe, das sich unbemerkt entwickelt und zuerst kenntlich wird. f. Fötus, kaum angedeutet, deshalb aus einem sehr feinen, schwammigen Gewebe bestehend, dessen Netzgestalt nach dem Kopfe zu deutlicher hervortritt. a. p. Durchsichtige Area, die aus einem sehr feinen Vascularnetz, mit größern Maschen nach dem Kopf hin geformt ist. a. o. Rand der dunklen Area, die weggelassen ist.

Fig. LX. Nörbchen in natürlicher Größe, enthaltend den in der vorigen Figur beschriebenen Embryo.



### C. Neue Methode, das Gehirn zu zergliedern. \*)

Der physiologische Zweck meiner Methode ist, darzutun, daß die Empfindungs- und Bewegungsnerven, wie im Rückenmark als Bündel, so im Gehirn unter der Form von Membranen zusammenstossen. Da in jeder Wissenschaft das analytische Verfahren mit dem synthetischen Hand in Hand gehen muß, so lege ich auch hier durch zwei Schnitte das Gehirn auseinander, so zwar, daß die ganze Oberfläche desselben nach unten zu liegen kömmt und das Innere zur Oberfläche wird; und lege es wieder zusammen, so daß nichts von einem Schnitte zu bemerken ist. Das Verfahren selbst ist einfach und leicht. Man legt das Gehirn auf seine concave Fläche (siehe die Abbildung), mit seinem schmalen Ende nach dem Zergliederer; hierauf trennt man den mittlern Lappen A von dem pedunculus cerebri, indem man das Scalpell zwischen sie durchführt; diesen Schnitt verlängert man durch die fossa Sylvii hindurch, bis in die cavitas digitata, welche im Grunde des hintern Hirnlappens liegt: so öffnet man sich die Vertiefung, in welcher sich der untere Theil (cornu descendens) des Seitenventrikels und das hintere Ende des obern Theils desselben (cornu posterius) befinden.

Hierauf schlägt man die beiden mittlern Lappen übereinander und nach hinten, unter das kleine Gehirn und den pons, welche man in die Höhe hebt; man hüte sich aber, die mittlern Lappen zu sehr zu ziehen, wodurch die hintern Schenkel des fornix zerreißen würden. Indem man nun während das cerebellum mit dem pons in die Höhe drückt, macht man einen zweiten Schnitt in den Seitentheil des vordern Lappens d, so daß man ihn hinter und unter dem Schügel anfängt, und bis nach vorn zur Spitze dieses Lappens führt, doch ohne diesen selber loszutrennen; dann schlägt

\*) Nach M. Laurencet revue medicale.



man alles nach vorn, was die basis cerebri bildete und die drei Gruben der basis cranii einnahm. Die Hirnmembran (Hirnsubstanz), welche vorher fünffach gefaltet war, bildet jetzt nur zwei gleiche Hälften (doubles); um sich dieß zu versinnlichen, braucht man nicht einmal diese letzte Falte auseinander zu legen: man kann dieß aber auch an einem etwas festen Gehirn; man muß nämlich, durch Zerschneidung des septum lucidum und der vorderen Schenkel des fornix, diesen losrennen, hierauf auch das cornu Ammonis lösen und alles nach hinten zurückschlagen. Dann liegt die ganze äußere Oberfläche des Gehirns auf dem Zergliederungs-Tisch, und das Innere ist vollständig vor Augen gelegt.

So ausgebreitet, bildet die Hirnsubstanz eine sehr lange Membran und zeigt auf ihrer Mittellinie von vorne nach hinten folgende Theile: 1. Die medulla oblongata A und das kleine Gehirn A. 2. Die corpora quadrigemina B. 3. Den ventriculus tertius, welcher durch das Auseinandertreten der Sehhügel entsteht C. 4. Die Sehhügel selbst, dicke ovale, innen graue, außen weisse Erhabenheiten D. 5. Auf diese folgen die corpora striata E, birnförmige Hervorragungen, deren schmales Ende den thalamus nervi optici deckt; sie werden von diesem durch die taenia semicircularis T (von welcher unten) getrennt. Die corpora striata sind Fortsetzungen der grauen Substanz der Windungen des vordern Hirnausschnittes, welchem ihr dickes Ende entspricht; sie haben die Farbe und Consistenz derselben; die Gefäße endlich, welche auf ihrer Oberfläche als rothe Linien hinlaufen, gehören der pia mater an. 6. Nimmt man das corpus striatum durch Schaben hinweg, so findet man unter ihm den Strang der Commissura anterior, welcher aus den innersten Fasern besteht, die strahlenförmig von dem thalamus abgehen, sich von beiden Seiten durchkreuzen, und sich nach hinten begeben bis sie in der fossa Sylvii heraustreten, wo sie sich in



die Membran des mittlern Lappens ausbreiten, und zum Theil dessen Verbindung mit dem pedunculus bilden. 7. Vor der Commissur bemerkt man die vordern Schenkel des corpus trigonum G, diefs sind zwei kleine Stränge, zwei bis drei Linien lang, welche mit dem c. trigonum vor dem Durchschneiden zusammenhängen; wir werden gleich darauf zurückkommen. 8. Hinter ihnen ist die vordere Umbeugung (repli) des corpus callosum H. 9. Hinter dieser Umbeugung der vordere Hirnlappenausschnitt I. 10. Auf diesen folgt das corpus callosum, mit dem septum lucidum und von dem corpus trigonum (fornix) bedeckt. 11. Hinter dem trigonum der hintere Hirnlappenausschnitt K. Hier spalten sich die Membranen in zwei Theile, und es ist keine Commissur weiter in der Mittellinie vorhanden.

An den Seitentheilen finden wir von den thalamis nerv. optic. nach außen einen weissen Streif L, diefs ist der Ursprung der Hirnmembranen; wenn man das corpus striatum geschabt hat, so sieht man, daß er aus Markstrahlen entsteht, welche aus den Sehhügeln fächerförmig hervortreten. 2. Eine andere breite weisse Fläche M, in deren Mitte das corpus trigonum liegt, diefs ist die concave Fläche der herumgelegten Hemisphären-Wölbung. 3. Dem Hirnlappenausschnitt gegenüber fängt die hintere Portion der Hirnmembranen an N, welche durch die hintern Fasern des Fächers erzeugt wird. Da diese Fasern longitudinal verlaufen, so bilden sie keine Commissur auf der Mittellinie, wodurch eben der hintere Hirnlappenausschnitt entsteht; da sich die Ränder dieser gespaltenen Membran nicht berühren, so ziehen sie sich zusammen und wickeln sich ein wenig um sich selbst herum, falten sich, und erzeugen so den sogenannten gefranzten Körper n. An der, dem hintern Lappen entsprechenden Stelle schlagen sich die beiden Portionen der gespaltenen Membran von außen nach innen um, wodurch der hintere Lappen b



und die *cavitas digitata* gebildet wird Q. Endlich schlägt sich jede Portion auf sich selbst herum, und convergirt mit der von der andern Seite. Etwas vor dem hintern Hirnausschnitt treffen diese convergirenden Blätter zusammen, um das *corpus trigonum* zu bilden P, welches auf folgende Art entsteht: die Membranen stellen an ihrer Extremität zwei weißse vierseitige Bänder vor; eine Diagonallinie, welche vom äußern Winkel ausgeht, theilt sie in vier rechtwinklige Triangel; die beiden äußern bleiben horizontal, und bilden vereinigt das *corpus trigonum* oder den *fornix*; die beiden innern erheben sich vertikal, stoßen an einander und erzeugen so das doppelte *septum pellucidum*, welches sich so an das *corpus callosum* anlegt, daß sich Fasern der rechten Scheidewand mit denen der linken Hemisphäre vereinigen und umgekehrt: es gibt also für die hintern Nerven wie für die vordern eine Kreuzung. Die letztere betrifft zwar denjenigen Theil der gespaltenen Membran nicht, der die Thätigkeit des großen Gehirns auf das kleine überträgt, aber dieses letztere Organ hat gleichfalls eine gekreuzte Wirkung mittelst seiner Commissur, welche mit den vordern Pyramiden oberhalb ihrer Kreuzung in Zusammenhang steht.

Da wo das *corpus trigonum* aufhört, gehen die Membranen wieder in zwei kleine weißse, 2—3 Linien lange Stränge über, dieß sind die vordern Schenkel desselben; sie zerfallen in zwei Portionen: die untere Q steigt, von einer Lage grauer Substanz bedeckt, von dem *thalamus*, der sich an ihre innere Wand legt, herab an das *tuberculum mammillare R*, und dann, nicht tief verborgen, im Innern des *thalamus* bis über diesen herauf S, wo sie sich mit der *stria cornea T* verbindet. Es ist schwer zu entscheiden, ob sich nicht ein Bündel von der *eminentia mammillaris* nach dem Eingang in den *pons* hinbegibt, um sich mit dem von der entgegengesetzten Seite zu jener faserigen dreieckigen Fläche



zu vereinigen, welche den Theilungswinkel der pedunculi ausfüllt, und sicher nicht zu diesen gehört, da sie durch eine deutliche Furche davon getrennt ist.

Die obere Abtheilung theilt sich wieder in zwei Portionen, welche auf dem thalamus nervi optici rückwärts in die Höhe steigen und folgende Theile bilden: die erstere innere Portion bildet einen kleinen Streifen V, welcher an dem Rand der nach dem Ventrikel hinsehenden Fläche des thalamus hinläuft; aus seiner Vereinigung mit dem von der andern Seite hinter dem dritten Ventrikel entsteht die hintere Commissur U dieses letzteren, auf welcher die glandula pinealis liegt; unter ihr ist die Mündung des aquaeductus Sylvii; bei einigen Säugethieren entspringt auch von diesem Streifen das vordere Paar der corp. quadrigemorum. Die zweite oder äussere Portion bildet die taenia semicircularis T, welche an der Basis des corp. striatum hinläuft, sich nach aufsen und hinten um den thalamus herumwindet, von dort wieder nach vorn steigt, um mit der von der andern Seite das hintere Paar der Vierhügel zu erzeugen. Dieses Paar ist offenbar weisser, als das andere, und fibrös; überhaupt wenn sich dieß anders verhielte, wie sollten die nervi optici und pathetici mit dem Gehirn communiciren. Die corpora quadrigemina bedecken den aquaeductus Sylvii, und zerfallen alsdann in zwei Bündel X, welche diesen Canal begrenzen, welcher nun durch die valvula Vieussenii, die sich von einem Bündel zum andern bis zum ventriculus quartus Y erstreckt, bedeckt wird. Dieser Ventrikel selbst entspringt nur aus der Erweiterung des gedachten Canals, indem sich nämlich die von den corporibus quadrigeminis kommenden Bündel von einander entfernen, und in eine Membran ausbreiten, die aus einem Blättchen grauer Rindensubstanz und aus einem innern, weissen Blättchen besteht. Aus diesen Faltungen entsteht eben das kleine Gehirn. Diese Membran ist von



oben nach unten gebogen, so daß ihr oberes und unteres Ende auf der Fläche des vierten Ventrikels zusammenstoßen: dieß sind die beiden vermes. Die beiden Enden der Queraxe vereinigen sich ebenfalls kreisförmig, wie ein Ring, auf dem pons Varolii, und ein Theil steigt auf dem verlängerten Mark his unter das corpus olivare, und bleibt in der Furche welche die vordern Pyramiden von den hintern trennt. Diese letztern sind nichts als eine Fasernportion, die im kleinen Gehirn aufschwillt, und anstatt sich um den pons herumzuschlagen, als Ränder des calamus scriptorius Z herabsteigt, um sich mit den hintern Strängen des Rückenmarks zu verbinden; jenseits des calamus, der aus ihrem Auseinanderweichen entsteht, stoßen sie in der Mittellinie zusammen. Auf diesem Weg, das Gehirn zu betrachten, kömmt man zu der Ueberzeugung, daß die anfangs breite Membran immer mehr abnimmt, bis sie sich von neuem in Stränge auflöst, und daß nicht, wie Einige wollen, der fornix aus den eminentiis mammillaribus und corporibus quadrigeminis entsteht. Gegen letzteres spricht auch die lyra; denn verliefte der fornix von vorn nach hinten, so würde er an den hintern Schenkeln der divergirenden Tendenz folgen, und die Falten folglich auseinander gezogen werden; diese entstehen aber vielmehr aus der convergirenden Tendenz, indem die äußern Fasern bis zur Mittelfurche hin über die innern weggehen. Es ist zu bemerken, daß die Windungen von dem mittlern Lappen bis zu den hintern Schenkeln abnehmen, wo sie ganz aufhören; zugleich bleibt die graue Substanz völlig zurück, während dieselbe in den Circumvolutionen des vordern Hirnausschnittes im Uebermaas vorhanden war, und das corpus striatum erzeugte.

Wir sehen also, daß alle diese verschieden geformten Theile auf die Strang- oder Membranenform, auf graue oder Marksubstanz zurückgeführt werden können; diese Theile



bekommen von dem Nervensystem, auf dessen Weg sie sich befinden, und nicht von ihrer Gestalt ihren Charakter.

Da die Hirnhöhlen nur das innere der Faltungen des Gehirns sind, so mußten sie durch unsre Entwicklung des Gehirns verschwinden; man kann sie aber durch das Zurückbringen aller Theile wieder herstellen. Alsdann legen sich die thalami, corpora striata und ventriculus tertius auf das trigonum; die Höhlungen nach innen an den Wänden der Membran, bilden die ventriculos laterales; paßt man alsdann die Schnittflächen in den fossis Sylvii auf einander, so stellt man das doppelte Blatt her, welches die cavitas digitata einschließt; legt man alsdann die mittlern Lappen wieder auf die pedunculos, so erschlaffen die vorher gespannten Blätter des trigonum, und stehen wieder vertical unter dem horizontal liegenden trigonum.

Da dieselbe Faltung auch in der Länge der gespaltenen Membranen des Hintertheils (membranes bifurquées) statt hat, so entsteht ein Ausschnitt, gegen welchen sich im gewöhnlichen Zustand die hintere Fläche des pons Varolii legt, wodurch die eirunde Spalte Bichat's erzeugt wird.

Alle Schriftsteller ließen die vordern Pyramiden so wie die hintern zu dem Gehirn steigen; während ich die letztern von dem Gehirn herabsteigen lasse; selbst Tiedemann übersah dieß, obgleich sein Werk selbst den Beweis dafür enthält; denn nach ihm bildet sich das trigonum und kleine Gehirn erst später als die basis des Gehirns. Aus allem diesen geht hervor, daß der Nervenapparat eine Schlinge bildet, deren Enden mit den vordern oder hintern Nervensträngen in Zusammenhang stehen. Wenn nun einer dieser Stränge den Apparat für die Sensibilität, der andre für die Bewegung bildet, so müßte das Centrum des gesammten Nervensystems der Punct seyn, wo diese beiden Apparate zusammenstießen. Obgleich die Fasern des corp. callosi und



seiner vordern Umbeugung eine verschiedene Richtung haben, so existirt doch auch für sie jene Schlinge mittelst der Wände des septi lucidi, welche gebaut zu seyn scheinen, um sämtliche Fasern der Concavität der Hemisphären in sich aufzunehmen \*).

Diese bis hicher auseinandergesetzten anatomischen Untersuchungen können sich den von Bell ausgesprochenen und durch Magendie's Versuche bestätigten Sätzen über die Eigenschaften der vordern und hintern Stränge des Rückenmarks anschliessen, vermöge welcher die ersten Leiter der Bewegung, die andern Leiter der Sensibilität werden. Hierbei schien es mir sicherer, von anatomischen Thatsachen auszugehen. Es fragte sich, wie die Bewegung und Empfindung von dem Gehirn und nach dem Gehirn übergehen; ob sie zugleich erzeugt werden, oder ob sie auf einander folgen, oder endlich ob nicht die eine der Grund der andern ist. Wie dem allen nun auch sey, so blieb die Schwierigkeit immer, darzuthun, wie sich die vier Stränge des Rückenmarks, welche dort parallel verlaufen, im Gehirn verhielten, wo ihre Verwickelung beträchtlicher wird. Wir verfolgten gleich die Stränge von der Kreuzung der Pyramiden bis zu ihrer membranösen Ausbreitung ausserhalb des thalamus nervi optici und wir sahen, dafs zwei Anschwellungen das große und kleine Gehirn, das Nervencentrum darstellten. Das große Gehirn entsteht durch die Ausdehnung der vordern Nerven zu einem Netz; das kleine, gleichfalls ein membranöses Netz, ruht auf den hintern Nerven. Diese beide Ordnungen von Nerven stehen durch eine Anastomose in Verbindung, welche zwischen dem septum lucidum, dem cornu

---

\*) Später werde ich zeigen, dass neun Hirnnerven, von zwölfen, ihre Würzelchen aus beiden Systemen, die die Schlinge bilden, ziehen, während drei ausschliesslich aus einem dieser Systeme kommen. L.



Ammonis, dem corpus callosum, und den hintern und vordern Umbeugungen dieser Commisur statt hat; diese Vereinigungsstelle gibt sich durch keine raphe zu erkennen; die Fasern des einen Systems setzen sich in die des andern fort. Werfen wir einen Blick auf die vorhergehende Entwicklung des Gehirns, so finden wir, daß die Ausbreitung der vordern Pyramiden bei ihrem Hervortreten unter dem Schhügel einen Fächer bildet, in der Richtung von innen nach außen; alsdann schlagen sich die Fasern nach allen Seiten von außen nach innen um, aber immer in der ihnen eigenthümlichen schrägen, transversalen und longitudinalen Richtung. Auf diese Art concentriren sie sich in dem corpus callosum und seinen Umbeugungen. Da dieser Fächer durch die genannte Convergenz sehr zusammengedrängt wird, so nimmt er eine dem weit kleinern Fächer der hintern Nerven proportionirte Fläche ein; dieser letztere hat seine Basis in den vordern Schenkeln des fornix und seine Extremität in dem septum lucidum und cornu Ammonis. Seine Fasern divergiren gleichfalls in drei Richtungen, und legen sich an die entsprechenden Fasern der vordern Nerven an. Die Continuität liegt in dem septum lucidum, welches sich mit den Fasern der Hemisphären kreuzt; diese Kreuzung wird am hintern Knie des corpus callosum deutlich (S. 1. Fig.). Wenn ich sage, die vordern und hintern Nerven stoßen am corpus callosum mit dem septum lucidum zusammen, so folgt hieraus nicht, daß bei Gehirnverletzungen alles hinter diesem Punct ausschließlich Veränderungen der Empfindung und alles vor diesem Punct ausschließlich Veränderungen der Bewegung geben müßte. Die vordern Fasern können sich von dem thalamus bis zu dem corpus restiforme, dessen Fasern mit den hintern Nerven zusammenhängen, erstrecken, und umgekehrt. Der Punct ihrer Anastomose bildet keine Gränze, keine raphe; es ist vielmehr ein Kreis ohne Anfangs- oder Endpunct.



Die Kreuzung verhindert keineswegs die Continuität; zwar sind die Theile, welche die Fortsetzung der hintern Nerven bilden, nämlich das septum lucidum und das cornu Ammonis in einer verticalen Lage, während alles über der Kreuzung horizontal liegt; allein diese relative Lage, welche auf den Faltungen der Membran beruht, würde verschwinden, wenn man das erwähnte Netz bei seiner vordern und hintern Extremität auseinanderziehen könnte; alsdann würde man zwei gleiche abgestumpfte Kegel erhalten, welche mit ihren Grundflächen vereinigt wären; und man würde ihre Fasern von der Spitze des einen bis zu der des andern ohne Unterbrechung verfolgen können, und nur an dem Punct würde eine Kreuzung übrig bleiben, an welchem sich die Fasern der Hemisphären in die Commissur des corpus callosum einfügen. Die dritte Figur stellt den so ausgespannten und zerlegten Nervenapparat vor; die zweite Figur die beiden Systeme der vordern und hintern Nerven wieder an einandergelegt, in ihrem natürlichen Parallelismus. Die beiden äußern Säulen der zweiten Abbildung, a, b, (auch in der dritten) sind die vordern Stränge, oder die der Bewegung; ihre Kreuzung in b entspricht der der Pyramiden; die beiden folgenden Räume, c c und d d, der Ausbreitung der Pyramidalfasern in dem pons und corpus striatum; die ganze Fläche e e den Hirnmembranen der Hemisphären. Der Punct f f entspricht der Kreuzung des corpus callosum; der Raum des Netzes g g, welcher in der dritten Figur auf die Kreuzung f folgt, in der zweiten aber unter ihr liegt, entspricht dem septum lucidum, dem cornu Ammonis, dem fornix und selbst dem cerebellum, welches hier, der Deutlichkeit wegen, weggelassen ist. Die beiden innern Säulen in der 2. Fig., h i, die sich nicht kreuzen, sind die hintern Stränge; die Fäden zu beiden Seiten sind die Rückenmarksnerven mit einem vordern Bewegungs- und einem hintern Empfindungsfaden. Man sieht also, daß



das Nervensystem paarig ist und daß jede Hälfte einen Kreis bildet, der den andern schneidet, und daß endlich jeder Kreis aus zwei parallelen Ellipsen besteht, deren eine durch die Bewegungsnerven, die andre durch die Empfindungsnerven gebildet wird.

Außer dieser großen Schlingenanastomose gibt es noch eine untere zwischen den Empfindungs- und Bewegungsnerven, nämlich die Verbindung des kleinen Gehirns mit den vordern Nerven durch seine Commissur mit dem pons Varolii. Diese Commissur ist eine wahre Vermischung der Fasern des kleinen Gehirns mit denen der Pyramiden. Anfangs ist das weniger deutlich; aber jemehr die Pyramiden unter dem pons auseinandertreten, desto deutlicher scheint sich der Schenkel des kleinen Gehirns in die Pyramide einzusenken. Es bleibt unentschieden, ob hier bloße Contiguität oder wirkliche Continuität zwischen diesen Fasern statt hat, aber gewiß ist, daß das kleine Gehirn durch die vordern Pyramiden auf die Bewegung wirkt, und die Analogie lehrt, daß die Leitungsfähigkeit auf Continuität und nicht auf bloßem Contracte beruht. Das kleine Gehirn bildet also unter den erstern eine zweite Schlinge. Die ganze complicirte Structur des Gehirns läßt sich also auf eine einfache Schlinge zurückführen. Diese Continuität beruht auf scheinbar getrennten Theilen: so hatte man noch nicht deutlich die Verbindungen des fornix, vermöge seiner vordern Schenkel und die daraus entspringenden Theilungen mit den corporibus quadrigeminis, und die Verbindung dieser mit dem cerebellum auseinandergesetzt; die hintere Commissur des ventriculi tertii betrachtete man als pedunculi ad glandem pinealem, deren Spur man auf dem thalamus verlor, während sie doch die innere Abtheilung des feinen Netzes auf dem thalamus sind; ja dieses Netz selbst hat man noch nie beschrieben, und ob es gleich im Menschen sehr fein ist, so ist doch der Streif an



der Verbreitungsfläche des thalamus und der andere längs der Basis des corp. striati hinlaufende stets sichtbar; man wußte nicht, daß alles dies Anhängsel der vordern Schenkel des fornix sind; man glaubt, ein Theil dieser Schenkel steige in das corpus callosum (oder mamillare) und verlöre sich in dem Innern des thalamus, ob er sich gleich wieder bis zur taenia verfolgen läßt; er nimmt endlich auch den ganzen Raum zwischen den seitlichen Bündeln der valvula cerebelli und dem Pyramidaltheile der pedunculi cerebri ein. Bei den Säugethieren ist dies alles ganz deutlich, und die Theile zeigen sogar einen fibrösen Bau. Nehmen wir nun an, daß die Nerventhätigkeit an ein dem electrischen analoges Fluidum gebunden ist, so können diese Theile trotz ihrer Feinheit als Leiter eine eben so wichtige Rolle haben, als die Hemisphären selbst.

So verhält sich also die von mir entdeckte Schlinge, sie schließt sich an die von Dumas und Prevost entdeckte an, welche die Nerven, die aus den äußern Säulen (a b) treten, mit denen aus den innern (h i) bilden. Ich habe durch den Augenschein und durch Gründe für das Haupt des Nervenapparats dargethan, was jene beiden Männer durch microscopische Untersuchungen für den untern Theil dieses Apparats nachgewiesen haben.

---



## Vier und dreissigste Tafel.

### Nerven des Kopfes und Halses.

Fig. I. Eine allgemeine Ansicht von den Nerven des Gesichts und Halses. Die weichen Theile sind hier darum weggelassen, weil ihre Ausführung durch Vervielfältigung ihrer Umrisse der schnellern Uebersicht hinderlich gewesen seyn würde; und die Nerven erscheinen also ganz in ihrem natürlichen Verlauf, gleichsam durchscheinend durch die weichen Theile und aufer allem Verhältniß mit den sie umgebenden Knochengebilden. A. Nervus facialis seu N. respiratorius faciei Bell. a. Aufwärtssteigende Aeste zur Schläfe. b. Zweige zu den Augenliedern. c. Zweige zur Nase. d. Abwärtssteigende Aeste zum Unterkiefer und Hals. e. Plexus cervicalis superficialis. f. f. Anastomosen mit den Cervicalnerven. g. Ramus auricularis zu den hintern Ohrmuskeln. B. Nervus vagus. C. Nervus accessorius Wilissii seu N. respiratorius superior Bell. D. Nervus hypoglossus. E. Nervus phrenicus. F. Nervus sympathicus maximus. G. Ramus laryngeus superior Nervi vagi. H. R. laryngeus inferior seu recurrens N. vagi. I. Nervus glossopharyngeus.

I. Ramus frontalis rami primi Nervi trigemini. II. Ramus infraorbitalis rami secundi N. trigemini. III. Ramus alveolaris inferior rami tertii N. trigemini. IV. Ramus auricularis anterior seu temporalis rami tertii N. trigemini. V. Ramus buccalis labialis rami tertii N. trigemini. VI. VII. VIII. IX. Nervi cervicales.

Fig. II. Die oberflächlichen Gesichtsnerven sind hier durchschnitten und zurückgeschlagen, und der Verlauf der Nerven vom dritten Ast des fünften Nervenpaares zu den Kiefer - oder Kaumuskeln dargestellt.



a, b, c. Nervus facialis, durchschnitten und umgelegt, d. Ramus massetericus N. trigemini. Der Musculus masseter ist hier vom Unterkiefer losgetrennt und zurückgeschlagen, um eben diesen Nerven sehen zu können. e. Ramus buccinalis labialis, welcher sich um den M. M. buccinatorius, levator labiorum et orbicularis oris verbreitet. f. Ramus mylohyoideus rami tertii Nervi trigemini, welcher sich in den Muskeln, die den Unterkiefer herabziehen, verbreitet. g. Nervus infraorbitalis. h. N. alveolaris inferior seu mandibulo-labralis Bell. i. Ramus nasalis externus s. lateralis, welcher aus der Augenhöhle kömmt. \*)

Fig. III. u. IV.

### Halsnerven nach Scarpa.

Fig. III. a. Musculus mylohyoideus. b. M. stylohyoideus. c. M. digastricus maxillae inferioris. d. M. sternocleidomastoideus. e. M. omohyoideus. f. Vena jugularis interna. g. Arteria carotis communis.

1. Nervus accessorius Wilissii. 2. N. hypoglossus. 3. Ramus descendens N. hypoglossi. 4. 5. 6. 7. N. cervicalis. II. III. IV. et V. 8. 9. Rami communicantes mit dem Ramus descendens N. hypoglossi. 10. N. phrenicus. 11. R. lingualis N. trigemini.

Fig. IV. 1. Nervus facialis. 2. Ramus superior et 3. inferior. 4. Plexus anserinus N. facialis. 5. R. digastricus et 6. stylohyoideus. 7. N. accessorius. 8. N. hypoglossus. 9. N. glossopharyngeus. 10. Ramus pharyngeus, N. vagi. 11. Plexus pharyngeus N. glossopharyngei et R. pharyngei N. vagi. 12. R. linguales N. glossopharyngei. 13. Rami pharyngei N. glossopharyngei. 14. Rami carotidis internae N. glossopharyngei. 15. Plexus

---

\*) Fig. I. II. V. VI. u. VII. sind nach C. Bell.; The Nervensystem of the human body. London 1830.



carotideus N. glossopharyngei et Ramus laryngeus superior N. vagi. 16. Ramus laryngeus superior N. vagi. 16.<sup>a</sup> R. externus R. laryngei superioris N. vagi. 17. N. vagus. 18. Ganglion supremum N. sympathici maximi. 19. Rami molles N. sympathici maximi. 20. Rami cardiaci superficiales N. sympathici. 21. N. sympathicus. 22. N. cervicales. 23. N. phrenicus.

Fig. VI. a. Die senkrecht durchschnittenene Hirnhöhle. b. Medulla oblongata. c. Medulla spinalis. d. Lingua. e. Larynx. f. Bronchiae. g. h. Oesophagus et ventriculus. i. Diaphragma. 1. Nervus vagus. 2. Ramus laryngeus superior. 3. inferior N. vagi. 4. Plexus pulmonalis N. vagi. 5. Plexus cardiacus N. vagi. 6. Plexus cardiacus N. vagi. 7. Origo N. trochlearis. 8. Origo N. facialis. 9. Origo N. glossopharyngei. 10. Origo N. accessorii Wilissii. 11. N. accessorius Wilissii wie er den Musculus sternocleidomastoideus durchbohrt. 12. Origo Nervi phrenici seu respiratorii interni. 13. Origo Nervi respiratorii externi.

Fig. VII. Darstellung des Ursprungs der Gehirnnerven aus der Medulla oblongata.

1. N. optici. 2. N. oculomotorii. 3. N. trochleares. 4. Portio major s. posterior N. trigemini. 5. Ganglion Gasserii. 6. Portio minor. 7. Ramus primus seu ophthalmicus. 8. Ramus secundus seu maxillaris superior. 9. Ramus tertius seu maxillaris inferior Nervi trigemini. Die Portio minor geht ganz in diesen Ast über. 10. N. abducentes. 11. N. facialis. 12. N. acusticus. 13. N. glossopharyngeus. 14. N. vagus. 15. 16. N. accessorius Wilissii. 17. N. hypoglossus. 18. N. cervicalis primus. 19. N. cervicalis secundus.

Fig. VIII. Theil des Rückenmarks, woraus der 3te u. 4te Nervus cervicalis entspringt, von vorne.

III. N. cervicalis tertius, IV. quartus, V. quintus. a. Medulla spinalis. b. Hintere Wurzel des 3ten Cervicalnerven,



aus fünf dicken rundlichen Strängen bestehend, und in das Ganglion spinale übergehend. c. Vordere Wurzel des 3ten Cervicalnerven, aus drei dünnen, platten, mit spitzen Fasern entspringenden Bündeln bestehend. d. d. N. accessorius, zwischen den beiden Wurzeln des 3ten und 4ten Cervicalnerven abwärts schreitend. e. Hintere Wurzel des 4ten Cervicalnerven, aus zwei dicken großen Bündeln bestehend, wovon das obere einen Verbindungsfaden mit der hintern Wurzel des dritten Cervicalnerven abgiebt. Sie bildet das Ganglion spinale, aus welchem f. ein Ramus cutaneus cervicis, und g. ein R. muscularis und der M. M. scalenos etc. hervorgeht. h. Vordere Wurzel des 4ten Cervicalnerven. Man bemerkt an ihr einen obern Strang, welcher mit drei Fasern aus dem Rückenmark entspringt, sodann einen Verbindungsast von dem untern Strang aufnimmt, an das Ganglion spinale tritt, und über dasselbe hinweglaufend, mit einem tiefern Aste deutlich aufserhalb des Ganglions bis in g. sich verfolgen läßt, mit dem andern oberflächlichen aber eine (die oberste dickste) Wurzel i. des N. phrenicus bildet. Ferner sieht man einen untern Strang der vordern Wurzel, welche unmittelbar in den N. phrenicus sich fortsetzt als untere Wurzel des N. phrenicus k. Zwischen diesen beiden Wurzeln des N. phrenicus (i. k.) sieht man vier feine Nervenfäden, welche aus der Masse des Ganglion spinale kommen. l. l. Der daraus erwachsene Stamm des N. phrenicus steht noch mit dem N. cervicalis in Verbindung und schreitet sodann abwärts.

Fig. IX. Ein Theil des Rückenmarks in der Lendengegend mit dem Ursprung des N. sympathicus und des zweiten Lendennerven an dieser Stelle.

a. a. Rückenmark von hinten angesehen. b. b. Zwei Stränge der hintern Wurzel des 2ten Lendennerven. c. Ganglion spinale, welches von demselben gebildet wird. d. Ramus muscularis dorsalis des 2ten Lendennerven. e. R. anterior dessel-



ben (Ramus ilco - inguinalis). f. f. Ein Theil der pars lumbalis des N. sympathicus. g. Ganglion lumbale primum desselben, h. secundum, i. tertium. 1. 2. 3. 4. Vier auseinander gelegte Stränge der vordern Wurzel des 2ten Lendennerven. 1. Der oberste Faden läuft für sich nach auswärts, und an dem Ganglion vorübergehend, bildet er zum Theil den Ast d. und c. Die Fäden 2 und 3 verbinden sich miteinander auf ihrem Wege, treten aber wieder so auseinander, daß der Faden 2 in den Stamm des Nerven e, welcher vom Nervenbündel aus dem Ganglion c und von dem Faden 1 gebildet wird, übergeht, der Faden 3 aber in den Nervus sympathicus sich fortsetzt. Der Faden 4 geht allein und getrennt in den N. sympathicus über. k. Verbindungsfaden zwischen dem 2ten Lendennerven und dem N. sympathicus daselbst. Er spaltet sich in zwei Aeste l. und m. l. Der obere Ast giebt einen Zweig ab in den Nerven e, und geht sodann in den dritten Faden der vordern Wurzel des zweiten Lendennerven über. m. Der untere Ast theilt sich in vier Zweige, wovon der vorderste in den Nerven e übergeht, nachdem er sich noch vorher mit dem vorigen Aeste l bei n verbunden hat, zwei andere sich in das Ganglion spinale einsenken, und der vierte allein den Faden 4 der vordern Wurzel des zweiten Lendennerven bildet.

Fig. X. Höhle des Schädels und Rückgrats vom Ochsen, worin man von den Vierhügeln an das verlängerte Mark und das Rückenmark bis zum zweiten Halsnerven sieht.

a. a. Schädelhöhle, geöffnet. b. Nervus opticus, im Chiasma durchschnitten. c. d. Corpora quadrigemina. e. N. patheticus. f. Crus cerebelli ad pontem. g. N. quintus. h. N. facialis. i. N. auditorius. k. Ganglion nervi auditorii. l. Ventrivulus quartus. m. N. glossopharyngeus. n. N. vagus. o. R. spinalis nervi vagi. p. p. p. N. accessorius. q. q. Ramus spinalis minor nervi accessorii. Er entspringt unter dem 2ten Halsnerven, nimmt 5 Wurzeln aus dem Rückenmarke auf.



verbindet sich mit dem Hauptstamme des N. accessorius mit einem Aste unterhalb, und mit zwei Aesten oberhalb des Ganglions n, und tritt am hintern Rande des N. accessorius getrennt in's Foramen jugulare hinein. r. r<sup>1</sup>. r<sup>2</sup>. Ganglion radialis posterioris nervi hypoglossi. Es entspringt mit zwei Wurzeln r<sup>1</sup>, ist grau, von der Größe einer Linse, und umschlingt den N. accessorius, ohne mit ihm durch Nervenmasse verbunden zu seyn. Der aus ihm entspringende dickere und rundliche Ast r<sup>2</sup> tritt durch eine runde Oeffnung im Ligamentum dentatum (t, links zu sehen) geht durch den Stamm des Nervus accessorius hinweg, und vereinigt sich mit dem hintern Zweig s der vordern Wurzel des N. hypoglossus. s<sup>1</sup>. s. Hinterer und vorderer Zweig der vordern Wurzel des Nervus hypoglossus. t. t. t. Ligamentum dentatum. u. Nervus cervicalis primus et v. secundus. x. x. Harte Haut des Rückenmarkes, geöffnet und zurückgeschlagen.\*)

---

\*) Fig. VIII, IX et X, sind nach Mayer: Ueber das Gehirn, das Rückenmark und die Nerven. Eine anatomisch-physiologische Untersuchung von Prof. Mayer zu Bonn, in Acta Acad. Caes. Leop. Carol. Nat. Cur. Vol. XVI. P. II.

---



## Fünf und dreissigste Tafel.

### Lymphgefässe.

Fig. I. Allgemeine Vertheilung der Lymphgefässe.\*)

Dieser Körper zeigt erstlich an den Extremitäten die unter der Haut befindlichen Lymphgefässe. Damit man aber die tiefern Lymphgefässe leichter von den oberflächlichen unterscheiden kann, ist der Verlauf jener durch kleine Punkte angedeutet, während diese durch schwarze Linien bezeichnet werden. Man sieht ferner in der Bauchhöhle den Anfang und dessen Zusammensetzung des Ductus thoracicus. Man sieht daselbst auch die Lymphgefässe der linken Niere, des Magens und der Leber. In der Brusthöhle zeigen sich die Vasa lymphatica der Lungen und des Herzens. Am Halse sieht man gleichfalls mehrere Lymphgefässe, und zuletzt Stämme, welche sowohl an der rechten als linken Seite des Halses zwischen der Vena jugularis und subclavia in's Venensystem sich einmünden.

Fig. II. Zeigt den Verlauf der vorzüglichsten Lymphstämme, und ihre Einmündungsstellen in die Venae subclaviae.

A. Columna vertebralis. B. Costae dextrae a prima ad duodecim. C. Costae sinistrae tres superiores. D. Scapulae dextrae et E. Scapulae sinistrae facies interna. F. Cordis ex situ remoti et sinistrorsum versi facies inferior. G. Arteria pulmonalis, ex eadem prodiens. H. Aorta pone Arteriam pulmonalem emergens. I. Truncus anonymus. K. Arteria subclavia.

---

\*) Aus Cruikshank Anatomie des Vaisseaux absorbans du corps humain.



via dextra. L. A. carotis dextra. M. A. carotis sinistra. N. A. subclavia sinistra. O. Aorta descendens thoracica. P. Vena cava superior. Q. Vena subclavia dextra. R. Vena jugularis dextra interna. S. Eadem externa. T. Vena subclavia sinistra. U. Vena cephalica. V. Venae jugularis sinistrae, rescissae, initium. W. Vena azygos. X. Oesophagus. Y. Larynx et trachea. I. Der am Anfange sehr erweiterte Ductus thoracicus, welcher viele Netze und Geflechte bildet, und bei II. nachdem er die Lymphgefäße des Halses und der linken obern Extremität aufgenommen hat, an den Winkel, durch die Vereinigung der Vena jugularis sinistra et axillaris gebildet wird, in die Vena subclavia sinistra einmündet. III. Gang, welcher von den Lymphgefäßen und Drüsen der Achsel gebildet wird. IV. V. Zwei Stämme, welche von den Lymphgefäßen des Kopfes und Armes der rechten Seiten gebildet werden und in die Vena subclavia dextra einmünden. VI. der Theil des Ductus thoracicus, welcher an der grossen Figur durch die davor liegenden Theile bedeckt wird.

Fig. III. IV. V. VI. VII. Lymphgefäße und Lymphdrüsen besonders und von beiden Seiten dargestellt. \*)

---

\*) Diese Figuren, sowie die Fig. II. sind nach J. F. Meckel d. ä.: Samueli thomae Soemmerringio anatomico et physiologico celeberrimo die VII. Aprilis post gradum doctoris medicinae et chirurgiae rite captum felicissimae et in summum scientiae emolumentum peracti celebranti pia mente gratulatur Johannes Fricdericus Meckelius. Accedunt tabulae aencae VI. Halle 1818 Lipsiae prostat apud Voss et officina Hirschfeldii.



## Sechs und dreissigste Tafel. \*)

Fig. I. Zeigt das Bruststück der Aorta.

1. Luftröhre, trachea. 2. 2. Luftröhrenäste, bronchi.  
 3. Speiseröhre, oesophagus. 4. Halbmondförmige Klappen am  
 Ursprung der Aorta, valvulae semilunares aortae. 5. Origo  
 arteriae coronariae cordis dextrae et 6. sinistrae. 7. Aorta  
 ascendens. 8. Arcus aortae. 9. Truncus anonymus. 10. Ar-  
 teria subclavia dextra. 11. A. carotis dextra. 12. A. carotis  
 sinistra. 13. A. subclavia sinistra. 14. A. bronchialis dextra et  
 15. sinistra. 16. Aorta descendens. 17. Arteriae oesophageae.  
 18. Untere oder Aorten-Zwischenrippen-Arterien, Arteriae  
 intercostales inferiores seu aorticae. 19. Rami posteriores seu  
 dorsales. 20. Rami costales inferiores et 21. superiores. 22.  
 Aorta abdominalis. 23. A. coeliaca. 24. Truncus arteriarum  
 diaphragmaticarum inferiorum.

Fig. II. Zeigt die innere Brust- oder Brustbeinarterie  
 und die obere Rippenarterie, von der Brusthöhle aus gesehen.

1. Sechster, 2. siebenter Halswirbel. 3. 4. 5. 6. Obere  
 Brustwirbel. 7. Schlüsselbein. 8. Erste, 9. zweite, 10. dritte  
 Rippe. 11. Brustbein. 12. Arteria subclavia. 13. A. mam-  
 maria interna. 14. Zweig, welcher aus der Brusthöhle über  
 das Schlüsselbein hervorgeht. 15. Brustbeinzweige, ramuli  
 sternales. 16. Zwischenrippenäste, rami intercostales. 17. Aeus-  
 sere Brust-Aeste, welche die Zwischenrippenmuskeln durch-  
 bohren. 18. Zwischenrippen-Aeste, welche sich mit den ei-  
 gentlichen Zwischenrippen-Arterien verbinden. 19. Stamm

---

\*) Nach Tiedemann. Tab. arteriarum.



der tiefen Nacken- und der obern Rippen-Schlagader aus der A. subclavia. 20. A. cervicalis profunda. 21. A. intercostalis suprema. 22. Rami dorsales. 23. A. intercostalis prima. 24. Ramus superior et inferior. 25. A. intercostalis secunda. 26. R. superior et inferior. 27. A. intercostalis tertia et 28. quarta, welche aus der Aorta thoracica kommen. 29. A. Vertebralis.

Fig. III. et IV.

Stellt den Verlauf der unteren Bauchdecken-Schlagader aus dem Leichnam eines Mannes dar, der rechts einen äußeren, links einen inneren Leistenbruch hatte.

Fig. III. Zeigt die Brüche von Außen.

An der rechten Seite ist der äußere und an der linken der innere Leistenbruch.

1. Der erweiterte Bauchring, annulus abdominalis expansus. 2. Der aufgeschnittene Hodensack, scrotum incisum. 3. Gemeinschaftliche Scheidenhaut mit dem Hodenmuskel, tunica vaginalis communis cum cremastere. 4. Geöffnetes Bauchfell den Bauchsack bildend, peritoneum saccum herniae constituens apertum. 5. Vorgefallenes Stück des dünnen Darmes, portio intestini tenuis. 6. Arteria Vena et Nervus cruralis. 7. A. epigastrica inferior profunda hinter dem Bruche liegend. 8. Angedeuteter Verlauf dieser Pulsader in der Richtung gegen den Nabel. 9. A. circumflexa ilei interna.

Fig. IV. Zeigt diese Brüche von der Bauchhöhle aus.

1. Erweiterter Eingang zum Leistenkanal oder innerer Bauchring, wodurch die äußern Leistenbrüche jedesmal verlaufen. 2. Oeffnung für den innern Leistenbruch durch Zerreißung der Sehnenplatte des queren und innern schrägen Bauchmuskels, welche Stelle man die Leistengrube fossa inguinalis, nennt. 3. Bauchfell den Bruchsack bildend. 4. Eingang zu der Höhle des Bruchsacks. 5. Vas deferens. 6.



Harnblase. 7. Mastdarm. 8. Aorta abdominalis. 9. A. iliaca  
communes. 10. A. sacralis media. 11. A. crurales. 12. A. hy-  
pogastrica. 13. A. obturatoriae. 14. A. spermaticae internae.  
15. A. epigastrica inferior profunda dextri lateris hinter dem  
Bruchsack des äußern Leistenbruchs verlassend. 16. A. epi-  
gastrica inferior profunda sinistri lateris, welcher an der äus-  
sern und vordern Seite des innern Leistenbruchs verläuft.  
17. A. circumflexa ilei interna. 18. Venae spermaticae.

---



Faint, illegible text, possibly bleed-through from the reverse side of the page.



**E r k l ä r u n g**  
des  
**anatomischen Atlases,**

von  
**Dr. M. J. Weber,**

Professor zu Bonn.

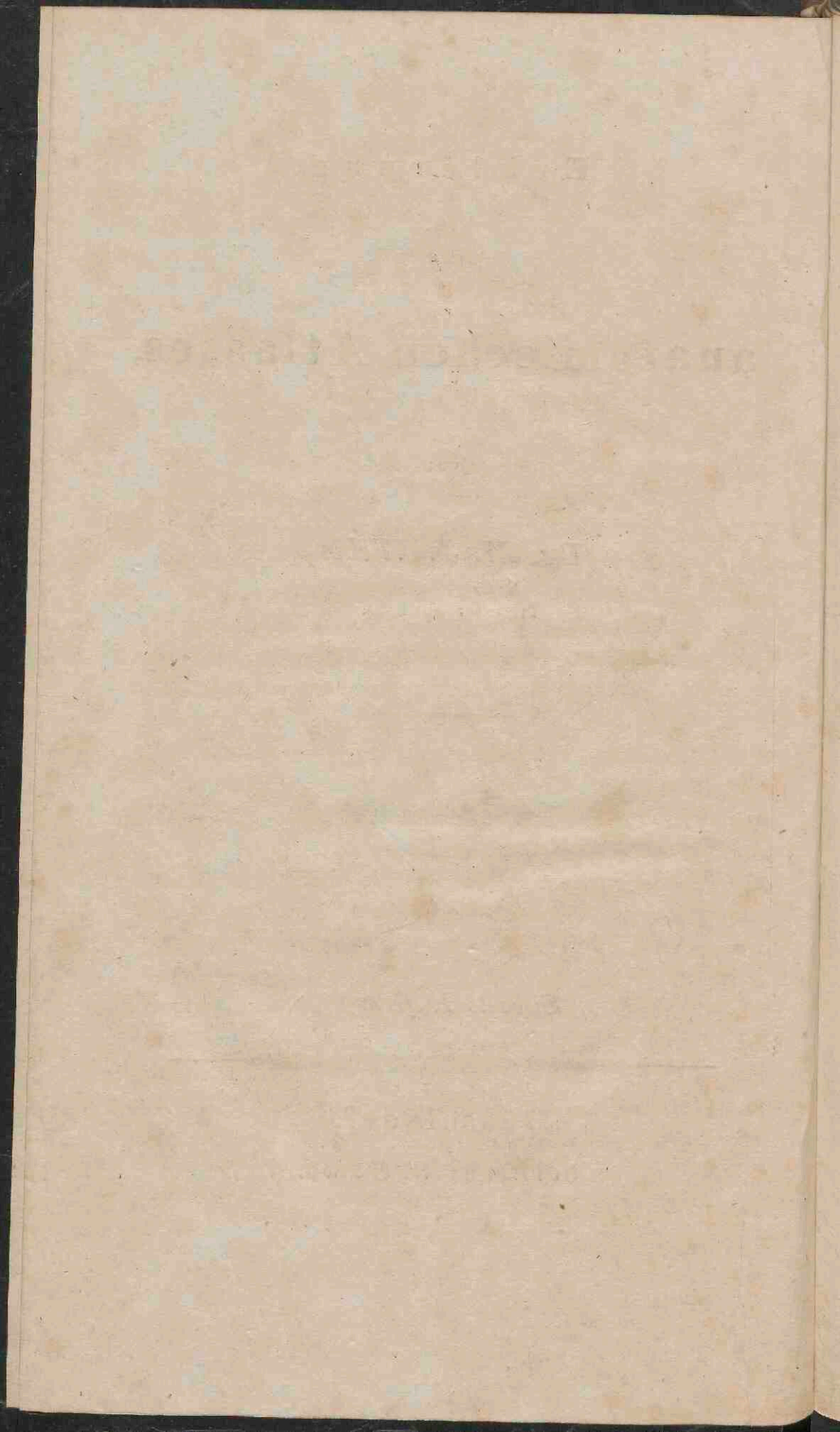
---

*Siebente Lieferung.*



**Düsseldorf,**  
bei Arnz & Comp.







## Zweiter Gefäß- und Nervenkörper von vorn.

### I. Arterien, Venen und Nerven am Hals und Kopf.

1. *A.* \*) *carotis communis*. 2. *A. et V. thyreoidea superior*, und *N. laryngeus superior*. 3. *A. et V. lingualis*. 4. *N. hypoglossus*. 5. *Ramus descendens N. hypoglossi*. 6. 7. *Rami anastomotici* vom II. und III. *N. cervicalis* zum *Ramus descendens N. hypoglossi*. 8. 8. *V. jugularis interna*. Ein Stück ist von der *Vena* ausgeschnitten, um die innerhalb und hinterhalb gelagerte *A. carotis* und den *N. vagus* zu sehen. 8<sup>1</sup>. Die Einmündung der *Vena jugularis externa*. 9. *Nervus vagus*. 10. *N. phrenicus*. 11. *A. et V. maxillaris externa*. 12. *A. submentalis* von der *A. maxillaris externa*. 13. *A. et V. coronaria labii inferioris et 13<sup>1</sup>. superioris*. 13<sup>2</sup>. *A. et V. angularis nasi*. 14. 14. *V. facialis anterior*. 15. *A. et V. temporalis superficialis*. 16. *A. et V. temporalis profunda*. 17. *A. et V. transversa faciei, et plexus anserinus N. facialis*. 18. *A. et V. auricularis posterior*. 19. *A. et V. occipitalis*. 20. *V. facialis posterior*. 21. *A. V. et N. buccinatorius*. 22. *A. V. et N. infraorbitalis*. 23. *A. V. et N. alveolaris inferior*. 24. *A. V. et N. subcutaneus malae*.

In der Augenhöhle. 25. *A. V. et N. lacrymalis*. 26. *A. ophthalmica*. 27. *A. V. et N. ethmoidales*. 28. *A. V. et N. supraorbitalis*. 29. *A. frontalis*. 30. *A. nasalis*. 31.

\*) *A.* bedeutet ein für allemal *Arteria*, Schlagader, *V.* bedeutet *Vena*, Blutader, und *N.* bedeutet *Nervus*, Nerve.



*N. nasociliaris.* 32. *N. frontalis.* 33. *N. opticus.* 34. *N. trochlearis.* 35. *N. oculomotorius.* 36. *N. abducens.* 36<sup>1</sup>. *Vena ophthalmo-cerebralis.* 36<sup>2</sup>. *A. V. et N. nasalis externus.*  
 37. *A. et V. subclavia.* 38. *A. mammaria interna.* 39. *A. intercostalis prima.* 40. *A. et V. transversa scapulae et N. suprascapularis.* 41. *A. et V. transversa colli et cervicis.*  
 42. *Truncus communis* der 43. *A. et V. cervicalis ascendens* und 44. *A. thyreoidea inferior.* 45. *A. et V. vertebralis.* 46. *A. cervicalis profunda.* 47. Die vier untersten *N. cervicales.*

## II. Arterien, Venen und Nerven der obern Extremität.

*a. A. et V. axillaris.* *b. c. d. A. V. et N. pectorales.*  
*e. Rami costales superiores et f. inferiores* theils noch aus der *A. subclavia*, theils aus der *A. axillaris*, theils auch aus Brustmuskellästen der *A. axillaris*. Diese Zweige anastomosiren, wie man überall deutlich sieht, *g.* mit den *A. intercostales* und *h.* mit Zweigen der *A. mammaria interna* (38.) *i. A. V. et N. subscapulares.* *h. A. circumflexa scapulae.* *l. A. circumflexa humeri anterior et m. posterior.* *n. A. et V. brachiales.* *o. A. profunda brachii.* *p. A. et V. collaterales ulnares.* *q. N. respiratorius externus Bell.* *r. N. cutaneus internus minor* vom *N. intercostalis secundus.* *s. N. cutaneus internus major.* *t. N. cutaneus externus seu perforans Casserii.* *u. N. medianus.* *v. N. ulnaris.* *w. N. radialis.* *x. A. et V. radiales.* *y. A. et V. recurrentes radiales.* *z. z. A. et V. ulnares.* 1. *A. et V. recurrentes ulnares.* 2. *A. et N. interosseus.* 3. *Ramus volaris superficialis A. et V. radialis.* 4. *R. volaris profundus A. radialis.* 5. *R. dorsalis A. V. et N. ulnaris.* 6. *R. volaris superficialis A. et V. ulnaris et R. anastomoticus N. ulnaris.* 7. *R. volaris profundus A. V. et N. ulnaris.* 8. *Arcus volaris sublimis*



et 9. *profundus*. 10. *A. V. et N. interossei*. 11. Endigung des *R. volaris profundus* *N. ulnaris* im *Musculus adductor pollicis*. 12. *Rete carpi volare superficiale*. 13. *Rete carpi volare profundum*. 14. Die abgeschnittenen *A. digitales communes*. Die übrigen Gefäße und Nerven der Hand sind schon aus dem ersten Gefäß- und Nervenkörper bekannt.

### III. Gefäße und Nerven der Brust und des Unterleibs.

1. *A. V. et N. intercostales*, wo sie zwischen den *M. intercostales externi et interni* hervorkommen. 2. *A. V. et N. intercostales* nach Abtragung der *M. intercostales externi* ganz sichtbar. 3. *Rami costales superiores* aus den *A. intercostales*. 4. *Rami phrenici superiores* aus den *A. intercostales*. 5. *Rami phrenici superiores* aus der *A. mammaria interna*. 6. *A. et V. mammaria interna*. 7. *A. et V. epigastrica superior* oder letzte Verbreitung der *A. mammaria interna* an der vordern Bauchwand und anastomosirend mit der *A. epigastrica inferior*. 8. *A. V. et N. lumbales anteriores*. 9. *A. et V. epigastrica*. 10. Venengeflecht zwischen dem *M. obliquus internus*, der hier, so wie der *Rectus abdominis*, hinweggenommen ist, und dem *M. transversus*. 11. *V. et A. spermatica interna*. 12. *Vas deferens*. 13. *A. vasis deferentis* aus der *A. hypogastrica*.

### IV. Gefäße und Nerven des Beckens und der untern Extremität.

a. *A. iliaca communis*. b. *A. V. et N. cruralis*. c. *A. hypogastrica*. d. *A. ileolumbalis*. e. Obliterirte *Arteria umbilicalis*. f. *A. vasis deferentis*. g. *A. V. et N. obturatorius*. h. *A. glutaea superior*. i. *Truncus Arteriae glutaeae*



*inferioris et pudendae communis. k. A. sacrales laterales.*  
*l. A. epigastrica.* Auf der rechten Seite ist sie von ihrer  
 Vene begleitet (*g.*) *m. Ramus A. epigastricae* zum Samen-  
 strang. *n. A. circumflexa ilii interna.* *o. Truncus A. et V.*  
*circumflexae ilei externae et abdominalis Halleri.* *q. q. A.*  
*spermaticae externae.* *r. A. et V. circumflexa femoris ex-*  
*terna.* *s. A. et V. profunda femoris.* *t. A. et V. circumflexae*  
*femoris internae.* *u. v. w. x. A. et V. articulares genu.* *y.*  
*N. saphenus.* *z. A. V. et N. musculares.* *1. A. et V. tibia-*  
*lis antica.* *2. A. et V. recurrens genu.* *3. A. et V. maleola-*  
*ris externa et 4. interna.* *5. Ramus perforans A. peroneae.*  
*6. A. et V. tarsea.* *7. A. metatarsa externa et 8. interna.*  
*9. A. digitales communes,* die sich dann gabelförmig vertheilen  
 in einen *R. tibialis et peroneus.* *10. Arcus arteriosus dor-*  
*salis pedis.* *11. N. peroneus.* *12. R. superficialis N. peronei.*  
*13. Ramus profundus N. peronei.* *14. N. vasorum.* *15. A.*  
*V. et N. tibialis.* *16. A. V. et N. plantaris externus et 17.*  
*internus.*

Fig. I.

Die männliche Ruthe, von einem Neger, an welcher  
 die Nerven dargestellt worden sind. Die Ruthe  
 ist durch Aufblasen im erigirten Zustande darge-  
 stellt, und die Eichel von hinten nach vorn umge-  
 legt worden.

*A. A.* Die von dem untern Rande des Beckens abge-  
 schnittenen Zellkörper der Ruthe, *corpora cavernosa penis.*  
*B.* Die durchschnittene Harnröhre, *Urethra.* *C.* Die Eichel,  
*Glans,* welche hinten von den Zellkörpern getrennt und  
 mit der Krone umgelegt worden ist. *a. a.* Die hinten und  
 vorn abgeschnittene Rückenvene der Ruthe, *Ven. dorsalis*  
*penis.*



Nerven.

1. Der abgeschnittene rechte Ruthennerv, *Nerv. penis dexter*. 2. Der linke Ruthennerv, *N. penis sinister*. 3.3. Abgeschnittene Aeste, welche zur Haut der Ruthe gehen. 4.4. Zweige, welche sich hinter die Ruthenvene begeben. 5. Ein Hautzweig, welcher sich unten in die Haut der Ruthe verbreitet. 6.6. Der äussere Ast der Ruthennerven, *Ram. extern. nervi penis*, beider Seiten. 7.7. Der innere Ast, *Ram. internus*, desselben. 8.8. Das linke Ruthengeflecht, *Plex. dorsalis penis sinister*, welches nach aussen ausgedehnt worden ist. 9.9. Das rechte Ruthengeflecht, *Plex. dorsalis dexter*, welches sich noch in der natürlichen Lage befindet. 10.10.10. Hautzweige, *Rami cutanei*, der Geflechte. 11. Endzweige, welche von oben oder hinten in die Eichel dringen. 12. Ein dergleichen Zweig, welcher sich plötzlich in mehrere theilt.

Fig. II.

Stellt den Fuss von der äussern Seite dar.

1. Fufsrückenpulsader, *A. dorsalis pedis seu tarsea*. 2. *A. tarsea interna*. 3.4. *A. tarsea externa*. 5. *A. malleolaris anterior externa*. 6. *A. calcanea externa*. Die Anastomosen und übrigen Gefässe sind schon aus dem ganzen Körper bekannt.

Fig. III.

1. *A. tibialis postica*. 2. *A. plantaris externa*. 3. *A. plantaris interna*. 4.6. *Ramus lateralis superficialis pedis externus*. 5.11. *Ramus anastomoticus* mit der *A. tarsea interna*. 7. *A. dorsalis hallucis interna*. 8. *A. malleolaris antica interna*. 9.10. *A. tarsea interna*.

---



## Dritter Gefäß- und Nervenkörper von hinten.

### I. Arterien, Venen und Nerven des Kopfes und des Stammes.

1. und 2. Die Arterien, Venen und Nerven der Stirn- und Ohrgegend, wie sie schon aus dem ersten Gefäß- und Nervenkörper von vorn bekannt sind. \* Durchgang einer Kopfhautvene durch das *Foramen parietale*, welche dann in den *sinus longitudinalis* einmündet. 3. *A. V. et N. occipitalis major*, \* \* *A. meningea posterior*, welche aus der *A. occipitalis* kömmt und durch das *Foramen mastoideum* zur harten Hirnhaut geht. 4. *N. occipitalis minor*. 5. *N. auricularis posterior*. 6. *N. accessorius Willisii*. 7. *Vena jugularis externa*. 8. *N. suprascapulares*. 9. *A. V. et N. cutanei colli et dors.* 9a. 9a. *A. V. et N. lumbales*. 9b. *Rami cutanei posteriores*. 9c. *Rami cutanei anteriores* der *N. intercostales*. 9d. *Rami cutanei posteriores* der *N. sacrales*. 9e. *R. posteriores* der *N. intercostales*. 9f. Abgeschnittene und zurückgelegte Hautäste der hintern Aeste der *N. intercostales*. 9g. *Rami posteriores* der *Arteriae intercostales*. 9h. *A. V. et N. intercostales*. 9i. *R. inferiores* der Intercostal-Gefäße, welche auf dem obern Rande der Rippen verlaufen. 9k. Abgeschnittene Hautäste der *A. intercostales*. 9l. *Ramus communicans* zwischen dem 10. und 9. *N. intercostalis*. Um diese Gefäße und Nerven zu sehen, muß man die *Musculi intercostales externi*, wie es hier an den drei untersten Zwischenrippenräumen geschehen ist, hinwegnehmen. 9m. *A. V. et N. lumbales*. Der *Musculus obliquus externus* ist hier hinweggenommen.



## II. Arterien, Venen und Nerven der obern Extremität.

10. *A. V. et N. transversus colli.* 11. *A. et V. dorsalis scapulae.* 12. *V. propria et N. dorsalis scapulae.* 13. *A. et V. transversa scapulae.* 14. *N. suprascapularis.* 15. *A. et V. circumflexa scapulae.* 15<sup>a</sup>. *R. dorsalis A. et N. subscapularis.* 16. *Rami communicantes.* 17. *A. et V. circumflexa humeri posterior.* 18. 18. *N. axillaris.* 19. *Rami cutanei N. axillaris et A. circumflexae humeri posterioris.* 20. *Rami N. cutanei posterioris interni.* 21. *N. cutaneus posterior superior N. radialis.* 22. *R. cutaneus N. musculo-cutanei.* 23. *Rami N. cutanei interni.* 24. *Ramus posterior seu ulnaris N. cutanei medii.* 25. *N. ulnaris* begleitet von der *A. recurrens ulnaris.* 26. *N. radialis.* 27. Die *V. et A. profunda brachii*, welche den *N. radialis* begleiten. Da der Nerv sowohl, als auch die Gefäße zwischen den Köpfen des *M. triceps brachii* dicht am Oberarmknochen verlaufen, und also von dem *Musculus triceps* bedeckt sind, so ist, um diese Theile deutlich zu sehen, dieser Muskel der Länge nach gespalten und etwas auseinander gezogen. 28. *Ramus profundus seu supinatorius N. radialis.* Da dieser Nerv durch den *Musculus supinatorius brevis* verläuft, so habe ich gleichfalls diesen Muskel bis zum Nerven durchschnitten und etwas auseinandergezogen. 29. *A. interossea dorsalis.* 30. *R. descendens.* 31. *R. adscendens*, welcher mit der *A. profunda* anastomosirt. 32. *A. et N. interosseus.* 33. 34. *A. radialis.* 34. Hier tritt die *A. rad.* in die *Vola manus.* 34<sup>a</sup>. 35. 36. 37. 38. *Rami dorsales carpi*, welche durch ihre Verbindungen mit den Verzweigungen der *A. interossea* und des *R. dorsalis* der *Arteria ulnaris* das *Rele carpi dorsale sublime* 39, und *profundum* 40. bilden. 41. *Ramus dorsalis radialis pollicis.* 42. *Ramus dorsalis ulnaris pollicis.* 43. *Ramus digitalis dorsalis radialis digiti indicis.* 44. *Ramus dorsalis*



*A. radialis.* 43. *R. communis dorsalis digiti indicis* 46. *et medii* 47. 48. *R. dorsalis N. radialis.* Die Vertheilung dieses Nerven liegt ohne nähere Bezeichnung vor Augen. 49. *Ramus dorsalis N. V. et A. ulnaris.* 50. 51. 52. Verbindungsäste zum *Rete carpi dorsale sublime* (39) und *profundum* (40). 53. *R. digitalis dorsalis ulnaris digiti minimi.* 54. *R. digitalis dorsalis communis digiti minimi et annularis.* 55. *R. digitalis dorsalis communis digiti annularis et medii.* Dieser Ast wird hier zusammengesetzt von den Dorsalzweigen (44. und 49.) der *Rami dorsales A. radialis et ulnaris* und dann von einem *R. perforans* des *Arcus volaris profundus*. 57. *Rete venosum dorsale manus.* 58. *Rete dorsale venosum antibrachii et brachii.* 59. 60. Zwei Hauptstämme, in welche sich die kleinen Venen sammeln und die *Vena cephalica* zusammensetzen. 61. 62. Zwei Stämme, welche die *Vena basilica* bilden.

### III. Arterien, Venen und Nerven des Beckens und der untern Extremität.

63. *Ramus cutaneus s. lateralis* des 12. Brustwirbelnerven. 64. *Rami posteriores N. cutanei anterioris externi femoris.* 65. Unterer Hautnerv des Gesäßes, welcher vom *N. ischiadicus* kömmt. 66. Der gemeinschaftliche hintere Hautnerv des Oberschenkels, *N. cutaneus communis posterior femoris.* 67. *Rami N. cutanei anterioris interni femoris.* 68. Der linke innere große Hautnerv, *N. saphenus.* 69. Der hintere Zweig, *R. posterior*, davon. 70. *A. V. et N. glutaeus superior et inferior.* 72. *A. et N. pudendus internus s. communis.* \*. *Rami anastomotici* mit der *A. circumflexa femoris externa.* 73. *N. ischiadicus.* 74. *R. peroneus.* 75. *R. tibialis N. ischiadici.* 76. *R. cutaneus externus cruris, seu R. communicans fibulae.* 77. *R. longus cutaneus seu commu-*



*nicans tibialis.* 78. 79. 80. Der äußere Hautnerv des Fußrückens, *R. cutaneus externus dorsi pedis.* 81. *Vena poplitea.* 82. *Arteria poplitea.* 83. *V. et A. articularis genu superior externa.* 84. *A. et V. superior interna.* 85. *V. et A. articularis genu inferior externa.* 86. *V. et A. articularis genu inferior interna.* 87. *Rami musculares.* 88. *A. et V. tibialis antica.* \*. *A. nutricia tibiae.* 89. *V. et A. tibialis postica.* 90. *V. et A. fibularis seu peronea.* Sie ist größtentheils vom langen Beuger der großen Zehe bedeckt, und daher in ihrem Verlauf durch kleine Linien (91.) angedeutet. 92. *V. et A. malleolaris externa.* 93. *V. et A. tarsea.* 94. *Vena saphena parva.* 95. Einmündung der *V. saphena parva* in die *Vena cruralis.*

Fig. I. u. II.

Diese beiden Figuren sind nach Bock\*) und stellen theils den *Plexus sacralis* und die Verzweigungen des *N. ischiadicus*, vorzugsweise aber die des *N. pudendus internus* an die weibliche Scham dar.

Fig. I.

1. *Plexus sacralis.* 2. *N. ischiadicus.* 3. *N. pudendus communis.* 4. *R. anastomoticus.* 5. Gemeinschaftlicher Stamm aus den hintern Aesten der *N. sacrales* gebildet.

Fig. II.

1. Der untere Mastdarmnerv, *N. haemorrhoidalis inferior.* 2. Der untere Schamnerv, *N. pudendus inferior.* 3. Zurückgelegte Hautzweige desselben, welche sich in der Haut des untern Beckenraums verbreiten. 4. Der obere oder äußere Schamnerv oder der Kitzlernerv, *N. pudendus superior seu externus seu clitoridis.*, da wo er unter der

\*) Abbildungen der Rückenmarksnerven. Leipzig 1827.



Schambeinvereinigung hervorkommt und sich auf dem Rücken des Kitzlers verbreitet. 5. Zwei Zweige des gemeinschaftlichen Hautnerven des Oberschenkels, welche unter dem grossen Gesäßmuskel hervorkommen, sich, indem sie sich unter dem Sitzknorren herumbiegen, zu einem Aste vereinigen, der unter der Haut des untern Beckenraums bis zum Schamberg herauf steigt, und sich mit einem Zweige des untern Schammerven verbindet. 6. Die Verbindung des vorigen mit dem Zweige des untern Schammerven.

Fig. III. u. IV.

Die Arterien und Nerven der Fusssohle, *planta pedis*.

a. Stamm der *Arteria tibialis postica*. b. *Ramus plantaris internus*. c. Aeste an dem *Musculus abductor* und d. *flexor brevis hallucis*. e. Ein langer Verbindungsast zum *Ramus plantaris externus*. f. Aeste zum Mittelfußknochen und zu den Bändern der grossen Zehe. g. Dessen *Ramus digitalis tibialis*, welcher h. mit den *Ramus digitalis fibularis hallucis* anastomosirt. i. *Ramus plantaris externus*, den tiefen Gefäßbogen bildend. k. Zweige davon zu den Fuß- und Mittelfußknochen und zu den Muskeln der kleinen Zehe. l. *Ejus ramus proprius seu externus digiti minimi*. m. *Rami digitales plantares communes*. n. *R. digitalis tibialis seu internus digiti minimi*. o. *R. externus*. p. *R. internus digiti quarti*. q. *R. externus*. r. *R. internus digiti tertii*. s. *R. externus*. t. *R. internus digiti secundi*. u. *R. externus hallucis*. v. *R. perforantes*. w. *Ramus communicans* des *R. plantaris in- et externus*. x. Anastomosen der einzelnen Zehenäste. y. *Rami interossei* aus dem N. und der *A. plantaris externa*.



1. Stamm des *N. tibialis posticus*. 2. *Ramus plantaris internus*. Die Theilung dieses Nervenstammes in vier Aeste 3. 4. 5. und 6. und ihre Vertheilung an den Zehen ist von selbst klar. 7. *R. plantaris externus*, den *Arcus nervosus plantaris* bildend. 8. 9. Dessen *Rami digitales plantares*. 10. Endigung des *N. plantaris externus* im *Musculus adductor hallucis*. 12. *Ramus communicans* des *N. plantaris ex- et internus*.

Fig. V.

a. Die Hautvenen der Fußssole. b. Die tiefen Venen, welche die Arterien begleiten und dieselben Namen haben. Die übrigen Gefäße und Nerven sind schon aus den beiden vorhergehenden Figuren bekannt.

---



## Sieben und dreissigste Tafel.

Fig. I. — IX. Der Kopftheil des vegetativen Nervensystems.\*)

Fig. I.

Gibt die Verbindung des obersten Halsknoten mit dem 9., 10. und 12. Paar der Hirnnerven, den innern Ast des Kopf-Schlagader-Nerven, das Zell-Blutleiter-Geflecht und die Nerven der Nasenscheidewand.

1. Harte Haut des Rückenmarks. 2. *Arteria vertebralis*. 3. *Art. carotis communis*. 4. *A. carotis interna seu cerebralis*. 5. *A. cervicalis adscendens*. 6. *A. ophthalmica*. 7. *A. carotis externa*. 8. *A. thyreoidea superior*. 9. *A. lingualis*. 10. *A. maxillaris externa*. 11. bis 16. Erster bis sechster Halsnerve. — *a.* Zwölftes, *b.* eilftes, *c.* zehntes, *d.* neuntes, *e.* sechstes, *f.* fünftes, *g.* viertes, *h.* drittes und *i.* zweites Paar der Hirnnerven. *h.* Verbreitung des Riechnerven auf der Scheidewand der Nasc. *l.* Ast zur Scheidewand der Nase vom Riechbeinnerven. *m.* Nerven der Nasen-Scheidewand, von denen der stärkste nach vorn sich begibt, durch den vordern Gaumenkanal tritt, und sich in der Papille hinter den Schneidezähnen verzweigt. *n.* Ein oberer hinterer Nasennerve, der Rachenast, *ramus*

\*) Aus dem Werke: Der Kopftheil des vegetativen Nervensystems beim Menschen, in anatomischer und physiologischer Hinsicht bearbeitet, von Dr. Fr. Arnold. Mit 10 Kupfertafeln. Heidelberg und Leipzig. Neue akademische Buchhandlung von Karl Groos. 1831.



*pharyngeus*, nach Bock. — 17. *Ganglion cervicale supremum*. Verbindungsäste zu den 11. 12. oberen Halsnerven, zum (c) *Nervus vagus*, zum (a) *N. hypoglossus*, und zum 18. untern oder kleinen Schlundkopfnerven sind ohne Bezeichnung leicht aufzusuchen. 19. Gemeinschaftlicher Stamm der Gefäßsnerven, *nervi molles*. \*. Knoten des *N. vagus*. \*\*. Knotengeflecht des *N. vagus*. \*\*\*. Felsenknoten oder Knoten des Zungen-Schlundkopfnerven, *N. glossopharyngeus*. 20. Innerer Ast des Kopfschlagadernerven. 21. Enden desselben zum äussern Ast. 22. Verbindungsfaden zum sechsten Paar. 23. Zellblutleiter-Netz. 24. Mehrere Fäden aus demselben zum ersten Ast des dreigetheilten Nerven und zum halbmondförmigen Knoten. 25. Nerven-faden, welcher die innere Kopfschlagader in die Schädelhöhle begleitet.

Fig. II.

Zeigt uns den Verlauf des Kopf-Schlagader-Nerven, besonders aber des äussern Astes von demselben, die Verbindung mit dem sechsten Hirnnerven und die mit dem zweiten Ast des fünften Paares, so wie endlich den Nasenknoten von der äussern Seite.

a. Innere Kopfschlagader. b. Augenschlagader. c. Kieferschlagader.

1. Sehnerve. 2. Dreigetheilter Nerve, dessen Stamm, halbmondförmiger Knoten, erster und dritter Ast blos durch punktirte Linien angegeben sind, um die Nerven im carotischen Kanal deutlich zu Gesicht zu erhalten, und dabei doch die Lage der genannten Theile vom fünften Paar zu diesen zu erkennen. 3. Zweiter Ast des fünften Paares. 4. Wangenhautnerv. 5. Unter-Augenhöhlen-Nerv.



6. Flügelgaumennerv. 7. Oberkiefernerv. 8. Sechstes Paar der Hirnnerven, *N. abducens*. 9. Carotischer Nerv. 10. Innerer Ast desselben. 11. Aeußerer Ast. 12. Tiefer Zweig des Vidischen Nerven. 13. Nasenknoten. 14. Obere hintere Nasennerven, 15. Oberer vorderer Nasennerv. 16. Untere Nasennerven. 17. Zwei Fäden zum Sehnerven. 18. Oberflächlicher Felsenbeinnerv. 19. Verbindung des äußern mit dem innern Aste des carotischen Nerven. 20. Verbindung des äußeren Astes mit dem 6. Paar. 21. Mehrere Fäden des innern Astes zum sechsten Hirnnerven. 22. Innerer Ast des carotischen Nerven, wie er nach innen vom sechsten Hirnnerven zur Ausschweifung an der dritten Beugung des *Carotis* gelegt, um dort ein Netz zu bilden, welches in der letzten Figur Nro. 23. abgebildet ist. 23. Zwei Fädchen aus dem cavernösen Netze zum fünften Paar. 24. Faden aus demselben zur Augenpulsader.

Fig. III.

Der Nasenknoten von der innern Seite und die obern vordern Nasennerven.

1. *N. opticus*. 2. *N. trigeminus*. †. *Portio minor*. 3. *Ganglion semilunare*. 4. *Ramus primus*. 5. *Ramus secundus*. 6. *R. tertius Nervi trigemini*. 7. Nasenknoten, *ganglion spheno-palatinum*. 8. *N. pterygo-palatinus* mit seinen Nasenästen. 8a. *Rami nervi Vidiani*. 9. *Ramus pharyngeus Bockii*. 10. Verzweigung der Riechnerven an der obern Muschel. 11. Riechbeinnerv.



Fig. IV.

Hier sehen wir die Verbindung des oberflächlichen Felsenbein-Nerven mit dem 7. Paar, die ganglionartige Anschwellung am Knie des Antlitz-Nerven, die von ihr entspringenden Fäden zum achten Hirnnerven, sowie die zum kleinern oberflächlichen Felsenbein-Nerven; ferner erkennen wir hier die Verbindung mit dem fünften und dritten Paar der Hirnnerven, so wie den Faden aus dem cavernösen Geflecht zum Augenknoten.

1. Augapfel. 2. Sehnerve. 3. *Carotis interna* und *A. ophthalmica*. 4. *Musculus rectus internus bulbi oculi*. 5. *M. rectus externus bulbi oculi*. 6. *Nervus oculo-motorius*. 7. *Ejus ramus superior et 8. inferior*. 9. Kurze Wurzel zum (†) *Ganglion ophthalmicon*. 10. *N. trigeminus*. *a. Ramus primus*. *b. secundus et c. tertius*. *d. Stirnnerve*. *e. Thränennerv*. *f. Nasen-Augennerv*, stark nach außen gezogen, um die lange Wurzel des Augenknoten \* und den Faden \*\*, aus dem cavernösen Geflechte zu demselben deutlich und gut zu sehen. \*\*\*. Faden aus dem cavernösen Geflecht zum *N. oculomotorius* und \*\*\*\*. zum *Ganglion semilunare N. trigemini*. *g. Lange Wurzel zum Ganglion ophthalmicon*. *h. Nervi ciliares*, sowohl aus dem † *Ganglion ophthalmicon*, als auch aus dem Nasen-Augennerv kommend. 11. Zwei Fäden aus dem Blutleitersgeflecht. 12. *N. abducens*. 13. *Arteria meningea media*. 14. *M. tensor tympani*. 15. *Ramus petrosus nervi Vidiani*. 16. *N. facialis*. 17. Zwischenportion des Antlitznerven. 18. Oberer Theil des Hörnerven, von dem Antlitznerven etwas abgezogen, um die zwischen beiden Nerven statt findende Verbindung



besser zu sehen. 19. Faden von der kleinern Portion des Antlitznerven zum Hörnerven. 20. Anschwellung am Knie des *N. facialis*. 21. Faden von derselben zum Hörnerv. 22. Faden von derselben zum kleinern oberflächlichen Felsenbeinnerven. 23. Paukensaite.

Fig. V.

Stellt den Augenknoten und die Blendungsnerve dar.

1. *N. opticus*. 2. *N. oculo-motorius*. 3. Oberer Ast. 4. Unterer Ast desselben. 5. Zweige zum untern geraden und schiefen Augenmuskel. 6. *Radix brevis* zum *Ganglion ophthalmicon*. 7. *N. trochlearis*. 8. *N. trigeminus*. a. *Ramus primus*. b. Stirnnerve, vorn abgeschnitten. c. Abgeschnittener Thränennerv. d. Augennasennerv. e. Lange Wurzel des Augenknoten. f. Blendungsnerve aus dem Augennasennerv. g. Faden aus dem Zellblutleitergeflecht zum Augenknoten. †. *Ganglion ophthalmicon*. h. *N. ciliares* aus dem *Ganglion ophthalmicon*. i. *N. abducens*.

Fig. VI.

Zeigt uns die Nerven, welche die Arterien innerhalb der Schädelhöhle begleiten. Ausserdem sehen wir an dieser Abbildung die Nerven, welche im Hirnzell ihren Verlauf haben, und die von Arnold die *Nervi recurrentes primi rami quinti paris* genannt werden.

A. *Dura mater*. a. *Carotis interna*. b. *A. corporis callosi*. c. *A. fossae Sylvii*. d. *Ramus communicans* mit e. der *A. profunda cerebri*. f. *A. basilaris*. 1. Sehnerv. 2. Dritter. 3. Vierter Hirnnerv. 4. Erster Ast des fünften Paares. 5. Zurücklaufende Nerven desselben. 6. Fäden aus dem



cavernösen Netze, welche die Arterien innerhalb der Schädelhöhle begleiten. 7. Feines Fädchen auf der Zapfen-Pulsader.

Fig. VII.

Stellt den Felsenknoten und den Verlauf der Paukenhöhlen-Nerven dar. Man sieht an dieser Abbildung von der linken Seite die Paukenhöhle, den fallopischen, carotischen und vidischen Kanal von aussen aufgebrochen.

Die nicht bezeichneten Nerven sind schon aus der Fig. II. bekannt.

1. Fäden zum Sehnerv. 2. *Nervus Vidianus*. 3. *N. facialis*. 4. *Ramus petrosus superficialis*. 5. *Ramus profundus nervi Vidiani*. 6. Aeusserer Ast der Kopfschlagadernerven. 7. Stamm des carotischen Nerven. 8. Kleiner oberflächlicher Felsenbeinnerv. 9. Fäden davon zum *N. facialis*. 10. Felsenknoten. 11. Eine Wurzel des von Arnold aufgefundenen Nerven zum äussern Ohr. 12. Andere Wurzel aus dem Knoten des 10. Paares. 13. Paukenhöhlennerv. 14. Fädchen desselben zum runden Fenster. 15. Verbindung mit einem Zweig des carotischen Nerven. 16. Fädchen zum eirunden Fenster. 17. Fädchen in die Ohrtrumpete, die sich in den Drüsen an der Mundöffnung derselben verzweigt. 18. Kleiner tiefer Felsenbeinnerv zum Nasenknoten. 19. Eilfter Hirnnerve. 20. Lungen-Magennerv. 21. Zungenschlundkopf-Nerve.



Fig. VIII.

Der Knoten des 10. Paars der Hirnnerven und der von Arnold entdeckte Nerve zum äussern Ohr.

*A.* Aeußeres Ohr und Gehörgang. *B.* Felsenbein. *C.* Ohrspeicheldrüse. *D.* *Vena jugularis interna*, zum Theil geöffnet. *E.* Hintere Ohrpulsader. 1. *N. facialis*. 2. Hinterer Ohrnerve. 3. Abgeschnittener Ast zum Griffelzungenbein-Muskel. 4. Neunter Hirnnerve. 5. *N. vagus*. 6. Knoten desselben. 7. Nerven zum äussern Ohr. 8. Stärkere Wurzel desselben. 9. Schwächere Wurzel aus dem Felsenknoten. 10. Fädchen aufwärts in den fallopi-schen Kanal, das sich mit dem 7. Paar verbindet. 11. Fädchen abwärts, sich gleichfalls vereinigend mit dem Ant-litznerven. 12. Hauptstämmchen des Ohrastes vom 10. Paar. 13. Ein Zweig von demselben zum hintern Ohrner-ven. 14. Drei Zweige, welche theils den Ohrknorpel durchbohren und sich in der Haut, welche die innere Fläche des äussern Ohrs und Gehörgangs auskleidet, ver-breiten, theils zu den Ohrenschmalz-Drüsen treten,

Fig. IX.

Zeigt uns den Nerven des obersten Halsknoten, welchen die Aeste der äussern Kopf-Schlagader be-gleiten, so wie den Zungen- oder Kieferknoten.

*a.* *Arteria carotis communis*. *b.* *A. carotis externa*. *c.* *interna*. *d.* *A. thyreoidea superior*. *e.* *A. lingualis*. *f.* *A. maxillaris externa*. *g.* Gemeinschaftlicher Stamm der *A. temporalis* und *maxillaris interna*. *h.* *A. occipitalis*. *h<sup>1</sup>.* *A. auricularis posterior*. *i.* *A. maxillaris interna*. *k.* *A. tem-poralis*. *l.* *Glandula submaxillaris*. *m.* *Glandula lingualis*. *n.* *Glandula thyreoidea*.



1—4. Zweiter bis fünfter Halsnerve. 5. *N. hypoglossus*. 6. *Ramus descendens N. hypoglossi*. 7. Willis'scher Beinerve. 8. *N. vagus*. 9. *N. alveolaris inferior*. 10. *Ramus lingualis seu gustatorius N. trigemini*. 11. Zweig desselben zum Kieferknoten. 12. Paukensaiten. 13. Ein Ast desselben zum Kieferknoten. 14. Stärkerer Ast zum Geschmacksnerven. 15. Knotenartiger Stamm der Gefäßnerven, welcher sich zwischen der *Art. thyreoidea sup. et lingualis* nach aufsen um die *Carotis externa* schlägt, und sich alsdann in mehrere Zweige theilt für die Aeste der äußeren Kopfarterie. 16. Nerve zur Zungenschlagader, welcher unmittelbar aus dem obersten Halsknoten hervorkommt. 17. Zwei Nerven zur Gesichts-Schlagader. Ueber den Ursprung der Gefäßnerven aus dem großen Halsknoten sieht die erste Abbildung. 18. Zweig zum Kieferknoten. 19. Kieferknoten. 20. Zweige aus demselben zum Ausführungsgang der Kieferdrüse. 21. Zweige zum Geschmacksnerven.

Fig. X., XI. und XII.

Bocks Nachtrag zu seinen Abbildungen des fünften Hirnnerven und seiner Verbindungen mit andern Nerven, vorzüglich mit dem Gangliensystem.

Fig. X.

1. *Nervus oculo-motorius*. 2. *N. trochlearis*. 3. *N. trigeminus*. 4. *Ramus primus N. trigemini*. 5. *Ramus lacrymalis*. 6. *R. ethmoidalis*. 7. *R. supratrochlearis*. 8. *R. supraorbitalis*. 9. *R. secundus N. trigemini*. 10. *R. subcutaneus malae*. 11. *R. communicans*. 12. *R. maxillaris inferior N. trigemini*. 13. *R. buccinatorius*. 14. *R. temporalis profundus exterior*. 15. *R. massetericus*. 16. Der Ursprung des



oberflächlichen Schläfenerven, des Unterkiefernerven und des Zungenastes. 17. *N. facialis*. 18. *N. auditorius*. 19. Bogengänge. 20. *Arteria maxillaris interna*. a. Ganglion et plexus caroticus und die Zweige, welche davon zum 1ten Ast des 5ten Nervenpaars und zum *N. oculo-motorius* gehen. b. Ast zum *Ganglion ophthalmicum*. c. Oberflächlicher Zweig des vidianischen Nerven.

Fig. XI.

1. Die Zungendrüse, aufwärtsgeschlagen. 2. Die Unterkieferdrüse. \*. Die *Tuba Eustachii*. 3. Ein kleiner Theil des Facialnerven in seinem Kanale. 4. Fortsetzung desselben außerhalb des Kanals. 5. Stelle, wo derselbe abgeschnitten worden. 6. *N. glosso-pharyngeus*. 7. Der kurze Zweig desselben, welcher mit dem Schlundkopfaste des Stirnnerven zusammenfließt. 8. Der vordere oder Schlundkopfast desselben. 9. Der Zungenast oder die Fortsetzung des Zungenschlundkopfnerven. 10. Stelle, wo derselbe hinter den Griffelzungenmuskel tritt. 11. Stelle, wo der Stimm- oder Lungenmagennerv aus dem Jugularloche hervortritt. 12. Fortsetzung des *N. vagus*. 13. Der *Ramus pharyngeus N. vagi*. 14. *Plexus pharyngeus*. 15. Der innere Kehlkopfast vom *N. vagus*. 16. Der äußere Ast davon. 17. *N. accessorius Willisii*. 18. *N. hypoglossus*. 19. *R. descendens N. hypoglossi*. 20. Zweig zum Schildzungenknochenmuskel. 21. Fortsetzung des Zungenfleischnerven. 22. Zweige desselben für den Zungenknochen- und den Kiefer-Zungenmuskel, welche auch Verbindungen mit dem Lingualast vom fünften Hirnnerven eingehen. 23. Geflechtartige Fortsetzung des Zungenfleischnerven in der Zungensubstanz. 24. Zweiter Ast des fünften Nervenpaars. 25. *Ganglion spheno-palatinum*.



26. Der Schlundkopfzweig desselben, welcher durch das Heilgaumenloch geht. 27. *N. Vidianus*. 28. *N. pterygopalatinus*. 29. Dritter Ast des fünften Nervenpaars. 30. Die Wurzeln des oberflächlichen Schläfenerven, welche durch ihre Vereinigung den Nerven bilden. 31. Die Verbindungszweige mit dem Antlitznerven. 32. Der untere äußere Gehörnerv. 33. Der obere äußere Gehörnerv. 34. Der von demselben abgehende eigentliche Paukenfellnerve, welcher sich mit der Paukenfellsaite verbindet. 35. Paukenfellsaite, *chorda tympani*. 36. *Ramus lingualis*. 37. *R. alveolaris inferior*. 38. *Ganglion cervicale supremum N. sympathici*. Die Verzweigungen an die *Arteria carotis interna* und die Verbindungen mit den benachbarten Nerven sind schon aus den vorhergehenden Figuren bekannt und leicht ohne Bezeichnung zu finden.

Fig. XII.

### Die Nerven der Nasenscheidewand.

1. Zweiter Ast des *N. trigeminus*. 2. *N. sphenopalatinus*. 3. *Ganglion sphenopalatinum*. 4. *N. nasopalatinus Scarpa*. 5. *Ganglion nasopalatinum*.

Fig. XIII.

1—3. Die drei ersten Cervicalnerven. 4. *N. hypoglossus*. 5. *N. vagus*. 6. *N. sympathicus*. 7. *Ganglion cervicale supremum*. 8. 8. *Plexus nervorum mollium*. 9. *N. glossopharyngeus*. 10. *R. pharyngeus N. vagi*. 11. *R. laryngeus superior N. vagi*. 12. *N. sphenopalatinus*. 13. *Ganglion sphenopalatinum*. 14. *R. pharyngeus*. 15. *N. pterygoideus*.



Fig. XIV.

Stellt ein neu entdecktes Ganglion im Winkel der äussern und innern Carotis beim Menschen und den Säugethieren, *Ganglion intercaroticum*, dar. Von Professor Mayer in Bonn. \*)

*a. Carotis communis. b. Carotis interna. c. C. externa. d. Ganglion cervicale supremum. e. e. N. glossopharyngeus. f. Ganglion intercaroticum. g. Ligamentum ejus. h. Ramus ex N. glosso-pharyngeo. i. i. Rami ex d.*

---

\*) Notizen aus dem Gebiete der Natur- und Heilkunde, von v. Froriep. Nr. 771. (Nr. 1. des 36. Bandes.) Februar 1833.

---



## Acht und dreissigste Tafel.

Stellt die Venen des Gehirns, die Blutleiter des Schädels, die Venen und lymphatischen Gefässe an der Vorderseite des Rückgrats, und die Häute der Arterien und Venen dar.

Fig. I.

Stellt die Venen an der Oberfläche des Hirns dar, und wie sie in den obern Längenblutleiter, *sinus longitudinalis superior*, einmünden.

1. Die Venen des Gehirns. 2. 3. Der *Sinus longitudinalis*.

Fig. II.

Basis des Gehirns mit den Hauptvenen.

1. *Vena fossae Sylvii*. a. *Rami anteriores*. b. *Rami medii*. 2. *Vena ascendens seu basilaris*, welche c. Aeste von den Gehirnschenkeln und d. vom mittlern Horn des Seitenventrikels aufnimmt. 3. *Vena communicans anterior*, welche e. die Aeste der vordern Lappen des Gehirns und f. der Schnerven sammelt. 4. *Vena communicans posterior*, welche g. die Venen des *Corpus cinereum* und der *Corpora candicantia* aufnimmt, sowie auch h. Aestchen aus den Hirnschenkeln. 5. *Rete venosum* der *Pons Varolii*. i. Hauptast dieses Netzes.

Fig. III.

Die Seitenventrikel des Gehirns mit den Venen.

1. *Vena reflexa seu velata*. a. *Rami corporis striati*. b. Eine unendliche Zahl kleiner durchschnittener Venen.



c. *Rami septi lucidi*. 2. *Vena corporis striati major*. 3. *Venae plexus choroidei minores*. 4. *Venae thalamorum optico- rum profundae*. 5. *Venae plexus choroidei posteriores. e. minores. f. majores*. 6. *Venae posteriores superficiales*. 7. *Truncus Venae ascendentis seu basilaris*. 8. *Venae magnae Galeni seu cerebri*.

Fig. IV.

Die Blutleiter der grossen Sichel (a) und des Gezeltes (b).

1. 2. *Sinus longitudinalis superior*. 3. Die Venen von der Oberfläche des Gehirns in der Nähe ihrer Einmündung abgeschnitten. 4. 5. *Sinus longitudinalis inferior*. 6. 7. *Sinus quartus*. 8. 9. 10. *Sinus transversus*. 8. 9. *Ejus pars horizontalis*. 9. 10. *Ejus pars descendens*. 11. *Vena jugularis interna*. 12. *Venae magnae Galeni seu cerebri*. 13. *Arteria et venae vertebrales*. 14. *Venae profundae cervicis*.

Fig. V.

Blutleiter an der Basis des Schädels.

1. Der durchschnittene Längenblutleiter. a. b. Sonde, um dessen Uebergang in den rechten Querblutleiter anzuzeigen. 2. 3. 4. Querblutleiter, *sinus transversus*. 2. 3. Horizontale Schenkel. 3. 4. Absteigende Schenkel der Querblutleiter. 5. *Foramen jugulare seu lacerum posterius*. c. d. Sonde, um zu zeigen, wie die beiden Querblutleiter miteinander in Verbindung stehen. 6. Durchschnittener *Sinus quartus*. 7. *Sinus occipitales posteriores*. e. f. Verbindungen der Querblutleiter mit den hintern Hinterhauptsblutleitern, durch Sonden angedeutet. g. h. Sonde, welche die



Verbindung des *Sinus quartus* mit den hintern Hinterhauptsblutleitern anzeigt. 8. 9. Obere Felsenblutleiter, *sinus petrosi superiores*. 10. 11. *Sinus petrosi inferiores*. 12. 13. *Sinus occipitales anteriores*. 14. Zellkörperblutleiter, *sinus cavernosus*. 15. *Sinus circularis Ridley*. 16. *Sinus alae parvae seu spheno-parietales Breschet*. 17. Venenstamm, welcher hier aus den *Sinus alae parvae* das Blut durch das *Foramen spinosum* aus dem Schädel führt. 18. *Arteria et Venae meningee mediae*. 19. *Sinus foraminis magni ossis occipitis*.

Fig. VI.

**Zusammenfluss der Blutleiter der harten Hirnhaut, von hinten angesehen und geöffnet, um die Mündungen der dahin sich ergiessenden Blutleiter zu sehen.**

1. 2. Theile der harten Hirnhaut, welche die obern und untern Hinterhauptsgruben auskleiden. 3. Theil der harten Hirnhaut aus der Gegend des großen Hinterhauptslochs. 4. Oberes Ende des oberen Sichelblutleiters. 5. 5. Portion der Querblutleiter. 6. 6. Die Hinterhauptsblutleiter. 7. Höhle des Zusammenflusses der Blutleiter, des *torcular Herophili*, Oeffnung des senkrechten Blutleiters. 8. Oeffnung des oberen Sichelblutleiters. 9. 9. Oeffnungen der Querblutleiter. 10. Oeffnungen der Hinterhauptsblutleiter.

Fig. VII. VIII. und IX. \*)

erläutern, auf die Hälfte der natürlichen Gröfse reducirt, die *Diploë-Venen* im Innern der Schädelknochen.

\*) Nach Breschet's Abhandlung über neu entdeckte Theile des Venensystems. In den Verhandlungen der K. L. Akademie der Naturforscher. V. Band. Bonn. 1826.



Die äußere Tafel der Schädelknochen ist abgenommen, und man sieht, wie die Gefäße in der schwammigen Substanz der Knochen verlaufen.

Fig. VII. 1. *Vena diploëtica temporalis antica*. 2. *Vena diploëtica temporalis postica*. 3. *Vena diploëtica frontalis*.

Fig. VIII. 1. *Vena diploëtica frontalis*. 2. *Vena diploëtica temporalis*. 3. *Vena diploëtica temporalis antica et postica*. 5. *Venae diploëticae occipitales*.

Fig. IX. 1. *Vena diploëtica occipitalis*. 2. Verzweigung der *Vena diploëtica occipitalis*. Zuweilen sind zwei Stämme vorhanden, nämlich auf einer jeden Seite einer, die sich einzeln in die äußern Blutadern des Hinterhaupts ergießen. Da wo nur ein Stamm vorkam, sah Breschet diesen nicht selten die innere Tafel des Schädels durchbohren, und sich irgendwo in die Hinterhauptsblutleiter öffnen.

Fig X.

Die Venen und lymphatischen Gefäße an der Vorderseite des Rückgrats.

1. Obere Hohlvenen, etwas oberhalb ihrer Einmündung in das rechte Herzohr abgeschnitten; 2. rechte ungenannte Vene und rechte Schlüsselbeinvene; 3. linke ungenannte Vene, *vena anonyma sinistra*; und linke Schlüsselbeinvene, *v. subclavia sinistra*; 4. tiefere linke Drosselvene, *v. jugularis interna sinistra*; 5. tiefere rechte Drosselvene, *v. jugularis interna dextra*; 6. oberflächliche oder äußere und hintere Drosselvenen, *venae jugulares externae et posteriores* (G. Lauth); 7. querlaufende vordere Halsvenen, *v. cervicales transversales anticae*, rechts aus der *v. jugularis externa posterior*, links aus der *v. jugularis*



*interna* entspringend; 8. anastomosirender Zweig zwischen den äußern vordern Drosselvenen, *venae jugulares externae anteriores* (G. Lauth), unmittelbar über ihrem Ursprunge abgeschnitten; 9. äußere vordere Drosselvene; 10. grosse unpaarige Vene, *v. azygos*; 11. erste linke obere Zwischenrippenvene, *v. intercostalis suprema seu superior*; 12. halb unpaarige Vene, *vena hemiazygea s. v. intercostalis inferior sinistra*; 13. die unpaarige Vene oder Verbindung dieser Vene mit den aufsteigenden Lendenvenen; 14. die halb-unpaarige Vene, wo die linken aufsteigenden Lendenvenen in sie übergehen; 15. letzte Zwischenrippenvene der rechten Seite, in die unpaarige Vene übergehend; 16. linke obere Zwischenrippenvenen, in die *vena intercostalis superior* sich ergießend; 17. linke untere Zwischenrippenvenen, in die *vena hemiazygea* übergehend; 18. untere Hohlvene, *vena cava inferior*; 19. gemeinschaftliche Hüftvenen, *venae iliacae primitivae*; 20. äußere Hüftvenen, *venae iliacae externae*; 21. Beckenvenen, *venae hypogastricae*; 22. seitliche Kreuzvenen, *venae sacrales laterales*; 23. Hauptstamm der Mittelkreuzvene, *vena sacralis media*; 24. linke aufsteigende Lendenvenen, *venae lumbales ascendentes sinistrae*; 25. rechte aufsteigende Lendenvenen; 26. mittlere oder vordere aufsteigende Lendenvene, welche mit der *v. hemiazygea* und den linken aufsteigenden Lendenvenen anastomosirt; 27. Rückgratsvenen *v. vertebrales*; 28. seitliche und vordere Halsvenengeflechte, *plexus venosi cervicales laterales et anteriores*; 29. mittlere Kreuzbeinvenen, *venae sacrales medianae*, (Chaussier); 30. seitliche Kreuzbeinvenen, *venae sacrales laterales* (Chaussier).

a. Der Brustgang oder Hauptstamm des Saugadersystems, *canalis lumbo-thoracicus*; b. unterer Theil des Brustganges, *canalis lumbo-thoracicus* und der andern lym-



phatischen Hauptstämme des Unterleibes. *c.* Ursprungszweige des Brustganges, *canalis lumbo-thoracicus*. *d.* Lymphatische Ganglien, *ganglia lymphatica*. *e.* Endigung des Brustganges in der *vena subclavia*, neben dem Ursprung der *Vena jugularis profunda*. *f.* Endigungsast, der, von den lymphatischen Gefäßen der rechten obern Extremität kommend, in die *Vena jugularis dextra* übergeht. *g.* Intercostalarterien. *h.* Mittlere Kreuzbeinarterie, *arteria sacralis media*. *i.* Intercostalnerven.

Fig. XI.

Stellt die verschiedenen Häute der Arterien und insbesondere der Aorta dar, und zwar sind sie von innen her präparirt.

*a. b. c.* Innerste Haut oder eigentliche Gefäßhaut. Sie lässt sich sehr leicht in drei Blätter *a.* erstes, *b.* zweites und *c.* drittes Blatt oder Schicht theilen. Auch könnte man sie wohl in vier oder fünf Lagen theilen.

*d.* Die Muskelhaut, *tunica muscularis*. Sie besteht nur aus Querfasern.

*e.* Die äußerste oder Zellhaut, *tunica cellulosa*.

Fig. XII.

Stellt die Häute der Venen und zwar an der untern Hohlvene dar. Diese Häute sind aber von aussen her präparirt.

*a.* Die äußere oder Zellhaut. Sie ist aufgehoben und nach aussen umgeschlagen. *b. b. c. c.* Die *Tunica muscularis*. Sie besteht aus zwei Lagen und zwar einer äußern, die *b. b.* von Längenasern gebildet wird, und einer innern,



die *c. c.* aus Querfasern besteht. Ausserdem zeichnet sich hier die Muskelhaut dadurch aus, daß ihre Längenasern an zwei Stellen mehr dicht an einander liegen, ähnlich wie die Fasern, welche die *Ligamenta colli* bilden, und daß nur zwischen diesen beiden Fascikeln die Querfaserslage der Muskelhaut deutlich zu sehen ist. Immer aber gehen doch zarte Längenasern über die queren Muskelasern dieser Haut dahin. Auch an den größern Aesten *d.* ist diese Anordnung noch zu sehen. *e.* Innere oder eigentliche Gefäßhaut der Venen. Sie unterscheidet sich von der der Arterien wesentlich dadurch, daß sie viel dichter ist und daher nicht in mehrere Lagen getheilt werden kann.

Fig. XIII.

Stellt die Klappen der Venen an ihrer innern Oberfläche dar.

*a.* Die innerste Haut aufgehoben, um so die Längens- und Querfasern auch von hier aus zu sehen.

---



## Neun und dreissigste Tafel.

Stellt die Gefäße des Hodens, die Leisten- und Schenkelgegend, und den *Descensus testicularum* dar.

Fig. I. \*)

Die *Arteria spermatica* fein ausgespritzt; die Injectionsmasse ist indess grober Art.

*a.* Die *Arteria spermatica*, welche Aeste nach dem Samenstrang ausschickt. *b.* Die Arterien der *Epididymis*. *c. c. c.* Die *A. spermatica* im Hoden. Man sieht unten deren Bögen, und wie deren umgeschlagene Zweige erst auf- und dann niedersteigen. *d.* Ein anderer und oberer Bogen im *Mediastinum*. *e.* Die Arterie, welche das *Vas deferens* begleitet und von einer Vesicalarterie der *Hypogastrica* entspringt.

Fig. II.

### Ein Venenpräparat.

*a.* Die Venen des Samenstrangs. *b.* Die Zweige der Venen auf der gefälsreichen Membran des Körpers des Hodens.

Fig. III.

Venen des Samenstrangs und Hodens, mit grober Injectionsmasse ausgespritzt und auseinander gezogen.

*a.* Der Hoden. *b.* Die *Epididymis*. *c.* Das *Vas deferens*, nebst einigen merkwürdigen beutelähnlichen Erwei-

---

\*) Figg. I— XII. sind aus Sir Astley Cooper's Werk „über den Hoden“ entlehnt.



terungen, von denen drei sichtbar sind. *d.* Erstes Venenbündel. *e.* Zweites Venenbündel. *f.* Venen, welche das *Vas deferens* begleiten. *g. g.* Communicationsvenen zwischen *d. e.* und *f.* Man sieht, wie mehrere Venen von der *Epididymis* entspringen.

Fig. IV.

Die Deferentialarterie.

*a.* Blase. *b.* *Vesicula seminalis.* *c. c. c. c.* *Vas deferens.* *d.* Hoden. *e.* *Ureter.* *f.* *Arteria hypogastrica.* *g. g.* Ueberreste der *Arteria umbilicalis.* *h.* *Arteria vesicalis.* *i. i. i.* Arterie des *Vas deferens* oder Deferentialarterie. *k.* Der nach der *Vesicula seminalis* herabsteigende Ast derselben.

Fig. V.

Zeigt die *Arteria cremasterica.*

*a.* Der Hoden. *b.* *Musculus transversalis.* *c.* *M. rectus abdominis.* *d.* *Arteria spermatica.* *e.* *Vas deferens.* *f. f.* *Arteria epigastrica.* *g.* Eine Arterie, die von der *epigastrica* abgeht. *h.* Der nach dem *Cremaster* abgehende Ast. *i.* Der Ast, welcher dem *M. rectus* und *pyramidalis* zugeht.

Fig. VI. VII. VIII.

Stellen den Leisten canal und den Verlauf des Samenstrangs dar.

Fig. VI.

Der Leisten canal geöffnet.

*a. a.* Das Poupart'sche Ligament. *b.* *Musculus obliquus internus.* *c. c.* *M. transversalis*, welcher vom Poupart'schen Ligamente entspringt und am innern Ring um den Samen-



strang herumgeht, so daß die Fasern dieses Muskels sowohl hinter als vor dem Samenstrang erscheinen und dadurch den Leistencanal zu einem musculösen Canal machen. \*) *d.* Der *Musculus cremaster*, welcher zwischen dem *M. obliquus internus* und *transversalis* vom Poupart'schen Ligamente entspringt und hinter dem Samenstrang Fasern vom *M. transversalis* erhält. *e.* *Musculus rectus*. *f.* Dessen Scheide vom *M. obliquus internus* und *transversalis*. *g.* *Fascia superficialis*. *h.* *h.* Samenstrang. *i.* Innerer und *k.* äusserer Ring.

Fig. VII.

Innere Ansicht des Leistencanals.

*a. a.* Das Poupart'sche Band. *b.* *Musculus obliquus internus*. *c.* *M. transversalis*. *d.* *M. rectus*. *e.* Samenstrang unter dem äussern Ring. *f.* Die innere Portion der *Fascia transversalis* mit dem darüber hinstreichenden *Musc. transversalis*, um sich an das Poupart'sche Ligament anzusetzen. *g.* Die durch die *Fascia* sichtbaren Muskelfasern. *h.* *Fascia transversalis* und *Musc. transversalis*, welche die innere Portion des Leistencanals bilden, über welchem man die *Linea semilunaris* sieht. *i.* Der Ursprung des *Musc. transversalis* vom Poupart'schen Ligamente und die Art und Weise, wie er sich um die *Fascia transversalis* windet, um sich in dieselbe und in das Poupart'sche Ligament einzufügen.

Fig. VIII.

Zeigt die *Fascia transversalis*, welche mit dem Samenstrang bei dessen Durchgange zusammenhängt.

*a. a.* Das Poupart'sche Ligament. *b.* Der *Musculus*

---

\*) Diese Einrichtung ist zur Verhütung von Hernien höchst wichtig; allein wenn einmal ein Leistenbruch existirt, so wird sie häufig die Ursache und der Sitz der Einklemmung.



*cremaster*, welcher von ihm entspringt. *c.* Der Samenstrang unter dem äufsern Ring. *d.* Der *Cremaster*, welcher auf dem Samenstrang streicht. *e.* und *f.* Arterie und Vene, welche von der *A. epigastrica* nach dem *M. cremaster* geht, — *Arteria cremasterica*. *g.* Aeussere Portion der *Fascia transversalis*. *h.* Innere Portion der *Fascia transversalis*, von Muskelfasern des *M. transversalis* bedeckt. *i.* Der durch eine dünne Schichte mit der *Fascia transversalis* verbundene Samenstrang.

Fig. IX. X. XI.

Stellen den Ursprung, Lauf und die Einfügung des *Musculus cremaster* dar.

Fig. IX.

*a.* Sehne des *Musculus obliquus externus*. *b.* *M. obliquus internus*. *c.* Dessen Sehnenscheide auf dem *M. rectus*. *d.* *M. rectus*. *e.* *Fascia superficialis* des Samenstrangs. *f.* Ursprung des *M. cremaster* vom Poupart'schen Ligamente und zwischen dem *M. obliquus externus* und *transversalis* hervor, mit denen er sich vermischt. *g.* Dessen Anfügung an die Scheide des *Rectus*. *h. h. h.* Die Schlingen, welche durch das Herabsteigen des Hodens in den *Cremaster* hinabgezogen werden. *i.* Hoden und die Einfügung des *Cremaster*.

Fig. X. Die sehnige Schlinge, welche vom *Cremaster* zur Bedeckung des Hodens gebildet wird.

*a.* Fasern des *Cremaster*, welche den Samenstrang umhüllen. *b. b.* Die Schlinge, welche der *Cremaster* auf der *Tunica vaginalis* bildet.



Fig. XI. Zeigt die Einfügungen des *Musculus cremaster*.

*a. a.* Die Samenblutgefäße. *b. Vas deferens.* *c. c. c. c.* Verschiedene Theile des *Cremaster*. *d.* Dessen Schlinge, vom Hoden zurückgeschlagen. *e.* Dessen sehnige Einfügungen in die *Tunica vaginalis*. *f.* Dessen Einfügungen in den hintern Theil des Hodens. *g.* Die Scheide, welche er auf dem *Vas deferens* bildet, und die Stränge des *Vas deferens*, welche von einer Windung zur andern übergehen, um dieselben zu stützen und in ihrer Lage zu halten. *h.* Einfügung des *Cremaster* in die *Epididymis*. *i. Epididymis.* *h.* Hoden,

Fig. XII. Stellt den Leistencanal dar.

*a. a.* Das Poupart'sche Ligament. *b. Musculus transversalis.* *c. M. rectus.* *d. d.* Samenstrang. *e.* Leistencanal. *f. Fascia transversalis.* *g. g.* Muskelfasern von der *Linea semilunaris*, welche in die *Fascia transversalis* eingefügt sind. \*)

Fig. XIII. \*\*) Die äußere Leistengegend an der rechten Hälfte eines weiblichen Beckens.

*A. A.* Der obere Theil des Oberschenkels, welcher noch von der Schenkelbinde umgeben ist. *B. B.* Der untere Theil der Bauchmuskeln, wovon der äußere schiefe bloß gelegt ist. *C.* Die vordere Ecke des Hüftbeinkam-

\*) Man findet immer Muskelfasern, die vom *Musc. transversalis* nach dem Theil der *Fascia transversalis* streichen, der die innere Oberfläche des Leistencanals bildet; allein eine deutliche Muskelportion, die von der *Linea semilunaris* ausgeht, ist nur in einzelnen Fällen vorhanden.

\*\*) Fig. XIII. — XV. aus: Neueste anatomisch-pathologische Untersuchungen über den Ursprung und das Fortschreiten der Leisten- und Schenkelbrüche von Dr. Fr. C. Hesselbach. Würzburg. 1814.



mes. *D.* Der Höcker des Schambeins. *E. E.* Die Schambeinvercinigung. *F. F.* Die weisse Bauchlinie. *a. a.* Das äufsere Leistenband. *b.* Der innere oder obere Schenkel des vorderen Leistenrings. *a.* Der äufsere oder untere Schenkel des vorderen Leistenrings, welcher die Fortsetzung des äufseren Leistenbandes ist. *c.* Die Schenkelfläche des vorderen Leistenrings, welche sich rückwärts zwischen den Schenkeln dieses Ringes befindet. *d.* Der äufsere halbmondförmige Rand der äufseren Lücke für die Schenkelgefäße. *e. e.* Das untere Horn des äufseren Randes. *f.* Das obere Horn des äufseren Randes. *g.* Die hintere Wand des Kanals zwischen der äufseren und inneren Lücke für die Schenkelgefäße. *h.* Zwei Löcher an der Schenkelbinde für durchdringende Hautgefäße. *i.* Die Schenkelvene hinter dem unteren Ende der äufseren Lücke. Die Fortsetzung der Schenkelbinde von dem äufseren Rande der Lücke über der Schenkelvene zu der hinteren Wand der Lücke wurde hinweggenommen, um die Lage dieser Vene sehen zu können. *h.* Der innere Stamm der Hauptvenen der unteren Gliedmasse, welcher durch die äufsere Lücke geht und sich in die Schenkelvene senkt.

Fig. XIV. Die äufsere Leistengegend an der rechten Hälfte eines männlichen Beckens.

*A. A.* Der obere Theil des Oberschenkels, welcher noch von der Schenkelbinde umgeben ist. *B. B.* Der untere Theil der Bauchmuskeln, wovon der äufsere schiefe blos gelegt ist. *C.* Die vordere Ecke des Hüftbeinkammes. *D.* Der Höcker des Schambeins. *E. E.* Die Schambeinvercinigung. *F.* Die weisse Bauchlinie. *a. a.* Das äufsere Leistenband. *b.* Der innere oder obere Schenkel des vorderen Leistenringes. *a.* Der äufsere oder untere Schenkel des vorderen Leistenringes, welcher die Fort-



setzung des äußeren Leistenbandes ist. *c.* Die Schenkel-  
fläche des vorderen Leistenringes, welche sich rückwärts  
zwischen den Schenkeln dieses Ringes befindet. *d. d.* Die  
äußere Lücke für die Schenkelgefäße, woran ihr äußerer  
Rand nicht so deutlich, wie bei der weiblichen Lücke ge-  
bildet ist. *e.* Das netzförmige Gewebe von sehnigen Bündeln,  
welches von dem äußeren Leistenband schief nach  
außen und unten über und um die Schenkelvene sich  
fortsetzt, und wodurch die äußere männliche Lücke um  
Vieles verengert wird. *f.* Die Schenkelvene hinter dem  
netzförmigen Gewebe. *g.* Der innere Stamm der Haut-  
venen der unteren Gliedmasse. *h. h. h.* Der Rand der ab-  
geschnittenen oberen Schichte der Schenkelbinde, unter  
welcher der innere Hautvenenstamm liegt.

**Fig. XV.** Die innere Leistengegend an der rech-  
ten Hälfte eines männlichen Beckens. Beide  
Blätter des Bauchfells sind von dieser abge-  
löst.

*A. A.* Der untere Theil der Bauchmuskeln. *B. B.* Der  
innere Rand des geraden Bauchmuskels, dessen hintere  
Fläche von den Aponevrosen größtentheils noch bedeckt  
ist. *D.* Das durchschnittene Kreuzbein. *C.* Der durch-  
schnittene Körper des vierten und fünften Lendenwirbels.  
*F.* Die Stelle, wo an der äußeren Leiste die vordere Ecke  
des Hüftbeinkammes sich befindet. *E.* Der horizontale  
Ast des Schambeins. *a. a. a. a.* Die Aponevrose des gro-  
ßen runden Lendenmuskels und des Darmbeinmuskels. *b. b.*  
Die stärkeren Fasern des inneren Leistenbandes. *c. c. c. c.*  
Die feineren Fasern dieses Bandes. *d. e.* Der hintere  
Leistenring. *d.* Sein innerer und *e.* sein äußerer Schenkel.  
*f.* Die Schenkelfläche des hinteren Leistenringes. *g.* Die  
schwächste Stelle der vorderen Bauchwand, welche an



diesem Subject schon ein wenig vertieft ist; vor dieser Stelle liegt gerade der vordere Leistenring. *h.* Die innere Lücke für die Schenkelgefäße. *i.* Die Schenkelvene. *k.* Die Schenkelarterie.

Fig. XVI. \*) Die geöffneten Höhlen des Unterleibes und des Hodensackes eines fünfmonatlichen Fötus.

Die Gedärme und das Bauchfell sind so zurückgeschlagen, daß man folgende Theile sehen kann: Die Hoden unter dem untern Rande der Nieren; sie sind mit dem Bauchfelle eben so umgeben, wie die Leber, der Magen und andere Eingeweide, die in dem Sacke des Bauchfelles liegen; einen Theil der Nebenhoden, die Samenschlagadern und Samenvenen, die Samenabführungsgänge, den Scheidenfortsatz des Bauchfells, das mit Muskelfasern bedeckte Leitband (*Gubernaculum Hunteri*)

*a.* Die Haut und die Bauchmuskeln. *b.* Hier ist die Haut hinweggenommen, und man sieht die äußere Fläche der Bauchmuskeln. *c.* Die Nabelschnur. *d.* Dünne Gedärme. *e.* Der Blinddarm. *f.* Der aufsteigende Grimmdarm. *g.* Die linke Niere. *h.* Die innere Fläche des Bauchfells. *i.* Hier ist das Bauchfell so zurückgeschlagen, daß man seine hintere Fläche sehen kann. *k.* Vordere Fläche der Bauchmuskeln. *l.* Die rechte Samenschlagader und Samenvene, in die gekrösartige Falte des Bauchfells, das Gekrös des Hodens, eingeschlossen. *l. o.* bezeichnet das ganze Gekrös des Hodens, den Theil, welcher das Leistenband umgibt, mit eingeschlossen. *m.* Die linke Samen-

---

\*) Fig. XVI. — XXIII. aus: Anton Scarpa's neue Abhandlungen über die Schenkel- und Mittelfleischbrüche, bearbeitet und vermehrt von B. W. Seiler. Leipzig. 1822.



schlagader und Samenvene. Die beiden Platten des Gekröses des Hodens sind hier von einander getrennt, und man sieht daher jene Gefäße, an der hintern Fläche des Bauchfelles befestigt, zu den Nebenhoden hingehen. *n.* Der rechte mit dem Bauchfelle überzogene Hoden. *o.* Der untere Theil des Gekröses des Hodens oder das Gekrös des Hodenbandes oder Leitbandes. Es enthält dieser Theil jener Falte das Band oder Leitband des Hodens. Haller hat diesen Theil *Vagina cylindrica*, Camper *Cylindricus*, Andere *Processus peritonaei* oder *Processus vaginalis*, Fortsatz des Bauchfells oder Scheidenfortsatz, genannt. *p.* Nachdem das Bauchfell von einem Theile der vordern Fläche der Bauchmuskeln abpräparirt worden ist, so sehen wir die von jener Haut nicht bedeckte Fläche des Nebenhodens; die Samengefäße, welche in geschlängelttem Laufe zu demselben hingehen; endlich, gegen die Mitte der Unterleibshöhle zu, den Hoden und den Theil des Nebenhodens, welcher von dem Bauchfelle überzogen ist. *q.* Der Samenabführungsgang, welcher durch das dünne Bauchfell durchschimmert. *r.* Hier ist das Gekrös des Leitbandes so in die Höhe gezogen, das man das Leitband (*Gubernaculum Hunteri*) sieht. *s.* Das Leitband (*Gubernaculum Hunteri*), an welchem sich einige Muskelfasern in die Höhe krümmen, die von dem innern schiefen und queeren Bauchmuskel abgehen. *t.* Der vordere Leistenring. *u.* Der innere Ursprung des *Gubernaculi Hunteri*. *z.* Der äußere Ursprung desselben. *x.* Der Hodensack, welcher mit Zellstoff ausgefüllt ist, aus welchem die Zellstoffmasse des Leitbandes zum Theil ihren Ursprung nimmt.



Fig. XVII. Ein Fötus, dessen Unterleibshöhle so geöffnet ist, daß man die äußere Fläche des Bauchfells, die rechte Niere und die Samengefäße sieht. Der rechte Hoden ist schon in den Hodensack hinabgesunken; er liegt in seiner eigenthümlichen Scheidenhaut; der zu dieser führende Scheidencanal ist noch ganz offen, und die Samengefäße gehen an der äußern Fläche des Bauchfelles und dieses Canales zu dem Theile des Nebenhodens, welcher in die eigenthümliche Scheidenhaut des Hodens nicht mit eingeschlossen ist.

*a.* Die zurückgeschlagene Haut und Bauchmuskeln. *b.* Die Gedärme. *c.* Die rechte Niere. *d.* Das Bauchfell, welches von den Bauchmuskeln abpräparirt und zurückgeschlagen ist. *e.* Die innere Fläche der Bauchmuskeln. *f.* Ein kleines Stück der dünnen Zellstoffhaut, welche die hintere Fläche der Samengefäße bedeckt; es ist abgetrennt und zurückgeschlagen, so daß diese hier ganz frei liegen. *g.* Die Samenschlagader und Samenvene. *h.* Die Harnblase. *i.* Durch einen Einschnitt in das Bauchfell sieht man die kleine Falte dieser Haut, welche vor der obern Oeffnung des Scheidencanales eine Klappe bildet. *k.* Der Anfang des Scheidencanales in der Unterleibshöhle. *l.* Der Samenstrang, durch den Zellstoff, welcher die eigenthümliche Scheidenhaut des Samenstranges bildet, an die äußere Fläche des Scheidencanales befestigt. *m.* Die gemeinschaftliche Scheidenhaut, an deren äußerer Fläche auch die schwachen Fasern des Hodenmuskels und die Fortsetzung der Hautaponeurose liegen. Sie ist geöffnet und nach beiden Seiten hin zurückgeschlagen. *n.* Das Ende des Scheidencanales in dem Hodensacke über dem obern



Rande des Hodens. *o. p.* Eine Sonde. Sie ist durch die Oeffnung des Scheidencanals in der Unterleibshöhle in diesen Canal geführt und kommt durch einen kleinen Einschnitt aus demselben da wieder heraus, wo sich derselbe im Laufe seiner Rückbildung schließt, und die eigene Scheidenhaut des Hodens beginnt. *q.* Der Hoden und Nebenhoden, mit der eigenthümlichen Scheidenhaut des Hodens umgeben. *r.* Der geöffnete Hodensack. *s.* Die Gegend, wo der vordere Leistenring seine Lage hat. *t.* Bezeichnet die Stelle, wo bei dem Erwachsenen der innere Leistenbruch neben dem innern Winkel des vordern Leistenringes hervortritt. Da aber der Leisten canal bei dem Fötus und neugebornen Kinde noch kurz ist, so tritt der angeborne Bruch fast in derselben Richtung heraus, wie der innere Leistenbruch.

Fig. XVIII. Ein Durchschnitt des Hodens und des Nebenhodens, das Gekrös des Hodens und des Leitbandes und das Leitband (*Gubernaculum Hunteri*) selbst.

*a.* Das Bauchfell, an der rechten Seitenfläche der Lendenwirbelbeine abgeschnitten. *b.* Die rechte Niere. *c.* Die Harnblase. *d.* Der Hoden, in der Mitte durchschnitten. *e.* Ein Durchschnitt des Nebenhodens. *f.* Die Samenschlagader und Samenvene. *g.* Der Samenabführungsgang. *h. h.* Die gekrösartige Falte des Bauchfells, welche zu dem Hoden geht und die Samengefäße zum Theil einschließt, das Gekrös des Hodens (*Mesorchion*). *i.* Ein Stückchen der vordern Platte dieser Falte ist abgetrennt und zurückgeschlagen, so daß man hier die Samengefäße bloß liegen sieht. *k.* Hier ist die vordere Platte dieser Falte, welche die vordere Fläche des Hodens bedeckt, ganz abgeschnitten. *l.* Ein Stück des Theiles der vordern



Platte dieser Falte, welcher das *Gubernaculum Hunteri* einschließt, des Gekröses des Leitbandes (*Mesorchiagogos*). *m.* Die äußere seröse Haut des Hodens oder der Ueberzug, welchen derselbe von dem Bauchfelle bekommt, eine Fortsetzung der gekrösartigen Falte, wie die seröse Haut der Gedärme eine Fortsetzung ihres Gekröses ist. *n.* Die weiße Haut des Hodens (*Albuginea*). *o. o.* Das Band oder Leitband des Hodens (*Gubernaculum Hunteri, Orchiagogos*). *p.* Muskelfasern von dem innern schiefen und queeren Bauchmuskel, die sich an das Leitband anlegen.

Fig. XIX. Die geöffnete Höhle des Unterleibes und Hodensackes eines sieben Monate alten Fötus. Der rechte Hoden liegt auf dem Bauchringe und ist eben im Begriffe, in denselben zu treten; der linke Hoden liegt schon zur Hälfte außerhalb der Bauchhöhle; auf beiden Seiten sieht man (*m. n.*) den Scheidencanal, der sich als Fortsetzung des Bauchfelles dem Hoden voraus in den Hoden hinein bildet.

*a. a.* Die Haut, welche die Bauchmuskeln bedeckt, durchschnitten und zurückgeschlagen. *b. b.* Die durchschnittenen Bauchmuskeln. *c. c.* Das Bauchfell. *d.* Der Blinddarm. *e.* Der absteigende Theil des Grimmdarms. *f. f.* Die Harnleiter. *g.* Die Harnblase. *h. h.* Der Hoden und Nebenhoden. *i. i.* Der Samenabführungsgang. *k. k.* Die gekrösartige Falte des Bauchfelles, welche nun nur noch als sehr kleiner Fortsatz erscheint, weil sich ihre beiden Platten schon größtentheils entfaltet haben und das Bauchfell die Scheidencanäle zu bilden beginnt. *l. l.* Die Samengefäße. *m.* Der Anfang der Bildung des Scheidencanals der rechten Seite; er erstreckt sich nur bis in die Leistengegend. *n.* Der Scheidencanal der linken Seite; er



ist beträchtlich gröfser, als auf der rechten Seite, ist mit der Hautaponevrose (*Fascia superficialis*) umgeben, und diese verbreitet sich schon bis in den Hodensack. *o.* Weicher, gallertartiger Zellstoff, welcher an dem abgerundeten Ende des Scheidencanals befestigt und mit dem Zellstoffe des Hodensackes verbunden ist. Ein Rudiment des Leitbandes und der gallertartigen Masse an dem obern Ende desselben. *p. p.* Der aufgeschnittene Hodensack. *q.* Das männliche Glied.

**Fig. XX.** Der Hoden, Samenstrang und Scheidencanal mit ihren Häuten im Durchschnitte. Die Theile *h. bis r.* der Fig. XVII. sind vergrößert.

*a. a.* Die gemeinschaftliche Scheidenhaut des Hodens und Samenstranges. *b.* Der Scheidencanal. *c.* Der Theil des Scheidencanals, welcher eigenthümliche Scheidenhaut des Hodens wird, wenn der Canal in der Gegend von *d.* geschlossen ist. *d. d.* Die äußere seröse Haut des Hodens, welche von dem Bauchfelle kommt. *e.* Die weiße Haut des Hodens (*Albuginea*). *f.* Der Hoden. *g.* Der Nebenhoden. *h.* Der Samenabführungsgang (die Samengefäße sind bei dem Durchschneiden mit weggenommen worden), durch Zellstoff umgeben und an der äußern Fläche des Scheidencanals befestigt. Dieser Zellstoff bildet die eigenthümliche Scheidenhaut des Samenstranges.

**Fig. XXI.** Durchschnitt des Unterleibes eines fünf-  
tehalbmonatlichen Fötus. Der Hoden und Nebenhoden sind auch in der Mitte durchschnitten; sie liegen noch in der Nähe der Niere. Alle Eingeweide, bis auf Niere, Harnblase, Hoden Nebenhoden sind herausgenommen.

*a. a.* Durchschnitt der Bauchdecken und der Bauch-



haut. *b.* Die rechte Niere. *c.* Harnblase. *d.* Innere Fläche der Bauchhaut. *e.* Gekrösartige Falte der Bauchhaut, die zu dem Hoden geht. *f.* Hoden. *g.* Nebenhoden. *h. h.* Aeusere seröse Haut des Hodens von dem Bauchfelle. *i. i.* Weisse Haut des Hodens (*Albuginea*). *k. k.* Gekrös des Leitbandes. Unter *k.* neben *l.* sieht man die kleine Furche, welche das Bauchfell in der Gegend des Schenkelbogens an der äussern und vordern Fläche des Leitbandes bildet, oder den Anfang der Bildung des Scheidencanals. *l.* Band oder Leitband des Hodens. *m.* Samenschlagader und Samenvene. *n.* Samenabführungsgang. *o.* Geöffneter Hodensack. *p.* Männliches Glied.

**Fig. XXII.** Durchschnitt des Unterleibes eines Fötus, bei welchem der Hoden durch den Bauchring hervorzutreten beginnt, übrigens so, wie das Präparat zur vorigen Figur, zubereitet.

*a. a.* Durchschnittene Bauchdecken und Bauchhaut. *b.* Die rechte Niere. *c.* Harnblase. *d.* Innere Fläche der Bauchhaut. *e.* Die Falte des Bauchfelles, welche zu dem Hoden geht, oder das Gekrös des Hodens. *f.* Der Hoden. *g.* Der Nebenhoden. *h.* Die äussere seröse Haut des Hodens, Fortsetzung und Ueberzug von dem Bauchfelle, zunächst von dem Gekröse des Hodens. *i. i.* Weisse Haut des Hodens. *k.* Der Fortsatz des Bauchfelles, welcher schon durch den Bauchring herausgetreten ist und den Scheidencanal zu bilden beginnt, ehe der Hoden durch den Bauchring hindurchgegangen ist. *l.* Das Rudiment des Leitbandes. *m.* Samenschlagader und Samenvene. *n.* Samenabführungsgang. *o.* Geöffneter Hodensack. *p.* Männliches Glied.



Fig. XXIII. Noch zum Theil offener Scheidencanal aus einem neugeborenen Kinde.

*a.* Ein Stück der Bauchhaut, in der Nähe des Bauchringes abgetrennt. *b. b. b.* Gemeinschaftliche Scheidenhaut des Hodens und des Samenstranges. *c.* Eigenthümliche Scheidenhaut des Hodens; dieser schimmert durch jene dünne Haut hindurch. *d.* Rest des Scheidencanales, welcher von *f.* bis *g.* noch ganz offen und mit Lymphe angefüllt ist. *e.* Noch nicht ganz geschlossene Oeffnung des Scheidencanales in der Unterleibshöhle. *f.* Die Stelle, bis zu welcher der Scheidencanal von dem Bauchringe an geschlossen ist. *g.* Hier ist der Scheidencanal auch geschlossen, und dadurch die eigene Scheidenhaut des Hodens von ihm getrennt. *h.* Das Rudiment des Leitbandes.

Fig. XXIV. \*) Zeigt die ligamentartigen Stränge und eine dünne *Fascia*, welche vom Bauchfell und dem innern Ringe zu dem *Vas deferens* und der *Arteria* und *Vena spermatica* hinabsteigen, so daß sie unter dem *Musculus cremaster* eine dünne aber deutliche Scheide des Samenstranges bilden.

*a.* *Peritonaeum.* *b. b.* *Vas deferens.* *c. c. c.* Ligamente des *Vas deferens*, von dem *Peritonaeum* ausgehend. *d. d. d.* Ligamente des *Vas deferens* und Samenstranges, von dem *Peritonaeum* und innern Ring ausgehend.

---

\*) Aus Sire Astley Cooper's angeführtem Werke.

---



## Vierzigste Tafel.

### A. Erste Abtheilung.

Die Ausbreitung des Herzbeutels, *pericardium*, des Brustfells, *pleura*, und des Bauchfells, *peritonaeum*, darstellend.

Fig. I. II. u. III.

Vergrößerter horizontaler Durchschnitt der Brustorgane in der Gegend der Brustwarzen von einem 5½ Monate alten Fötus.

Fig. I. Obere Hälfte des Durchschnitts.

1. Brustwarze. 2. Allgemeine Bedeckung des Körpers und Muskulatur. 3. Brustbein, *sternum*. 4. Rippenknorpel. 5. Rippen. 5a. Schulterblatt. 6. Wirbelsäule. 7. Brustdrüse, *thymus*. 8. Speiseröhre, *oesophagus*. 9. *Aorta thoracica*. 10. *Vena azyga*. 11. *Ductus thoracicus*. 12. *Nervi splanchnici*. 13. *N. sympathicus*. 14. *Arteria mammaria inferior*. a. Herz. b. Rechte Vorkammer. c. Eingang in's d. rechte Herzohr. e. Einmündung der obern Hohlvene. *Vena cava superior*. f. Rechte Herzkammer. g. Eingang in die Höhle des *Conus arteriosus* und zur *Arteria pulmonalis*. h. Linke Vorkammer. i. Einmündungen der vier Lungenvenen. k. Eingang in's l. linke Herzohr. m. Linke Herzkammer. n. Zugang zur *Arteria aorta*. o. Oberes Segment vom *Foramen ovale* im *Septum atriorum*. p. Durchschnittenes *Septum ventriculorum*. q. Umkleidung des Herzens selbst vom Herzbeutel. r. Aeufserer Sack des Herzbeutels, oder eigentlicher Herzbeutel, *pericardium*. s. Rechte Lunge. t. Linke Lunge. u. *Pleura pulmonalis*. Die rechte Lunge ist, weil sie nicht in die Schnittfläche fiel, noch grössten-



theils mit dieser Haut überzogen. *v.* *Pleura pericardii.* *v*<sup>1</sup>. *Pleura thymi.* *v*<sup>2</sup>. *Pleura costalis.* *w.* *Mediastinum anterius.* *x.* *Mediastinum posterius.* *y.* Rückenmark, *medulla spinalis.* *z.* Umkleidung des Rückenmarks von der Arachnoidea. *z*<sup>1</sup>. Umkleidung der *Dura mater* von der Arachnoidea, oder äusserer Sack der serösen Hirnhaut. *z*<sup>2</sup>. *Dura mater* des Rückenmarks. *z*<sup>3</sup>. Spinalnerven.

Fig. II. Untere Hälfte des Durchschnittes.

*a.* Herz. *b.* Rechter Vorhof. *c.* Einmündung der unteren Hohlvene daselbst. *d.* Rechte Herzkammer. *e.* Linker Vorhof. *f.* Einmündung der einen *Vena pulmonalis.* *g.* Linke Herzkammer. *h.* Unteres Segment des *Foramen ovale* im *Septum atriorum.* *i.* *Septum ventriculorum.* *k.* Zwischenraum zwischen Herz und äusserm Herzbeutel. *l.* Obere Fläche des Zwerchfells mit der *Pleura diaphragmatis* überzogen.

Alle übrige Theile sind schon aus der vorhergehenden Figur bekannt.

Fig. III. Natürliche Grösse dieser Durchschnitte.

Fig. IV. Herz, Lungen und die Brustdrüse, *thymus*, in Verbindung von einem neugeborenen Kinde.

*a.* Herz. *b.* Herzbeutel, aufgeschnitten und entfaltet. *c. d. e.* Die drei Lappen der rechten Lunge. *f. g.* Die zwei Flügel der linken Lunge. *h.* Rechte und *i.* linke Hälfte der *Thymus.* *k.* Zwergfell, *diaphragma.*

Fig. V. Dieselben Organe, wie Figur IV., aber mit der Umkleidung der *Pleura*, und etwas seitlich dargestellt, um die Darstellung der Fig. I. noch bestimmter zu erläutern.

1. *Pleura pulmonalis.* 2. *Ligamentum pulmonale sinistrum.* 3. *Pleura diaphragmatis.* 4. *Pleura pericardii.* 5.



*Pleura thymi*. 6. Der zwischen dem Herzbeutel und der *Pleura pericardii* verlaufende und somit durchscheinende *Nervus phrenicus*. 7. Die durchschnittene *Pleura costalis*, auseinander gezogen. 8. Stelle, wo die beiden äußern Pleurasäcke sich aneinander legen, und das *Mediastinum anterius*, aber ohne ein *Cavum mediastini* zu bilden.

Fig. VI. Beim Erwachsenen verhält sich jedoch dieses etwas anders. Nämlich da hier die *Thymus* schwindet, so wird sie in dem Verhältniß, als sie schwindet, immer mehr von den beiden Pleurasäcken eingeschlossen, und man kann so sagen, daß die *Thymus* in einem *Cavum mediastini anterioris* liege, wie Fig. VI. im Horizontaldurchschnitte zeigt.

a. Brustbein. b. Rudimente der *Thymus*. c. *Pleura*, eine Art *Cavum* bildend.

Fig. VII. Idealer Längsdurchschnitt der Bauchhöhle, um die Ausbreitung des Bauchfells zu sehen.

a. Nabel. b. b. Zwerchfell. c. Leber. d. Magen. e. *Colon transversum*. f. *Duodenum*. g. *Pancreas*. h. Dünndarm. i, Rückenwirbelsäule. k. Vorgebirg. l. Mastdarm. m. *Uterus*. n. Harnblase. o. Schambein. p. *Ligamentum coronale* der Leber. q. *Omentum gastro-hepaticum seu minus*. r. *Omentum majus*. s. *Mesocolon transversum*. t. Cavität der Netze. u. *Mesenterium*.

Fig. VIII. Idealer Querdurchschnitt des Bauches in der Lendengegend.

a. Nabel. b. Wirbelsäule. c. Nieren. d. *Colon ascendens*. e. Dünndarm. f. *Colon descendens*. g. *Vena cava inferior*. h. *Aorta*. i. *Mesocolon sinistrum*. k. *Mesenterium*. l. *Mesocolon dextrum*.\*)

---

\*) Die Fig. VII. u. VIII. sind aus: E. A. Lauth *Nouveau Manuel de l'anatomiste*. Paris. 1829.



B. Zweite Abtheilung.

Fig. I. — XII. Blut- und Lymphkörnchen, 400mal vergrößert. \*)

I. Vom Menschen. II. Schildkröte. III. Kerne von Blutkörnchen vom Frosch. IV. *Squalus squatina*. V. Lymphkörnchen vom Frosch. VI. *Lophius piscatorius*. VII. *Pleuronectis flexus*. VIII. *Terebella*. IX. *Muraena conger*. X. *Ascidia mamillaris*. XI. *Scorpio europaeus*. XII. *Asterias aurantiaca*.

Fig. XIII. — XXVI.

Ueber den Bau des Gehirns und der Nerven beim Menschen und beim Frosche, *Rana temporaria*, so wie über Krystallbildung im thierischen Körper. \*\*)

Bau des Gehirns und der Nerven beim Menschen.

XIII. Gegliederte Hirnröhren bei 300 maliger Vergrößerung der weissen Hirnsubstanz.

XIV. Gegliederte Hirnröhren vom Hörnerven.

XV. Ditto vom Sehnerven vor dem *Chiasma*.

XVI. Cylindrische Nervenröhren vom *Nervus facialis* bei gleicher Vergrößerung; sie sind mit ihrem Nervenmark gefüllt, welches zum Theil hervortritt.

---

\*) Nach R. Wagner: Zur vergleichenden Physiologie des Blutes. Leipzig. 1833.

\*\*) Annalen der Physik und Chemie von J. G. Poggendorf. Bd. 18. St. 2. Nothwendigkeit einer feinern mechanischen Zerlegung des Gehirns und der Nerven, von der chemischen Seite dargestellt aus Beobachtungen von C. G. Ehrenberg.



Bau des Gehirns und der Nerven beim Frosche  
(*rana temporaria*).

**XVII.** Etwas Sehnerven-Substanz mit einem ansehnlichen Theile der sehnigen Nervenscheide.

**XVIII.** Rückenmark-Substanz, welche gegliederte Röhren von sehr verschiedener Stärke enthält.

**XIX.** Ein Theil der Netzhaut, welcher Gefäße mit Blutkörnern, fast ohne alle Hülle, aber noch von röthlicher Farbe zeigt; dazwischen liegen grössere Körner, die den Sternen der Blutkugeln sehr ähnlich sind; hinter diesen liegt die gegliederte Netzhaut, welche das schüsselförmige Ende des Sehnerven bildet.

**XX.** ist eine andere Stelle der Netzhaut mit noch deutlicher gegliederten Nervenröhren.

**XXI.** ist ein Blutkörnchen des Frosches im natürlichen Zustande bei gleicher Vergrößerung.

**XXII.** ein ähnliches, welches sich von seinem Kerne scheidet. Dieser Kern ist mit den grössern Körnern der Netzhaut zu vergleichen.

**XXIII.** Ein Stück des Schenkelnerven vom Frosch bei seinem Ursprunge aus dem Rückenmark. Bei  $\alpha$ . sind die gegliederten Röhren des Rückenmarks im Uebergange zu den cylindrischen Röhren des Schenkelnerven angezeigt; die geschlängelten Fasern bezeichnen die sehnige *Pia mater*, welche überall die Nervenbündel überkleidet, aber nur am Rande mit ihren Gefäßen dargestellt ist; die Nervenröhren sind deutlich mit doppelter Wandung zu erkennen, durch elastische Contraction am Rande zuweilen lebhaft wellenförmig ( $\alpha$ .); der Inhalt der Röhren ist das eigentliche Nervenmark, welches den gegliederten Hirnröhren mangelt, die ganz durchsichtig sind; bei  $\beta$ . tritt es hervor.



XXIV. sind Krystalle von kohlensaurem Kalk aus der Schädelhöhle des Frosches; \* 800mal vergrößert.

XXV. dergleichen aus der Schädelhöhle der Fledermaus.

XXVI. sind Krystalle der Chorioidea aus dem Auge des Hechtes; \* 800mal vergrößert.

Fig. XXVII. — XLI. Muskel und Sehnenfasern.

Diese Figuren geben Gelegenheit, die Abbildungen, welche viele mikroskopische Beobachter von den 2 kleinsten Ordnungen der Muskelfasern, in die sich das Fleisch, ohne zu künstliche Hülfsmittel anzuwenden, spalten läßt, gegeben haben, namentlich die von Leeuwenhoek, de Heyde, Muys, Prochasca, Fontana, Bauer und Home, Prevost und Dumas, und Milne Edwards, unter einander zu vergleichen.

Fig. XXVII. Eine Muskelfaser von einem Frosche, *fibra*, die Leeuwenhoek auch *Stria* und *filum* nennt, denn Leeuwenhoek braucht diese Worte abwechselnd. Wenn sie einzeln betrachtet wurde, erschien sie nicht eckig wie die zusammengesetzten Fasern, sondern rund. Sie war eben so wie die Fleischfasern der Lämmer und anderer Thiere durch kreisförmige Zusammenbeugungen oder Runzeln ausgezeichnet. (Leeuwenhoek, *Arcana naturae* ed. 1722. *Anat. et Contempl.* p. 58.)

Fig. XXVIII. Eine *Stria carnosae* vom Rinde, nach Leeuwenhoek, die nach ihm einen Durchmesser von  $\frac{1}{1250}$  Zoll hatte. Sie schien dem Leeuwenhoek bei *b.* wieder aus innersten Fibern zusammengesetzt zu seyn, die er für die kleinsten hielt, die sich überhaupt noch unterscheiden ließen. Auch auf dem Durchschnitte bemerkte er in sehr seltenen Fällen helle Andeutungen von Fasern, konnte aber darüber nicht gewiß werden. Er gibt die Regel, man muß bei feuch-



ter, kühler Witterung beobachten, damit die beobachteten sehr kleinen Fasern nicht sogleich trocknen. (Die ganze *Stria* des Leeuwenhoeks scheint mit der dicksten *Fibrilla* des Muys, und die feineren Fäden, die Leeuwenhoek noch darin sah, mit dem dünnsten *Filum* des Muys übereinzukommen.) Bei *a. c. d.* zeigten sich queere Runzeln, die entweder wie bei *a.* gleich, oder wie bei *c.* und *d.* geschlängelt waren. Die Runzeln waren, nach seinem Geständnisse, die Ursache gewesen, daß sich Leeuwenhoek ehemals getäuscht und die zwischen den Runzeln befindlichen Theile der kleinsten Fasern für Kügelchen gehalten hatte. (*Arcana naturae* ed. 1722. *Anat. et Contempl. Pars II. p. 43 et 45.*)

Fig. XXIX. Eine Muskelfaser (nach *Antonii de Heyde Experimenta circa sanguinis missionem fibras motrices etc. Amstelodami 1686. 12. p. 31.*) die einen Durchmesser hat, der beim Rinde doppelt so groß beim Kalbe aber gerade so groß als der eines Kopfhairs ist. Beim Lamme von 6 bis 7 Wochen waren diese Fasern dünner als beim Schafe. Unter dem Mikroskope erschien sie rund und durchsichtig. Sie bestand aus der Länge nach laufenden *Striis*, welche kleinere *Fibrillae* oder *Tubuli* zu sein schienen. Die *Fibra* hat queere Runzeln, deren Breite dem Querdurchmesser einer *Fibrilla* gleichkommt. Diese queeren, kreisförmig um die *Fibra* laufenden Runzeln sind entweder wie bei *a.* glatt, oder ein andermal wie bei *b.* im Zickzack gebogen. Bei einem Fische, *asellus*, lagen 50 Fibrillen im Durchmesser einer dickeren *Fibra* neben einander, welche den 4fachen Durchmesser eines Kopfhairs hatte. Die *Fibrillae* erscheinen manchmal wie parallele Fäden, manchmal sind diese wie bei *c.* selbst wieder in bestimmten Zwischenräumen eingeschnürt, als beständen sie aus aneinander gereihten, länglichen Säcken, manchmal sind sie gekrümmt und verflochten wie bei *d.* Die größere oder geringere Annähe-



zung des Mikroskops an das Object schien Einfluss auf die Form zu haben, unter der die *Fibrillae* erschienen.

Fig. XXX. Eine *Fibrilla* der ersten dieser Ordnung nach Muys. (*Investigatio fabricae, quae in partibus musculis componentibus exstat. Lugd. Bat. 1741. 4. p. 25.*) Sie hatte einen Durchmesser, der so groß wie der eines Kopfhaares, oder größer als derselbe, oder auch etwas kleiner gefunden wurde, je nachdem das Haar dicker oder dünner war. Dieser Durchmesser verhält sich zu dem eines Blutkörnchens wie 1 : 5. Einzeln sehen die *Fibrillae* rund aus, in Verbindung mit den andern Fibrillen und von einer gemeinschaftlichen Scheide umfaßt, haben sie eine 3, 4 oder 5seitige prismatische Gestalt, und sind durch queere Furchen die gleich weit von einander abstehen, eingeschnürt. Die hier abgebildete *Fibrilla* ist aus menschlichem Fleische genommen, das man erst faulen ließ und dann lange in eine Alaunauflösung that. Die *Fibrilla* wurde so zerbrochen, daß einige *Fila* der kleinsten Ordnung ganz blieben.

Man sieht hieraus, daß de Heydes *Fibra* mit Muys *Fibrilla*, und de Heydes *Fibrilla* mit Muys *Filum* übereinstimmt. Denn auch nach Muys hat eine dickste *Fibr.* einen Durchmesser ungefähr wie ein Kopfhair, und nach de Heyde gehen auf eine *Fibra* von dieser Dicke 13 *Fibrillae*, so wie nach Muysens 1ster Messung 18 kleinste *Fila* darauf gehen.

Fig. XXXI. *Fila* der ersten Ordnung mit demselben Mikroskope gesehen. Diese dickeren *Fila* können schwerer sichtbar gemacht werden, als die der zweiten Ordnung, die feineren. Muys stößt das Fleisch so, daß es sich abplattet, dann zerbricht er die Fleischfasern durch Auseinanderziehen. Auf der Bruchfläche ragen dann in manchen Fällen diese *Fila* einzeln hervor, und man kann sie längs der zerbroche-



nen *Fibrilla* verfolgen. Das Rindfleisch mußte [Muys, um die dickeren *Fila* zu sehen, mehrere Tage in eine Auflösung von Pottasche legen, dann sie mit dem Messer drücken oder stoßen, und dann mit einer feinen Nadel auseinander ziehen. Nur zuweilen gelang es ihm, die dickeren *Fila* an nicht gestoßenen Fibrillen zu sehen. Man sieht hieraus, daß die dickeren *Fila* eher für ein Kunsterzeugniß zu halten sind, als die dünneren. Sie erscheinen manchmal gegliedert, zuweilen glatt. (Muys, *Tab. I. Fig. 16. C. G. J. E. Q. S.*) Sie erscheinen bald wie *e.* u. *f.* glatt, bald wie bei *b.* und *c.* geschlängelt, bald wie bei *a.* gegliedert, bald wie bei *d.* knotig, wenn das Fleisch so behandelt wird, wie die *Fibrilla*. In *Fig. XXX.* erscheinen sie glatt. Auch wenn das Fleisch in einer Auflösung von kohlenstoffsaurem Kali macerirt und dann aus einander gezogen wird, so sind sie glatt. Wenn sie aber neben einander in einer gemeinschaftlichen Scheide liegen, sehen manche knotig, andere gegliedert etc. aus, und zwar in einem und demselben Muskel.

*Fig. XXXII. Fila* der letzten Ordnung. Sie sind auch glattgeschlängelt, knotig etc.; bei Thieren, welche sehr jung und deswegen klein sind, sind sie kleiner, bei allen erwachsenen Thieren fast gleich dick. Ihr Durchmesser verhält sich zu dem eines Blutkugelchens wie  $1 : 3\frac{3}{5}$ , und zu dem einer *Fibrilla* der 1sten Ordnung *Fig. XXX.* wie  $1 : 18$ ; nach einer späteren Messung verhält sich der Durchmesser eines dünnsten *Fili* zu dem eines Blutkugelchens wie  $1 : 4\frac{17}{25}$ , und zu dem einer *Fibrilla* der 1sten Ordnung wie  $1 : 25$ , denn der Durchmesser einer *Fibrilla* der 1sten Ordnung verhält sich zu dem eines Blutkugelchens wie  $5 : 1$ . (Muys, *investigatio fabricae, quae in partibus musculis componentibus extat. Lugd. Bat. 1741. 4. Tab. I.*)

*Fig. XXXIII.* Muskelfasern nach Prochasca. Eine gekochte menschliche Muskelfaser, mit einer Linse betrach-



tet, die  $\frac{2}{100}$  Zoll (=  $\frac{1}{50}$  Zoll = ungefähr  $\frac{1}{4}$  Linie) Brennweite hatte, und also etwa 400mal im Durchmesser vergrößerte, wenn man nämlich annimmt, daß das deutlichste Sehen dann statt finde, wenn sich das unbewaffnete Auge in einer Entfernung von 8 Zolle von dem Gegenstande befinde. *a.* Man sieht hier an der Faser queere, helle Runzeln oder Einschnürungen, die Prochasca daher abzuleiten geneigt ist, daß Zellgewebefasern, Gefäße, und vielleicht auch Nerven, wenn sie sich beim Kochen verkürzten, die Faser stellenweise zusammenschnürten. Bei der Faser *b.*, an der die Scheide durch Maceration und durch gelinden Druck zerstört worden ist, sieht man durch dieselbe Linse geschlängelte Fäden, *fila*, von denen ein einzelnes bei *c.* und *d.* von seiner schmalen, bei *e.* von seiner breiten Seite angesehen wird. In dieser letzten Ansicht hat es oft den Anschein, als bestünde das *Filum* aus Gliedern oder Kügelchen. *f.* Ist der Durchschnitt einiger Muskelfasern bei derselben Vergrößerung. Man sieht die quer durchschnittenen *Fila*. *g.* Eine fast 200 mal im Durchmesser vergrößerte größere Muskelfaser von gekochtem Menschenfleische, von der Seite angesehen, so, daß man die Runzeln oder Beugungen im Zickzack deutlich sieht. Diese Runzeln sind nicht mit den der kleinen und kleinsten Muskelfasern in den vorigen Figuren zu verwechseln. Man sieht hieraus, daß Prochasca's Muskelfasern *a.* und *b.* mit de Heyde's *Fibra* und mit Muys *Fibrilla* der 1sten Ordnung im Wesentlichen übereinstimmen, und daß die Queerrunzeln nicht dieselben sind, welche bei *g.* im Profile abgebildet worden. Es leuchtet ferner ein, daß Prochasca's *Fila* mit Muys *Filis* der kleinsten Ordnung und mit de Heyde's *Fibrillis* übereinstimmen. (*Prochasca de carne musculari. Viennae, 1778. Tab. IV. Fig. 12. 13. 15. 16. 17. 18. Tab. V. Fig. 9.*)



Fig. XXXIV. Muskelfasern nach Fontana.

a. 2 primitive Fleischbündel (*faisceaux charnus primitifs*).

Man sieht an ihnen dichte, kreisförmige Runzeln, die sowohl an frischem, als an gefaulten Fleische sichtbar sind, und sich unter andern dadurch ganz von den hellen Queerstreifen der Sehnenfasern und Nerven unterscheiden, daß sie ununterbrochen rings herumgehen. b. Ein primitives Fleischbündel, von dem Fontana unten die aus Zellgewebe gebildete Scheide weggenommen hat, so, daß man die primitiven Fleischfäden (*fils charnus primitifs*) sieht.

Die primitiven Fäden sind die kleinsten Fäden, in die sich Fleischfasern spalten lassen. Sie sind solide Cylinder, alle von gleicher Größe, ausgezeichnet durch kleine Runzeln oder kleine helle Flecke, die wie kleine, in ihrem innern befindliche, queere Scheidewände aussehen. Die kreisförmigen Runzeln der primitiven Fleischbündel scheinen von den hellen Flecken oder Scheidewänden der primitiven Fleischfäden herzurühren. Die primitiven Fleischfäden bilden nicht solche wellenförmige Krümmungen wie die Sehnen und Nervenfasern. Die kleinen Flecken oder Linien, die in gleich großen Zwischenräumen auf einander folgen, und welche in deren Geweben Unterbrechungen hervorzubringen scheinen, geben den primitiven Fleischfäden in manchen Lagen das Ansehn, als beständen sie aus Kügelchen. Manchmal könnte man glauben, als ob das scheinbare Vorhandensein dieser Kügelchen durch Runzeln entstände, die durch eine Zusammenziehung der Fäden hervorgebracht würden. Fontana hat die Muskelfasern selbst mit Linsen von  $\frac{4}{90}$  Zoll (fast  $\frac{1}{8}$  Linie Brennweite), und also bei einer Vergrößerung des Durchmessers, die, wenn man die Entfernung der Gegenstände, in der das deutlichste Sehen mit unbewaffneten Augen stattfindet, auf 8 Zoll annimmt, eine 721fache war, be-



obachtet, aber nicht angegeben, bei welcher Vergrößerung *a.* und *b.* gezeichnet worden sind. Fontana's *Faisceau charnu primitif* ist mit de Heyde's *Fibra*, mit Muys dickster *Fibrilla* und mit Prochasca's *Fibra* übereinstimmend. Wie bei Prochasca's *Fibra*, Fig. 33. *a.*, sieht man an ihm dichte, quere Runzeln. Fontana's *Fil charnu primitif* ist dasselbe, was de Heyde's *Fibrilla* und Prochasca's *Filum*, namentlich (Fig. 33. *e.*) ist. (Fontana, *Traité sur le venin de la vipère. Tab. VI. Fig. 6. 7. Tome II. pag. 228. seq.*)

Fig. XXXV. Kleinste Muskelfasern, von Home und Bauer abgebildet nach dem Ansehen, welches die Muskelfasern am menschlichen Magen, am Schenkel eines Schafs, eines Kaninchen und bei einem Lachse hatten. Das Fleisch wurde erst gekocht oder gebraten, dann eine Woche lang in Wasser, das täglich erneuert wurde, macerirt, so, daß sich die kleinsten Fasern leicht trennen ließen. Durch längeres Maceriren zerfallen die Fasern leicht in eine Masse von Kügelchen, die die Größe der Kerne der Blutkügelchen haben, die des sie umgebenden Färbestoffs beraubt worden sind.

*a.* Hier sind sie 200mal in ihrem Durchmesser vergrößert. *b. c.* und *d.* Hier sind sie noch einmal so stark vergrößert als bei *a.*, d. h. 400mal im Durchmesser, oder 160,000mal in der Oberfläche. Diese Abbildungen zeigen das verschiedene Ansehen, welches die Muskelfasern hier und da haben. Sie bestehen, wie man in der Abbildung sieht, meistens aus länglichen, durch flache Einschnitte getrennten Gliedern. (Home und Bauer, in *Phil. Transact. for the Year 1818. Platte VIII. Fig. 4. 5. 6. p. 175. seq.*) *e. f. g.* und *h.* stellen Stücke von den kleinsten Muskelfasern eines Nackenmuskels des Rinds, das 24 Stunden zuvor geschlachtet wor-



den war, dar. Das Fleisch wurde diesesmal nicht gekocht, sondern nur unter Wasser ausgebreitet. Es zeigten sich Muskelfasern als an einander gereihete Kügelchen von  $\frac{1}{1000}$  Zoll im Durchmesser, die durch eine gelatinöse Substanz unter einander verbunden wurden. *e.* Hier sieht man eine solche kleinste Faser 100mal vergrößert. *f.* Hier sind ein Paar Fasern 200mal im Durchmesser vergrößert. *g.* Zeigt ein Stückchen einer kleinsten Muskelfaser, wenn sie nicht ausgedehnt wurde, 400mal im Durchmesser vergrößert. *h.* Zeigt die auseinander gezogene gelatinöse Substanz zwischen den Kügelchen, wenn die Faser in die Länge gezogen wurde. Das gelatinöse Bindungsmittel ist nicht so dehnbar als das zwischen den Kügelchen einer Nervenfaser in einem Ganglion, denn Home konnte die Muskelfaser nicht bis zu ihrer doppelten Länge ausziehen, ohne daß sie zerbrach. Home zieht diese letztere Untersuchung der Fleischfaser jener ersteren von *a.* bis *d.* gegebenen vor, und vermuthet, daß das Bindungsmittel der Kügelchen damals durch das Kochen zerstört worden und gleichsam nur das Skelet der Muskelfaser übrig geblieben sei. (*Home, in Philos. Transact. of the Year. 1826. Part. II. p. 64. Pl. II. Fig. 1. 2. 3. 4.*)

Fig. XXXVI. Eine secundäre Muskelfiber, *fibre musculaire secondaire*, nach Prevost und Dumas.

*a.* Bei einer 300maligen Vergrößerung erscheinen sie zuweilen von kleinen wellenförmigen Linien queer durchstrichen, welche regelmässig um  $\frac{1}{300}$  Millimeter von einander entfernt sind. Dieses Ansehn scheint von der zelligen Scheide herzurühren, von der sie eingehüllt sind, und man findet es nicht bei secundären Muskelfasern, welche gespalten oder davon entblößt sind. Dieses Ansehn verschwindet auch unter gewissen Umständen der Beleuchtung, wo man dann wie in *b.* eine große Anzahl kleiner, fast paralleler Elementarfa-



sern (welche aus an einander gereihten Kugelchen bestehen) sieht, die die Form haben, in welcher sie Home und Edwards gesehen haben. (*Prevost et Dumas, in Magendie Journal. Tome III. 1823. p. 304. Fig. 5. und 6.*)

Fig. XXXVII. Ein Stück vom *Musculus pubo-sternalis* eines lebendigen Frosches im Zustande seiner Ruhe, nach Prevost und Dumas.

Man sieht dessen secundäre Muskelfasern vergrößert. Ein kleiner Nervenast läuft längs der secundären Muskelfasern herab und schiebt noch kleinere Nervenfäden, welche die secundären Muskelfasern rechtwinklich durchkreuzen, und zwar in Zwischenräumen, welche ziemlich gleich groß sind.

Fig. XXXVIII. Ein Stück desselben Muskels im Zustande der lebendigen Zusammenziehung, die durch den Strom einer galvanischen Säule veranlaßt wurde.

Die secundären Muskelfasern haben sich unter ziemlich gleichen Winkeln im Zickzack gekrümmt. Die Winkel lagen ziemlich gleich weit von einander entfernt und hatten nach einer von Prevost und Dumas angestellten Messung eine Größe von  $51^{\circ}$  bis  $110^{\circ}$ , wobei sich der Muskel nach andern direkten Messungen während der Zusammenziehung um 0,23 verkürzte. Zieht sich der Muskel schwächer zusammen, so sind die Beugungswinkel stumpfer. Eine 172,5 Millimeter lange Muskelfaser war fähig an 8 Stellen Beugungen zu machen. Kein Muskel, der der Ortsveränderung dient, zieht sich so stark zusammen, daß die Beugungswinkel  $50^{\circ}$  oder noch spitzer würden. Die Muskelfasern der Eingeweide dagegen können sich noch mehr krümmen, aber die Stellen der Winkel liegen bei diesen letzteren weiter auseinander. An den Stellen der Beugungen läuft immer ein Nervenfädchen, das mit der Lage der secundären Muskelfasern rechte Winkel macht, hin. Auch bei den Vögeln und Säugethieren findet



man diese regelmässige Krümmung der secundären Muskelfasern im Zickzack. (*Prevost et Dumas, in Magendie, Journal de physiologie expérimentale. Tome III. 1823. Fig. 3. et 4. pag. 306.*)

Fig. XXXIX. Muskel des Menschen, nach H. Milne Edwards, 300mal im Durchmesser vergrößert. Man sieht die kleinsten Fäden, die aus geraden Reihen von Kügelchen bestehen, von welchen jedes  $1\frac{1}{300}$  Millimeter = nahe  $\frac{1}{3100}$  Par. Zoll im Durchmesser hat, (nach H. Milne Edwards *Mémoire sur la structure élémentaire des principaux tissus organiques des Animaux. Paris, 1823. Tab. II. Fig. 1.*)

Fig. XL. Muskelfasern des Rindes 300mal im Durchmesser vergrößert, von Edwards. Man sieht die kleinsten Fäden, die aus geraden Reihen von Kügelchen bestehen, welche  $\frac{1}{300}$  Millim. oder nahe  $\frac{1}{3100}$  Par. Zoll im Durchmesser haben. (Obgleich Edwards bei dieser Figur dieselbe Vergrößerung angewendet hat, und auch die Kügelchen, wenn sie gemessen wurden, denselben Durchmesser hatten als die in Figur 30, so hat er sie dennoch hier gröfser gezeichnet. *Ann. des sc. nat. par Audouin etc. Déc. 1826. Pl. 50.*)

Fig. XLI. stellt die kleinsten Sehnenfasern des Menschen bei derselben Vergrößerung vor. Auch sie bestehen aus Reihen von Kügelchen, von denen jedes  $\frac{2}{300}$  Millimeter = nahe  $\frac{1}{3100}$  Par. Zoll im Durchmesser hat. Aber die Linien der Reihen sind geschlängelt. (*Ann. des sc. nat. par Audouin etc. Déc. 1826. Pl. 50. 14. et 13.*)

Fig. XLII. bis LXXX.

Darstellungen der verschiedenen Entwicklung des Horngewebes, nämlich der Oberhaut, Nägel, Zähnen und Haare.



Fig. XLII. bis XLIX. b.

Oberhaut, *epidermis*, und Nagel, *unguis*.

Fig. XLII. Zehenglied der rechten grossen Zehe einer alten Frau. \*)

*a. b.* Die *concave* oder untere Fläche der Nagelspitze. Der Nagel ist nämlich nach aussen umgeschlagen, um zu zeigen, wie die *Epidermis* (*c. c. c<sup>1</sup>. c<sup>1</sup>.*) der Zehe an dem Nagel nicht endiget, sondern sich als *Epidermis* der *Matrix* des Nagels (*d. e. e<sup>1</sup>.*) ununterbrochen unter dem Nagel fortsetzt. *f. g.* Die *Matrix* der *Epidermis* des Nagelgewebes und des Nagels selbst. *f.* Vordere gefurchte Abtheilung. *g.* Hintere glatte Abtheilung der *Matrix* des Nagels.

Fig. XLIII. Senkrechter Durchschnitt des Zehengliedes der rechten grossen Zehe. \*\*)

*a. a. a. a.* Oberhaut. *a<sup>1</sup>.* Falte der *Epidermis* an der Wurzel des Nagels. *a<sup>2</sup>. a<sup>3</sup>.* *b.* Die *Epidermis* der *Matrix* des Nagels. *c.* Der Nagel. Alle diese Theile sind etwas gelüftet oder aus einander gezogen, damit man sie deutlicher unterscheiden kann. *d.* *Matrix* des Nagels und Lederhaut überhaupt. *e.* Nagelglied.

Fig. XLIV. Die durch Maceration abgelöste Oberhaut in Verbindung mit dem Nagel einer kleinen Zehe.

*a.* Die *Epidermis* der Zehe. *b.* Der Nagel der Zehe.

Fig. XLV. Ein ähnliches Präparat, wie das vorhergehende, allein der Nagel wurde hier hinweggenommen, um zu zeigen, daß die Oberhaut auch unter dem Nagel sich ununterbrochen fortsetzt.

---

\*) u. \*\*) Beide Figuren sind aus meiner Schrift: M. J. Webers Elemente der allgemeinen Anatomie in Verbindung mit der allgemeinen Zergliederungskunst. Mit 1 Steintafel. Bonn, bei T. Habicht. 1826. entlehnt.



*a. Epidermis* der Zehe. *b. Epidermis* der Matrix des Nagels, welche also sonst vom Nagel ganz bedeckt wird, hier aber, weil der Nagel hinweggenommen ist, sichtbar ist. *c.* Kleiner Auswuchs der *Epidermis*, welcher aus einzelnen Schichten besteht.

Fig. XLVI. Die durch Maceration gelöste *Epidermis* und der Nagel der grossen Zehe einer Frau. Der Nagel erscheint bei oberflächlicher Betrachtung nur in queerer Richtung gefurcht; allein bei näherer Betrachtung erkennt man ganz deutlich, dass er aus Lamellen bestehe, die doch ziegelförmig über einander liegen. *a.* Die Oberhaut. *b.* Der Nagel.

Fig. XLVII. Dasselbe Präparat von innen betrachtet.

*a. Epidermis.* *b.* Die noch grossentheils getrennten inneren Lamellen des Nagels. *c.* Die innerste oder erste Lamelle, welche unmittelbar auf die Oberhaut folgt, und fast noch ganz das Ansehen der Oberhaut hat.

Fig. XLVIII. Noch deutlicher zeigen sich die einzelnen Lamellen des Nagels an diesem Präparat.

Fig. XLIX. *a.* Ein sehr grosser Nagel einer grossen Zehe, welchen ich dadurch, dass ich ihn 24 Tage in verdünnter Salpetersäure legte, in mehrere Lamellen auseinander legen konnte.

1. 2. 3. 4. 5. 6. 7. Sind die getrennten und mehr oder minder von einander abstehenden Lamellen des Nagels. *a. a. a.* Sind die Stellen, welche von den höher liegenden Lamellen bedeckt werden, wenn sie dicht an einander liegen. \*)

Fig. XLIX. *b.* Ein anderer Nagel einer grossen Zehe noch längere Zeit mit Salpetersäure behandelt. Man sieht

---

\*) Die Figur XLIV. bis XLIX. *a.* habe ich zuerst in der *Dissertation* von Adolph Besserer: *Observationes de unguium avatomia atque pathologia.* Bonnae 1834 bekannt gemacht.



hier nicht nur die dachziegelförmig über einander gelagerten Lamellen des Nagels sehr deutlich, sondern auch, daß sich zuletzt die Lamellen der Länge nach spalten.

Fig. L. bis LXIV. Zahnbildung. \*)

Fig. L. Die Kinnlade eines reifen *Foetus*. Die vordere Knochenwand ist hinweggenommen, damit man die Säckchen, innerhalb welcher sich die Zähne ausbilden sehen kann. Die Gefäße sind *injecirt*.

Fig. LI. Ein Theil einer Kinnlade eines *Foetus*, wenn die Zahnsäckchen geöffnet sind.

*a. a*<sup>1</sup>. Die zurückgeschlagene *membrana externa capsulae dentis*. *b*. Die *membrana interna capsulae dentis*. Der Zahn schimmert hindurch. *b*<sup>1</sup>. Dieselbe Membran, aber aufgeschnitten und entfaltet, wodurch die Krone des Zahnes zum Vorschein kommt, welche hier aber hinweggenommen ist, so daß man den auf die Krone des Zahns folgenden Zahnkeim *d*. vor Augen hat. *c*. Die Zahnkrone. *d*. Der Zahnkeim. *e*. Der Uebergang der *membrana interna* und der Gefäße und Nerven in den Zahnkeim.

Fig. LII. Vergrößerter Durchschnitt einer Zahnhöhle mit ihrem Inhalt von einem *Foetus*.

1. Knochenwand der Zahnhöhle. *a*. *Membrana externa*. *b*. *M. interna dentis*. *c*. Zahnkrone. *d*. Zahnkeim, *pulpa dentis*.

Fig. LIII. Alter: gegen ein Jahr. Die erste Zahnung ist verspätet. *a. a*. *Niveau* des Zahnfleisches; der erste Schneidezahn steht weit darüber hinaus; der zweite nur

---

\*) Die Fig. LI. u. LII. LXII. LXIII. u. LXIV. sind neu nach der Natur angefertigt; die übrigen Figuren sind nach dem *Traité de la seconde Dentition et methode naturelle de la diriger etc.* par C. F. Delabarre. Paris. 1819. 8vo. m. K.



wentig. Der Eckzahn *e.* stößt an; ebenso der erste Backzahn *d.* Der zweite Milchzahn *e.* aber ist noch in der Kinnlade verborgen. Die Linie *b. b.* mit ihren Nebenlinien deutet auf die mehr oder weniger ausgebildeten Zähne der zweiten *Dentation.*

Fig. LIV. Halbe Kinnlade eines Kindes von zwei Jahren woran die Gefäße der Säckchen injicirt und von der Seite des Mundes präparirt sind.

*a. a.* Schneidezähne; *c.* Säckchen des zweiten Milchbackenzahns, woran die Wurzeln kaum sich andeuten; *b. b.* mit den Nebenlinien führt auf die Säckchen der zweiten *Dentation*, welche für den ersten kleinen bleibenden Backzahn *d.* kaum merklich, für den ersten grossen aber von ansehnlicher Grösse sind.

Fig. LV. Kind von  $3\frac{1}{2}$  Jahren. Die erste *Dentition a. a.* ist bis auf den letzten Backenzahn vollendet. *b. b.* deutet auf die Keime der bleibenden Zähne, welche für die drei ersten Zähne schon sehr entwickelt, für den vierten *c.* merklich, für den fünften *d.* nur der Anfang einer Alveole mit einem schleimigem Keim, für den sechsten beinahe vollendet, für den siebenten *e.* angedeutet sind.

Fig. LVI. Kind von  $4\frac{1}{2}$  Jahr, *a. a.* Milch-, *b. b.* bleibende Zähne.

Fig. LVII. Kind von 5 Jahren. Die Säckchen sind vorhanden und injicirt. Buchstaben dieselbe Bedeutung.

Fig. LVIII. Kind von  $6\frac{1}{2}$  Jahren. Buchstaben dieselben; *c.* erinnert daran, dafs der Zahn noch weiter vorrücke, und *d.* deutet auf den Keim des letzten Zahnes, des Weisheitszahnes.

Fig. LIX. Kind von  $7\frac{1}{2}$  Jahren. Man vergleiche die vorhergehende Figur, und ist hier der erste Schneidezahn



bereits bleibender. *a. a.* Milchzähne. *b. b.* permanente Zähne; *c.* dritter Backenzahn mit den Milchzähnen in gleicher Reihe; *d.* gallertartiger Keim des Weisheitszahns.

Fig. LX. Alter dasselbe. Säckchen. Injicirte Gefäße. Buchstaben dieselben wie in der vorhergehenden Figur.

Fig. LXI. Kind von 13 — 14 Jahren. Die Kinnlade ist in der Art zubereitet, daß die Zahnwurzeln zu Tage stehen. Alle bleibenden Zähne befinden sich in ihrem ausgebildeten Zustande bis auf den sogenannten Weisheitszahn, der selten vor, gewöhnlich nach dem 18ten Jahre, oft noch später, manchmal gar nicht hervorkommt.

Fig. LXII., LXIII. u. LXIV. Drei Zähne, welche ich längere Zeit in verdünnter Salpetersäure aufbewahrt hatte und wodurch hervorgeht, daß die Zähne gleichfalls aus übereinander gelagerten Lamellen bestehen.

#### Fig. LXIV. — LXXXI. Haarbildung.

Fig. LXIV. Ein senkrechter Durchschnitt der Schnauze des Ochsen, zweimal vergrößert.

*a.* Die Oberhaut, die sich als ein weißer Streifen darstellt, *b.* die Malpighi'sche Pigmentschicht, welche blaulich schwarz beginnt, und gegen die Lederhaut zu immer lichter wird. *c.* Die Lederhaut als grauer Streif, der abwärts schon mit Fettkügelchen bedeckt ist. *d.* Fettkügelchen, oder vielleicht besser Talgdrüsen die sich als runde gelbe Körperchen zwischen der Lederhaut, und *e.* dem Unterhautbildungsgewebe zeigen. *f.* Muskelfasern, die hier gleich unter dem Unterhautbildungsgewebe liegen. *g.* Ein Tasthaar in seinem Balge eingeschlossen, welcher bloss von seiner vordern Seite frei gemacht ist, damit man die Lage und den Ursprung der Bälge sehe. *h.* Größere und kleinere gewöhnliche Haare, welche theils in der Lederhaut, theils in dem Anfang



des Unterhautbildungsgewebes ihren Ursprung nehmen, und von Fettdrüsen umlagert sind, indem sie haufenweise die Zwischenräume zwischen den einzelnen Haaren ausfüllen. *i.* Durchscheinende Gefäße und Nerven, welche in dem Unterhautbildungsgewebe verlaufen.

Fig. LXVI. Stellt die Art und Weise dar, wie der Balg eines Tasthaars mit dem Unterhautbildungsgewebe zusammenhängt.

*a.* Der Balg des Tasthaars etwas mehr isolirt, als in der vorigen Figur. *b.* Wurzeln, welche aus unten vorbei streichenden Gebilden (wahrscheinlich Nerven und Gefäßen) entspringen, und unmittelbar in den Balg übergehen. — Ich bin überzeugt, daß es solcher Wurzeln noch viel mehr gibt, als hier gezeichnet sind; allein, wer die Schwierigkeit kennt, unter denen man einen so kleinen Gegenstand bearbeiten muß, wird einsehen, daß nothwendig mehrere derselben durchschnitten werden mußten. — *c.* Die durchscheinende Haarwurzel, oder Zwiebel. — Das Uebrige ist, so wie auch die Vergrößerung ganz so, wie in der vorigen Figur.

Fig. LXVII. Ansicht eines ganz isolirten Balges eines Tasthaars aus der Schnauze des Ochsen in natürlicher Größe.

*a.* Abgerundeter Anfang des Balges. *b.* Malpighische Pigmentschichte. *c.* Oberhaut. *d.* Durchscheinende Wurzel des in dem Balge enthaltenen Haars. *e.* Das freie Tasthaar, *f.* gewöhnliche kleine Haare, die ich nicht alle entfernen konnte.

Fig. LXVIII. Theilweiser Längedurchschnitt eines solchen Balges stark vergrößert.

*a.* Oberhaut. *b.* Pigmentschichte. *c.* Die durchschnitene, äußerste, weiße, glänzende, feste, fibröse, etwa  $\frac{1}{4}$  Linie dicke Haut. *d.* Wurzel des Haars, welche durch diese Haut



durchscheint. *e*. Der conische, röthliche, pulpöse Körper, welcher die ganze Höhle des Sackes, der von der vorigen Haut gebildet wird, ausfüllt, indem er an die innere Oberfläche dieser letztern durch *f*. außerordentlich feine Zellfäden (Gefäße?) befestiget wird. Das sehr fein punktirte Ansehen dieses Körpers beweist, daß er keine gleichartige Masse bilde, sondern fein körnig zu sein scheint. Da er etwas durchscheinend ist, so erblickt man auch *g*. das in der Mitte aufsteigende und *h*. oben durchbrechende Haar. *i*. Kleinere gewöhnliche Haare.

Fig. LXIX. Vollkommener Längedurchschnitt desselben Balges in gleicher Vergrößerung, aber mit fast gänzlicher Isolirung des conischen Körpers.

*a*. Oberhaut *b*. Pigmentschicht. *c*. Durchschnittener Balg. *d*. Ansicht der innern Fläche der beschriebenen, äußersten Haut des Balges. Diese Fläche glänzt sobald sie isolirt, und vom Blute befreit ist, nach Art der fibrös-serösen Membranen, ist auch etwas feucht, übrigens gewaltsam von dem conischen Körper getrennt. *e*. Rückwärts, wo der conische Körper noch mit ihr zusammenhängt, sieht man noch jene feinen Querfädchen (Gefäße), wodurch dieser Zusammenhang vermittelt wird. *f*. Der größtentheils isolirte conische Körper von matter Fleischfarbe. *α*. Sein Ursprung hart um die Wurzel des Haares herum, wo er auch viel fester, als anderwärts mit der äußern Balghaut zusammenhängt. *β*. Oberes Ende, welches das Haar durchtreten läßt, und ebenfalls fester, als der mittlere Theil mit der genannten Haut verbunden ist. *g*. Durchscheinende Haarwurzeln. *h*. Durchscheinendes Haar. *i*. Eine jener Wurzeln des Balges, wie sie unmittelbar in diesen übergeht.

Fig. LXX. Querdurchschnitt des getrennten Haarbalges sammt den in ihm enthaltenen Theilen, in der nämlichen Vergrößerung.



*a.* weisser Ring, der von der äufsern Haut gebildet wird. *b.* Zarte Fädchen, die zur Verbindung dieser Haut mit dem *c.* gefärbten conischen Körper dienen. *d.* Durchschnittener Haarcylinder.

Fig. LXXI. Ein Stück von der Oberlippe einer jungen Katze, in welchem die Arterien und Nerven dargestellt sind, die zu den Zwiebelbälgen der Tasthaare gehen, dreimal vergrößert. *a.* Die Spitze der Schnauze, noch von dem *Epithelion* bedeckt. *b.* Der Rand, welcher durch die Lostrennung und Abtragung der Schleimhaut entstand. *c.* Der Rand, wo das Stück von dem untern Augenglied abgeschnitten wurde. *d. e. f.* Grundfläche der Zwiebelbälge. *g.* *Arteria infraorbitalis*, wo sie gerade bei ihrem Austritt aus dem Loche abgeschnitten wurde. *α.* Ein feines Aestchen dieser Arterie, das in die Lederhaut eindringt. *β.* Der Hauptstamm theilt sich in zwei Aeste, nämlich in *γ.* einen, der an der Basis der Haarbälge vorbei, und bis zu den Gefühlswärzchen der Schnauze fortläuft, und überall da, wo er an den Zwiebelbälgen vorbeistreift, zahlreiche Reiserchen an sie abgibt, auch nebstbei einige in das Corion schickt. *δ.* Der andere Ast ist eigentlich die Fortsetzung des Stammes, läuft als ein ziemlich starkes Gefäß an dem obern Rande des Grundes der Zwiebelbälge vorbei, und endigt sich, nachdem er diesen letztern ebenfalls zahlreiche Reiser gegeben hat, theils in die Lederhaut, vorzüglich aber in die Gefühlswärzchen längs dem Rande der Oberlippe. *h.* Eine andere kleine Arterie, die ebenfalls aus der *infraorbitalis* entsprungen war, und theils mit der Litt. *γ.* beschriebenen anastomosirt, theils sich mit ihren, von zahlreichen Nerven begleiteten Aestchen bis gegen die Spitze begibt, und sich dort endigt; *i.* Der Infraorbitalnerve. Er zertheilt sich beinahe wie die Arterie in 1. ein Aestchen, das mit der letztgenannten Arterie bis



zur Schnauzenspitze lauft; 2. ein anderes, welches nebstbei vorne einige feine Fäden zum ersten Zwiebelbalge schickt; 3. ein drittes, das sich mit sehr feinen Fäden sowohl in dem ersten, als auch und vorzüglich in dem zweiten Zwiebelbalg verliert; 4. einen starken Zweig, der 5. ein Aestchen abgibt, welches theils den zweiten, vorzüglich aber den dritten Zwiebelbalg mit zahlreichen Nervchen versieht. 6. und 7. Sehr feine Fäden, welche ebenfalls aber zu andern, nicht deutlich präparirten Zwiebeln laufen. 8. Wahrscheinlich ein Zweig vom Antlitznerven, der sich in die vorderste Zwiebel ausbreitet.

Fig. LXXII. Ein Tasthaar sammt seinem Balg aus der Schnauze einer Katze in natürlicher Gröfse.

Fig. LXXIII. Dasselbe vergrößert, und eingespritzt. 1. Das dem Balge anhängende Zellgewebe. 2. Aehnliches Zellgewebe mit Fett angefüllt, in welchem die Gefäße und Nerven zu dem untern Ende des Zwiebelbalges laufen. 3. Kleine eingespritzte, aber abgeschnittene Gefäße, und 4. Nervenfasern, die in dem genannten Fett zum Balge gehen. 5. Außere Haut des Balges zur Hälfte durchschnitten, damit die innere Haut und das Haar selbst zur Ansicht komme. 6. Schwache, undeutliche Gefäßverzweigungen an der äußern Fläche dieser Balghaut, die größtentheils von oben aus der Lederhaut herabzukommen, und mit den von unten aufsteigenden zu anastomosiren scheinen. 7. Zweite Membran des Balges, entsprechend dem conischen Körper, welcher das Haar von seiner Wurzel bis zum Austritt durch die Oberhaut umgibt. Ihre ganze äußere Fläche erscheint blassroth injicirt. 8. Raum zwischen der ersten und zweiten Haut, welcher aber durch künstliche Trennung beider entstanden ist. 9. Ort, wo ein Theil der zweiten Membran ausgeschnitten ist, damit die innerste Hülle des Haars mit diesem



selbst ersichtig werde. 10. Innerste Hülle, welche das Haar unmittelbar wie eine Scheide umgiebt, und sich rings herum an die innere Fläche der zweiten Membran anheftet. 11. Das Haar selbst, wie es aufwärts gegen das obere Ende des Balges steigt. — Man sieht hier in der Mitte einen hellern Streif, welcher das isolirte Haar ist, da dieses nur noch von einer feinen Membran umgeben scheint, welche zufälliger Weise hier ebenfalls durchschnitten wurde, so daß nur deren hintere Wand zum Vorschein kommt. 12. Dem Anschein nach in der Haarwurzel eingedrungene Injectionsmasse.

Fig. LXXIV. Derselbe Balg sammt der Zwiebel so dargestellt, daß die innere Fläche der zweiten Membran fast ganz mit dem Anfang des Haars erscheint. *a.* Außere und *b.* innere Fläche der zweiten Membran, beide fein eingespritzt. *c.* Haarwurzel oder Zwiebel, welche unten durchschnitten, und wie es scheint, mit Injectionsmasse angefüllt ist. *d.* Innerste Scheide des in dem Balge eingeschlossenen Haarcylinder.

Fig. LXXV. Ein kleines Stückchen davon unter dem Microscop betrachtet. *a.* Zwiebelähnliche Anschwellung, *b.* Haarschaft, *c.* Kanal, der schon in der Zwiebel beginnt, und deutlich blätterig erscheint, *d.* Querstreifen, die sich an der Oberfläche darstellen, *e.* Ansätze, wahrscheinlich von Schmutz.

Fig. LXXVI. Dasselbe vergrößert. *a.* Durchschnittener viereckiger Kinnmuskel, *b.* durchschnittene kleine Arterien, welche sich in diesem Muskel verästelt haben. *c.* Fetthaut. Das Fett erscheint hier gelb und etwas körnig. *d.* Eine Hauptarterie, welche in das Fett eindringt, eine Strecke lang darunter fortläuft, auf der entgegengesetzten Seite wieder hervor kommt, und sich neuerdings vielfach zerästelt. *e.* Kleinere Zweige derselben Arterie. *f.* Festeres dichteres Fett.



gewebe, das auch weißer erscheint und immer dichter wird, je mehr es sich der Lederhaut nähert. *g*. Barthaare. *g*<sup>1</sup>. Barthaar, das von seinem Anfang bis an das Corion in seiner Hülle verborgen liegt. *a*. Haarzwiebel, welche durchscheint. *β*. Ort, wo sein Balg durch den Schnitt zufällig getrennt wurde. *g*<sup>2</sup>. Zweites Barthaar, das noch ganz verborgen steckt, *g*<sup>3</sup>. Drittes Barthaar, welches etwas mehr entblößt ist. *g*<sup>4</sup>. Viertes Barthaar; steckt tief in der Haut und zeigt nur *γ*. seine Zwiebel und etwas vom Schafte. *g*<sup>5</sup>. Fünftes Barthaar, liegt ebenfalls größtentheils in der Fetthaut verborgen. *g*<sup>6</sup>. Sechstes Barthaar. Wie *g*<sup>4</sup>., nur etwas deutlicher. *g*<sup>7</sup>. Siebentes Barthaar. Ist fast ganz von der Hülle entblößt. *g*<sup>8</sup>. Achtes Barthaar, wie das zweite. *g*<sup>9</sup>. Neuntes Barthaar. Etwas deutlicher als das dritte. *g*<sup>10</sup>. Zehntes Barthaar. Fast bis in die Nähe der Zwiebel vollkommen entblößt. *δ*. Feine Gefäße, welche von unten an der Zwiebel vorbeistreichenden, Arterien abgehen, und meist in paralleler Richtung an dem Haarbalg aufsteigen, um ihre Aestchen in letztern zu schicken. *h*. Lederhaut, *i*. eine unzählbare Menge feiner Capillargefäße, die sich aus den (*δ*.) angegebenen Aesten entwickeln, *k*. Oberhaut.

Fig. LXXVII. Das Stückchen *c*. der vorigen Figur unter dem Microscop mit der Beleuchtung von oben, und zum Theil auch von unten.

*a*. Die dichtere Rindensubstanz am Rande des Haars, *b*. der Kanal, worin *c*. wellenartige Linien in die Queere laufen, und so die Zellen abtheilen. *d*. Stellen, wo der lichtere Theil des Kanals dunkel und unterbrochen erscheint. Es ist bemerkenswerth, daß ich dieses hauptsächlich bei den Schamhaaren bemerkte.

Fig. LXXVIII. Das Stückchen *c*. der vorigen Figur vergrößert.



*a.* Rindenssubstanz, *b.* Canal. Die Queerlinien *c.* sind hier seltener, gerader und unregelmäßiger. *d.* Beinahe die ganze Länge des Canals durchlaufender, und nur hier und da unterbrochener dunkler Streif.

Fig. LXXIX. Das Stückchen *c.* der vorigen Figur vergrößert. *a.* Rindenssubstanz, *b.* Canal, worin man keine dunklen Stellen bemerkt, *c.* etwas krumm verlaufende, *d.* gerade Queerlinien. Die Farbe dieses Haars geht ins Röthliche.

Fig. LXXX. Das Stückchen *c.* der vorigen Figur vergrößert. *a.* Rindenssubstanz, *b.* Canal mit *c.* meist rundlichen Zellen.

Fig. LXXXI. Das Stückchen *a. c.* vergrößert, und von unten beleuchtet. *a.* Die noch wenig ausgebildete Wurzel. *b.* Ende der Scheide oder Hülle des, unter der Haut verlaufenden, Wurzelrandes. *c.* Abgerissene Stückchen der Oberhaut. *d.* Anfang des freien Haarschaftes. *e.* Rindenssubstanz. *f.* Canal mit deutlichen und geraden Queerlinien.

Fig. LXXXII. Das Stückchen *a. c.* der vorigen Figur unter dem Microscop. *a.* Hülle, welche die schon mehr ausgebildete, und conisch zulaufende Wurzel umgibt. *b.* Der freie Haarschaft mit Rindenssubstanz und Canal. *c.* Feinere und seltene Queerlinien des Canals. *d.* Der durchscheinende Canal des in der Hülle steckenden Haartheils.

Fig. LXXXIII. Das Stückchen *a. c.* der vorigen Figur vergrößert.

*a.* Hülle für das Wurzelende des Haars. *b.* Die deutlich ausgebildete durchscheinende Haarzwiebel. *c.* Der durchscheinende, und mit Queerlinien versehene Canal des von der Wurzel aufsteigenden Haartheils. *d.* Freier Haarschaft mit Mark- und Rindenssubstanz. Die Queerlinien des Canals sind hier fast in ganz gleicher Entfernung von einander.



Fig. LXXXIV. Das Stückchen *a. c.* der vorigen Figur vergrößert.

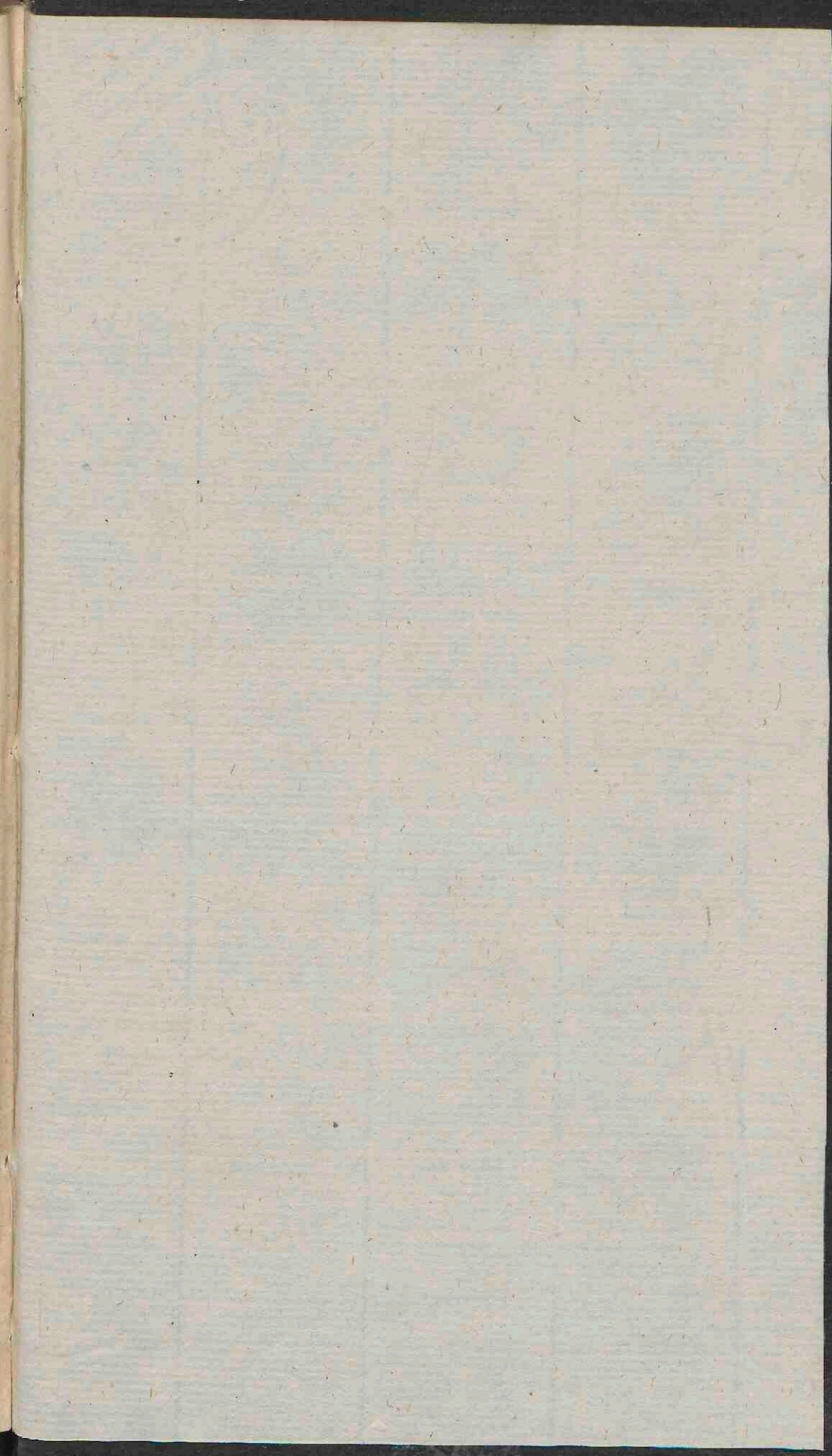
*a.* Hülle, in welcher der Anfang des Haares steckt. *b.* Abgerissenes Stückchen, welches wahrscheinlich Gefäße und Nerven enthielt. *c.* Freier Haarschaft mit der doppelten Substanz. Einige Querlinien laufen ganz durch, andere *d.* nur zur Hälfte.

Fig. LXXXV. Das Stückchen *a. c.* der vorigen Figur vergrößert.

*a.* Zwiebelhaut. *b.* Durchscheinendes, überall genau abgerundetes, und besser ausgebildetes Wurzelende. *c.* Freier Haarschaft, der sich bloss durch gröfsere Dicke von jenem des Fötushaars unterscheidet.













Sept. 9. t.

t. 29. 132

10  
11 +  
12  
15  
19  
22  
28

t.  
3



